



Б. С. ГЕРШУНСКИЙ

**ОСНОВЫ
ЭЛЕКТРОННОЙ
И ПОЛУПРОВОДНИКОВОЙ
ТЕХНИКИ**

Б. С. ГЕРШУНСКИЙ

О С Н О В Ы Э Л Е К Т Р О Н Н О Й И П О Л У П Р О В О Д Н И К О В О Й Т Е Х Н И К И

Издание 2-е исправленное и дополненное

**Допущено Министерством высшего и
среднего специального образования УССР
в качестве учебного пособия для учащихся
техникумов УССР**

**ИЗДАТЕЛЬСТВО КИЕВСКОГО УНИВЕРСИТЕТА
1967**

Учебное пособие составлено в соответствии с программой курса «Основы электронной и полупроводниковой техники» для техникумов по специальности «Электронные вычислительные машины, приборы и устройства».

Наряду с рассмотрением физической сущности явлений, происходящих в электронных и полупроводниковых приборах, в данной работе разбираются основные схемы электронной и полупроводниковой аппаратуры и принципы их расчета.

Книга может быть полезна учащимся техникумов смежных с радиоэлектроникой специальностей, а также техникам-радистам и электромеханикам, занимающимся конструированием и эксплуатацией различной электронной аппаратуры.

ПРЕДИСЛОВИЕ

Среди выдающихся научно-технических достижений нашего времени одно из важнейших мест принадлежит электронной автоматике и вычислительной технике. Разработка новых высокоэффективных электронных устройств требует подготовки квалифицированных специалистов, способных решать сложные технические задачи.

Любое электронное устройство независимо от своего назначения, сложности и конструктивного оформления состоит из отдельных элементов. Наиболее важными из них являются электронные, ионные и полупроводниковые приборы. Без знания принципов работы этих приборов, их типов и особенностей эксплуатации невозможно эффективно использовать те безграничные возможности, которые открывает перед различными отраслями народного хозяйства нашей страны электроника.

Курс «Основы электронной и полупроводниковой техники» базируется на физике, математике и электротехнике и является основой для изучения последующих специальных предметов. При изучении его учащиеся должны приобрести необходимые теоретические знания о работе наиболее распространенных приборов и узлов электронной аппаратуры, выполнить ряд лабораторных и практических работ и получить основные сведения о расчете важнейших электронных и полупроводниковых схем.

Данную книгу следует рассматривать как учебное пособие по теоретической части курса.

Она состоит из трех разделов.

В первом разделе рассматривается работа электронных ламп, электронно-лучевых трубок, ионных и фотоэлектронных приборов.

Второй раздел посвящен изложению работы основных полупроводниковых приборов.

В третьем разделе разбираются методы построения и анализа некоторых электронных и полупроводниковых схем, получивших наибольшее распространение в схемах электронной автоматики и в электронных вычислительных машинах.

В настоящее время количество различных типов электронных, ионных и полупроводниковых приборов очень велико и непрерывно

возрастает. Поэтому автор не ставил перед собой задачу рассмотреть все типы приборов, применяющихся в современной аппаратуре или имеющих перспективы применения в будущем, и полагает, что понимание физической сущности процессов и явлений, происходящих в наиболее распространенных типичных схемах и их элементах, является важнейшей предпосылкой успешной практической работы будущих техников, их способности сознательно и критически подходить к выбору тех или иных приборов и оценивать возможности их использования.

Поэтому главной задачей данной книги является изложение основных физических процессов, происходящих в электронной и полупроводниковой аппаратуре. Расчетные соотношения и примеры, приводимые в тексте, должны способствовать углубленному пониманию теории.

Во втором издании содержание книги существенно переработано и дополнено: расширены главы, освещающие работу полупроводниковых диодов и транзисторов, приведено описание некоторых новых полупроводниковых приборов — туннельных диодов, диносторов, тиристоров, фототранзисторов, полупроводниковых нелинейных сопротивлений (варисторов, терморезисторов, ферритов), добавлена глава о работе автогенераторов, описаны схемы фазочувствительных усилителей и транзисторных усилителей постоянного тока; в значительной степени обновлены иллюстрации.

Автор выражает благодарность своим коллегам—преподавателям Киевского техникума радиоэлектроники Доброневскому О. В., Фуркало В. В., Швыдак О. А. за ряд полезных советов и замечаний, связанных с подготовкой второго издания книги.

Автор

ВВЕДЕНИЕ

Одной из важнейших отраслей науки и техники в настоящее время является **электроника** — наука о теории и практике работы электронных и полупроводниковых приборов и устройств.

Ведущая роль электроники не случайна. Она находит применение во всех важнейших отраслях народного хозяйства нашей страны.

Радиосвязь и радиовещание, телевидение и звуковое кино, радиолокация и радионавигация, производство и промышленное использование атомной энергии, электронные вычислительные и кибернетические машины и целый ряд других отраслей современной техники основаны на широком использовании электронной аппаратуры.

С достижениями электроники непосредственно связаны и успехи советской науки в освоении космоса, так как без электронных устройств был бы невозможен запуск космических кораблей, выведение их на орбиту и управление ими во время полета и приземления.

Огромную роль играет электроника в укреплении обороноспособности нашей страны.

Непревзойденная эффективность электронной аппаратуры обусловлена высоким быстродействием, точностью и чувствительностью входящих в нее элементов, важнейшими из которых являются электронные и полупроводниковые приборы. С помощью этих приборов можно сравнительно просто и во многих случаях с высоким к. п. д. преобразовывать электрическую энергию одного вида в электрическую энергию другого вида, отличающуюся по форме, величине и частоте тока или напряжения. Такой процесс преобразования энергии осуществляется во многих схемах электронной аппаратуры (выпрямителях, усилителях, генераторах и т. д.). Кроме того, с помощью электронных и полупроводниковых приборов удастся преобразовывать неэлектрическую энергию в электрическую и обратно (например, в фотоэлементах). Разнообразные электронные датчики и измерительные приборы позволяют с высокой точностью измерять, регистрировать и регулировать изменения всевозможных неэлектрических величин — температуры, давления, упругих деформаций, прозрачности и т. д.

Процессы преобразования энергии в приборах электроники управляются и автоматизируются достаточно просто и происходят с большой скоростью. Это обусловлено малой инерционностью, характерной для большинства электронных приборов, позволяющей применять их в огромном диапазоне частот от нуля до миллионов герц. При этом достигается такая высокая чувствительность, которая не может быть получена в приборах другого типа. Так, электронными измерительными приборами можно измерять токи порядка 10^{-17} а и напряжения 10^{-10} в.

Электронные приборы легко выявляют мельчайшие, совершенно недоступные для механических измерительных инструментов не точности в изготовлении изделий вплоть до размеров в 1 мк.

Электронный микроскоп, увеличивающий предметы в миллионы раз, открыл перед человеком возможность глубоко проникнуть в мир малых величин, в мир атома. Многие электронные приборы радиоастрономии позволяют обнаружить небесные тела, которые не может непосредственно наблюдать человеческий глаз, т. е. позволяют человеку проникнуть в тайны вселенной.

Велико значение электроники и в биологии, где с помощью разнообразной электронной аппаратуры изучаются процессы высшей нервной деятельности человека, процессы мышления, исследуются мельчайшие живые организмы — вирусы — источники многих тяжелых заболеваний.

Электронные приборы находят широкое применение и в химии, развивающейся очень быстрыми темпами. Тончайший химический анализ вещества может быть проделан с помощью специальных приборов — масс-спектрографов — в течение нескольких секунд.

Подобных примеров много, но уже из изложенного видно, что на современном этапе развития науки и техники прогресс буквально всех отраслей народного хозяйства и науки связан с использованием приборов, методов и средств электроники.

Наиболее характерной чертой дальнейшего технического прогресса в нашей стране является переход к полностью автоматизированному производству на базе использования электронной техники. Применение автоматических систем программного управления станками, линиями и даже целыми заводами значительно повышает производительность труда и обеспечивает повышение качества продукции, экономии материалов и энергии. Однако в социалистическом обществе автоматизация имеет не только экономическое, но и большое социальное значение. При автоматизации коренным образом меняется характер труда, повышается культурно-технический уровень рабочих, создаются условия для ликвидации различий между умственным и физическим трудом, роль человека сводится к управлению автоматами и приборами, наладке их, составлению программы и режимов технологических процессов. Вот почему такое огромное внимание уделяется в нашей стране вопросам автоматизации производства и так быстро развиваются отрасли науки

и техники, связанные с изготовлением технических средств автоматизации и использованием их для управления различными производственными процессами.

Способность человека сознательно мыслить и действовать не может быть заменена никакими машинами. Но в наше время многие процессы протекают столь быстро, что человек, управляющий ими, остро нуждается в многочисленных средствах, которые могли бы увеличить чувствительность его органов, быстроту реагирования на происходящие явления, увеличить его физические и умственные силы. Такую помощь человеку оказывают разнообразные устройства электронной автоматизации и, в первую очередь, электронные вычислительные машины.

Если первоначально эти машины выполняли только вычислительные работы, то в настоящее время сфера их применения значительно расширилась в сторону решения разнообразных логических задач. Современные электронные вычислительные машины представляют собой сложные автоматические устройства, способные обрабатывать всевозможную информацию. Под обработкой информации понимают широкий круг умственных работ, выполнявшихся раньше исключительно человеком, — математические вычисления, инженерные расчеты, обработка статистических данных, прием сведений о состоянии каких-либо управляемых объектов и выработка команд управления для этих объектов (например, станков, космических кораблей, спутников), перевод с одного языка на другой и т. д.

Процессы переработки информации, значительно усложнившиеся в современных условиях в связи с развитием всех отраслей науки и техники, составляют важное содержание умственной деятельности людей. Поэтому электронные автоматические машины, облегчающие эту работу и неизмеримо повышающие ее производительность, имеют первостепенное значение для общего научно-технического прогресса, развития экономики и культуры человеческого общества.

Принцип работы современных приборов электроники основан на использовании потоков электронов или ионов, движущихся в вакууме, газе или полупроводнике. В соответствии с этим их можно разделить на три основные группы:

- 1) электровакуумные приборы;
- 2) ионные (газоразрядные) приборы;
- 3) полупроводниковые приборы.

Важнейшими электровакуумными приборами являются электронные лампы, электронно-лучевые трубки, вакуумные фотоэлементы, фотоумножители.

В ионных (газоразрядных) приборах используется поток электронов и ионов в разреженном газе. Важнейшими из них являются газотроны, тиратроны, стабилитроны, неоновые лампы и декатроны.

Принцип действия полупроводниковых приборов основан на использовании электрических явлений в полупроводниках, в частности на границе полупроводников с различными видами проводимости. Наибольшее распространение в современной аппаратуре получили полупроводниковые диоды и триоды (транзисторы).

Все указанные приборы в свою очередь подразделяются на многие типы по различным признакам (по назначению, конструктивному выполнению, диапазону рабочих частот, мощности, габаритам и т. д.).

Проследим кратко историю развития электронных и полупроводниковых приборов и отметим значительную роль русских и советских ученых в развитии этой науки.

Первые шаги электроники относятся к концу XIX в., когда русский электротехник А. Н. Лодыгин создал первую электрическую лампу накаливания (1872 г.). Производство электрических осветительных ламп явилось впоследствии той материальной базой, на которой началось промышленное развитие электронной техники. Открытие американским ученым Т. А. Эдисоном явления термоэлектронной эмиссии в 1883 г. и исследование фотоэлектронной эмиссии в 1888 г. профессором Московского университета А. Г. Столетовым послужили началом изучения электронных явлений, которые вскоре были использованы и в технике.

Крупнейшим событием, оказавшим огромное влияние на развитие электроники, было изобретение первого в мире радиоприемника русским ученым А. С. Поповым в 1895 г. Развитие радиотехники стало тем непосредственным стимулом, который привел к созданию различных электронных и полупроводниковых приборов. Содружество радиотехники и электроники продолжается, что способствует их взаимному прогрессу. Вот почему эти две связанные друг с другом отрасли техники часто объединяют в одно понятие — **радиоэлектронику**.

Честь изготовления первой электронной лампы — диода — принадлежит англичанину Д. А. Флемингу (1904 г.). Через три года после этого (1907 г.) американец Ли де Форест ввел в лампу Флеминга управляющий электрод — сетку и создал триод, обладавший, как было затем установлено, способностью генерировать и усиливать электрические колебания. После этого производство электронных ламп начало быстро развиваться. Особенно сильно это развитие стимулировалось военным значением радиосвязи, вследствие чего период с 1913 по 1919 г. оказал на развитие электронной техники решающее значение.

В России первую электронную лампу изготовил Н. Д. Папалекси (1914 г.).

Несмотря на техническую отсталость царской России, многие русские ученые (М. Б. Шулейкин, В. П. Вологдин, А. А. Петровский, А. А. Пистолькорс и др.) вели большую работу по созданию отечественной электронной аппаратуры. Однако только после Великой

Октябрьской социалистической революции началось широкое развитие отечественной электроники.

21 июля 1918 г. В. И. Ленин подписал декрет Совнаркома «О централизации радиотехнического дела». В этом же году по инициативе В. И. Ленина была создана Нижегородская радиолaborатория — научная и производственная база развития отечественной радиоэлектроники. Сотрудники Нижегородской радиолaborатории, выдающиеся советские ученые и инженеры М. А. Бонч-Бруевич, В. П. Вологдин, П. А. Остряков, А. А. Пистолькорс, А. Ф. Шорин и другие в короткий срок добились значительных успехов в разработке новых совершенных образцов электронной аппаратуры.

В. И. Ленин внимательно следил за успехами Нижегородской радиолaborатории и высоко оценивал их. Об этом свидетельствует его письмо к М. А. Бонч-Бруевичу от 5 февраля 1920 г., в котором В. И. Ленин писал: «Газета без бумаги и «без расстояний», которую Вы создаете, будет великим делом. Всяческое и всемерное содействие обещаю Вам оказывать этой и подобным работам»¹. В эти годы проявилась исключительная прозорливость В. И. Ленина, который, несмотря на огромные трудности, переживаемые в тот период нашей страной, нашел время, чтобы лично во всех подробностях ознакомиться с состоянием радиоэлектронной техники и наметить организационные формы ее развития.

В последующие годы развитие электроники шло очень быстрыми темпами. В 1924 г. была изобретена четырехэлектродная лампа с двумя сетками (тетрод). В 1930 г. появился пентод (пятиэлектродная лампа с тремя сетками). Стремление уменьшить количество электронных ламп в аппаратуре и повысить экономичность электронных устройств привело к созданию комбинированных ламп, имеющих две-три ламповые системы в одном баллоне. В дальнейшем количестве типов электронных ламп непрерывно росло, совершенствовались их свойства, уменьшались габариты, повышалась экономичность. Непрерывное совершенствование электронных ламп продолжается и в настоящее время.

Наряду с развитием электронных ламп шло развитие электронно-лучевых, ионных и фотоэлектронных приборов. Первые электронно-лучевые трубки для осциллографирования электрических сигналов были разработаны Д. А. Рожанским в 1910—1911 гг. Из ионных приборов первым был внедрен в технику ртутный вентиль, предназначенный для выпрямления переменного тока (1908 г.). В 1928—1929 гг. были построены первые газотроны, а в 1931 г. начали выпускаться тиратроны — ионные приборы с управляющей сеткой, получившие широкое распространение в схемах автоматики.

Фотоэлементы, известные уже с конца прошлого столетия, были существенно усовершенствованы и доведены до современного состояния в основном работами П. В. Тимофеева.

¹В. И. Ленин. Соч. Т. 35, стр. 372.

Большой прогресс в развитии электроники достигнут в годы Великой Отечественной войны и особенно в послевоенный период.

Если раньше достижения в области электроники использовались главным образом в технике радиосвязи, радиовещания и частично в телевидении, то в настоящее время применение электроники открыло новые возможности во многих отраслях науки и техники и в значительной степени ускорило темпы их развития.

Исключительно быстро в последнее время развивается полупроводниковая техника, занимающая ведущее место в современном техническом прогрессе. Первые сведения о выпрямительных свойствах полупроводников относятся еще к прошлому столетию. Изобретатель радио А. С. Попов впервые в мире применил полупроводниковый кристалл для детектирования радиосигналов. Однако изобретение электронной лампы, пригодной не только для детектирования (выпрямления), но и для усиления и генерирования колебаний вытеснило кристаллический детектор. Тем не менее работы по исследованию свойств полупроводниковых материалов продолжались. Возможность генерировать и усиливать электрические колебания при помощи полупроводниковых приборов была открыта еще в 1922 г. сотрудником Нижегородской радиолaborатории О. В. Лосевым. Однако в то время полупроводниковые приборы были еще очень несовершенными, чтобы конкурировать с электронными лампами, и широкого распространения не получили.

В 30-х годах группой советских ученых под руководством А. Ф. Иоффе было начато широкое и систематическое исследование свойств полупроводников. В результате этих исследований была создана стройная теория полупроводников и выяснены возможности их технического применения. Первые промышленные образцы полупроводниковых триодов (транзисторов) были созданы в 1948 г., и с того времени полупроводниковые приборы приобретают все большее значение в современной технике.

Применение полупроводниковых диодов позволяет создать высокоэкономические и простые выпрямительные установки, обладающие высоким к.п.д. (более 90 %) и сроком службы до 30—50 тыс. *час*. Создано также большое количество разнообразных полупроводниковых усилителей, в которых полупроводниковые триоды успешно заменяют электронные лампы, выгодно отличаясь от последних отсутствием накаливаемого катода и благодаря этому очень большим сроком службы (50—70 тыс. *час*). Компактность и экономичность таких усилителей способствовали их широкому внедрению в разнообразные устройства автоматики и телемеханики.

Особенно целесообразно использование полупроводниковых приборов в установках с большим количеством электронных ламп, как, например, в электронных вычислительных машинах, где их применение в несколько раз уменьшает габариты установок, повышает надежность работы, снижает расход электроэнергии.

Коммунистическая партия и Советское правительство, прояв-

ляя неустанную заботу о техническом прогрессе нашей страны, уделяют огромное внимание дальнейшему развитию электроники, которая должна стать основой автоматизации производственных процессов, важной базой многих новых научных исследований.

В Программе Коммунистической партии Советского Союза, принятой XXII съездом КПСС, говорится: «В течение двадцатилетия осуществится в массовом масштабе комплексная автоматизация производства со все большим переходом к цехам и предприятиям-автоматам, обеспечивающим высокую технико-экономическую эффективность. Ускорится внедрение высокосовершенных систем автоматического управления. Получат широкое применение кибернетика, электронные счетно-решающие и управляющие устройства в производственных процессах промышленности, строительной индустрии и транспорта, в научных исследованиях, в плановых и проектно-конструкторских расчетах, в сфере учета и управления»¹.

Важным этапом в борьбе Коммунистической партии и советского народа за создание материально-технической базы коммунизма и дальнейшее укрепление экономической и оборонной мощи нашей страны является пятилетний план развития народного хозяйства СССР на 1966—1970 гг.

XXIII съезд КПСС определил главную экономическую задачу пятилетки, состоящую в том, чтобы на основе всемерного использования достижений науки и техники, индустриального развития всего общественного производства, повышения его эффективности и производительности труда обеспечить дальнейший значительный рост промышленности, высокие устойчивые темпы развития сельского хозяйства и на этой основе добиться дальнейшего существенного подъема материального и культурного уровня жизни народа.

Электроника все шире будет внедряться в различные области науки и техники, производства и быта. Вот почему быстрое развитие и совершенствование средств и методов электроники является важнейшей народнохозяйственной задачей.

¹ Материалы XXII съезда КПСС. Госполитиздат, М., 1961, стр. 372.

РАЗДЕЛ I

ОСНОВЫ ЭЛЕКТРОННОЙ ТЕХНИКИ

ГЛАВА 1

ОСНОВЫ ЭЛЕКТРОННОЙ ТЕОРИИ

1—1. Краткие сведения о строении атомов

Согласно современной электронной теории все окружающие нас вещества состоят из мельчайших частиц — атомов. Атом, в свою очередь, состоит из еще более мелких частиц, основными из которых являются протоны, нейтроны и электроны. Протоны имеют положительный электрический заряд, электроны — отрицательный, равный по величине заряду протона, а нейтроны электрически нейтральны, их заряд равен нулю.

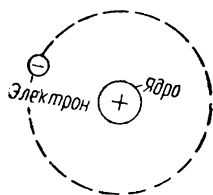


Рис. 1. Схема строения атома водорода.

Протоны и нейтроны образуют ядро, в котором сосредоточена практически вся масса атома. Вокруг ядра под влиянием его притяжения движутся по определенным замкнутым траекториям — орбитам — отрицательно заряженные электроны. В нормальном состоянии атом содержит одинаковое количество протонов и электронов и поэтому электрически нейтрален.

Количество протонов, нейтронов и электронов в атоме зависит от типа химического элемента, составной частью которого он является. Так, например, в атоме водорода вокруг ядра вращается только один электрон (рис. 1), в атоме меди — 29, в атоме золота — 79 и т. д. Число электронов, вращающихся вокруг ядра, всегда равно порядковому номеру элемента в периодической системе элементов Д. И. Менделеева. Например, атом 92-го элемента таблицы — урана — имеет 92 электрона, вращающихся вокруг ядра по многочисленным орбитам.

Количество электронов, находящихся на каждой орбите, и количество орбит для каждого вещества также совершенно определено. Установлено, что на первой, внутренней орбите могут размещаться не более двух электронов, на следующих двух орбитах по восемь, на четвертой орбите — десять, на пятой — восемь и т. д. Вращающиеся в атоме электроны, которые расположены на внешних орбитах, связаны с ядром слабее, чем электроны, находящиеся на внутрен-

них, близких к ядру орбитах. Поэтому под действием соседних атомов или вследствие других причин внешние электроны могут покинуть свою орбиту, что повлечет за собой изменение электрического состояния атома. Электроны, расположенные на внешних орбитах атомов, называются *валентными* электронами. Они определяют химическую активность вещества, т. е. участвуют в создании химической связи между атомами. Электроны, освободившиеся от внутриатомных связей, получили название *свободных электронов*. Они перемещаются внутри вещества между атомами в различных направлениях и с различными скоростями. При наличии внешнего электрического поля беспорядочное движение свободных электронов становится упорядоченным, направленным. В результате возникает электрический ток. Чем больше свободных электронов имеет вещество, тем выше его электропроводность. Этим и объясняется хорошая проводимость металлов, а также деление твердых тел по способности их проводить электрический ток на проводники, полупроводники и диэлектрики.

Теряя или приобретая электроны, нейтральный в электрическом отношении атом становится заряженным. Такой атом называется *ионом*. Процесс отрыва электронов от атома или присоединения к атому лишнего электрона, в результате которого образуется положительный или отрицательный ион, носит название *ионизации* атома. Ионы, имеющие разноименные заряды, притягиваясь один к другому, образуют молекулы.

Наиболее полное представление о свойствах элементарных частиц, входящих в состав атома, дает квантовая теория, изучающая законы движения и взаимодействия частиц атомных размеров и очень малой массы (электронов, протонов и др.). В соответствии с этой теорией электроны любого атома обладают вполне определенными (дискретными) значениями энергии — энергетическими уровнями. При этом, чем более отдаленную орбиту занимает электрон, тем большей энергией он обладает. Переходы электрона с занятой им орбиты на другую, т. е. с занятого им энергетического уровня на другой, сопровождаются поглощением или излучением вполне определенных порций энергии — квантов. При переходах на уровни, расположенные ближе к ядру, электрон отдает часть своей энергии в окружающее пространство в виде излучения, вследствие чего его энергия уменьшается. Наоборот, если электрон в условиях воздействия тепла, света или каких-нибудь других внешних факторов приобретает дополнительную энергию, то он переходит на новую, более удаленную от ядра орбиту. Электрон, получивший дополнительную энергию, называется *возбужденным*. Предельным случаем возбуждения является ионизация, при которой электрон отрывается от ядра и покидает атом.

Одно из положений квантовой теории гласит, что электроны в атоме могут находиться на любых расстояниях от ядра, но в то же время они должны занимать лишь вполне определенные, так назы-

ваемые *разрешенные* энергетические уровни. Уровни энергии, на которых электроны при переходе с одной орбиты (с одного разрешенного уровня) на другую орбиту (другой разрешенный уровень) не могут останавливаться, называются *запрещенными уровнями*. В твердом теле, состоящем из множества атомов, энергетические

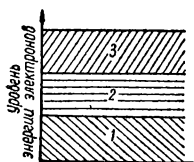


Рис. 2. Энергетические зоны твердого тела:

1 — валентная зона;
2 — запрещенная зона;
3 — зона проводимости.

уровни отдельных атомов объединяются и образуют *энергетические зоны*.

На рис. 2 показаны графически энергетические зоны твердого тела. По вертикальной оси этой диаграммы откладывается уровень энергии, которой обладают электроны. Горизонтальная ось — безразмерная. Совокупность энергетических уровней валентных электронов образует так называемую нормальную, или *валентную*, зону. Совокупность более высоких энергетических уровней свободных электронов образует *зону проводимости*, расположенную на диаграмме выше валентной и отделенную от нее *запрещенной зоной*. Шириной запрещенной зоны определяется электропроводность материала. Следовательно, проводимость того или иного вещества определяется той энергией, которую нужно сообщить валентным электронам, чтобы они могли перейти со своего нормального энергетического уровня на высший энергетический уровень, соответствующий зоне проводимости. При этом электроны теряют связь с ядром атома и становятся свободными.

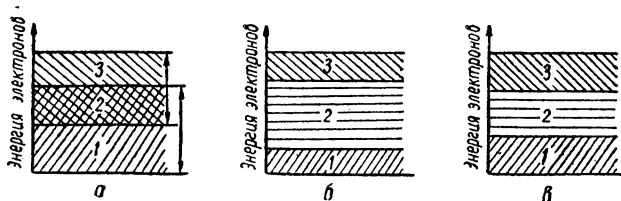


Рис. 3. Энергетические диаграммы различных веществ:

а — проводника; б — диэлектрика; в — полупроводника (1 — валентная зона; 2 — запрещенная зона; 3 — зона проводимости).

Такая энергетическая структура твердых тел позволяет объяснить физическую сущность разделения их на проводники, диэлектрики и полупроводники. На рис. 3 показаны типичные диаграммы энергетических зон для проводника, диэлектрика и полупроводника. У проводников зона проводимости и зона валентных электронов перекрывают друг друга, т. е. запрещенная зона отсутствует и валентные электроны легко переходят в зону проводимости. У диэлектриков ширина запрещенной зоны велика и, следовательно, для перехода валентных электронов в зону проводимости им нужно сообщить значительную энергию. Для полупроводников запрещен-

ная зона относительно невелика, и под действием внешних факторов (тепло, свет, электрическое поле и т. п.) электроны за счет изменения запаса энергии могут перейти из нормальной зоны в зону проводимости. Электропроводность полупроводников неустойчива и сильно зависит от внешних факторов. Следует помнить, что понятие *энергетический уровень* или *энергетическая зона* характеризует только энергетическое состояние электрона, а не геометрическое расположение его в теле.

1—2. Физические свойства электронов

Электрон представляет собой элементарную электрически заряженную частицу, имеющую

отрицательный заряд $e = 1,6 \cdot 10^{-19}$ к;

массу $m_0 = 9,1 \cdot 10^{-28}$ г;

диаметр $d = 2 \cdot 10^{-13}$ см.

Отношение величины заряда электрона к его массе составляет

$$\frac{e}{m_0} = 1,759 \cdot 10^8 \text{ к/г.}$$

Ни одна другая частица не имеет такого большого значения $\frac{e}{m_0}$, как электрон. Это позволяет легко отличать его от других частиц.

Электроны обладают следующими основными свойствами:

1) в электрическом поле электроны испытывают воздействие силы и сами могут создавать электрическое поле;

2) электроны отталкиваются друг от друга;

3) движущиеся электроны образуют электрический ток. Следовательно, подобно электрическому току, проходящему по проводу, поток электронов создает магнитное поле и в поперечном магнитном поле сам испытывает воздействие силы;

4) находясь в движении, электрон обладает кинетической энергией, равной $\frac{m_0 v^2}{2}$. При столкновении электронов с каким-либо телом их кинетическая энергия превращается в тепловую; при соударении движущегося электрона с нейтральным атомом кинетическая энергия электрона может быть затрачена на ионизацию атома;

5) благодаря большой величине $\frac{e}{m_0}$ электрон обладает большой подвижностью.

Для полноты представлений об электронах следует отметить, что помимо свойств, присущих электронам как отдельным материальным частицам (корпускулам), они обладают также и волновыми свойствами. Установлено, что электронам, как и световым лучам, свойственно явление дифракции, т. е. огибание волнами поставленного на их пути препятствия. Особенно заметны волновые свойства электронов в пространстве, линейные размеры которого

сравнимы с размером электрона. Практически в электронных приборах волновые свойства электронов не проявляются, и при рассмотрении принципов их работы поток электронов можно рассматривать, как множество движущихся материальных частиц.

1—3. Движение электронов в электрическом поле

Взаимодействие движущихся электронов с электрическим полем является основным процессом в большинстве электронных и ионных приборов.

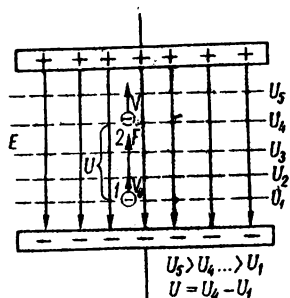


Рис. 4. Движение электрона в ускоряющем электрическом поле.

Для выяснения основных закономерностей, которые определяют поведение электронов в электрическом поле, рассмотрим наиболее простой случай — движение одного электрона в однородном электрическом поле. На рис. 4 показано однородное электрическое поле, созданное между двумя параллельными пластинами. В таком поле напряженность в любой точке имеет одинаковую величину и направление. Как известно из электротехники, на электрон, как и на любой заряд, помещенный в электрическом поле с напряженностью E , будет действовать сила, равная произведению величины заряда на напряженность поля в месте нахождения заряда. Математическое выражение этой силы для электрона имеет вид

$$F = -eE. \quad (1-1)$$

Знак минус показывает, что вследствие отрицательного заряда электрона сила имеет направление, противоположное направлению вектора напряженности электрического поля. Под действием силы F электрон двигается навстречу электрическому полю, т. е. перемещается в сторону точек с более высоким потенциалом. Поэтому поле в данном случае является ускоряющим. Известно, что работа, затраченная электрическим полем на перемещение заряда из одной точки в другую, равна произведению величины заряда на разность потенциалов между этими точками, т. е. для электрона

$$A = eU = e(U_4 - U_1), \quad (1-2)$$

где U — разность потенциалов между точками 1 и 2 (рис. 4). Эта работа затрачивается на сообщение электрону кинетической энергии

$$W_k = \frac{m_0(V^2 - V_0^2)}{2}, \quad (1-3)$$

где V и V_0 — скорости движения электрона в точках 1 и 2. Приравнявая равенства (1—2) и (1—3), получаем

$$\frac{m_0(V^2 - V_0^2)}{2} = eU. \quad (1-4)$$

Если начальная скорость электрона $V_0 = 0$, то

$$\frac{m_0 V^2}{2} = eU. \quad (1-5)$$

Отсюда можно определить скорость электрона, пролетевшего в электрическом поле разность потенциалов U ,

$$V = \sqrt{\frac{2e}{m_0}} U. \quad (1-6)$$

Подставляя в (1—6) значение заряда и массы электрона, можно получить выражение для скорости электрона

$$V = 600 \sqrt{U} \text{ км/сек.} \quad (1-7)$$

Таким образом, скорость, приобретаемая электроном при движении в ускоряющем поле, зависит только от пройденной разности потенциалов. Из формулы (1—7) видно, что скорости электронов, даже при сравнительно небольшой разности потенциалов, получаются значительными. Например, при $U = 1$ в скорость равна $V = 600$ км/сек, при $U = 100$ в получаем $V = 6000$ км/сек и т. д.

При такой большой скорости электронов все процессы в приборах, связанные с движением электронов, протекают очень быстро. Например, время, необходимое для пролета электронов между электродами в электронной лампе, составляет доли микросекунды. Поэтому работа большинства электронных приборов может считаться практически безынерционной.

Рассмотрим теперь движение электрона, у которого начальная скорость V_0 направлена против силы F , действующей на электрон со стороны поля (рис. 5). В этом случае электрическое поле является для электрона тормозящим. Скорость движения электрона и его кинетическая энергия в тормозящем поле уменьшается, так как в данном случае работа совершается не силами поля, а самим электроном, который за счет своей энергии преодолевает сопротивление сил поля. Энергия, теряемая электроном, переходит к полю. В тот момент, когда электрон полностью израсходует свою кинетическую энергию, его скорость окажется равной нулю, и затем электрон будет двигаться в обратном направлении. Движение его в обратном

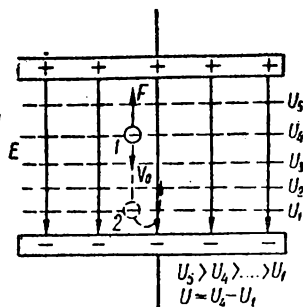


Рис. 5. Движение электрона в тормозящем электрическом поле.

направлении является не чем иным, как рассмотренным выше движением без начальной скорости в ускоряющем поле. При таком движении электрона поле возвращает ему ту энергию, которую он потерял при своем замедленном движении. Возможен также случай, когда электрон, обладающий большой начальной скоростью, не успевает за время пребывания в тормозящем поле израсходовать всю кинетическую энергию. При этом он теряет только часть своей энергии, передавая ее полю.

В рассмотренных выше случаях направление скорости движения электрона было параллельным направлению электрических силовых

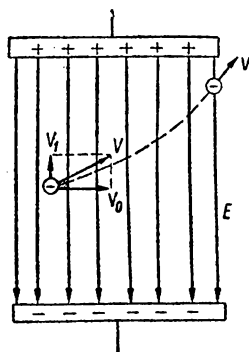


Рис. 6. Движение электрона в поперечном электрическом поле.

линий поля. Такое электрическое поле называется *продольным*. Поле, направленное перпендикулярно вектору начальной скорости электрона, называется *поперечным*. Рассмотрим, что происходит, если электрон влетает с некоторой начальной скоростью V_0 и под прямым углом к направлению электрических силовых линий поля (рис. 6). Поле действует на электрон с постоянной силой, определяемой по формуле (1—1) и направленной в сторону более высокого положительного потенциала. Под действием этой силы электрон приобретает скорость V_1 , направленную навстречу полю. В результате электрон совершает одновременно два взаимно-перпендикулярных движения: прямолинейное равномерное движение по инерции со скоростью V_0 и

прямолинейное равномерно-ускоренное движение со скоростью V_1 . Под влиянием двух взаимно-перпендикулярных скоростей электрон будет двигаться по траектории, представляющей собой параболу. После выхода из электрического поля электрон будет двигаться по инерции прямолинейно.

Путем выбора величины и направления начальной скорости электронов, а также величины и направления напряженности электрического поля можно заставить электроны двигаться по заранее рассчитанной траектории, подобно тому, как направление светового луча изменяют путем выбора первоначального его направления и соответствующих оптических сред. Таким образом, существует подобие между законами движения электронов в электрическом поле и законами световой оптики. На основании такой аналогии науку, которая изучает движение электронов в электрическом поле, называют *электронной оптикой*.

Следует отметить, что на движение электрона может оказывать влияние также магнитное поле. Сила, действующая на электрон в магнитном поле, пропорциональна напряженности поля и скорости движения электрона. Эта сила всегда направлена перпендикулярно направлению движения электрона и приводит к изменению его тра-

ектории. Управление движением электрона с помощью магнитного поля применяется в устройствах электронной автоматики и вычислительной техники сравнительно редко, и поэтому мы не будем более подробно рассматривать этот вопрос.

1—4. Работа выхода электронов. Электронная эмиссия

Для получения в вакууме или газе электронного прибора потока электронов используется специальный металлический или полупроводниковый электрод — катод. При определенных условиях свободные электроны катода могут выйти за его поверхность. Этот процесс выхода электронов из катода в окружающую среду получил название *электронной эмиссии*.

В 1—1 мы выяснили, что внутри металлического проводника имеется большое количество свободных электронов, находящихся в хаотическом движении. Скорости свободных электронов в любой фиксированный момент времени различны и изменяются во времени вследствие взаимодействия электронов между собой и с ионами металла. Кинетическая энергия каждого электрона, как и его скорость, меняется во времени. Однако среднее значение кинетической энергии всех электронов при обычных условиях есть величина постоянная. При комнатной температуре (около 20°C) только немногие электроны металла обладают запасом энергии, достаточным для выхода из металла. Поэтому в этих условиях эмиссия электронов практически не наблюдается. Отсутствие эмиссии при нормальной температуре объясняется двумя причинами. Во-первых, те немногие электроны, которые выходят за пределы проводника, теряют большую часть своей энергии и накапливаются на поверхности металла. Между этими электронами и положительными ионами, находящимися внутри металла у его поверхности, образуется электрическое поле, направленное от проводника к слою электронов (рис. 7). Совокупность положительных ионов на поверхности металла и электронов, появляющихся над поверхностью, называется *двойным электрическим слоем*. Действие двойного электрического слоя на электроны, стремящиеся покинуть пределы металла, является тормозящим, так как этим электронам приходится лететь по направлению электрических силовых линий и отдавать свою энергию полю.

Во-вторых, если некоторое количество электронов все же вышло за пределы металла в окружающую среду, то металл будет обратно их притягивать. Объясняется это тем, что металл, лишенный части электронов, заряжается положительно и, следовательно, между ним и вылетевшими электронами возникает электрическое поле, препятствующее выходу новых электронов.

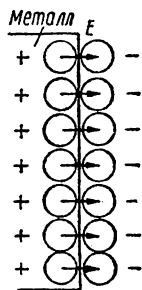


Рис. 7. Двойной электрический слой на поверхности металла.

Т а б л и ц а 1
Величина работы выхода электрона
из металлов

Металл	Работа выхода, эв
Цезий	1,81
Барий	2,0—2,52
Торий	3,4
Молибден	4,16
Тантал	4,2
Ртуть	4,4
Вольфрам	4,52

Таким образом, для того чтобы покинуть металл, электрон должен совершить определенную работу по преодолению сил обратного притяжения к металлу. Эта работа носит название *работы выхода*. Она зависит от свойств металла и обычно измеряется в электронвольтах (эв). Один электронвольт представляет собой работу, которую должен совершить электрон для преодоления разности потенциалов в 1 в. Эмиссия из металла возможна только тогда, когда кинетическая энергия

электрона, находящегося в металле, больше или равна работе выхода

$$\frac{m_0 V^2}{2} \geq e\phi, \quad (1-8)$$

где $e\phi$ — работа выхода, эв.

Значения работы выхода электрона для некоторых металлов, используемых в электронных приборах, приведены в табл. 1. Чем меньше у данного металла работа выхода, тем меньшей должна быть затрата энергии для получения электронной эмиссии.

1—5. Виды электронной эмиссии

Для того чтобы электроны могли выйти за пределы катода, необходимо сообщить им извне некоторую энергию, достаточную для преодоления противодействующих сил. В зависимости от способа сообщения электронам добавочной энергии различают такие виды электронной эмиссии:

а) термоэлектронную эмиссию, при которой дополнительная энергия сообщается электронам в результате нагрева катода;

б) фотоэлектронную эмиссию, при которой поверхность катода облучается светом;

в) вторичную электронную эмиссию, являющуюся результатом бомбардировки катода потоком электронов или ионов, летящих с большой скоростью;

г) электростатическую (автоэлектронную) эмиссию, при которой сильное электрическое поле у поверхности катода создает силы, способствующие выходу электронов за его пределы.

Рассмотрим более подробно каждый из перечисленных видов электронной эмиссии.

Термоэлектронная эмиссия. При обычных комнатных температурах число электронов, энергия которых превышает работу выхо-

да, ничтожно мало. Однако это число резко возрастает при увеличении температуры металлов за счет увеличения скорости движущихся электронов. В чистых металлах работа выхода велика, и заметная термоэлектронная эмиссия начинается при температуре около 2000°C , а затем быстро повышается с ростом температуры. Зависимость тока эмиссии от температуры нагрева катода выражается формулой

$$I_s = SAT^2 e^{-\frac{e\varphi}{KT}}, \quad (1-9)$$

где

I_s — величина тока эмиссии, a ;

S — площадь рабочей (излучающей) поверхности катода, см^2 ;

A — постоянная для данного металла величина, $a/\text{см}^2 \cdot \text{град}^2$;

T — абсолютная температура катода;

$e = 2,718$ — основание натуральных логарифмов;

$e\varphi$ — работа выхода, эв;

K — постоянная величина, равная $8,62 \cdot 10^{-5}$ эв/град (постоянная Больцмана).

Зависимость $I_s = f(T)$, в соответствии с формулой (1—9), наглядно изображается графиком, показанным на рис. 8. В качестве при-

мера он дан для вольфрамового катода с площадью $0,145 \text{ см}^2$. Эта кривая показывает, что термоэлектронная эмиссия вольфрамового катода начинается лишь при температуре 2200°K , и при дальнейшем росте температуры увеличивается очень быстро. Из формулы (1—9) следует, что величина тока эмиссии возрастает с уменьшением работы выхода. Поэтому наибольшей термоэлектронной способностью обладает цезий, за ним следует барий и т. д., а наименьшей — вольфрам. Однако цезий легко испаряется при нагревании и поэтому для изготовления термокатодов не используется. Наоборот, вольфрам хорошо переносит разогрев до 2500°K , что позволяет получить большой ток эмиссии. Поэтому вольфрам часто используется для изготовления термокатодов.

Фотоэлектронная эмиссия. При фотоэлектронной эмиссии энергия, необходимая для совершения работы выхода, сообщается электронам в виде энергии света, падающего на поверхность катода. Фотоэлектронная эмиссия может быть вызвана как лучами видимого света, так и инфракрасными, ультрафиолетовыми, рентгеновскими, а также гамма-лучами, возникающими при радиоактивном излучении.

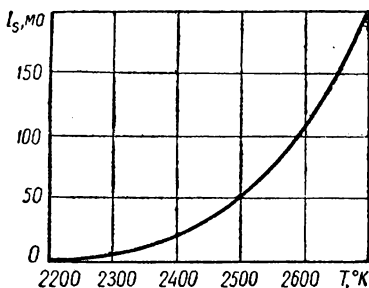


Рис. 8. Зависимость тока эмиссии вольфрамового катода от температуры.

Как известно, свет представляет собой электромагнитные колебания, имеющие небольшую (порядка миллимикрон) длину волны и распространяющиеся в пространстве со скоростью $C = 3 \cdot 10^8$ км/сек. В соответствии с квантовой теорией лучистый поток действует на поверхность катода в виде отдельных порций энергии, называемых *квантами*, или *фотонами*. Эта энергия равна $h\nu$, где h — постоянная величина (постоянная Планка), равная $6,63 \times 10^{-27}$ эрг · сек, а ν — частота света, падающего на фотокатод.

Часть квантового потока, упавшего на поверхность фотокатода, поглощается атомами, и приобретенная ими энергия идет на увеличение энергии электронов металла. Если энергия кванта превышает работу выхода, то электрон может выйти за пределы металла. Таким образом, условием фотоэлектронной эмиссии является выражение

$$h\nu \geq e\varphi. \quad (1-10)$$

Из (1—10) следует, что фотоэлектронная эмиссия возможна лишь в том случае, если поверхность фотокатода облучается лучистым потоком, имеющим достаточно высокую частоту, называемую *пороговой*, или *граничной, частотой*.

Чем меньше работа выхода металла, из которого изготовлен фотокатод, тем меньше величина пороговой частоты для данного фотокатода. Например, для того чтобы фотокатод был чувствителен к видимому свету, материал его должен иметь работу выхода меньше 3,1 эв. Такая работа выхода характерна для щелочных и щелочно-земельных металлов (цезий, калий, натрий). Для увеличения чувствительности фотокатода к другим диапазонам лучистых потоков используют более сложные типы полупроводниковых фотокатодов (щелочно-водородные, кислородно-цезиевые, сурьмяно-цезиевые и др.).

Вторичная электронная эмиссия. При бомбардировке поверхности катода электронами или ионами, имеющими большую скорость, происходит выбрасывание из металла новых, так называемых вторичных электронов. Это явление получило название *вторичной электронной эмиссии*.

Возбуждение электронов металла происходит в этом случае за счет сообщения им энергии от первичных электронов, влетающих внутрь металла извне. Первичные электроны, войдя в металл, замедляют движение и отдают свою энергию вторичным электронам, которые, получив добавочную энергию, могут совершить работу выхода и выйти за пределы металла. При этом количество выбитых из металла вторичных электронов может превосходить количество первичных электронов. Отношение количества вторичных электронов (n_2) к количеству первичных электронов (n_1) характеризует интенсивность эмиссии и называется *коэффициентом вторичной электронной эмиссии* $\sigma = \frac{n_2}{n_1}$.

Вторичная электронная эмиссия находит применение в некоторых электронных приборах — фотоумножителях, передающих телеви-

зионных трубках и др. Однако во многих случаях, в частности в большинстве электронных ламп, вторичная эмиссия является нежелательной и ее стремятся уменьшить.

Электростатическая электронная эмиссия. Электростатической эмиссией называется эмиссия электронов из катода, возникающая под действием у его поверхности сильного электрического поля. Влияние внешнего электрического поля сводится к ослаблению тормозящих электрических полей, существующих у поверхности слоя металла, т. е. к уменьшению работы выхода. При достаточной интенсивности внешнего поля работа выхода снижается настолько, что электроны выходят в вакуум даже при нормальной температуре. Поэтому электростатическую эмиссию иногда называют *холодной*, или *автоэлектронной эмиссией*. Важное применение электростатическая эмиссия имеет в газоразрядных приборах с жидким ртутным катодом. В них она является основным видом эмиссии, обеспечивающим прохождение тока в приборе.

1—6. Основные свойства термокатодов

В большинстве случаев поток электронов, нужный для работы приборов, получается с помощью термоэлектронной эмиссии. Поэтому от качества работы терموкатада во многом зависит качество работы прибора в целом. Наиболее удобным и целесообразным способом накаливания катода является пропускание через него электрического тока. Температура катода, а следовательно, и ток эмиссии в этом случае зависят от электрической мощности, расходуемой на накал катода.

Для характеристики основных свойств катода пользуются его параметрами. Основными параметрами катода являются:

Удельная эмиссия катода. Удельной эмиссией называется величина тока эмиссии, приходящаяся на 1 см^2 рабочей поверхности катода

$$I'_s = \frac{I_s}{S},$$

где I'_s — удельная эмиссия, а/см^2 ;

I_s — полный ток эмиссии данного катода, а ;

S — рабочая поверхность катода, см^2 .

Удельная эмиссия современных катодов в режиме непрерывной работы составляет величину порядка десятых долей ампера на квадратный сантиметр.

Эффективность катода. Этот параметр, характеризующий экономичность катода, представляет собой отношение полного тока эмиссии к мощности, расходуемой на накал катода,

$$H = \frac{I_s}{P_{\text{н}}},$$

где H — эффективность катода, ma/vt ;

I_s — полный ток эмиссии, ma ;

P_n — мощность накала, $вт$.

У современных катодов H может иметь величину от единиц до сотен миллиампер на 1 *ватт*. Эффективность катода увеличивается с увеличением температуры нагрева. Это объясняется тем, что величина тока эмиссии с увеличением температуры растет быстрее, чем потребляемая мощность накала.

Долговечность катода. Долговечность (срок службы) катода определяется временем его работы, в течение которого эмиссионный ток обеспечивает нормальное действие прибора. Долговечность катодов у приборов различных типов колеблется в пределах от 500—2000 до нескольких десятков тысяч часов. После нормального срока службы катод может работать еще долгое время, но эмиссионная способность его будет пониженной. Следует отметить, что увеличение рабочей температуры катода вызывает сокращение его срока службы.

Применяющиеся в настоящее время термокатоды можно разделить на три группы.

К первой группе относятся чистометаллические катоды. Чаще всего для их изготовления применяют вольфрам, реже — тантал. Вольфрам представляет собой тугоплавкий металл с температурой плавления около $3600^\circ K$. Рабочая температура его составляет $2400—2500^\circ K$, при которой удельная эмиссия получается порядка $0,2—0,7 a/cm^2$, а эффективность $2—10 ma/vt$. Во время работы катода вольфрам постепенно испаряется. Срок службы вольфрамового катода составляет примерно 1000 *час*. Большое значение имеет соблюдение нормального температурного режима вольфрамового катода. Повышение напряжения накала на 5% увеличивает ток эмиссии примерно в 2 раза, но сокращает срок службы катода наполовину. Вольфрамовый катод применяется главным образом в высоковольтных выпрямительных и мощных генераторных лампах. Основным недостатком вольфрамовых катодов является их низкая эффективность.

Ко второй группе относятся так называемые активированные катоды, представляющие собой сердечник из тугоплавкого металла, на поверхность которого нанесен тонкий слой другого вещества, обладающего меньшей работой выхода. Благодаря этому слою снижается рабочая температура катода и повышается его эффективность. Типичным катодом этой группы является торированный катод. Он состоит из вольфрамовой проволоки, поверхность которой покрыта тонким слоем тория. Рабочая температура такого катода составляет $1700—1900^\circ K$, эффективность — $25—50 ma/vt$. Недостатком этих катодов является чувствительность даже к небольшому перекалу, так как пленка тория легко испаряется. Долговечность торированного катода может быть увеличена карбидированием. Это достигается воздействием паров углеводорода на нить на-

кала, в результате чего на поверхности катода образуется слой карбида вольфрама. Пленка тория на этом слое держится прочнее, чем на чистом вольфраме, и не так легко испаряется.

Наиболее совершенными считаются катоды т р е т ь е й г р у п п ы, в которую входят оксидные и бариевые катоды. Оксидный полупроводниковый катод состоит из сердечника, изготовленного из никеля, на который наносится слой окиси бария, кальция или стронция. Рабочая температура катода составляет $1000\text{--}1200^\circ\text{K}$. Эффективность — $100\text{--}150\text{ ма/вт}$. Оксидные катоды широко используются в электронных лампах и электронно-лучевых трубках. Следует отметить большую кратковременную перегрузочную способность таких катодов. В течение нескольких микросекунд катод может давать очень большой ток эмиссии, превосходящий нормальный ток во много десятков раз. Это имеет большое значение при использовании электронных приборов в импульсном режиме работы. Однако длительный перекал оксидного катода недопустим, так как при этом происходит усиленное испарение бария и катод теряет эмиссию. Характерной особенностью оксидного катода является то, что для него опасен не только перекал, но и недокал, при котором на поверхности оксидного слоя возникают очаги перегрева, ведущие к разрушению катода.

Бариевые катоды применяются главным образом в приборах, для накала которых используются маломощные источники постоянного тока — аккумуляторы, сухие элементы и др. Это приводит к необходимости использования в качестве катода очень тонких металлических нитей. Так как из-за механических свойств никелевую нить нельзя сделать очень тонкой, то в качестве сердечника бариевых катодов используют вольфрамовую нить очень малого диаметра (сотые доли миллиметра). Это позволяет снизить ток накала до десятков миллиампер. В процессе изготовления катода вольфрамовая нить покрывается окисью меди, на которую затем наносится тонкий слой бария. Рабочая температура бариевого катода не превышает $750\text{--}900^\circ\text{K}$, эффективность лежит в пределах $70\text{--}120\text{ ма/вт}$.

1—7. Конструкция катодов

В зависимости от способа нагрева катода электрическим током различают катоды прямого накала и косвенного (подогревные).

Катоды прямого накала представляют собой нить из тугоплавкого металла, нагреваемую непосредственно проходящим по ней током накала. В зависимости от общей конструкции прибора катод может иметь различную форму. Конструктивное выполнение таких катодов показано на рис. 9. Катоды прямого накала выгодны тем, что мощность, затрачиваемая в цепи накала, мала. Это удобно для различных переносных электронных устройств, работающих от батарей или аккумуляторов. Время разогрева таких катодов составляет несколько секунд.

Катоды прямого накала питаются, как правило, постоянным током. При включении катода в цепь переменного тока вследствие небольшой массы нити будут происходить периодические изменения

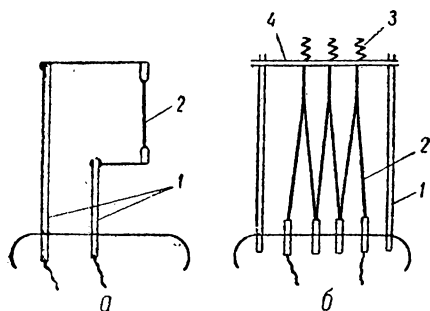


Рис. 9. Устройство катодов прямого накала:

a — простейший катод прямого накала; *б* — катод прямого накала зигзагообразной формы (*1* — крепежные стойки; *2* — нить накала; *3* — амортизационные пружины; *4* — слюдяной или керамический изолятор).

температуры катода с частотой питающего тока. Это приводит к непрерывному изменению тока эмиссии и нарушению нормальной работы прибора. У более мощных катодов, имеющих значительную массу, это явление заметно мало.

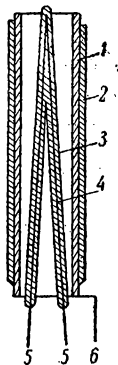
Наибольшее распространение в электронных приборах получили катоды косвенного накала (подогревные катоды). Конструкция подогревного катода показана на рис. 10. Подогревный катод состоит из никелевой трубки, на наружную поверхность ко-

торой нанесен оксидный эмитирующий слой. Внутри катода находится подогреватель, изолированный от никелевой трубки теплоустойчивым изоляционным материалом (окисью алюминия или магния). У ламп с подогревным катодом имеются два вывода нити накала и один вывод катода. В некоторых случаях катод и один из концов нити накала соединяются внутри лампы и имеют общий вывод.

В отличие от катода прямого накала подогревный катод имеет значительную массу и теплоемкость. Поэтому при накале его переменным током температура оказывается практически неизменной, а эмиссионный ток стабильным. Однако подогревный катод потребляет значительно большую мощность в цепи накала, чем катод прямого накала. Например, для питания катода лампы косвенного накала в цепи подогрева потребляется

Рис. 10. Устройство подогревного катода:

1 — никелевая трубка (сердечник катода); *2* — оксидный слой; *3* — изолирующее покрытие; *4* — нить накала (подогреватель); *5* — выводы нити накала; *6* — вывод катода.



мощность порядка 2—4 *вт* и больше. Для многоламповых электронных устройств эта мощность оказывается значительной. Например, в электронных вычислительных машинах, в которых используются тысячи ламп, для питания цепей накала требуется мощность порядка многих киловатт. Другим недостатком подогревного катода является его большая тепловая инерция. Время разогрева подогревного катода иногда составляет 1—2 *мин.*

ДВУХЭЛЕКТРОДНАЯ ЛАМПА (ДИОД)

2—1. Конструкция и принцип работы диода

Диод представляет собой простейшую электронную лампу, имеющую два металлических электрода — катод и анод. Оба электрода заключены в стеклянный или металлический баллон, из которого тщательно выкачан воздух, т. е. создан высокий вакуум. Катод диода может быть как с прямым накалом, так и подогревный. Анод предназначается для использования электронов, вылетающих из катода, и для управления ими. Материалом для изготовления анода в двухэлектродной лампе, как и в других электронных лампах, чаще всего служит никель, молибден или тантал, допускающие высокую температуру нагрева. Анод может иметь различную форму в зависимости от конструкции катода. Наиболее часто встречается цилиндрическая или плоская конструкция анода (рис. 11).

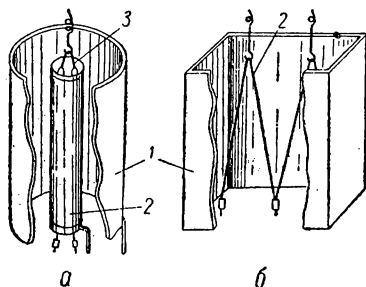


Рис. 11. Конструкция анодов:

а — для катодов косвенного накала — цилиндрическая; б — для катодов прямого накала — плоская (1 — анод; 2 — катод; 3 — подогреватель).

Электроды диода крепятся на специальных держателях — траверсах, впаянных или заштампованных в стеклянный гребешок ножки электронной лампы. Электроды имеют наружные выводы, которые проходят сквозь стенки баллона и припаиваются к штырькам цоколя лампы. Цоколь (обычно пластмассовый) жестко скреплен с баллоном лампы. Он служит для удобства включения лампы в схему.

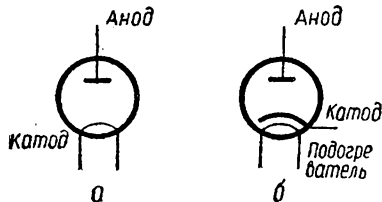


Рис. 12. Условное обозначение диода:

а — с катодом прямого накала; б — с катодом косвенного накала.

Если в диоде применен катод прямого накала, то лампа имеет три вывода — вывод анода и два вывода нити накала (катода). При использовании подогревного катода диод имеет четыре вывода, т. е. вывод анода, катода и два вывода подогревателя.

На рис. 12 показано условное обозначение диодов.

Для работы диода его необходимо соединить с источниками питания. Схема включения диода изображена на рис. 13. Диод имеет две цепи — цепь накала и цепь анода. Источник накала, соединительные провода и нить накала образуют цепь накала лампы. В этой

цепи проходит ток накала I_n . Цепь анода состоит из источника э. д. с., включенного между анодом и катодом, промежуток анод — катод лампы и соединительного провода. Положительный полюс источника э. д. с. соединяется с анодом лампы, а отрицательный — с катодом. При таком включении между электродами лампы образуется постоянное электрическое поле, называемое *полем анода*. Разность потенциалов между анодом и катодом называется *анодным напряжением* и обозначается U_a .

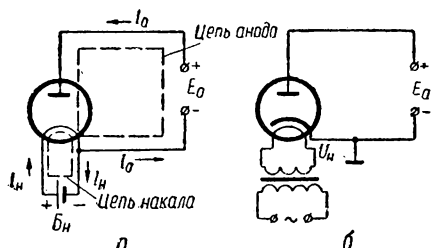


Рис. 13. Схема включения диода:
а — с катодом прямого накала; б — с подогревным катодом.

Под действием сил электрического поля электроны, излучаемые катодом, устремляются к аноду, в результате чего в анодной цепи появляется ток I_a , называемый *анодным током*. Как известно, в электротехнике принято условное направление тока от плюса к минусу. Поэтому ток в лампе принято считать направленным от анода к катоду, хотя электроны летят в противоположном направлении.

Рассмотрим распределение потенциала в пространстве между катодом и анодом. Для этого воспользуемся так называемой потенциальной диаграммой (рис. 14). На этой диаграмме по горизонтальной оси откладывается расстояние x , отсчитываемое от катода, а по вертикальной оси — потенциал φ . При этом потенциал катода обычно принимается равным нулю, а потенциалы всех точек пространства между электродами отсчитываются относительно катода.

При отсутствии эмиссии с катода и приложенном анодном напряжении между электродами существует только положительное поле анода, ускоряющее электроны. Потенциал этого поля для случая плоских электродов возрастает пропорционально расстоянию до катода и изображается на рис. 14 прямой 1. Если катод накален, то в пространстве между катодом и анодом появляются отрицательные заряды — электроны. Наличие электронов, распределенных во всем объеме между катодом и анодом, создает в междueleктродном пространстве так называемый *отрицательный пространственный заряд*, снижающий потенциал всех точек этого пространства. Поэтому линия распределения потенциала на потенциальной диаграмме пройдет ниже прямой 1 и будет иметь вид кривой 2 или 3. Влияние поля отрицательного пространственного заряда проявляется тем

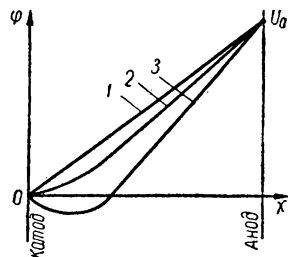


Рис. 14. Потенциальная диаграмма участка катод — анод диода.

сильнее, чем больше электронов между катодом и анодом и чем ниже анодное напряжение.

Кривая 2 показывает распределение потенциала в том случае, когда ускоряющее поле анода полностью компенсирует тормозящее действие отрицательного пространственного заряда. В этом случае все электроны, излучаемые катодом, попадают на анод, а следовательно, ток анода получается равным току эмиссии. Такой режим работы получил название режима насыщения. Дальнейшее увеличение анодного тока в этом режиме возможно только за счет увеличения эмиссии катода, т. е. за счет повышения напряжения накала. Однако повышение анодного тока таким способом является нецелесообразным, так как приводит к резкому сокращению срока службы катода.

Кривая 3 соответствует тому случаю, когда анодное напряжение меньше напряжения насыщения и не все электроны, вылетевшие из катода, могут преодолеть тормозящее действие отрицательного пространственного заряда. Часть электронов при этом, не достигнув анода, падает обратно на катод. В результате около катода образуется отрицательный пространственный заряд большой плотности и возникает тормозящее электрическое поле, препятствующее прохождению электронов на анод. Чем выше анодное напряжение, тем в большей степени оно компенсирует действие отрицательного пространственного заряда. Поэтому количество электронов, достигших анода, возрастает и анодный ток увеличивается.

Большое значение для нормальной работы лампы имеет состояние вакуума в баллоне. Нормально вакуум характеризуется давлением порядка 10^{-6} — 10^{-7} мм рт. ст. При наличии остатков воздуха в баллоне раскаленная нить накала быстро окисляется и перегорает. Кроме того, электроны при своем быстром полете от катода к аноду сталкиваются с нейтральными атомами воздуха и ионизируют их. Возникающие положительные ионы отталкиваются анодом и направляются на катод. Под ударами ионов, обладающих сравнительно большой массой, катод разогревается и может разрушиться. Поэтому для улучшения вакуума внутрь баллона помещается поглотитель, называемый *геттером*. В качестве геттера используется порошок бария или магния, обладающий способностью поглощать остатки воздуха и газы, выделяющиеся из электродов лампы при их нагревании во время работы.

2—2. Характеристики и параметры диодов

При выборе электронных ламп для работы в различных схемах руководствуются их характеристиками и параметрами, которые приводятся в справочниках по электровакуумным приборам.

Важнейшей характеристикой диода является анодная характеристика, представляющая собой зависимость анодного тока от анодного напряжения. Для определения этой зависимости необходимо проследить за изменением величины анодного тока при изме-

нении напряжения на аноде и постоянном напряжении накала (рис. 15).

Передвигая рукоятку потенциометра R снизу вверх, можно увеличивать напряжение на аноде от нуля до максимального значения напряжения, равного э. д. с. источника E_a . При этом будет увеличиваться и анодный ток. Если на основании результатов измерений построить кривую, то она и будет представлять собой зависимость $I_a = f(U_a)$ при $U_n = \text{const}$ (рис. 16, кривая OAB). Эта кривая называется *анодной характеристикой диода*.

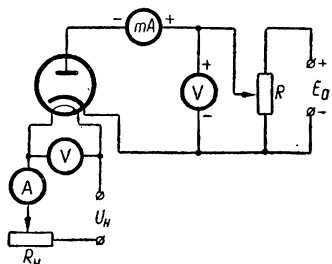


Рис. 15. Схема для снятия характеристик диода.

Когда анодное напряжение равно нулю, анодный ток тоже равен нулю, так как электроны не притягиваются анодом. Увеличение анодного напряжения вызывает возрастание анодного тока — сначала медленное (за счет влияния отрицательного пространственного заряда), а затем более

быстрое. На участке OA характеристики анодный ток подчиняется так называемому *закону степени трех вторых*, выражающему зависимость между анодным током и анодным напряжением

$$I_a = KU_a^{\frac{3}{2}}, \quad (2-1)$$

где K — коэффициент, зависящий от геометрических размеров и формы электродов.

Из выражения (2—1) следует, что анодный ток растет быстрее, чем анодное напряжение. Например, если увеличить анодное напряжение вдвое, то анодный ток возрастает примерно в 2,8 раза, т. е. станет на 40% больше, чем должно быть по закону Ома.

Закон степени трех вторых используется практически при конструировании диодов (для расчета геометрических размеров электродов, обеспечивающих необходимую величину анодного тока). Когда напряжение на аноде лампы достигает такой величины, при которой все электроны, излучаемые катодом, попадают на анод, характеристика вступает в область насыщения (участок AB на кривой OAB). Ток насыщения диода равен току эмиссии катода. При уменьшении напряжения накала температура катода уменьшается, что приводит к уменьшению величины тока насыщения (кривая OCD).

Лампы с оксидным катодом не имеют явно выраженной области насыщения, и их характеристика изображается кривой OAE . Одна-

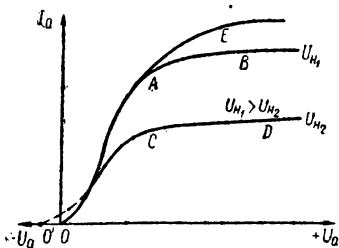


Рис. 16. Анодная характеристика диода.

ко участок AE характеристики обычно не используется, так как при работе на этом участке срок службы катода уменьшается.

Необходимо отметить, что реальная анодная характеристика диода несколько отличается от теоретической. Начинается она не в начале координат, а имеет небольшой участок в области отрицательных анодных напряжений (точка O'). Объясняется это тем, что некоторые электроны, вылетевшие за пределы катода, обладают скоростью, достаточной для преодоления слабого отталкивающего действия анода и достигают его.

Важнейшим свойством анодной характеристики диода является ее нелинейность. Форма анодной характеристики диода резко отличается от прямой линии: при отрицательных напряжениях анода ток через лампу не течет (исключая начальный ток анода), а при положительных напряжениях анода изменение тока подчиняется нелинейному закону степени трех вторых.

Диод характеризуется также зависимостью анодного тока от напряжения накала. Обычный вид этой характеристики, получившей название *эмиссионной характеристики диода*, показан на рис. 17. Эта характеристика также может быть снята с помощью схемы, приведенной на рис. 15. Эмиссионная характеристика идет не из начала координат, а из точки A , соответствующей примерно 20—50% нормального напряжения накала. При меньших напряжениях накала эмиссия практически отсутствует. С увеличением накала эмиссия катода растет, а следовательно, возрастает и анодный ток. При пониженном анодном напряжении анодный ток ограничен отрицательным пространственным зарядом и имеет небольшую величину.

Для качественной оценки свойств диода служат его параметры, позволяющие решать вопросы о применении диода для тех или иных целей. Основными параметрами диода являются:

Крутизна характеристики (S). Этот параметр диода показывает, на сколько миллиампер изменяется анодный ток при изменении анодного напряжения на 1 в

$$S = \frac{\Delta I_a}{\Delta U_a} \text{ ма/в.} \quad (2-2)$$

Крутизну можно определить графически, пользуясь анодной характеристикой (рис. 18). Отметим на прямолинейном участке этой характеристики какую-нибудь точку I . Для этой точки анодное напряжение равно U_{a1} , а ток I_{a1} . Увеличим теперь напряжение на аноде до величины U_{a2} . При этом анодный ток увеличится до значения I_{a2} .

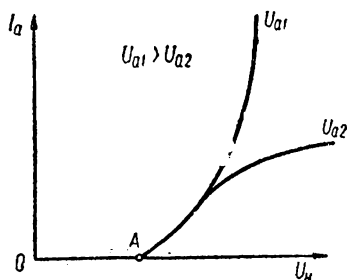


Рис. 17. Эмиссионная характеристика диода.

Следовательно, крутизна равна

$$S = \frac{\Delta I_a}{\Delta U_a} = \frac{I_{a2} - I_{a1}}{U_{a2} - U_{a1}} = \operatorname{tg} \alpha.$$

В криволинейной части характеристики крутизна в разных точках различна и равна тангенсу угла, образованному касательной в данной точке с положительным направлением горизонтальной оси (точки 3, 4 на рис. 18).

Большая крутизна характеристики является достоинством диода и зависит от конструкции лампы: чем больше поверхность анода и чем меньше расстояние между анодом и катодом, тем больше крутизна характеристики. Современные диоды имеют крутизну в пределах 1—30 ма/в.

Внутреннее сопротивление (R_i). Величина, обратная крутизне характеристики, называется *внутренним сопротивлением диода переменному току* и измеряется в омах

$$R_i = \frac{\Delta U_a}{\Delta I_a} = \frac{1}{S} \text{ ом.} \quad (2-3)$$

Рис. 18. Графическое определение параметров диода.

Для современных диодов R_i обычно бывает порядка сотен, а иногда даже десятков ом.

Физический смысл внутреннего сопротивления состоит в том, что при работе диода в цепи переменного тока всякое изменение напряжения на аноде вызывает соответствующее изменение величины анодного тока.

Не следует смешивать величину R_i с внутренним сопротивлением диода для постоянного тока R_0 , которое определяется по закону Ома как отношение величины постоянного анодного напряжения к соответствующей величине анодного тока

$$R_0 = \frac{U_a}{I_a} \text{ ом.}$$

Мощность, рассеиваемая анодом (P_a). Электрон, движущийся к аноду под влиянием анодного напряжения, приобретает кинетическую энергию $\frac{m_0 V^2}{2}$. Эту энергию электрон получает от ускоряющего электрического поля, существующего между анодом и катодом. Поэтому можно считать, что

$$\frac{m_0 V^2}{2} = e U_a,$$

где e — заряд электрона, к;
 U_a — анодное напряжение, в.

Достигнув анода, электрон теряет скорость и его кинетическая энергия переходит в тепловую, вызывая нагрев анода. Если на анод попадает N электронов в секунду, то выделяющаяся на аноде в виде тепла мощность равна

$$P_a = NeU_a \text{ вт.}$$

Произведение Ne представляет собой количество электричества в кулонах, попадающее в 1 сек на анод, т. е. величину анодного тока в амперах. Поэтому мощность, выделяющаяся на аноде, равна

$$P_a = I_a U_a. \quad (2-4)$$

Эта мощность называется *мощностью, рассеиваемой на аноде*, или *мощностью потерь на аноде*, поскольку нагрев анода совершенно бесполезен. При большом значении мощности P_a температура анода может достигать сотен градусов, и в некоторых случаях анод может расплавиться. Кроме того, чрезмерный нагрев анода может вызвать значительный дополнительный нагрев катода. Это приводит к испарению активированного слоя катода и резко уменьшает его эмиссионную способность. В некоторых случаях при нагреве анода возникает термоэлектронная эмиссия с его поверхности, которая может быть причиной преждевременного выхода лампы из строя.

Поэтому мощность, рассеиваемая анодом при работе лампы, не должна превышать некоторую допустимую для данного типа лампы величину, которая, как и другие параметры, указывается в справочнике по электровакуумным приборам.

Для того чтобы анод допускал рассеивание большей мощности, принимают меры к улучшению его охлаждения: чернят поверхность анода для увеличения рассеивания тепловой энергии лучеиспусканием, увеличивают рабочую поверхность, снабжая анод ребрами, а в мощных лампах применяют искусственное воздушное или водяное охлаждение поверхности анода.

Максимально допустимое обратное напряжение ($U_{\text{обр. доп.}}$). Во многих схемах при работе диода к его аноду прикладывается переменное напряжение. При положительном напряжении через диод проходит анодный ток и внутреннее сопротивление диода невелико. Подводимое напряжение в этом случае распределяется между лампой и остальными элементами цепи (нагрузкой), причем основная часть напряжения источника падает на нагрузочном сопротивлении. Например, в схеме, приведенной на рис. 19, все подведенное напряжение распределяется между диодом и сопротивлением нагрузки R_n , соединенных между собой последовательно. Обычно сопротивление

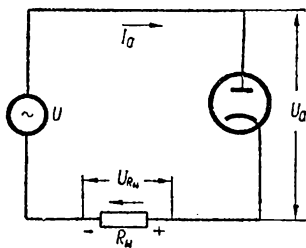


Рис. 19. Диод в цепи переменного тока.

нагрузки превышает внутреннее сопротивление проводящего диода ($R_n \gg R_i$). Поэтому напряжение между анодом и катодом диода невелико $U_a = U - I_a R_n$.

При отрицательном полупериоде напряжения на аноде ток через диод не проходит ($I_a = 0$), и все подводимое напряжение оказывается полностью приложенным между анодом и катодом ($U_a = U$). Такое отрицательное анодное напряжение называется обратным напряжением $U_{обр}$. При большом значении $U_{обр}$ может наступить пробой участка анод — катод. Каждый тип диода характеризуется величиной максимально допустимого обратного напряжения, при котором пробой в лампе не возникает. Поэтому при работе диода всегда должно выполняться условие

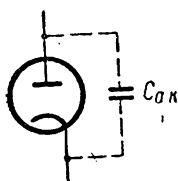


Рис. 20. Между-
электродная емкость
диода.

$U \leq U_{обр. доп}$. При большом значении $U_{обр}$ может наступить пробой участка анод — катод. Каждый тип диода характеризуется величиной максимально допустимого обратного напряжения, при котором пробой в лампе не возникает. Поэтому при работе диода всегда должно выполняться условие

Емкость анод — катод диода ($C_{a.k.}$). Важным параметром диодов, работающих в диапазоне высоких частот, является емкость между анодом и катодом ($C_{a.k.}$). Эта емкость тем больше, чем больше площадь катода и анода и чем меньше расстояние между ними, а также чем длиннее, толще и ближе друг к другу выводные проводники и штырьки цоколя. Емкость $C_{a.k.}$ подключена параллельно внутреннему сопротивлению диода (рис. 20).

На низких частотах сопротивления $X C_{a.k.} = \frac{1}{2\pi f_n C_{a.k.}}$ велико, и оно практически не оказывает влияния на работу диода. Но на высоких и особенно на сверхвысоких частотах емкостное сопротивление уменьшается и, шунтируя R_i , ухудшает выпрямительные свойства диода. Поэтому для работы на высоких частотах стараются применять диоды с небольшим значением емкости $C_{a.k.}$. У таких диодов уменьшают размеры анода и катода и удаляют друг от друга их выводы. Для современных маломощных диодов величина $C_{a.k.}$ составляет единицы пикофард.

Кроме перечисленных параметров, диоды характеризуются также номинальными значениями анодного напряжения U_a , напряжения накала U_n и тока накала I_n . Эти параметры указываются в справочниках по электровакуумным приборам.

2—3. Применение диодов

Рассмотрение анодной характеристики диода (рис. 16) приводит к выводу о том, что между величиной напряжения на аноде и величиной анодного тока нет прямой пропорциональности. Это свойство диода позволяет рассматривать лампу как некоторое нелинейное сопротивление и объясняет важнейшую особенность диода — одностороннюю проводимость.

Нелинейные сопротивления характеризуются изменением формы тока по сравнению с формой приложенного переменного напряже-

ния. Это свойство нелинейных сопротивлений широко используется в радиотехнике и электронной автоматике для выпрямления переменного тока, детектирования высокочастотных колебаний, фиксирования и ограничения напряжений и т. д.

В этом параграфе мы ограничимся рассмотрением принципа работы диода в схеме выпрямителя. Такие диоды получили название *кенотронов*, а устройства, предназначенные для выпрямления переменного тока с помощью кенотрона, называются *кенотронными выпрямителями*. Простейшая схема кенотронного выпрямителя изображена на рис. 21. Любой выпрямитель является потребителем энергии со стороны переменного тока и генератором со стороны постоянного тока. В схеме, приведенной на рис. 21, роль генератора переменного э. д. с. выполняет силовой трансформатор, включенный в электрическую сеть. От специальной понижающей обмотки этого трансформатора питается накал кенотрона. Во время положительного полупериода анодного напряжения в цепи диода проходит анодный ток и создает на сопротивлении нагрузки R_n падение напряжения $U_{Rn} = I_a R_n$. При перемене полярности

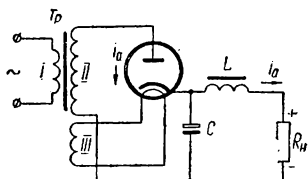


Рис. 21. Схема кенотронного выпрямителя.

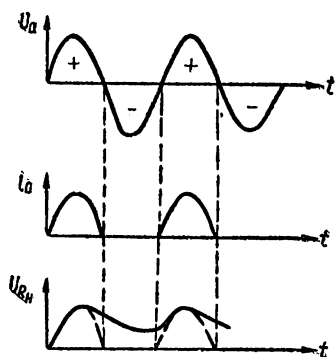


Рис. 22. Графическое изображение процесса выпрямления.

э. д. с. генератора анодное напряжение становится отрицательным, ток в цепи диода не проходит и $U_n = 0$.

Графическое изображение процесса выпрямления показано на рис. 22. На верхнем графике показано переменное напряжение U_a на аноде лампы. Если бы в цепи выпрямленного тока отсутствовал сглаживающий фильтр, то анодный ток на нагрузке имел бы вид, показанный на среднем графике. Такой ток называется *пульсирующим*, а создаваемое им на сопротивлении R_n напряжение — выпрямленным напряжением. Проследив направление тока, можно установить

полярность выпрямленного напряжения: со стороны катода всегда получается плюс, а со стороны анода — минус.

Для сглаживания пульсаций выпрямленного напряжения применяется фильтр, состоящий из конденсатора C и дросселя L . В тот момент, когда анодный ток возрастает, конденсатор заряжается; когда ток прекращается, конденсатор разряжается через сопротивление R_n , поддерживая на нем постоянное напряжение (нижний график). Дроссель оказывает дополнительное сглаживающее действие, так как обладает свойством препятствовать нарастанию и спа-

данию тока в цепи (ввиду появления э. д. с. самоиндукции). Поскольку в рассмотренной схеме анодный ток проходит только в один полупериод переменного напряжения, эта схема получила название однополупериодной схемы выпрямления. Более сложные схемы выпрямления рассматриваются в гл. 13.

2—4. Основные типы и маркировка диодов

В современной электронной аппаратуре применяются различные типы диодов, которые можно классифицировать по назначению и по конструкции.

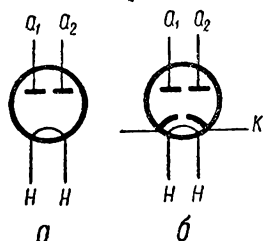


Рис. 23. Схематическое изображение двойных диодов:

а — с катодом прямого накала; б — с подогреваемым катодом.

По назначению различают диоды выпрямительные (кенотроны) и диоды, предназначенные для детектирования. Выпрямительные диоды обычно рассчитываются на высокие (порядка сотен вольт) анодные напряжения и достаточно большие анодные токи (порядка сотен миллиампер). Они должны выдерживать высокие обратные напряжения (порядка киловольт) и имеют большую допустимую мощность потерь на аноде. Диоды, предназначенные для детектирования, менее мощные. Они имеют небольшие размеры и рассчитаны на меньшие напряжения и токи. Как правило, эти диоды имеют подогревные катоды.

По конструкции различают одноанодные и двуханодные диоды. Двуханодный диод по существу представляет собой два одинарных диода, объединенных в одном баллоне. Нити накала каждого диода обычно соединяются внутри лампы параллельно или последовательно. Упрощенные схематические изображения двойных диодов прямого и косвенного накалов показаны на рис. 23. Двуханодные диоды используются как для выпрямления, так и для детектирования.

В соответствии с Государственным общесоюзным стандартом (ГОСТ 5461-59) одинарные детекторные диоды обозначаются буквой Д, двойные диоды — буквой Х, а кенотроны с одним или двумя анодами — Ц. В обозначении ламп перед буквой ставится число, указывающее напряжение накала (округленно), а после буквы — порядковый номер типа лампы. В зависимости от конструкции и

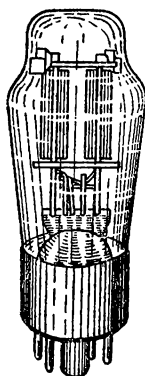


Рис. 24. Внешний вид лампы 5Ц4С.



Рис. 25. Внешний вид лампы 6Х2П.

внешнего оформления лампы после порядкового номера ставятся разные буквы. Если после номера буквы вообще нет, то это означает, что лампа находится в металлическом баллоне. Лампы со стеклянным баллоном нормальных размеров имеют после номера букву С. Миниатюрные лампы со стеклянным баллоном диаметром около 20 мм называются пальчиковыми и имеют в конце обозначения букву П. Сверхминиатюрные лампы с диаметром стеклянного баллона около 10 мм имеют в конце обозначения букву Б, а с диаметром баллона 6 мм — букву А. Лампы со специальным замковым цоколем имеют в конце обозначения букву Л. Лампы с буквой Ж на конце обозначения имеют оформление, напоминающее желуди. У них выводы сделаны штырьками в разных местах баллона. У ламп с повышенной надежностью и повышенной механической прочностью в конце обозначения дополнительно ставится тире и буква В, а у ламп с повышенным сроком службы — буква Е.

Для примера расшифруем обозначения нескольких распространенных диодов:

5Ц4С — кенотрон, напряжение накала около 5 в, четвертый порядковый номер, в стеклянном баллоне нормальных размеров (рис. 24).

6Х2П — двойной диод, предназначенный для детектирования, маломощный, напряжение накала около 6 в, второй порядковый номер, в стеклянном баллоне уменьшенных размеров (пальчикового типа) (рис. 25).

6Д4Ж — одинарный детекторный диод типа «желуди», напряжение накала около 6 в, четвертый порядковый номер (рис. 26).

Рис. 27. Внешний вид лампы 6Д6А.

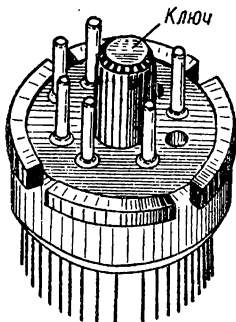


Рис. 28. Окальный цоколь лампы.

6Д6А — сверхминиатюрный одинарный маломощный диод, напряжение накала около 6 в, шестой порядковый номер, диаметр баллона 6 мм (рис. 27).

Большинство ламп обычного типа в стеклянном или металлическом баллоне имеют восьмистырьковые (окальные) цоколи. На таком цоколе штырьки расположены по вершинам правильного восьмиугольника, а в центре находится более длинный и толстый направ-

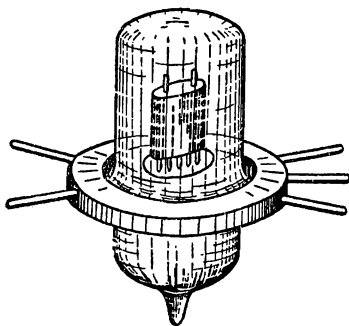


Рис. 26. Внешний вид лампы 6Д4Ж.

ляющий штырек — ключ из изоляционного материала, имеющий специальный выступ для правильной установки лампы в панельку (рис. 28). В описаниях ламп указывается, к каким ножкам выведен тот или иной электрод. При этом отсчет штырьков ведется по часовой

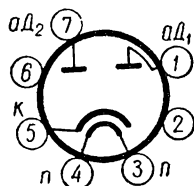


Рис. 29. Цоколевка кенотрона 6Ц4П:

1 — анод первого диода; 2 и 6 — свободные штырьки; 3 и 4 — подогреватель (накал); 5 — катод; 7 — анод второго диода.

стрелке, если смотреть на цоколь снизу, со стороны штырьков. Лампы пальчикового и «желудевого» типа не имеют цоколя. В таких лампах выводы от электродов сделаны в виде заостренных проводников, впаянных в утолщенное стеклянное основание лампы. Сверхминиатюрные бесцокольные лампы имеют выводы от электродов, сделанные гибким луженым проводом толщиной 0,4 мм. На баллон такой лампы наклеена бумажная этикетка с названием лампы и указанием расположения выводов. Кроме того, у одного края ножки лампы имеется цветная метка, от которой ведется отсчет расположения выводов.

Схема соединения электродов лампы, с выводами называется *цоколевкой лампы*. Цоколевки электронных ламп приводятся в справочниках по электровакуумным приборам. Для примера на рис. 29 приведена цоколевка двуханодного кенотрона 6Ц4П.

ГЛАВА 3

ТРЕХЭЛЕКТРОДНАЯ ЛАМПА (ТРИОД)

3—1. Устройство и принцип работы триода

Триодом называется электронная лампа, у которой в пространстве между анодом и катодом помещен третий электрод — сетка. На рис. 30 показано устройство и условное обозначение триода. Катод и анод у триодов устроены так же, как и у диодов. Сетка в большинстве случаев представляет собой цилиндрическую или плоскую спираль из тонкой проволоки, окружающую катод. Материалом для изготовления сетки служит никель, молибден и их сплавы, а также тантал и вольфрам.

При наличии сетки количество электронов, достигших анода, и, следовательно, сила анодного тока зависит не только от величины анодного напря-

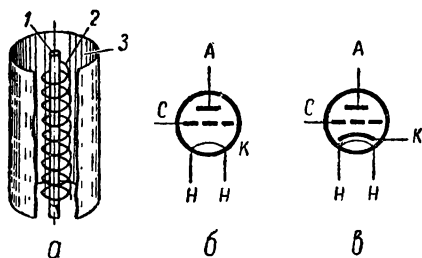


Рис. 30. Устройство и схематическое изображение триода:

а — расположение электродов (1 — катод; 2 — сетка; 3 — анод); б — схематическое изображение триода с катодом прямого накала; в — схематическое изображение триода с подогревным катодом.

жения, но и от величины и полярности напряжения между сеткой и катодом. Изменяя потенциал сетки относительно катода, можно управлять потоком электронов в лампе, т. е. анодным током. Поэтому сетка в триоде называется *управляющей*.

На рис. 31 показаны цепи триода. Триод имеет три цепи: накала, анода и управляющей сетки. Для цепей сетки и анода вывод катода (если он подогревный) или отрицательный конец нити накала (в случае катода прямого накала) является общей точкой. Общую точку схемы обычно заземляют. Потенциал ее считают равным нулю, а потенциалы остальных электродов лампы определяют относительно общей точки схемы.

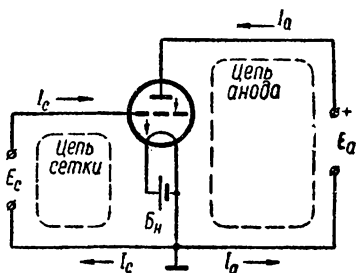


Рис. 31. Цепи триода.

Под действием анодного напряжения между анодом и катодом возникает электрическое поле. Также, как в диоде, поле анода компенсирует действие отрицательного пространственного заряда и создает в лампе поток электронов. Таким образом, поле анода является ускоряющим. Между сеткой и катодом лампы за счет приложенного к промежутку сетка — катод напряжения U_c создается электрическое поле сетки, которое может усилить или ослабить действие электрического поля анода. Если напряжение между сеткой и катодом равно нулю, то сетка не влияет на величину анодного

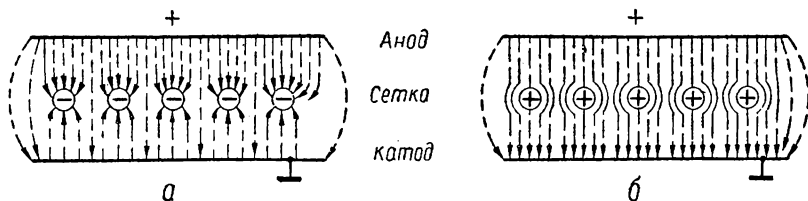


Рис. 32. Электрическое поле в триоде:

a — потенциал сетки отрицательный; *б* — потенциал сетки положительный.

тока лампы. Промежутки между витками сетки, как бы густа она ни была, всегда будут огромны по сравнению с размерами электронов. Поэтому механическим препятствием сетки потоку электронов можно пренебречь. При отрицательном напряжении на сетке поле сетки направлено навстречу полю анода (рис. 32, *a*). Результирующее электрическое поле между катодом и анодом ослабляется. Часть электронов, начальная скорость которых при вылете из катода была небольшой, не преодолевает тормозящего поля сетки и возвращается на катод. Поэтому число электронов, попадающих на анод, уменьшится, а следовательно, уменьшится и анодный ток лампы. Большое отрицательное напряжение на сетке может прекратить анодный

ток, несмотря на положительное напряжение на аноде, т. е. запереть лампу. Это объясняется тем, что сетка расположена к катоду ближе, чем анод, и поэтому оказывает более сильное влияние на движение электронов. В этих условиях электроны, излучаемые катодом, находясь под воздействием только отталкивающего поля сетки и, оставаясь вблизи катода, не образуют тока в анодной цепи. Отрицательное сеточное напряжение, способное запереть лампу, называется *напряжением запираания*. Если на управляющую сетку лампы подается положительное напряжение относительно катода, то поле сетки, являясь ускоряющим, совпадает по направлению с электрическим полем анода (рис. 32, б). Напряженность результирующего поля между катодом и анодом увеличивается, и величина анодного тока в лампе возрастает. При этом часть электронов, движущихся к аноду, может перехватываться сеткой, и в цепи сетки будет существовать ток I_c (сеточный ток). При некотором достаточно большом положительном напряжении на сетке анодный ток увеличивается до максимального значения (ток насыщения). Сеточный ток в этом случае также значительно возрастает. Сумма анодного тока при насыщении и тока сетки равна току эмиссии катода.

В режиме работы лампы с сеточным током мощность, которую необходимо затратить в сеточной цепи для управления анодным током, значительно возрастает. Этот вывод можно сделать из формулы

$$P_c = U_c I_c,$$

где U_c и I_c — значения напряжения и тока в цепи сетки. Для уменьшения мощности источника сеточного напряжения на управляющую сетку лампы обычно подается постоянное (порядка нескольких вольт) отрицательное напряжение, называемое *напряжением смещения*, которое устраняет возможность появления сеточного тока. Изменяя в небольших пределах отрицательное напряжение на сетке при постоянном анодном напряжении, можно в широких пределах управлять анодным током лампы, изменяя его от нуля до насыщения. Это свойство сетки позволяет использовать триод в различных электронных схемах, где требуется получить значительные изменения анодного тока при небольших значениях управляющих сеточных напряжений (например, в усилителях).

3—2. Характеристики триода

Анодный ток в триоде зависит от трех напряжений: накала U_n , на аноде U_a и на сетке U_c . Зависимость анодного тока от напряжения накала практического интереса не представляет, так как лампы обычно работают при постоянном, нормальном для каждого типа напряжении накала. Поэтому анодный ток триода можно рассматривать как функцию двух напряжений: анодного и сеточного.

Совокупность кривых, каждая из которых представляет собой зависимость анодного тока лампы от анодного напряжения при по-

стоянном сеточном напряжении, называется *семейством анодных характеристик триода*. Сокращенно эту зависимость можно записать в виде

$$I_a = f(U_a) \text{ при } U_c = \text{const.}$$

Семейство кривых, изображающих зависимость анодного тока лампы от сеточного напряжения при постоянных значениях анодного напряжения, называется семейством анодно-сеточных характеристик триода, т. е.

$$I_a = f(U_c) \text{ при } U_a = \text{const.}$$

Указанные характеристики, каждую из которых получают путем изменения лишь одного из напряжений при сохранении второго напряжения неизменным, называются *статическими*.

Для снятия статических характеристик триода можно воспользоваться схемой, приведенной на рис. 33. В этой схеме питание сеточной цепи осуществляется от источника E_c с помощью потенциометра и перекидного переключателя, позволяющего изменять полярность напряжения на сетке. При снятии анодной характеристики триода устанавливается определенное постоянное напряжение на сетке. После этого, начиная от нуля, постепенно увеличивают анодное напряжение и отмечают соответствующие величины анодного тока. Сняв одну анодную характеристику при определенном значении U_c , можно установить другое значение напряжения на сетке и снять вторую кривую и т. д. На рис. 34 представлено семейство анодных характеристик триода 6С5С.

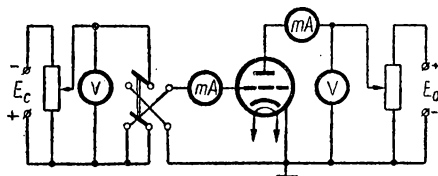


Рис. 33. Схема для снятия характеристик триода.

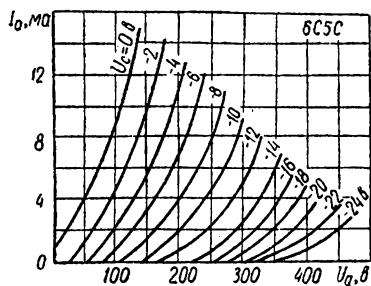


Рис. 34. Семейство анодных характеристик триода.

потенциалу катода ($U_c = 0$), то анодная характеристика триода аналогична такой же характеристике диода. Ее кривизна при малых анодных напряжениях является следствием влияния отрицательного пространственного заряда, препятствующего линейному нарастанию анодного тока. При повышении анодного напряжения анодный ток лампы возрастает до тех пор, пока не наступит режим насыщения. Участок насыщения на графике анодных характеристик ламп обычно не изображают, так как при использовании оксидных катодов и работе в пределах нормальных анодных напряжений насыщение практически отсутствует.

Если сетке сообщить отрицательный потенциал относительно катода $U_c = -2$ в, то для компенсации пространственного заряда и тормозящего поля сетки понадобится подать на анод определенный

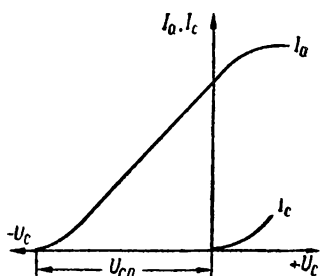


Рис. 35. Анодно-сеточная характеристика триода.

положительный потенциал, и анодный ток появится лишь в этом случае. Поэтому анодная характеристика, соответствующая $U_c = -2$ в, смещается вправо. Чем больше отрицательное напряжение на сетке, тем большим должно быть напряжение на аноде для получения анодного тока и тем правее располагаются анодные характеристики триода на графике.

Анодно-сеточные характеристики снимаются при постоянном напряжении на аноде. Изменяя напряжение на сетке и наблюдая за величиной анодного тока, можно получить график, изображенный на рис. 35. При некотором отрицательном напряжении на сетке U_{c0} анодный ток равен нулю. В этом случае действие анодного напряжения полностью компенсируется тормозящим действием отрицательной сетки. По мере уменьшения отрицательного напряжения на сетке тормозящее поле сетки уменьшается, и анодный ток лампы возрастает. В правой части характеристики (при положительных напряжениях на сетке) рост анодного тока снова замедляется. Это объясняется появлением сеточного тока. Чем больше положительное напряжение на сетке, тем больше электронов перехватывается сеткой и тем меньше электронов попадает на анод. Поэтому рост тока I_c сопровождается уменьшением тока I_a .

Анодно-сеточные характеристики можно снимать при различных значениях анодного напряжения. Чем больше анодное напряжение, тем левее сдвигается анодно-сеточная характеристика. Это объясняется тем, что при высоком анодном напряжении для запираания лампы необходимо подать достаточно большое отрицательное напряжение на сетку. При меньшем значении анодного напряжения характеристика сдвигается вправо, так как даже небольшое отрицательное напряжение на сетке запирает лампу.

На рис. 36 показано семейство анодно-сеточных характеристик триода 6С5С. Каждая анодно-сеточная характеристика условно

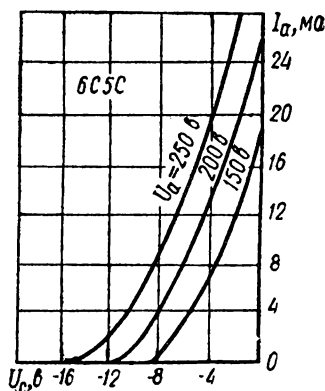


Рис. 36. Семейство анодно-сеточных характеристик триода.

разделяется на три участка: нижнего загиба (начало характеристики), прямолинейный (средняя часть характеристики) и верхнего загиба. Рабочей частью анодно-сеточной характеристики обычно является ее левая часть, т. е. участок, расположенный в области отрицательных напряжений на сетке.

По анодным и анодно-сеточным характеристикам триода можно определить величину анодного тока при заданных напряжениях на аноде и сетке лампы. Количественно оценить влияние анодного и сеточного напряжений на величину анодного тока можно при помощи параметров триода.

3—3. Параметры триода

Основными параметрами триода, определяющими зависимость анодного тока от анодного и сеточного напряжений, являются: крутизна анодно-сеточной характеристики S , коэффициент усиления μ , проницаемость D и внутреннее сопротивление R_i .

Крутизна (S). Крутизна анодно-сеточной характеристики показывает, на сколько миллиампер изменится анодный ток лампы при изменении сеточного напряжения на 1 в и постоянстве анодного напряжения

$$S = \frac{\Delta I_a}{\Delta U_c} \text{ при } U_a = \text{const.} \quad (3-1)$$

Выражается крутизна в ма/в .

Крутизну чаще всего определяют графическим способом, используя семейства анодно-сеточных или анодных характеристик (рис. 37). Для определения приращения анодного тока ΔI_a и сеточного напряжения ΔU_c в семействе анодно-сеточных характеристик (рис. 37, а) строится так называемый характеристический треугольник ABC . Катеты этого треугольника в соответствующих масштабах выражают значения ΔI_a и ΔU_c . Например, для прямолинейного участка анодно-сеточной характеристики, соответствующей $U_a = 120 \text{ в}$, крутизна равна

$$S = \frac{\Delta I_a}{\Delta U_c} = \frac{8}{4} = 2 \text{ ма/в.}$$

Из треугольника ABC следует, что величина S пропорциональна тангенсу угла наклона прямолинейного участка характеристики к оси абсцисс. Чем круче идет анодно-сеточная характеристика, тем больше S . Поэтому на разных участках одной и той же характеристики крутизна неодинакова: на прямолинейном участке крутизна наибольшая и имеет постоянное значение, а на нижнем и верхнем загибах она уменьшается и уже не является постоянной. Значение крутизны для точек, лежащих на криволинейных участках характеристики лампы, проще всего определить методом касательной. Для этого необходимо провести касательную к рассматриваемой точке и определить тангенс угла наклона этой касательной к

оси абсцисс. Значения крутизны характеристики лампы, как и другие параметры лампы, приводимые в справочниках, относятся к прямолинейному участку характеристики.

Крутизну можно определить также по анодным характеристикам лампы (рис. 37, б). Для этого выбираем на двух анодных характеристиках для сеточных напряжений U_{c1} и U_{c2} точки B и C , соответствующие одному и тому же анодному напряжению. Изменение тока ΔI_a при переходе от точки B к C надо разделить на соответствующее изменение напряжения $\Delta U_c = U_{c2} - U_{c1}$. Например,

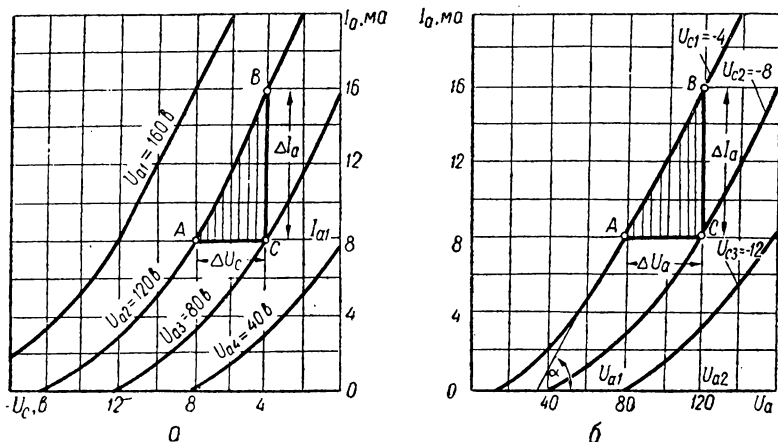


Рис. 37. Определение параметров триода по характеристикам:
а — в семействе анодно-сеточных характеристик; б — в семействе анодных характеристик.

при $U_a = 120$ в изменение сеточного напряжения от $U_{c1} = -4$ в до $U_{c2} = -8$ в приводит к изменению тока на величину $\Delta I_a = 8$ ма.

Поэтому $S = \frac{\Delta I_a}{\Delta U_c} = \frac{8}{4} = 2$ ма/в. Следует иметь в виду, что наклон

анодных характеристик не связан непосредственно с величиной крутизны. Поэтому проведение касательной к точкам анодной характеристики для определения крутизны не имеет смысла.

Крутизна характеристики триода зависит от эмиссионной способности катода и от особенностей конструкции лампы. Чем больше эмиссия катода, чем гуще сетка и чем ближе она расположена к катоду, тем больше величина S . Современные триоды имеют крутизну порядка 1—30 ма/в.

Коэффициент усиления (μ). Как известно, сила электрического поля, действующая на электроны, находящиеся в пространстве между двумя электродами, возрастает с увеличением разности потенциалов и уменьшением расстояния между ними. Так как сетка находится ближе к катоду, чем анод, то ее поле сильнее действует на величину анодного тока, чем поле анода. При одном и том же

расстоянии от катода действие сетки зависит от густоты ее: чем гуще сетка, тем действие ее сильнее. Отсюда следует, что для получения одного и того же изменения анодного тока сеточное напряжение нужно изменить на значительно меньшую величину, чем анодное. На этом явлении основано усиливающее действие триода.

Число, показывающее, во сколько раз изменение напряжения управляющей сетки действует на анодный ток сильнее, чем изменение анодного напряжения, называется *коэффициентом усиления лампы*.

Коэффициент усиления можно определить как отношение приращения ΔU_a анодного напряжения, вызвавшего некоторое изменение анодного тока к приращению ΔU_c сеточного напряжения, способному вызвать такое же по величине, но обратное по знаку изменение анодного тока

$$\mu = -\frac{\Delta U_a}{\Delta U_c} \text{ при } I_a = \text{const.} \quad (3-2)$$

Эту формулу следует понимать так, что для сохранения постоянства анодного тока надо изменить напряжение анода и сетки в разные стороны и при этом ΔU_a должно быть в μ раз больше, чем ΔU_c . При одновременном изменении анодного и сеточного напряжений величина анодного тока может оставаться постоянной, если приращения этих напряжений имеют противоположные знаки. Поэтому величина μ , найденная по формуле (3—2), всегда оказывается положительной.

Для пояснения сказанного вновь обратимся к рис. 37, а. Пусть напряжение на аноде лампы равно $U_{a3} = 80$ в, а напряжение на управляющей сетке $U_{c1} = -4$ в. Через лампу протекает ток $I_{a1} = 8$ ма (точка С). Не изменяя напряжения на сетке, увеличим анодный ток до значения $I_{a1} + \Delta I_a = 16$ ма (точка В), повысив напряжение на аноде до $U_{a2} = 120$ в. Теперь при постоянном напряжении U_{a2} на аноде уменьшим анодный ток до прежнего значения, увеличив отрицательное напряжение на сетке до $U_{c2} = -8$ в (точка А). Тогда коэффициент усиления триода будет равен

$$\mu = -\frac{U_{a2} - U_{a3}}{U_{c2} - U_{c1}} = -\frac{\Delta U_a}{\Delta U_c} = -\frac{120 - 80}{-8 + 4} = 10.$$

Вычисление коэффициента усиления по анодным характеристикам можно провести, пользуясь рис. 37, б. Например, при $U_{a1} = 80$ в и $U_{c1} = -4$ в анодный ток $I_a = 8$ ма (точка А). Для увеличения тока до величины $I_a = 16$ ма (точка В) потребуется увеличить анодное напряжение до $U_{a2} = 120$ в. Теперь при постоянном U_{a2} на аноде уменьшим анодный ток до прежнего значения. Для этого увеличим отрицательное напряжение на сетке от $U_{c1} = -4$ в до $U_{c2} = -8$ в, тогда коэффициент усиления будет равен

$$\mu = -\frac{\Delta U_a}{\Delta U_c} = -\frac{40}{-4} = 10.$$

Современные триоды имеют величину μ от 4 до 100 и более. Чем гуще сетка и чем ближе она расположена к катоду, тем больше μ . Чаще всего μ бывает порядка 10—30.

Проницаемость (D). Величина, обратная коэффициенту усиления, называется проницаемостью (D)

$$D = \frac{1}{\mu} = \frac{\Delta U_c}{\Delta U_a} \text{ при } I_a = \text{const и } I_c = 0. \quad (3-3)$$

Следовательно, проницаемость показывает, какой доле действия сетки эквивалентно действие анода.

Из рис. 32 видно, что электрическое поле анода проникает между витками сетки и действует на поток электронов. При этом часть электрических силовых линий поля анода замыкается на витках сетки, не доходя до катода. Таким образом, сетка представляет собой своеобразный экран, ослабляющий действие анода на поток электронов вблизи катода. Чем гуще сетка, тем слабее электрическое поле анода вблизи катода, тем проницаемость меньше.

Внутреннее сопротивление (R_i). Этот параметр также, как и для диода, характеризует сопротивление лампы переменному току. Численно R_i равно отношению изменения анодного напряжения к соответствующему изменению анодного тока при неизменном напряжении на сетке

$$R_i = \frac{\Delta U_a}{\Delta I_a} \text{ ом при } U_c = \text{const}. \quad (3-4)$$

Для определения R_i на семействе анодно-сеточных характеристик триода (рис. 37, а) необходимо найти при постоянном сеточном напряжении приращение анодного тока ΔI_a между точками В и С. Учитывая, что точка В лежит на характеристике, соответствующей анодному напряжению U_{a2} , а точке С соответствует анодное напряжение U_{a3} , можно найти приращение $\Delta U_a = U_{a2} - U_{a3}$.

Подставив полученные значения ΔU_a и ΔI_a в формулу (3-4), найдем R_i для рассматриваемого случая

$$R_i = \frac{\Delta U_a}{\Delta I_a} = \frac{40}{0,008} = 5000 \text{ ом}.$$

Следует помнить, что для получения R_i в омах необходимо ΔI_a выражать в амперах.

Если обратиться к анодным характеристикам триода (рис. 37, б), то нетрудно установить, что внутреннее сопротивление связано с наклоном этих характеристик к оси абсцисс. Величина R_i пропорциональна котангенсу угла наклона α касательной, проведенной в заданной точке анодной характеристики, с положительным направлением оси абсцисс. Для прямолинейного участка характеристики R_i можно найти из треугольника ABC . Например, для характеристики, снятой при $U_{c1} = -4$ в, внутреннее сопротивление

равно 5000 ом. Значение внутреннего сопротивления R_i на прямолинейном участке анодной характеристики является величиной постоянной и указывается в справочниках. Для различных типов триодов внутреннее сопротивление может быть порядка 0,5—100 ком.

Кроме внутреннего сопротивления переменному току, триоды, как и диоды, обладают внутренним сопротивлением постоянному току (R_0), которое определяется по закону Ома в данной точке характеристики

$$R_0 = \frac{U_a}{I_a}.$$

Сопротивление R_0 не является параметром лампы, так как оно не остается постоянным даже на прямолинейном участке характеристики и в сильной степени зависит от сеточного напряжения U_c .

Между основными параметрами триода имеется простая зависимость

$$SR_i D = \frac{\Delta I_a}{\Delta U_c} \cdot \frac{\Delta U_a}{\Delta I_a} \cdot \frac{\Delta U_c}{\Delta U_a} = 1. \quad (3-5)$$

Учитывая, что $D = \frac{1}{\mu}$, получим

$$\mu = SR_i. \quad (3-6)$$

Эта зависимость называется *внутренним уравнением лампы*. Оно позволяет при двух известных параметрах определить третий. При этом R_i берется в ком, а S — в ма/в.

3—4. Динамические характеристики триода

До сих пор мы рассматривали режим работы триода, при котором изменяется только напряжение на сетке при неизменном анодном напряжении и наоборот. Такой режим называется *статическим*. Он устанавливается при отсутствии нагрузочного сопротивления в анодной цепи лампы. Однако во всех конкретных схемах с применением триодов в цепи анода имеется нагрузочное сопротивление R_a (рис. 38), на котором при прохождении анодного тока возникает падение напряжения

$$U_{Ra} = I_a R_a.$$

При этом анодное напряжение U_a оказывается меньшим, чем E_a , на величину напряжения U_{Ra}

$$U_a = E_a - U_{Ra} = E_a - I_a R_a. \quad (3-7)$$

Из выражения (3—7) следует, что напряжение на аноде лампы зависит от величины анодного тока: чем больше анодный ток, тем мень-

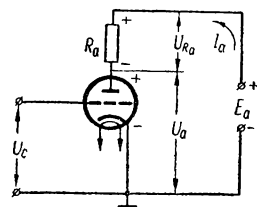


Рис. 38. Включение сопротивления нагрузки в анодную цепь триода.

ше напряжение на аноде лампы. Но величина анодного тока в триоде зависит от напряжения U_c , приложенного к сетке. При повышении этого напряжения анодный ток возрастает, а напряжение на аноде падает. Наоборот, если напряжение U_c понизить, то анодный ток уменьшится, а анодное напряжение возрастет. Такой режим работы лампы, при котором одновременно меняется напряжение на аноде и на управляющей сетке лампы, получил название *динамического режима*. Нетрудно заметить, что в динамическом режиме при чисто активном нагрузочном сопротивлении R_a анодное напряжение изменяется в противофазе с сеточным.

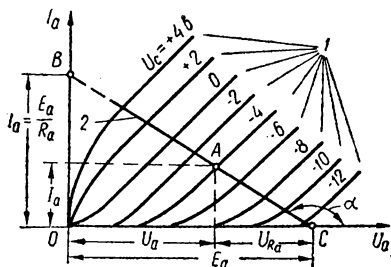


Рис. 39. Построение анодной динамической характеристики триода: 1 — семейство статических анодных характеристик; 2 — нагрузочная прямая.

Это приводит к тому, что влияние сеточного напряжения на анодный ток частично компенсируется противодействующим изменением анодного напряжения. Поэтому анодный ток в динамическом режиме изменяется под воздействием сеточного напряжения в меньшей степени, чем в статическом режиме.

Для анализа работы триода в динамическом режиме уже нельзя пользоваться семейством статических характеристик, так как, зная лишь сеточное напряжение лампы и э. д. с. анодного источника и не зная величины анодного напряжения в любой момент времени, невозможно определить анодный ток лампы. Поэтому для расчета работы триода в динамическом режиме пользуются динамическими характеристиками и параметрами, которые в значительной степени отличаются от статических.

Для построения динамической характеристики триода обратимся к выражению (3—7). Из этого выражения можно установить зависимость между анодным током и анодным напряжением в динамическом режиме

$$I_a = \frac{E_a}{R_a} - \frac{1}{R_a} U_a. \quad (3-8)$$

Полученное выражение представляет собой уравнение прямой линии, которую можно построить в семействе статических анодных характеристик триода (рис. 39). Из уравнения (3—8) видно, что при $I_a = 0$ $U_a = E_a$, а при $U_a = 0$ $I_a = \frac{E_a}{R_a}$. Это позволяет найти

точки C и B на осях координат, через которые можно провести прямую, выраженную уравнением (3—8). Полученная прямая представляет собой анодную динамическую характеристику триода, которую часто называют также *нагрузочной прямой*.

Следует заметить, что точка B не соответствует реальному режиму работы лампы, так как при $U_a = 0$ анодный ток не может иметь максимального значения. То же относится и к некоторому участку линии BC вблизи точки B (показанному пунктиром). Большая величина тока в анодной цепи при $U_a = 0$ может быть получена при коротком замыкании лампы ($R_i = 0$). При этом величина тока I_a зависит только от сопротивления R_a ($I_a = \frac{E_a}{R_a}$). Однако такой режим работы в реальных схемах не используется.

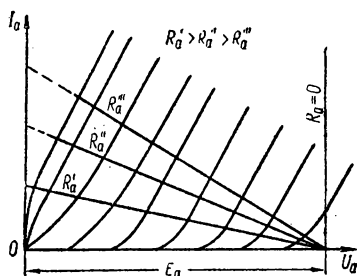


Рис. 40. Нагрузочные прямые для различных значений сопротивлений анодной нагрузки.

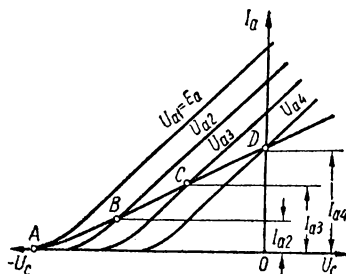


Рис. 41. Построение динамической характеристики триода в семействе анодно-сеточных характеристик.

Нагрузочную прямую можно также построить, когда известны E_a и угол α . Для этого из точки C , соответствующей в выбранном масштабе э. д. с. анодного источника E_a , нужно провести прямую под углом

$$\alpha = \arctg\left(-\frac{1}{R_a}\right).$$

С помощью нагрузочной прямой можно определить анодный ток и анодное напряжение при любом заданном напряжении на управляющей сетке. Для примера на рис. 39 показано, что при сеточном напряжении $U_c = -4$ в величины I_a и U_a определяются точкой A . Отрезок, дополняющий U_a до величины E_a , выражает падение напряжения на сопротивлении анодной нагрузки.

Наклон нагрузочной прямой зависит от величины сопротивления анодной нагрузки: чем больше R_a , тем более полого идет нагрузочная прямая (рис. 40). Если $R_a = 0$, то характеристика превращается в вертикальную прямую линию. Этот случай соответствует статическому режиму, когда $U_a = E_a = \text{const}$.

Динамическая характеристика может быть также построена в семействе анодно-сеточных статических характеристик. Для этого должны быть заданы семейство анодно-сеточных характеристик, э. д. с. источника анодного питания E_a и сопротивление анодной нагрузки R_a . На рис. 41 приведено семейство анодно-сеточных харак-

теристик триода, причем крайняя левая характеристика соответствует анодному напряжению $U_{a1} = E_a$. Динамическую характеристику надо строить по точкам, пользуясь уравнением (3—7), представленным в виде

$$I_a = \frac{E_a - U_a}{R_a}. \quad (3-9)$$

Подставляя в это уравнение значения U_{a1} , U_{a2} , U_{a3} и т. д., для которых заданы статические характеристики, находим величины анодных токов $I_{a1} = 0$, I_{a2} , I_{a3} и т. д. Точки, соответствующие этим значениям токов и напряжений (A , B , C , D и т. д.), наносятся на график и через них проводится кривая. Эта кривая получила название

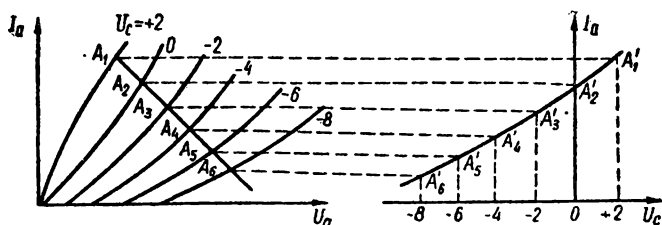


Рис. 42. Перенос динамической характеристики из координат $I_a - U_a$ в координаты $I_a - U_c$.

динамической анодно-сеточной характеристики триода. Из рис. 41 видно, что динамическая анодно-сеточная характеристика имеет меньшую крутизну, чем статические характеристики. Это свидетельствует о том, что в динамическом режиме анодный ток изменяется под влиянием сеточного напряжения в меньшей степени, чем в статическом режиме. Наклон анодно-сеточной динамической характеристики зависит от величины нагрузочного сопротивления R_a : чем больше R_a , тем меньше крутизна характеристики, и наоборот.

Наиболее просто построить динамическую анодно-сеточную характеристику по заданным анодным статическим характеристикам триода и нагрузочной прямой. Для этого достаточно перенести точки, соответствующие нагрузочной прямой, из системы координат $I_a - U_a$ в систему координат $I_a - U_c$, как это показано на рис. 42. Откладываем на оси U_c в принятом масштабе напряжения, соответствующие сеточным напряжениям, для которых построены статические анодные характеристики. В данном примере это $+2$, 0 , -2 , -4 , -6 и -8 в. Из точки A_1 , соответствующей характеристике для $U_c = +2$ в, проводим горизонтальную пунктирную линию, а из точки $+2$ в на оси U_c — вертикальную и точку пересечения отмечаем A'_1 . Аналогично находим точки A'_2 , A'_3 и т. д. Соединив эти точки, получаем динамическую анодно-сеточную характеристику лампы.

3—5. Крутизна динамической анодно-сеточной характеристики триода

Из рис. 41 видно, что крутизна анодно-сеточной динамической характеристики триода (S_d) всегда меньше крутизны статических характеристик. Величина S_d легко может быть определена графическим путем с помощью характеристического треугольника, построенного на прямолинейном участке динамической характеристики или методом касательной. Можно найти величину S_d и аналитическим способом, который позволяет установить соотношение между динамической и статической крутизной триода.

В динамическом режиме одновременно меняются и сеточное и анодное напряжения. Поэтому приращение анодного тока ΔI_a зависит как от приращения сеточного напряжения ΔU_c , так и от приращения анодного напряжения ΔU_a . Под воздействием приращения сеточного напряжения ΔU_c анодный ток изменится на величину $\Delta I'_a = S \Delta U_c$, под действием приращения анодного напряжения ΔU_a анодный ток получит приращение $\Delta I''_a = \frac{\Delta U_a}{R_i}$. Полное приращение анодного тока, вызванное изменением и сеточного и анодного напряжений, составит

$$\Delta I_a = \Delta I'_a + \Delta I''_a = S \Delta U_c + \frac{\Delta U_a}{R_i}. \quad (3-10)$$

Рассматривая схему, приведенную на рис. 38, и учитывая соотношение (3—10), можно прийти к выводу, что изменение напряжения на аноде численно равно, но противоположно по знаку изменению напряжения на сопротивлении R_a

$$\Delta U_a = -\Delta U_{R_a} = -\Delta I_a R_a. \quad (3-11)$$

Подставим это выражение в формулу (3—10)

$$\Delta I_a = S \Delta U_c - \Delta I_a \frac{R_a}{R_i}. \quad (3-12)$$

Решение этого уравнения относительно ΔI_a приводит к выражению

$$\Delta I_a + \frac{SR_i \Delta U_c}{R_i + R_a}. \quad (3-13)$$

Разделим обе части равенства (3—13) на ΔU_c . Получим

$$S_d = S \frac{R_i}{R_i + R_a} = \frac{S}{1 + \frac{R_a}{R_i}}. \quad (3-14)$$

Учитывая, что $SR_i = \mu$, можно преобразовать выражение (3—14)

$$S_d = \frac{\mu}{R_i + R_a}. \quad (3-15)$$

Из формулы (3—14) видно, что крутизна динамической анодно-сеточной характеристики всегда меньше крутизны статической характеристики ($S_d < S$) и притом тем меньше, чем больше сопротивление R_a .

3—6. Работа триода в схеме усилителя. Динамический коэффициент усиления

В 3—3 было установлено, что анодный ток триода в μ раз сильнее зависит от напряжения на сетке, чем от анодного напряжения. Это свойство триода позволяет использовать его для усиления электрических колебаний. Простейшая схема усилителя на триоде показана на рис. 43.

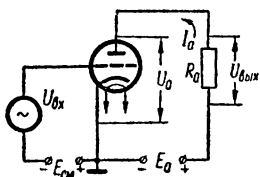


Рис. 43. Простейшая схема усилителя на триоде.

Рассмотрим принцип работы этой схемы. К участку сетка — катод лампы (входу усилителя) подводится два напряжения: переменное напряжение $U_{вх}$, подлежащее усилению, и постоянное отрицательное $E_{см}$ — напряжение смещения. Источником входного напряжения может быть микрофон, звукозаписывающее устройство, датчики различных видов, преобразующие неэлектрические величины в колебания электрического напряжения, и другие устройства, создающие слабые электрические сигналы. Величина напряжения смещения $E_{см}$ должна быть больше или равна амплитуде переменного напряжения $U_{мвх}$

$$|E_{см}| \geq U_{мвх}.$$

При выполнении этого условия суммарное напряжение на сетке триода остается все время отрицательным. Это обеспечивает работу лампы без сеточных токов, а следовательно, без потерь энергии в цепи сетки.

На рис. 44 показана динамическая сеточная характеристика триода, а также изменение суммарного напряжения на сетке и анодного тока во времени. Точка P динамической характеристики, определяющая величину анодного тока, соответствующего напряжению смещения, называется *рабочей точкой*. Рабочая точка определяет режим покоя усилителя, т. е. режим, получающийся при отсутствии на входе переменного напряжения. В режиме покоя анодный ток постоянный и равен $I_{а0}$. При одновременном воздействии на сетку двух напряжений $E_{см}$ и $U_{вх}$ разность потенциалов между сеткой и катодом равна алгебраической сумме постоянного напряжения $E_{см}$ и переменного $U_{вх}$. Во время положительного полупериода напряжения входного сигнала напряжения $E_{см}$ и $U_{вх}$ вычитаются, а при отрицательном полупериоде — складываются. Таким образом, напряжение на сетке, оставаясь все время отрицательным, изменяет свою величину (пульсирует) по закону входного напряжения.

Изменения сеточного напряжения приводят к соответствующим изменениям анодного тока. Если изменения напряжения входного

сигнала не выходят за пределы прямолинейного участка динамической характеристики лампы, то анодный ток будет изменяться строго пропорционально колебаниям сеточного напряжения. При положительном полупериоде входного напряжения анодный ток будет больше тока покоя на величину I_{ma} , а при отрицательном полупериоде — на такую же величину меньше (рис. 44). Для соблюдения прямо пропорциональной зависимости между анодным током и входным

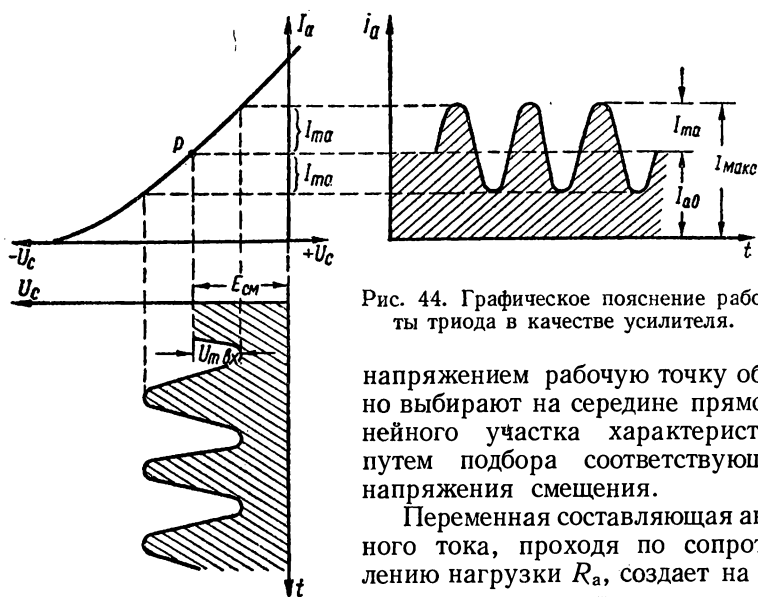


Рис. 44. Графическое пояснение работы триода в качестве усилителя.

напряжением рабочую точку обычно выбирают на середине прямолинейного участка характеристики путем подбора соответствующего напряжения смещения.

Переменная составляющая анодного тока, проходя по сопротивлению нагрузки R_a , создает на нем падение напряжения

$$U_{\text{мвых}} = I_{ma} R_a.$$

Это напряжение является выходным напряжением усилителя. При достаточно большой величине I_{ma} и R_a выходное напряжение может быть во много раз больше входного.

Основным параметром, характеризующим работу лампового усилителя, является динамический коэффициент усиления μ_d , представляющий собой отношение амплитуды переменного напряжения на выходе к амплитуде переменного напряжения входного сигнала

$$\mu_d = \frac{U_{\text{мвых}}}{U_{\text{мвх}}}. \quad (3-16)$$

Учитывая, что $U_{\text{мвых}} = I_{ma} R_a$, получим

$$\mu_d = \frac{I_{ma} R_a}{U_{\text{мвх}}}. \quad (3-17)$$

В выражении (3—17) величину $\frac{I_{ma}}{U_{mвх}}$ можно рассматривать как отношение приращения анодного тока $I_{макс} - I_{a0}$ к вызвавшему его приращению напряжения на сетке $|E_{см} - U_{mвх}|$ (рис. 44). Следовательно,

$$\frac{I_{ma}}{U_{mвх}} = S_d.$$

Поэтому

$$\mu_d = S_d R_a. \quad (3—18)$$

Подставив значение S_d из формулы (3—15) в выражение (3—18), получим

$$\mu_d = \frac{\mu R_a}{R_a + R_i} = \frac{\mu}{1 + \frac{R_i}{R_a}}. \quad (3—19)$$

Из этого выражения видно, что динамический коэффициент усиления μ_d всегда меньше статического коэффициента усиления μ и зависит от соотношения $\frac{R_i}{R_a}$. Чем больше сопротивление R_a , тем больше μ_d . Однако с увеличением R_a увеличивается падение напряжения на этом сопротивлении, что, согласно уравнению (3—7), вызывает уменьшение анодного напряжения лампы и приводит к уменьшению анодного тока. Поэтому при выборе величины R_a приходится учитывать конкретные условия работы усилителя. Обычно для триодов величина сопротивления анодной нагрузки равна

$$R_a = (2 \div 5) R_i. \quad (3—20)$$

Не следует считать, что усилитель с электронной лампой служит лишь для усиления переменного напряжения. Если бы требовалось увеличить только напряжение, то во многих случаях было бы достаточно применить повышающий трансформатор. Однако трансформатор, как известно, не увеличивает мощность.

Принципиальной особенностью ламповых усилителей является их способность усиливать не только напряжение, но и мощность. При этом полезной мощностью является только мощность переменного тока, так как усилитель служит для усиления электрических колебаний. Мощность постоянного тока в нагрузочном сопротивлении не является полезной, так как ее можно получать непосредственно от источника E_a без применения лампы. Величину полезной мощности можно найти по формулам

$$P_{в\text{ых}} = \frac{1}{2} I_{ma} U_{mв\text{ых}} = \frac{1}{2} I_{ma}^2 R_a = -\frac{U_{mв\text{ых}}^2}{2R_a}. \quad (3—21)$$

Следует подчеркнуть, что усиление мощности с помощью лампы может быть достигнуто только за счет потребления энергии источника анодного питания.

3—7. Типы и маркировка триодов

Наибольшее применение в схемах электронно-вычислительных машин и устройствах электронной автоматики получили маломощные, так называемые приемно-усилительные триоды. Они используются в основном для усиления и генерирования напряжения высокой и низкой частоты, применяются в различных импульсных схемах и в измерительной технике.

Приемно-усилительные триоды обозначаются по той же системе, что и диоды, и выпускаются в различном конструктивном оформлении. Для одинарных триодов в их обозначении после первого числа, указывающего напряжение накала, ставится С, для двойных триодов — Н. Примером маркировки триодов могут служить: триоды с нормальным стеклянным баллоном 6С2С, 6С5С и др., пальчиковые триоды 6С1П, 6С2П, 6С15П и др., миниатюрные — 6С3Б, 6С7Б и др., триод типа «желудь» 6С1Ж, двойные триоды 6Н9С, 6НЗП и т. д.

Двойные триоды, содержащие в одном баллоне две одинаковые ламповые системы, нашли широкое применение в различной электронной аппаратуре, причем нередко оба триода выполняют разные функции. Для примера на рис. 45 приведена цоколевка двойного триода типа 6НЗП. По внешнему виду и размерам этот двойной триод подобен двойному диоду типа 6Х2П (рис. 25), но имеет девять штырьков на цоколе.

В схемах генераторов и передатчиков используются более мощные триоды. В этих лампах применяются катоды, обладающие более высокой эмиссионной способностью, и аноды, допускающие рассеивание большей мощности, чем в приемно-усилительных триодах. В некоторых случаях для сохранения допустимой температуры нагрева мощных генераторных ламп приходится применять водяное или воздушное охлаждение. В обозначениях генераторных ламп первой стоит буква Г. Второй элемент обозначения зависит от диапазона частот, в котором работает лампа. Генераторные лампы, работающие на частотах ниже 25 мГц, обозначаются ГК, в диапазоне частот 25—600 мГц — ГУ, на частотах выше 600 мГц — ГС. Генераторные триоды, предназначенные для импульсной работы, обозначаются ГИ. За буквенным обозначением ставится номер типа лампы, а затем буква, указывающая род охлаждения анода. Водяное охлаждение обозначается А, воздушное — Б. Для ламп, не требующих

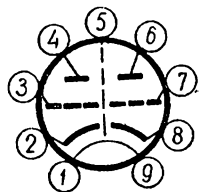


Рис. 45. Цоколевка лампы 6НЗП:

1, 9 — подогреватели (накал); 2 — катод первого триода; 3 — сетка первого триода; 4 — анод первого триода; 5 — экран; 6 — анод второго триода; 7 — сетка второго триода; 8 — катод второго триода.

принудительного охлаждения, эта буква вообще отсутствует. Примером маркировки генераторных ламп могут служить следующие обозначения: ГК-3А, ГУ-12А, ГИ-18Б и т. д.

3—8. Недостатки триодов

Триоды имеют два основных недостатка.

Во-первых, малый коэффициент усиления μ (не выше 100). Объясняется это тем, что управляющая сетка недостаточно экранирует катод от действия анода и значительная часть электрического поля анода проникает сквозь витки сетки, воздействуя на электронный поток. Если же управляющую сетку сделать очень густой, то лампа будет легко закирпичиться даже при сравнительно малом отрицательном сеточном напряжении.

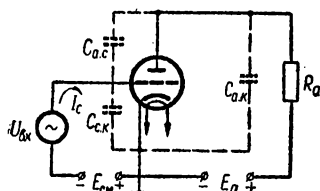


Рис. 46. Междueleктродные емкости триода.

При этом анодно-сеточная характеристика лампы будет почти полностью расположена в области положительных сеточных напряжений, при которых возникает сеточный ток. В большинстве случаев наличие сеточного тока нарушает нормальную работу лампы, и его появление поэтому нежелательно.

Во-вторых, триод имеет значительные междueleктродные емкости, ограничивающие возможности использования триодов в диапазоне высоких частот. Триод имеет три междueleктродные емкости, показанные на рис. 46 штриховыми линиями. Емкость сетка — катод ($C_{с.к.}$) называется входной емкостью триода ($C_{вх.}$), емкость анод — катод ($C_{а.к.}$) — выходной ($C_{вых.}$) и емкость анод — сетка ($C_{а.с.}$) — проходной. Величина каждой из указанных емкостей зависит не только от геометрических размеров самих электродов и расстояния между ними, но и от емкостей между выводами и держателями электродов, от диэлектрической проницаемости материала цоколя, а также от размеров выводных штырьков и их взаимного расположения. Междueleктродные емкости сравнительно невелики (единицы пикофард), но все же они оказывают заметное влияние на работу триода.

За счет наличия входной емкости $C_{с.к.}$ в цепи сетки даже при большом отрицательном смещении будет существовать некоторый емкостный ток I_c . Этот ток, проходя по внутреннему сопротивлению источника входного сигнала, создает на нем падение напряжения ($U_{вн}$)

$$U_{вн} = I_c R_{и.}$$

где $R_{и.}$ — внутреннее сопротивление источника входного сигнала. Напряжение на зажимах источника понизится до величины

$$U_{вх} = E_{вх} - U_{вн.}$$

где $E_{\text{вх}}$ — э. д. с. источника сигнала. Понижение входного напряжения приведет к уменьшению напряжения на выходе усилителя, а следовательно, и к уменьшению полезной мощности, отдаваемой лампой в нагрузочное сопротивление. Величина I_c зависит от емкостного сопротивления $\frac{1}{\omega C_{\text{с.к}}}$. Чем выше частота подводимого к сетке напряжения, тем меньше сопротивление входной емкости, тем больше емкостный сеточный ток.

Выходная емкость $C_{\text{а.к}}$ через источник анодного питания подключена параллельно сопротивлению анодной нагрузки $R_{\text{а}}$. На высоких частотах емкостное сопротивление $\frac{1}{\omega C_{\text{а.к}}}$ может оказаться по величине значительно меньшим, чем $R_{\text{а}}$. Поэтому общее сопротивление анодной нагрузки лампы понизится, что приведет к уменьшению динамического коэффициента усиления лампы.

Наиболее вредное влияние на работу триода оказывает проходная емкость $C_{\text{а.с}}$, которая приводит к возникновению между анодной и сеточной цепями вредной (паразитной) емкостной связи. Такая связь является одной из главных причин самовозбуждения усилителя, т. е. перехода его из режима усиления колебаний в режим генерации, нарушающий нормальную работу схемы. Связь через емкость $C_{\text{а.с}}$ тем сильнее, чем выше частота усиливаемых колебаний, так как для высоких частот сопротивление $\frac{1}{\omega C_{\text{а.с}}}$ оказывается малым. Для устранения указанного недостатка необходимо стремиться к уменьшению емкости $C_{\text{а.с}}$. Это достигается в более сложных, многосеточных лампах.

Г Л А В А 4

МНОГОЭЛЕКТРОДНЫЕ ЛАМПЫ

4—1. Устройство и принцип работы тетродов

Четырехэлектродная лампа (тетрод) возникла в результате изыскания способов устранения недостатков, присущих триодам. Тетрод имеет две сетки — управляющую и экранирующую.

Экранирующая сетка расположена между анодом и управляющей сеткой и выполняется в виде густой спирали, окружающей управляющую сетку.

Условное изображение тетрода в электрических схемах показано на рис. 47.

На экранирующую сетку подается постоянное положительное напряжение относительно катода, составляющее от 20 до 70% анодного напряжения в зависимости от назначения тетрода. Использование в тетроде двух сеток позволяет повысить коэффициент усиления лампы и уменьшить проходную емкость между анодом и управляющей сеткой. Для пояснения этих свойств тетрода рассмотрим

рис. 48, на котором изображено электрическое поле в тетроде. Благодаря экранирующей сетке большая часть электрических силовых линий, замыкающихся в триоде от анода на управляющую сетку, в тетроде замыкается на экранирующую сетку. Электрическое поле, прошедшее через экранирующую сетку, далее задерживается управляющей сеткой, через которую также проникает лишь небольшая часть силовых линий. Таким образом, сквозь обе сетки от анода к катоду проходит лишь ничтожная часть общего числа силовых линий. Поэтому действие анода на электроны, вылетающие из катода, оказывается в сотни раз слабее, чем действие управляющей сетки. Следовательно, коэффициент усиления в тетроде получается большим, чем в триоде, и достигает нескольких сотен.

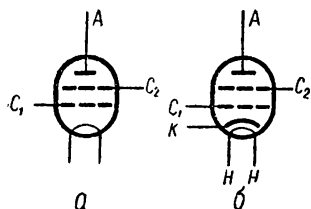


Рис. 47. Схематическое изображение тетродов:

а — с катодом прямого накала;
б — с подогревным катодом.

Крутизна характеристики лампы, как известно, зависит от конструкции управляющей сетки и от ее расстояния до катода. В этом отношении тетрод не отличается от триода. Поэтому можно считать, что крутизна характеристики тетрода примерно равна крутизне триода.

Так как внутреннее уравнение лампы $\mu = SR_i$ справедливо и для тетрода, то возрастание коэффициента усиления приводит к увеличению внутреннего сопротивления, которое для тетродов составляет сотни килоом.

Рассмотрим теперь уменьшение паразитной проходной емкости $C_{ас}$, за счет введения в лампу экранирующей сетки. Емкость любого конденсатора, как известно, связана с величиной зарядов на его обкладках и напряжением между ними зависимостью

$$C = \frac{q}{U}.$$

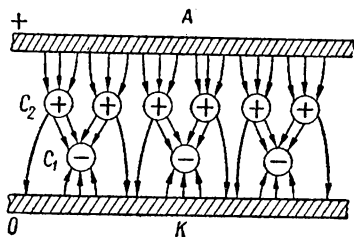


Рис. 48. Электрическое поле в тетроде.

Взаимодействие зарядов осуществляется через электрическое поле. Чем больше заряды, тем сильнее поле между обкладками. Но в тетроде электрическое поле между анодом и управляющей сеткой ослаблено, а следовательно, и емкость между этими электродами резко уменьшена. Если бы экранирующая сетка была сплошной, то емкость уменьшилась бы до нуля. В действительности же экранирующая сетка не является сплошным экраном, а представляет собой именно сетку, проницаемую для электронов. Поэтому емкость в тетроде имеется, но она в сотни раз меньше, чем в триоде, и составляет сотые доли пикофарады.

4—2. Характеристики и параметры тетродов. Динатронный эффект

В тетроде величина анодного тока является функцией трех аргументов: анодного напряжения, напряжения на экранирующей сетке и напряжения на управляющей сетке

$$I_a = f(U_a; U_{c2}; U_{c1}).$$

Поэтому статические характеристики тетрода снимаются при постоянстве напряжения на двух электродах. Статическая сеточная характеристика анодного тока $I_a = f_1(U_{c1})$ снимается при постоянных напряжениях $U_a = \text{const}$ и $U_{c2} = \text{const}$, а статическая анодная характеристика тетрода $I_a = f_2(U_a)$ снимается при постоянстве напряжений на обеих сетках $U_{c1} = \text{const}$ и $U_{c2} = \text{const}$.

Зависимость токов тетрода от напряжения экранирующей сетки не представляет особого интереса, так как это напряжение в процессе работы лампы, как правило, не меняется.

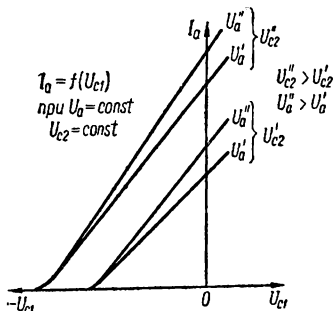


Рис. 50. Анодно-сеточные характеристики тетрода.

и приводит лишь к изменению ее крутизны. Изменение же напряжения на экранирующей сетке сильно влияет на анодно-сеточную характеристику. Характеристики, снятые при большем значении U_{c2} , располагаются левее. Следовательно, в тетроде можно получить левые характеристики без значительного повышения анодного напряжения, как это требовалось в триоде, а значит, тетрод обладает большим рабочим участком, в пределах которого может изменяться потенциал управляющей сетки без появления сеточного тока. Рассмотрим зависимость анодного тока и тока экранирующей сетки от анодного напряжения (рис. 51).

При напряжении на аноде, равном нулю, все электроны, излучаемые катодом, попадают на положительно заряженную экраниру-

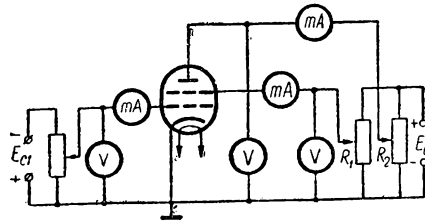


Рис. 49. Схема для снятия характеристик тетрода.

Схема для снятия статических характеристик тетрода отличается от такой же схемы для триода только наличием в ней дополнительной цепи, служащей для питания и контроля режима экранирующей сетки (рис. 49).

На рис. 50 показано семейство анодно-сеточных характеристик тетрода. Из рисунка видно, что изменение анодного напряжения мало влияет на перемещение характери-

ющую сетку; ток экранирующей сетки I_{c2} в этом случае максимален, а анодный ток равен нулю. При увеличении положительного напряжения на аноде от нуля до U'_a часть электронов будет попадать на анод. Анодный ток начнет расти, а ток экранирующей сетки — уменьшится. Дальнейшее увеличение напряжения на аноде приводит к увеличению скорости электронов, падающих на анод, и вызывает появление вторичной электронной эмиссии. Вторичные электроны, вылетев с анода, уже не возвращаются к нему, а притя-

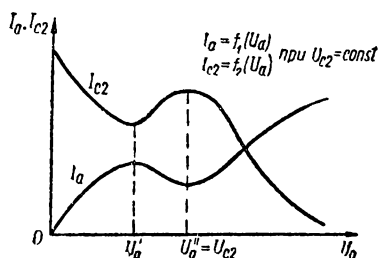


Рис. 51. Анодная характеристика и характеристика тока экранирующей сетки тетрода.

гиваются к экранирующей сетке, имеющей более высокий положительный потенциал, чем анод. Очевидно, ток экранирующей сетки при этом увеличится, а анодный ток уменьшится. Это явление называют *динатронным эффектом*, оно приводит к появлению провала в анодной характеристике тетрода. Уменьшение анодного тока и одновременно возрастание тока экранирующей сетки будет продолжаться до тех пор, пока напряжение на аноде не станет равным

напряжению на экранирующей сетке ($U'_a = U_{c2}$). При дальнейшем увеличении напряжения на аноде ($U_a > U_{c2}$) анодный ток начинает снова возрастать, а ток экранирующей сетки уменьшаться. В этом случае явление вторичной эмиссии уже не обнаруживается, так как вторичные электроны, выбитые с анода, теперь не летят на экранирующую сетку, а возвращаются на анод.

Резкая нелинейность характеристик при наличии динатронного эффекта является основным недостатком тетрода, ограничивающим его практическое применение. Чтобы динатронный эффект не мог возникнуть, напряжение экранирующей сетки должно быть всегда значительно меньше анодного напряжения. Именно поэтому напряжение U_{c2} обычно составляет 20—70% величины напряжения на аноде.

Основные статические параметры тетродов определяются аналогично параметрам триода при постоянстве напряжения на экранирующей сетке. Формулы статических параметров тетрода могут быть записаны в виде

$$S = \frac{\Delta I_a}{\Delta U_{c1}} \text{ при } U_a = \text{const}; \quad U_{c2} = \text{const}; \quad (4-1)$$

$$R_i = \frac{\Delta U_a}{\Delta I_a} \text{ при } U_{c1} = \text{const}; \quad U_{c2} = \text{const}; \quad (4-2)$$

$$\mu = \frac{\Delta U_a}{\Delta U_{c1}} \text{ при } I_a = \text{const}; \quad U_{c2} = \text{const}. \quad (4-3)$$

Для устранения основного недостатка тетрода — динатронного эффекта — нельзя допускать вторичные электроны, вылетающие с анода, к экранирующей сетке. Для этого в пространстве между анодом и экранирующей сеткой должно быть создано тормозящее электрическое поле, возвращающее вторичные электроны на анод.

Существует два способа получения тормозящего поля у поверхности анода. Первый способ заключается в размещении между экранирующей сеткой и анодом еще одной, третьей сетки, обладающей отрицательным относительно анода потенциалом. В результате введения в лампу третьей сетки был создан новый тип лампы — пентод. Второй способ основан на использовании пространственного заряда, создаваемого электронами в промежутке между экранирующей сеткой и анодом. Этот способ используется в лучевых тетрадах.

Пентоды и лучевые тетроды являются наиболее распространенными электронными лампами. В них сохраняются и даже более сильно выражены все положительные свойства тетродов и вместе с тем полностью устранен динатронный эффект.

4—3. Пятиэлектродная лампа (пентод)

В отличие от тетрода пентод является трехсеточной и, следовательно, пятиэлектродной лампой. Дополнительная сетка, помещенная между экранирующей сеткой и анодом, получила название *защитной*, или *противодинатронной*. Защитная сетка обычно соединяется с катодом. Во многих пентодах соединение защитной сетки с катодом делается внутри лампы (рис. 52, а), и тогда на этой сетке напряжение всегда равно нулю. При самостоятельном выводе защитной сетки (рис. 52, б) на нее в зависимости от применения лампы подается небольшой положительный или отрицательный потенциал. Иногда этой сетке сообщается потенциал катода путем внешнего соединения ее с катодом. Однако в любом случае потенциал защитной сетки гораздо ниже потенциала анода. Следовательно, электрическое поле в пространстве между анодом и защитной сеткой всегда будет направлено от анода к этой сетке (рис. 53).

Электроны, выбитые из анода и движущиеся с относительно малой скоростью к экранирующей сетке, задерживаются этим полем и возвращаются на анод. Они не могут проникнуть на экранирующую сетку, даже если ее напряжение выше анодного. Благодаря

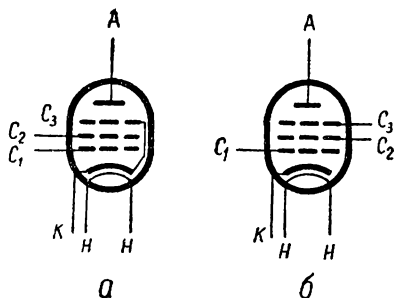


Рис. 52. Схематическое изображение пентода:

а — защитная сетка соединена с катодом внутри баллона; б — защитная сетка имеет самостоятельный вывод.

этому динаatronный эффект в пентоде полностью устраняется и анодная характеристика не имеет провала (рис. 54).

Защитная сетка делается обычно довольно редкой. Поэтому потенциал электрического поля между ее витками относительно катода высок и первичные электроны, летящие к аноду с большой скоростью, пролетают между витками этой сетки по инерции. Следова-

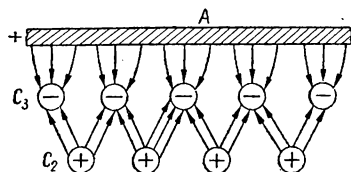


Рис. 53. Распределение электрических силовых линий в пентоде.

тельно, наличие третьей сетки практически не уменьшает величину анодного тока.

Благодаря трем сеткам, находящимся между анодом и катодом, анодное напряжение почти не влияет на величину анодного тока пентода. Это значительно увеличивает коэффициент усиления и внутреннее сопротивление лампы. Кроме того, нали-

чие дополнительной сетки между анодом и управляющей сеткой резко уменьшает проходную емкость пентода $C_{a.c1}$. У пентодов коэффициент усиления достигает 1000 и более, внутреннее сопротивление $R_i = (1-2) \text{ Мом}$, а емкость $C_{a.c1} = 0,002-0,05 \text{ пф}$. Значение крутизны у пентодов такого же порядка, как и у триодов и тетродов, т. е. обычно лежит в пределах 1—30.

Основными характеристиками пентодов, так же как и других ламп, являются сеточные и анодные характеристики, которые для пентода снимаются при дополнительном условии постоянства напряжения на защитной сетке ($U_{c3} = \text{const}$). Схема для снятия характеристик пентода аналогична такой схеме для тетрода (см. рис. 49), только в цепь защитной сетки добавляется потенциометр и измерительные приборы для установки требуемого напряжения U_{c3} . Форма анодно-сеточных характеристик пентода имеет такой же вид, как и для тетрода. Особенность их состоит в том, что благодаря высокому μ характеристики почти не сдвигаются даже при сравнительно большом изменении анодного напряжения. Вместе с тем характеристики, снятые при различных напряжениях на экранирующей сетке, резко отличаются друг от друга: чем выше напряжение на экранирующей сетке, тем левее расположены характеристики и тем больше их крутизна (рис. 55).

Для расчетов ламповых схем на пентодах обычно пользуются анодными характеристиками, так как сеточные характеристики, снятые при различных значениях напряжения на аноде, практически совпадают. В качестве примера на рис. 56 показано семейство

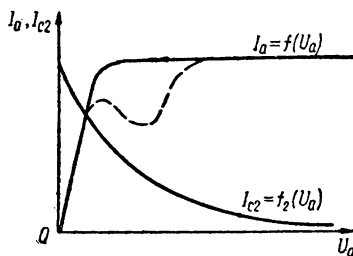


Рис. 54. Анодная характеристика пентода.

статических анодных характеристик пентода типа 6Ж4П. При анодном напряжении, равном нулю, электрическое поле анода отсутствует, а между сетками C_2 и C_3 имеется тормозящее электрическое поле. Электроны, пролетевшие сетку C_2 , попадают в тормозящее поле и теряют свою скорость прежде, чем долетят до сетки C_3 . При этом электроны не могут достигнуть анода и возвращаются на экранирующую сетку. Между экранирующей и защитной сетками образуется скопление электронов — второе электронное облачко. Анод действует на электроны этого облачка через редкую защитную сетку; поэтому незначительное увеличение анодного напряжения дает быстрый рост анодного тока. По мере увеличения U_a электронное облачко рассасывается и рост анодного тока замедляется. При дальнейшем повышении анодного напряжения рост анодного тока возможен только за счет увеличения числа электронов, притягиваемых анодом из электронного облачка вблизи катода. В пентоде действие анода на эти электроны ослаблено наличием трех сеток и даже значительное увеличение напряжения на аноде вызывает весьма малое изменение анодного тока. Характеристики становятся пологими, почти горизонтальными. Именно пологий прямолинейный участок анодной характеристики и является ее рабочим участком при использовании пентода в качестве усилителя, так как на этом участке значения μ и R_i получаются наибольшими.

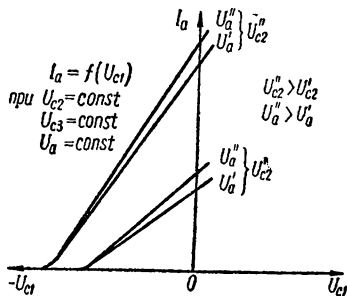


Рис. 55. Анодно-сеточные характеристики пентода.

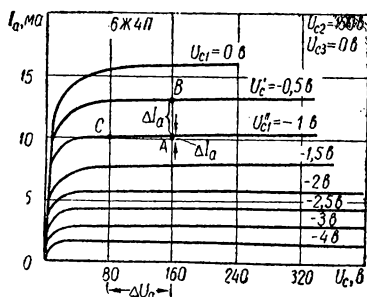


Рис. 56. Семейство анодных характеристик пентода.

Определение основных параметров пентода производится по семейству анодных характеристик (рис. 56) в такой последовательности:

- 1) устанавливают на одной из характеристик точку, для которой необходимо определить параметры (точка A на рис. 56);
- 2) вычисляют значение крутизны характеристики, пользуясь формулой

$$S = \frac{\Delta I_a}{\Delta U_{c1}}$$

при $U_a = \text{const}$; $U_{c2} = \text{const}$; $U_{c3} = \text{const}$,

где ΔI_a — приращение анодного тока, определяемое измерением (в масштабе) расстояния между точками A и B , лежащими на смежных характеристиках при одном и том же значении анодного напряжения;

ΔU_{c1} — приращение напряжения на управляющей сетке, определяемое как разность напряжений на сетке, при которых снимались две указанные выше смежные характеристики

$$\Delta U_{c1} = U'_{c1} - U''_{c1}$$

(см. рис. 56). В рассматриваемом случае точке A соответствуют величины $U_a = 160$ в; $U'_{c1} = -1$ в; $I_a = 10,5$ ма; точке B — $U_a = 160$ в; $U'_{c1} = -0,5$ в; $I_a = 13,5$ ма. Тогда

$$S = \frac{\Delta I_a}{\Delta U_{c1}} = \frac{13,5 - 10,5}{1 - 0,5} = \frac{3}{0,5} = 6 \text{ ма/в};$$

3) определяют величину внутреннего сопротивления

$$R_i = \frac{\Delta U_a}{\Delta I_a}$$

при $U_{c1} = \text{const}$; $U_{c2} = \text{const}$; $U_{c3} = \text{const}$,

где ΔU_a — приращение анодного напряжения;

ΔI_a — приращение анодного тока (определение ΔU_a и ΔI_a в данном случае производят по одной и той же характеристике — по точкам A и C , отмеченным на рис. 56).

Для случая, приведенного на рис. 56, получим

$$R_i = \frac{160 - 80}{0,0001} = 800 \text{ ком};$$

4) вычисляют величину коэффициента усиления, пользуясь формулой $\mu = SR_i$

$$\mu = 6 \cdot 10^{-3} \cdot 8 \cdot 10^5 = 4800.$$

Описанный метод определения параметров пентода по семейству его анодных характеристик получил название *метода двух отсчетов*.

Кроме пентодов обычной конструкции, существуют пентоды, у которых управляющая сетка представляет собой спираль с переменным шагом намотки (рис. 57). При использовании такой сетки электрическое поле между ее витками в различных участках неодинаково. Поэтому при постепенном увеличении отрицательного сеточного напряжения электроны перестают пролетать между витками сетки

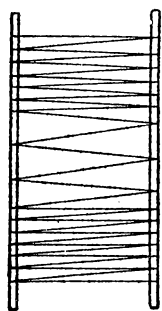


Рис. 57. Устройство управляющей сетки лампы с переменной крутизной.

сначала в тех местах, где она имеет меньший шаг, а затем между витками, где шаг больше. По мере уменьшения участка сетки, на котором пролетают электроны, крутизна лампы уменьшается. Поэтому такие лампы часто называют *лампами с переменной крутизной*. Так как в лампе с переменной крутизной имеются участки управляющей сетки с очень большим шагом, то практически такую лампу полностью запереть невозможно (для этого нужно подать в цепь сетки очень большое отрицательное напряжение). По форме характеристики (рис. 58) такие лампы называются *пентодами с удлиненной характеристикой*, в отличие от обычных пентодов, называемых *пентодами с короткой характеристикой*. На рис. 58 для сравнения проведена пунктиром характеристика обычного пентода. Пентоды с удлиненной характеристикой применяются в тех случаях, когда необходимо в широких пределах менять усиление сигнала.

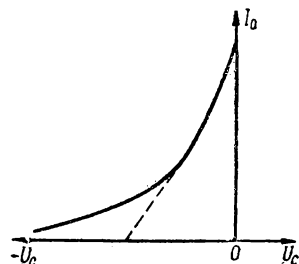


Рис. 58. Анодно-сеточная характеристика лампы с переменной крутизной.

4—4. Лучевой тетрод

Динатронный эффект в лампе можно устранить не только при помощи защитной сетки, как это делается в пентодах, но и другим способом, применяемым в так называемых лучевых тетрадах. В этих лампах тормозящее электрическое поле в пространстве экранирующей сетки — анод создается за счет особенностей их конструкции. Рассмотрим эти особенности.

В промежутке между экранирующей сеткой и анодом всегда имеется некоторое количество электронов, образующих отрицательный пространственный заряд между этими электродами. Этот заряд препятствует перелету вторичных электронов с анода на вторую сетку, причем противодействие будет тем сильнее, чем больше этот заряд, т. е. чем больше электронов находится между экранирующей сеткой и анодом. При увеличении расстояния между этими электродами увеличивается и количество электронов, находящихся в пространстве между ними. Таким образом, располагая анод на определенном расстоянии от экранирующей сетки, можно получить пространственный заряд нужной величины. Например, у лучевого тетрода типа 6П6С расстояние экранирующая сетка — анод в три раза больше расстояния катод — экранирующая сетка.

Следует учесть, что одновременно с созданием поля, которое препятствует перелету вторичных электронов с анода на экранирующую сетку, создается поле, тормозящее движение первичных электронов, летящих со стороны катода. Часть электронов при этом может повернуть обратно и попасть на экранирующую сетку. В этом

случае ток I_{c2} возрастает, а анодный ток лампы уменьшится. При обычном использовании лампы ток I_{c2} не выполняет никакой полезной работы, а, наоборот, вызывает только излишний расход энергии. Поэтому его необходимо уменьшить. В лучевых тетрадах это достигается соответствующим конструированием сеток. Обе сетки изготовляют с одинаковым шагом и располагают в лампе так, чтобы проекции их витков на катод совпадали, т. е. чтобы витки второй сетки находились по отношению к катоду как бы в тени витков первой сетки. Благодаря этому электроны летят от катода к аноду лучами, как показано на рис. 59, а.

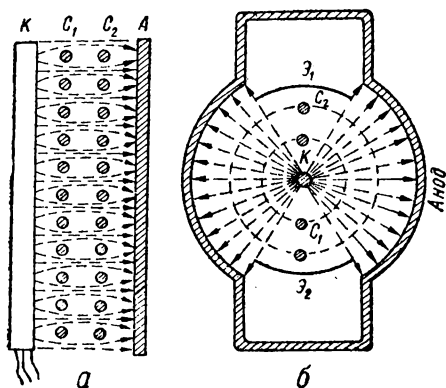


Рис. 59. Устройство лучевого тетрода.

себя электроны, разделяя таким образом исходящий из катода электронный поток на две части. Для того чтобы предотвратить перелет вторичных электронов с анода на траверсы второй сетки, в лампе имеются специальные желобообразные экраны \mathcal{E}_1 и \mathcal{E}_2 (рис. 59, б). Эти экраны представляют собой так называемый *лучеобразующий электрод*, который присоединяется внутри лампы к катоду и имеет, следовательно, нулевой потенциал. Под действием поля, образованного витками сеток, и поля лучеобразующего электрода электронный поток формируется в электронные лучи большой плотности. Поэтому даже при малых анодных напряжениях в пространстве экранирующая сетка — анод образуется достаточно сильный отрицательный пространственный заряд, препятствующий перелету электронов на экранирующую сетку.

Одним из значительных преимуществ лучевых тетродов, повышающих экономичность их применения, является малый ток экранирующей сетки I_{c2} , не превышающий в большинстве случаев 7—10% величины анодного тока.

Экранирующая сетка в лучевом тетраде не должна быть очень густой. Поэтому емкость $C_{a.c1}$ сравнительно велика и составляет 0,3—1 пф. По этой же причине коэффициент усиления μ невелик (порядка 100). Внутреннее сопротивление R_i также невелико (десятки килоом). Определение параметров лучевых тетродов произ-

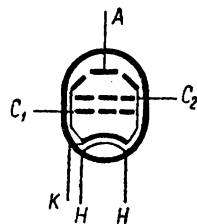


Рис. 60. Схематическое изображение лучевого тетрода.

водится так же, как и для пентода, по семейству анодных характеристик.

Условное изображение лучевых тетродов в электронных схемах показано на рис. 60.

4—5. Основные типы тетродов и пентодов

В соответствии с правилами маркировки ламп вторым элементом обозначения тетродов обычного типа, относящихся к категории приемно-усилительных ламп, является Э. Эти лампы в настоящее время применяются редко. В качестве примера маркировки тетрода можно привести обозначение пальчиковой лампы 6Э6П, применяющейся в усилителях мощности низкой частоты.

Вторым элементом обозначения лучевых тетродов и мощных низкочастотных пентодов является П. В качестве примера маркировки лучевых тетродов можно привести лампы 2П1П, 6П3С, 6П1П, 6П13С и др. Наиболее распространенными низкочастотными пентодами являются лампы 1П2Б, 1П3Б, 2П19Б, 6П9, 6П14П, 6П18П и др. Специально для генерирования высокочастотных колебаний применяются лучевые тетроды ГУ-29 и ГУ-32, а также пентоды 2П29П, 4П1Л, ГУ-50, ГУ-80 и др.

У высокочастотных пентодов с обычной (короткой) анодно-сеточной характеристикой вторым элементом обозначения является Ж (например, 6Ж8, 6Ж1П, 6Ж3П, 6Ж27П, 2Ж27Л, 6Ж1Б и др.). Пентоды с удлиненной характеристикой вторым элементом обозначения имеют К (например, 6К3, 6К4П, 6К1Б и др.).

4—6. Многосеточные и комбинированные лампы

В некоторых электронных схемах (например, в радиоприемниках) используются электронные лампы с двумя управляющими сетками, на которые подаются переменные напряжения разной частоты. Благодаря этому в таких лампах анодный ток управляется сразу двумя напряжениями и изменяется по сложному закону. Анализ показывает, что в этом случае анодный ток лампы содержит составляющие так называемых комбинационных частот, например токи, изменяющиеся с частотами $f_1 + f_2$, $f_1 - f_2$, $2f_1 + f_2$, $f_1 - 2f_2$ и т. д., где f_1 и f_2 — частоты управляющих напряжений. С помощью специальных фильтров (например, колебательных контуров, настроенных в резонанс на определенные частоты) можно выделить в анодной цепи лампы напряжения таких частот, которых не было на входе, т. е. осуществить процесс преобразования частоты.

Основными лампами подобного типа являются гексоды и гептоды.

Гексод представляет собой шестиелектродную лампу с четырьмя сетками (рис. 61), из которых сетки 1 и 3 являются управляющими,

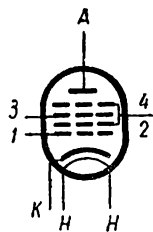


Рис. 61. Схематическое изображение гексода.

а 2 и 4 — экранирующими. На управляющие сетки подаются напряжения *смешиваемых* частот. Действие четвертой сетки аналогично действию экранирующей сетки пентода — увеличивает коэффициент усиления лампы и уменьшает междуэлектродную емкость $C_{a.c1}$. Вторая сетка устраняет паразитную емкость между управляющими сетками лампы. При использовании гексодов необходимо учитывать возможность появления динаatronного эффекта, нарушающего нормальную работу лампы.

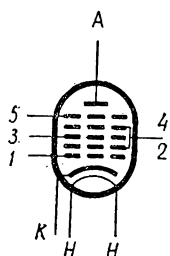


Рис. 62. Схематическое изображение гептода.

Более совершенным типом лампы, применяющейся для преобразования частоты, является семиэлектродная пентисеточная лампа — *гептод*, называемая иначе пентагридом. Для обозначения гептодов принята буква А. Наиболее распространенными лампами этого типа являются гептоды — преобразователи с подогревным катодом 6А7, 6А10С, 6А2П и с катодом прямого накала 1А1П и 1А2П. Схематическое изображение гептодов показано на рис. 62.

Сетки 1 и 2 вместе с катодом используются как триод, причем сетка 1 играет роль управляющей, а 2 — роль анода триода и одновременно является экранирующей. Сетка 3 работает как вторая управляющая; сетка 4, соединенная внутри лампы с сеткой 2, также экранирующая, а 5 — противодинаatronная.

Кроме описанных ламп, которые выполняют одну определенную функцию, в электронных схемах часто используются комбинирован-

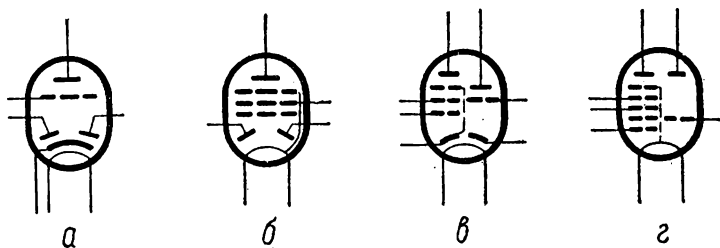


Рис. 63. Схематическое изображение комбинированных ламп: а — двойной диод-триод; б — двойной диод-пентод; в — триод-пентод; г — триод-гептод.

ные лампы, имеющие в одном баллоне две или несколько обычных ламп и выполняющие соответственно несколько различных функций. Применение комбинированных ламп значительно уменьшает размеры и вес аппаратуры, упрощает ее монтаж и снижает стоимость. Помимо двойных диодов и двойных триодов, рассмотренных в предыдущих главах, примерами комбинированных ламп могут служить двойные диод-триоды 6Г7, 6Г1, 6Г2 и др. (рис. 63, а), двойной диод-пентод 6Б8С (рис. 63, б), триод-пентод 6Ф1П (рис. 63, в), триод-гептод 6И1П (рис. 63, г) и др.

На практике часто приходится заменять одни лампы другими. Наиболее просто это достигается в том случае, когда заменяющая лампа по своим параметрам мало отличается от заменяемой лампы, имеет такую же цоколевку и такие же питающие напряжения.

Иногда возможна замена сложных ламп более простыми и, наоборот, более сложная лампа может использоваться как простая. Так, триод можно использовать как диод. Анодом диода в этом случае служит управляющая сетка и анод триода, соединенные друг с другом (рис. 64, а). Пентод можно использовать в качестве триода. Для этого экранирующую сетку надо соединить с анодом (рис. 64, б). Применение более сложных ламп в качестве простых иногда делается в промышленной аппаратуре для того, чтобы все лампы были по возможности одного типа. Это облегчает взаимозаменяемость ламп. Сложные комбинированные лампы в отдельных случаях можно заменить более простыми. Например, двойной диод-пентод можно заменить двойным диодом и пентодом.

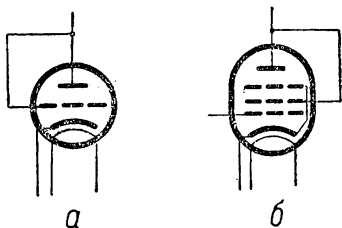


Рис. 64. Использование триода в качестве диода (а) и пентода в качестве триода (б).

Г Л А В А 5

СХЕМЫ ПИТАНИЯ И РЕЖИМЫ РАБОТЫ ЭЛЕКТРОННЫХ ЛАМП

5—1. Схемы подачи анодного напряжения

В современных электронных устройствах для питания анодных цепей ламп могут использоваться различные источники постоянного напряжения (выпрямители, аккумуляторы и др.). Если устройство содержит несколько ламп небольшой мощности, то цепи анодов всех ламп обычно питают от одного общего источника; при этом они подключаются параллельно друг другу (рис. 65). При этом напряжение, приложенное к участку анод — катод каждой лампы, зависит от сопротивления анодной нагрузки и величины анодного

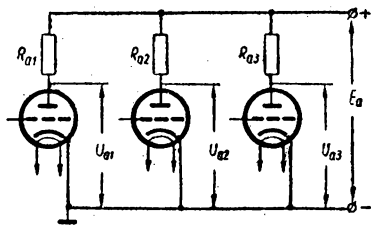


Рис. 65. Питание анодных цепей ламп от одного источника.

тока данной лампы и определяется по формуле (3—7). Необходимым условием нормальной работы лампы является постоянство напряжения анодного источника. Если питать анодную цепь нестабильным пульсирующим напряжением, это приведет к возникновению

пульсаций анодного тока той же частоты, что и пульсации питающего напряжения. В этом случае анодный ток лампы будет изменяться не только под действием напряжения сигнала, приложенного к сетке, но и в результате изменяющегося анодного напряжения. Такой режим работы лампы является нежелательным, так как приводит к искажениям полезного сигнала.

Наиболее заметны пульсации анодного напряжения при питании анодных цепей ламп от выпрямителя. Для уменьшения пульсаций выпрямленного напряжения на выходе выпрямителя устанавливаются специальные сглаживающие фильтры. Кроме того, в анодные цепи ламп часто включаются цепочки, состоящие из активного сопротивления R_{ϕ} и емкости C_{ϕ} ,

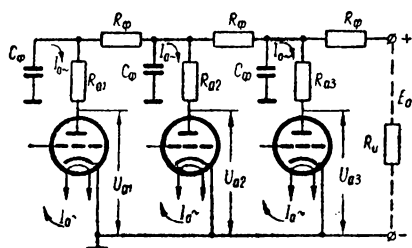


Рис. 66. Включение в анодные цепи ламп развязывающих фильтров.

называемые *развязывающими фильтрами* (рис. 66). Основное назначение этих цепочек заключается в устранении нежелательных (паразитных) связей между отдельными каскадами схемы, возникающих при питании ламп от одного анодного источника. Подробно этот вопрос рассматривается в гл. 17. Наряду с этим развязывающие фильтры позво-

ляют уменьшить пульсации анодного напряжения. Из рис. 66 видно, что каждая лампа схемы и последовательно соединенное с ней сопротивление анодной нагрузки R_a зашунтированы конденсатором фильтра C_{ϕ} . Емкость этого конденсатора выбирается с таким расчетом, чтобы емкостное сопротивление было значительно меньше суммы сопротивлений R_a и R_i

$$X_{C_{\phi}} = \frac{1}{\omega C_{\phi}} \ll R_a + R_i,$$

где ω — частота пульсаций напряжения анодного источника.

Поэтому, если бы напряжение источника и было пульсирующим, то переменные токи, вызванные этими пульсациями, в цепи каждого каскада не проходили бы через сопротивления R_a и лампы, а замыкались бы через малые сопротивления $X_{C_{\phi}}$. Следовательно, напряжение, приложенное к участку анод — катод каждой лампы ($U_a = E_a - I_a R_a$), осталось бы практически неизменным.

Рассмотрим теперь назначение сопротивления R_{ϕ} . Под действием переменного напряжения сигнала, подаваемого на сетку лампы, в анодной цепи проходит пульсирующий ток. При отсутствии развязывающего фильтра переменная составляющая анодного тока каждой лампы, так же как и постоянные составляющие, прошла бы через внутреннее сопротивление R_{π} источника анодного питания. Сопротивление R_{π} обычно невелико, но переменные составляющие анодных токов всех каскадов могут создать на нем заметное падение

напряжения, вследствие чего на зажимах источника напряжение окажется нестабильным. Величины C_Φ и R_Φ развязывающего фильтра подбираются так, чтобы даже на низших частотах ω_n емкостное сопротивление $X_{C_\Phi} = \frac{1}{\omega_n C_\Phi}$ было значительно меньше активного сопротивления R_Φ . В этом случае переменные составляющие анодных токов ламп, обусловленные действием полезного сигнала, замыкаются через малое сопротивление X_{C_Φ} в цепи, не выходящей за пределы данного каскада, и не вызывают падений напряжения на сопротивлении R_n источника анодного питания. На рис. 66 направление переменного анодного тока каждой лампы показано стрелкой.

Чем больше ламп в схеме и чем выше их мощность, тем большей должна быть мощность источника анодного питания. Поэтому часто для питания многоламповых схем приходится применять несколько источников анодного напряжения.

По способу подключения источника анодного питания к лампе различают две основные схемы анодного питания: последовательную и параллельную.

При последовательном питании источник анодного напряжения, сопротивление анодной нагрузки и лампа включены между собой последовательно. Например, на рис. 65 анодное питание каждой лампы осуществляется последовательно (хотя анодные цепи нескольких ламп включены параллельно друг другу).

Последовательная схема анодного питания имеет ряд недостатков. Один из них состоит в том, что по сопротивлению анодной нагрузки проходит не только переменная составляющая анодного тока, обусловленная действием полезного сигнала, но и постоянная составляющая I_{a0} . Прохождение постоянного тока через сопротивление R_a приводит к бесполезному нагреву этого сопротивления и создает на нем постоянное падение напряжения $I_{a0}R_a$. Чем больше это падение напряжения, тем меньше постоянное напряжение, приложенное к участку анод — катод лампы. Поэтому для обеспечения нормального рабочего напряжения на аноде лампы приходится использовать источники анодного питания, рассчитанные на более высокие напряжения, чем U_a .

Для устранения этих недостатков в некоторых случаях используется схема параллельного анодного питания (рис. 67). Сопротивление дросселя $X_L = \omega L$ постоянному току ничтожно мало. Поэтому по постоянному току источник питания и участок анод — катод лампы включены между собой параллельно. Падением напряжения на дросселе, вызванным проходящим через него током I_{a0} , практически можно пренебречь. Поэтому на анод лампы прикладывается почти все напряжение анодного источника. Для переменного тока

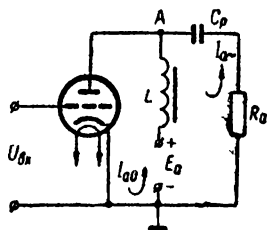


Рис. 67. Схема параллельного анодного питания.

сопротивление дросселя велико, а сопротивление конденсатора C_p мало. Следовательно, по переменному току лампа и сопротивление анодной нагрузки включены параллельно друг другу. Поэтому переменная составляющая анодного тока, обусловленная воздействием на сетку напряжения сигнала, проходит через конденсатор и сопротивление анодной нагрузки R_a , выделяя на нем определенную мощность полезного сигнала.

Нетрудно заметить, что в точке A схемы происходит разделение постоянной и переменной составляющих анодного тока лампы. Поэтому конденсатор C_p получил название *разделительного* конденсатора. Если вместо дросселя в схеме параллельного анодного питания использовать активное сопротивление, то в этом случае приходится считать с падением напряжения на нем и применять источники анодного питания с некоторым запасом по напряжению.

5—2. Схемы подачи напряжения на экранирующую сетку

Включение тетродов, лучевых тетродов и пентодов в электронную схему отличается от включения триода необходимостью питания цепей экранирующих сеток. В большинстве случаев величина положительного напряжения на экранирующей сетке должна быть

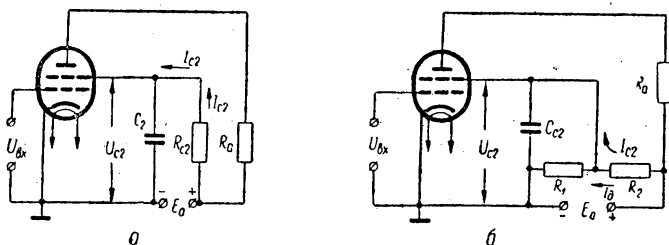


Рис. 68. Схема питания экранирующей сетки:

а — через гасящее сопротивление; б — с помощью делителя напряжения.

несколько меньше величины напряжения на аноде. Поэтому часто питание цепи экранирующей сетки осуществляется от источника анодного напряжения через гасящее сопротивление или от делителя напряжения (рис. 68).

При питании экранирующей сетки через гасящее сопротивление напряжение U_{c2} равно разности между напряжением источника питания E_a и падением напряжения на сопротивлении R_{c2} за счет протекания через него постоянной составляющей тока экранирующей сетки I_{c2} . Поэтому величина гасящего сопротивления может быть найдена из соотношения

$$R_{c2} = \frac{E_a - U_{c2}}{I_{c2}}. \quad (5-1)$$

В справочниках по электронным приборам указывается нормальная величина напряжения на экранирующей сетке, а также величина тока I_{c2} , соответствующая определенному значению анодного напряжения. Подставляя эти данные в формулу (5—1), находят R_{c2} . Обычно величина сопротивления R_{c2} составляет несколько десятков или сотен килоом.

Часто встречается также схема питания экранирующей сетки через делитель напряжения. В такой схеме (рис. 68, б) источник анодного питания замкнут на сопротивления R_1 и R_2 , соединенные последовательно. Через эти сопротивления величиной в несколько десятков или сотен килоом все время проходит ток I_d (ток делителя). Напряжение U_{c2} , создаваемое током I_d на сопротивлении R_1 , подается на экранирующую сетку.

Схема с делителем менее экономична, чем схема с гасящим сопротивлением, так как на питание делителя бесполезно расходуется энергия анодного источника. Однако напряжение экранирующей сетки при питании от делителя более стабильно. Объясняется это тем, что напряжение U_{c2} в схеме с делителем зависит только от тока делителя I_d и сопротивления R_1 , в то время как в схеме с гасящим сопротивлением ток I_{c2} зависит от стабильности напряжения на сетке и на аноде и поэтому может изменяться в процессе работы лампы. Изменения тока I_{c2} приводят к изменениям падения напряжения на сопротивлении R_{c2} и поэтому напряжение U_{c2} оказывается непостоянным. Для поддержания постоянства напряжения U_{c2} в цепь питания экранирующей сетки включается конденсатор C_{c2} , называемый *блокировочным* конденсатором. Его емкость берут равной тысячам или десяткам тысяч пикофард при работе на высоких частотах и десятым долям микрофарды на низких частотах. Таким образом, емкостное сопротивление $X_{C_{c2}} = \frac{1}{\omega C_{c2}}$ для переменного тока незначительно по величине.

При работе лампы, когда на управляющую сетку подается переменное напряжение сигнала, ток экранирующей сетки, как и анодный ток, получается пульсирующим. Переменная составляющая этого тока замыкается через емкость C_{c2} и не проходит по сопротивлению R_{c2} . Поэтому напряжение U_{c2} остается практически неизменным, что необходимо для нормальной работы лампы.

5—3. Схемы получения отрицательного сеточного смещения

В 3—1 было указано, что для устранения сеточного тока лампы и выбора рабочей точки на прямолинейном участке анодно-сеточной характеристики на управляющую сетку подается постоянное, отрицательное относительно катода напряжение смещения. Самый простой способ подачи напряжения смещения — включение в цепь сетки отдельного источника постоянного напряжения. Им может

служить, например, батарея из нескольких элементов или аккумулятор. Схема включения отдельного источника отрицательного смещения приведена на рис. 69. Сопротивление R_c имеет величину порядка сотен килоом и является необходимым элементом схемы. Если бы этого сопротивления не было и отрицательный полюс источника был непосредственно подключен к сетке, то участок сетка —

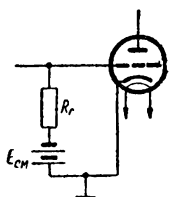


Рис. 69. Подача отрицательного сеточного смещения от батареи.

катод лампы оказался бы практически короткозамкнутым малым внутренним сопротивлением источника. При этом напряжение полезного сигнала не оказывало бы никакого влияния на изменение анодного тока лампы.

Сопротивление R_c часто называют *сопротивлением утечки сетки*. Поясним это название. При полете электронов от катода к аноду часть из них попадает на витки сетки и скапливается на ней. При этом отрицательный потенциал сетки относительно катода непрерывно нарастает и через некоторое время лампа «запирается». При наличии сопротивления R_c электроны движутся («стекают») по нему от сетки к катоду и не скапливаются на сетке. Поэтому режим работы лампы не нарушается, и потенциал сетки определяется только напряжением смещения и напряжением полезного сигнала.

Достоинство рассмотренного метода подачи отрицательного смещения на сетку заключается в постоянстве напряжения смещения и его независимости от режима работы лампы. Поэтому напряжение смещения от отдельного источника называют *фиксированным*. Однако этот метод используется в схемах редко, так как требует независимого источника питания.

Удобным и очень распространенным способом подачи смещения на управляющую сетку является использование автоматического сеточного смещения за счет анодного тока лампы. Он состоит в том, что между катодом лампы и отрицательным полюсом источника анодного питания включают сопротивление R_k , зашунтированное емкостью C_k (рис. 70). Через сопротивление R_k протекает анодный ток, который вызывает на нем падение напряжения, равное $I_{a0}R_k$, причем катод оказывается под положительным потенциалом относительно земли. Полученная таким образом разность потенциалов через сопротивление R_c прикладывается между сеткой и катодом лампы — минусом на сетку. Величина сопротивления R_k определяется по закону Ома

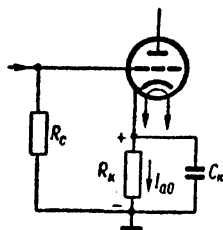


Рис. 70. Схема автоматического сеточного смещения.

$$R_k = \frac{|-E_{cm}|}{I_{a0}}, \quad (5-2)$$

где $E_{см}$ — напряжение смещения, необходимое для выбора рабочей точки на анодно-сеточной характеристике лампы;

I_{a0} — постоянная составляющая анодного тока лампы, соответствующая данному смещению на сетке.

Обычно величина R_k бывает порядка сотен или тысяч ом.

В схеме с тетродом или пентодом через сопротивление R_k проходит ток, равный сумме токов анода и экранирующей сетки. В этом случае сопротивление R_k рассчитывается по формуле

$$R_k = \frac{|-E_{см}|}{I_{a0} + I_{c2}}, \quad (5-3)$$

где I_{c2} — постоянная составляющая тока экранирующей сетки.

Так как в составе анодного тока лампы и тока экранирующей сетки, помимо постоянной составляющей, имеется и переменная составляющая, сопротивление R_k шунтируется емкостью C_k . Величина этой емкости выбирается такой, чтобы сопротивление $X_{C_k} =$

$\frac{1}{\omega C_k}$ для переменного тока было значительно меньше (примерно в 10 раз) сопротивления R_k . Для выполнения этого условия емкость конденсатора C_k должна быть достаточно большой. Поэтому при работе на низких частотах в качестве конденсаторов C_k используются электролитические конденсаторы, емкость которых составляет десятки микрофард. Переменная составляющая анодного тока лампы проходит через малое сопротивление X_{C_k} и не создает на нем заметного падения напряжения. Следовательно, напряжение смещения, выделяющееся на активном сопротивлении R_k , остается практически неизменным.

Следует учесть, что автоматическое напряжение смещения представляет собой часть напряжения анодного источника. Поэтому анодное напряжение на лампе получается несколько меньшим, чем в схемах без автоматического смещения. Действительно, учитывая, что напряжение E_a распределяется пропорционально между последовательно соединенными сопротивлением анодной нагрузки, внутренним сопротивлением лампы и сопротивлением автоматического смещения, можно записать (для триода)

$$U_a = E_a - I_{a0}R_a - I_{a0}R_k. \quad (5-4)$$

Обычно $E_{см}$ составляет всего несколько вольт. Поэтому во многих случаях изменением анодного напряжения за счет автоматического смещения можно пренебречь.

В некоторых схемах отрицательное напряжение смещения получают с помощью делителя, состоящего из сопротивлений R_1 и R_2 , получающего питание непосредственно от источника анодного напряжения (рис. 71). При этом можно обойтись без блокировочного конденсатора C_k . Подача смещения от делителя приводит к дополнительному расходу мощности источника анодного питания и поэтому применяется редко.

Весьма распространенным способом подачи отрицательного смещения на сетку лампы, особенно в схемах ламповых генераторов, является использование так называемой схемы гридлика (рис. 72).

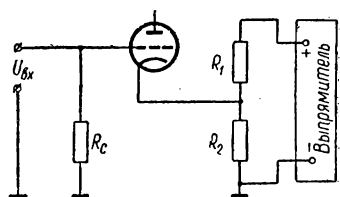


Рис. 71. Схема подачи сеточного смещения от источника анодного питания.

Отрицательное напряжение получается здесь за счет постоянной составляющей сеточного тока, проходящего в положительные полупериоды входного сигнала через сопротивление R_c . Конденсатор C_c пропускает переменную составляющую этого тока, который в положительные полупериоды входного сигнала проходит в цепи: сетка — катод лампы, внутреннее сопротивление источника входного сигнала, конденсатор C_c . Кроме того, конденсатор C_c в положительные полупериоды входного сигнала заряжается постоянным сеточным током (полярность обкладок конденсатора указана на рис. 72). В отрицательные полупериоды конденсатор C_c разряжается током I_p , проходящим в цепи: положительная обкладка конденсатора, внутреннее сопротивление источника сигнала, сопротивление R_c , отрицательная обкладка. При этом на сопротивлении R_c , а следовательно, между сеткой и катодом лампы поддерживается неизменное по величине отрицательное напряжение смещения. Величина смещения зависит от величин C_c и R_c , а также от наклона вольт-амперной характеристики сеточного тока. Величины R_c и C_c обычно подбираются экспериментально, так как в справочниках по электронным приборам вольт-амперные характеристики сеточного тока не приводятся.

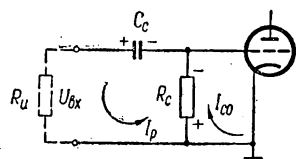


Рис. 72. Схема получения сеточного смещения за счет сеточного тока (схема гридлика).

Г Л А В А 6

ЭЛЕКТРОННО-ЛУЧЕВЫЕ ТРУБКИ

6—1. Назначение и устройство электронно-лучевых трубок

Электронно-лучевая трубка представляет собой электровакуумный прибор, предназначенный для преобразования электрических сигналов в световые. Благодаря работам русских и советских ученых Б. Л. Розинга, Л. И. Мандельштама, Д. А. Рожанского, С. А. Катаева и других электронно-лучевые трубки в настоящее время широко используются в телевидении, радиолокации, измерительной аппаратуре (осциллографах), в электронно-вычислительных машинах и других устройствах.

Электронно-лучевая трубка состоит из герметичной колбы, в которой находится устройство для получения электронного луча и экрана, на котором создается изображение.

В зависимости от способа фокусировки и отклонения электронного луча электронно-лучевые трубки делятся на две основные группы:

1) с электростатическим управлением (электростатические), в которых электронный луч фокусируется и отклоняется электрическим полем;

2) с электромагнитным управлением (электромагнитные), в которых луч фокусируется и отклоняется магнитным полем.

В зависимости от цвета изображения на экране различают трубки с зеленым, оранжевым или темно-оранжевым свечением — для визуального наблюдения, с синим свечением — для фотографирования осциллограмм и белым свечением — для приема телевизионных изображений. Кроме того, трубки изготавливаются с различной длительностью послесвечения, т. е. свечения экрана после того, как в него перестали ударять электроны. Трубки различаются также по размерам экрана, величинам питающих напряжений и ряду других второстепенных признаков.

Наиболее часто в схемах электронной автоматики применяются трубки с электростатическим управлением.

6—2. Электронно-лучевая трубка с электростатическим управлением

Устройство и схема питания трубки с электростатическим управлением показаны на рис. 73.

Основными частями трубки являются:

1) электронная пушка, создающая узкий электронный луч, направленный вдоль оси трубки;

2) отклоняющая система, назначением которой является изменение направления электронного луча;

3) экран, обладающий способностью светиться при бомбардировке его электронами луча.

Рассмотрим назначение и устройство отдельных элементов трубки.

Электронная пушка. Электронной пушкой, или электронным прожектором, называется система электродов, позволяющая получить узкий поток электронов (электронный луч). Электронная пушка помещается в узкой удлиненной части колбы и состоит из подогревного катода, управляющего электрода и двух анодов.

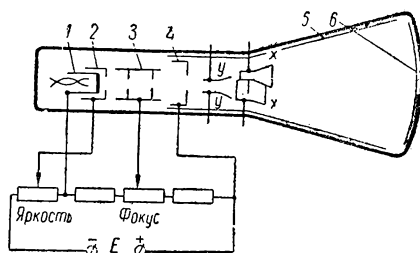


Рис. 73. Схематическое устройство электронно-лучевой трубки с электростатическим управлением:

1 — катод; 2 — управляющий электрод; 3 — первый анод; 4 — второй анод; 5 — аквадаг; 6 — экран.

Катод сделан в виде небольшого никелевого цилиндра, дно которого покрывается активированным слоем, испускающим при нагреве электроны. Обычно в электронно-лучевых трубках применяется оксидный катод. Вывод катода часто присоединяется внутри баллона к одному из концов нити накала. Вокруг катода располагается управляющий электрод, выполненный в виде никелевого цилиндра с небольшим отверстием (диафрагмой) в доньшке. На управляющий электрод подается отрицательное относительно катода напряжение порядка нескольких десятков вольт. Под действием электрического поля, созданного этим напряжением, электроны прижимаются

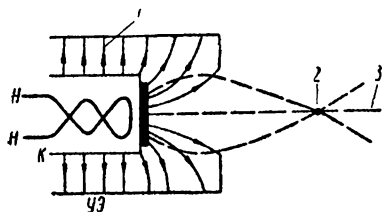


Рис. 74. Устройство катода и управляющего электрода электронно-лучевой трубки:

1 — силовые линии электрического поля между катодом и управляющим электродом; 2 — фокус; 3 — ось трубки.

к оси трубки и сходятся в точку на некотором расстоянии от управляющего электрода (точка 2, рис. 74). Благодаря этому осуществляется предварительная фокусировка электронного луча. Кроме того, электрическое поле между катодом и управляющим электродом, являясь тормозящим для электронов, отталкивает некоторые из них обратно на катод. Следовательно, регулируя величину отрицательного потенциала на управляющем электроде, можно изменять количество электронов, пролетающих через его диафрагму, т. е. изменять плотность электронного луча. Такая регулировка приводит к изменению яркости светящегося пятна на экране трубки. Движение электронов от катода к экрану и дальнейшая фокусировка их в узкий пучок обеспечивается системой двух анодов, выполненных в виде полых металлических цилиндров. Первый анод выполняется меньшего диаметра, чем второй, и снабжается большим количеством диафрагм. Чтобы получить достаточные скорости движения электронов, на аноды подаются большие положительные напряжения (на первый анод порядка нескольких сотен вольт, а на второй — порядка нескольких киловольт).

Для уяснения фокусирующего действия системы двух анодов рассмотрим рис. 75. Так как потенциал второго анода A_2 выше потенциала первого анода A_1 , то электрическое поле между ними будет направлено от второго анода к первому (рис. 75, а).

На электрон, попадающий в электрическое поле, действует сила, направленная в каждой точке поля по касательной к силовой линии. Например, на электрон, находящийся в точке B , действует сила F , направленная по касательной к силовой линии электрического поля между первым и вторым анодами (рис. 75, б). Силу F можно разложить на две составляющие: продольную F_1 и поперечную F_2 . Продольная составляющая F_1 ускоряет движение электрона вдоль оси трубки, а поперечная F_2 прижимает его к оси. В точке B'

на участке второго анода продольная составляющая F'_1 по-прежнему ускоряет электрон в направлении экрана, но поперечная составляющая F'_2 уже отклоняет его от оси.

Таким образом, действие системы анодов эквивалентно действию оптической системы из собирающей и рассеивающей линз (рис. 75, в). Поэтому фокусирующую систему анодов электронно-лучевой трубки иногда называют *электростатической линзой*. Необходимо подчеркнуть, что собирающее действие левой части электростатической линзы вовсе не равно рассеивающему действию правой части, ибо скорость электрона в точке B на участке первого анода меньше, чем в точке B' на участке второго анода. Чем меньше скорость, тем дольше находится электрон в отклоняющем поле и тем больше испытываемое им отклонение, и наоборот.

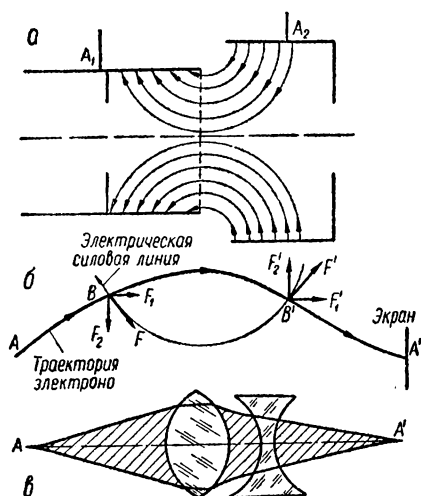


Рис. 75. Фокусировка электронного луча с помощью системы двух анодов: а — электрическое поле между первым и вторым анодами; б — траектория движения электрона в фокусирующем поле анодов; в — оптический эквивалент системы двух анодов.

Следовательно, собирающее действие левой части больше рассеивающего действия правой части, и электроны будут сходиться в одной точке (A') на оси трубки на некотором расстоянии от анодов.

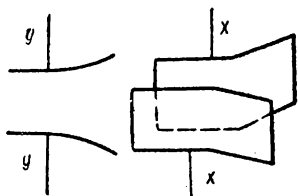


Рис. 76. Отклоняющие пластины электронно-лучевой трубки.

Меняя величину напряжения на первом аноде, можно изменять электрическое поле между анодами и тем самым перемещать точку фокуса вдоль оси трубки, добываясь совмещения ее с поверхностью экрана. При этом на экране трубки получается резко очерченное светящееся пятно малого диаметра.

Отклоняющая система. На пути к экрану электронный луч проходит между двумя парами взаимно-перпендикулярных отклоняющих пластин XX и YY , называемых *электростатической отклоняющей системой* (рис. 76).

Пластины XX отклоняют луч по горизонтали и называются поэтому *горизонтально отклоняющими*. Пластины YY , отклоняющие луч в вертикальном направлении, называются *вертикально отклоняющими*.

Если подать на каждую пару пластин постоянное напряжение, то электронный луч отклонится в сторону пластины, находящейся под положительным потенциалом. Когда на пластины подается переменное напряжение, перемещение светящегося пятна по экрану образует светящиеся линии.

Возможность перемещения луча с помощью напряжений на отклоняющих пластинах и используют при практических применениях трубки.

Для примера рассмотрим принцип получения изображения исследуемого сигнала на экране электростатической трубки. Пусть имеется некоторое синусоидальное напряжение $U_c = U_m \sin \omega t$.

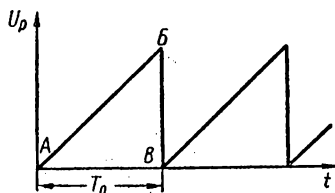


Рис. 77. Пилообразное напряжение развертки.

Если его подвести к вертикально отклоняющим (сигнальным) пластинам, то под воздействием этого напряжения луч будет перемещаться вверх и вниз по экрану трубки, прочерчивая вертикальную линию. Для получения на экране изображения этой синусоиды (вместо вертикальной линии), т. е. для наблюдения изменения напряжения во времени, необходимо одновременно подать на горизонтально

отклоняющие пластины напряжение, отклоняющее луч в горизонтальном направлении. Это напряжение имеет обычно *пилообразную* форму (рис. 77) и называется *напряжением развертки*. При линейном возрастании напряжения развертки (участок АВ, рис. 77) перемещение светящейся точки по экрану будет прямо пропорционально времени. Затем напряжение развертки резко падает до первоначального значения (участок ВВ), и световое пятно почти мгновенно возвращается в исходное положение. Далее цикл изменения светового луча повторяется. Световую линию на экране, создаваемую этим напряжением, принимают за ось времени.

При одновременной подаче исследуемого синусоидального напряжения U_c на сигнальные пластины YY и пилообразного напряжения развертки U_p на горизонтально отклоняющие (развертывающие) пластины ХХ электронный луч будет одновременно перемещаться в вертикальном направлении под действием U_c и в горизонтальном — под действием U_p . При этом луч будет прочерчивать на экране развернутую во времени диаграмму исследуемого синусоидального напряжения (рис. 78).

Для получения неподвижного изображения на экране необходимо, чтобы при каждом перемещении луча вдоль линии развертки на него действовали каждый раз в одних и тех же точках развертки одинаковые напряжения на сигнальных пластинах. Полное совпадение отдельных повторяющихся изображений получится в том случае, если период развертки будет равен целому числу периодов

исследуемого напряжения, т. е.

$$T_p = nT_c.$$

Выполнение этого условия называется *синхронизацией* частоты напряжения развертки с частотой исследуемого сигнала.

Одним из основных параметров электронно-лучевых трубок является чувствительность трубки S , показывающая, на сколько миллиметров перемещается луч по экрану при изменении напряже-

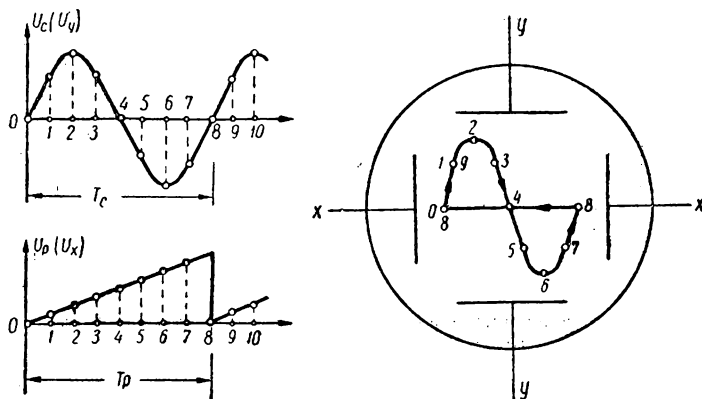


Рис. 78. Принцип получения осциллограммы исследуемого синусоидального напряжения.

ния на отклоняющих пластинах на 1 в. Чувствительность принято выражать в мм/в.

Математически чувствительность определяется по формуле

$$S = \frac{h}{U} = \frac{l_1 l_2}{2U_{a2} d}, \quad (6-1)$$

где S — чувствительность, мм/в;
 h — величина отклонения луча на экране трубки, мм;
 l_1 — длина отклоняющих пластин, мм;
 l_2 — расстояние от середины пластины до экрана, мм;
 d — расстояние между пластинами, мм;
 U_{a2} — напряжение на втором аноде, в.

Зависимость чувствительности от всех величин, входящих в данную формулу, нетрудно объяснить (рис. 79). С увеличением l_1 электрон дольше летит в отклоняющем поле и поэтому получает большое отклонение. А при одном и том же угловом отклонении смещение светящегося пятна на экране возрастает с увеличением расстояния l_2 . Если же раздвинуть пластины, т. е. увеличить d , то напряженность поля между пластинами уменьшится и это вызовет уменьшение отклонения. Увеличение U_{a2} также приводит к уменьшению отклонения, поскольку при этом возрастает скорость движения электронов между пластинами.

В современных электростатических трубках величина чувствительности находится в пределах $0,1\text{--}1\text{ мм/в}$. Чувствительность трубки в горизонтальном (S_x) и в вертикальном (S_y) направлениях не одинакова, так как одна пара пластин расположена дальше от экрана, чем другая. Для увеличения чувствительности трубки при наблюдении исследуемых напряжений вертикально отклоняющие пластины помещаются на большем расстоянии от экрана, чем горизонтально отклоняющие.

Экран. Экран электронно-лучевой трубки представляет собой тонкий слой вещества (люминофора), способного светиться при бом-

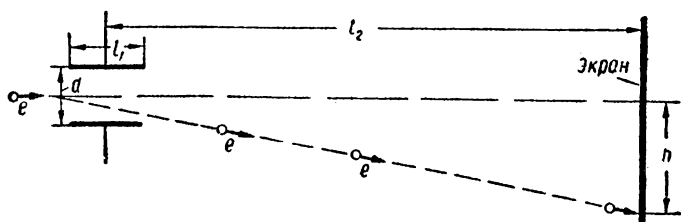


Рис. 79. К пояснению зависимости чувствительности электронно-лучевой трубки от ее конструктивных размеров.

бардировке электронами. К таким веществам относятся виллемит (сульфид цинка), вольфрамово-кислый кальций и др. В зависимости от состава люминофора может быть получено свечение различного цвета. Длительность послесвечения также зависит от химического состава люминофора. Многие вещества перестают светиться через несколько миллисекунд или десятков миллисекунд после прекращения потока электронов, но существуют составы, свечение которых продолжается в течение многих секунд. Это явление называется *длительным послесвечением*.

Оседая на экране, электроны создают на нем отрицательный заряд, который может возрасти до большой величины и нарушить нормальную работу трубки. Для предотвращения этого внутренняя поверхность колбы покрывается электропроводящим графитовым слоем (аквадагом), соединенным со вторым анодом. К этому слою притягиваются вторичные электроны, испускаемые экраном под действием бомбардировки первичными электронами, чем и достигается отвод зарядов от экрана.

Маркировка электронно-лучевых трубок состоит из четырех элементов. Первым элементом обозначения является число, указывающее величину диаметра или диагонали экрана в сантиметрах. Затем ставятся две буквы — ЛО для осциллографических трубок и кинескопов с электростатическим отклонением луча, ЛК для кинескопов с магнитным отклонением и ЛМ для осциллографических трубок с магнитным отклонением. Следующим элементом обозначения является число, указывающее порядковый номер трубки

определенного типа. У некоторых трубок в конце обозначения ставится еще буква для указания типа люминесцирующего экрана. Так буква А указывает на синее свечение, Б — белое, И — зеленое, Н — голубое и П — красное.

6—3. Запоминающие электронно-лучевые трубки

Запоминающими трубками, или *потенциалоскопами*, называются электронно-лучевые трубки, обладающие способностью преобразовывать электрические сигналы в электрические заряды, сохранять их в течение определенного времени, а затем воспроизводить.

Существуют различные конструкции запоминающих трубок. Один из наиболее распространенных вариантов показан на рис. 80. В трубке имеется катод 1, обычный электронный прожектор 2 и отклоняющие пластины 3. В широкой части баллона находится металлическая пластина 4 — сигнальный электрод, на который нанесен слой диэлектрика 5, образующий так называемую мишень. Перед мишенью помещена заземленная сетка 6 и кольцевой электрод — коллектор 7, находящийся под высоким положительным потенциалом относительно катода.

Входные сигналы, имеющие характер импульсов положительной или отрицательной полярности, подаются на сигнальный электрод. Выходные сигналы снимаются с сопротивления нагрузки R_n , включенного в цепь коллектора.

При отсутствии входных сигналов электронный луч 8 под действием напряжения развертки последовательно перемещается с одного элемента мишени на другой. Попадая на элемент мишени, луч выбивает из него вторичные электроны, причем коэффициент вторичной эмиссии σ обычно получается больше единицы. Вторичные электроны 9 устремляются к коллектору, снижая его потенциал. В то же время потенциал поверхности мишени, обращенной к прожектору, повышается из-за потери некоторого количества вторичных электронов. Обычно при отсутствии входного сигнала потенциал мишени приобретает некоторое равновесное значение, близкое к потенциалу коллектора. Потенциал противоположной поверхности мишени равен потенциалу сигнального электрода.

При отсутствии входных сигналов электронный луч 8 под действием напряжения развертки последовательно перемещается с одного элемента мишени на другой. Попадая на элемент мишени, луч выбивает из него вторичные электроны, причем коэффициент вторичной эмиссии σ обычно получается больше единицы. Вторичные электроны 9 устремляются к коллектору, снижая его потенциал. В то же время потенциал поверхности мишени, обращенной к прожектору, повышается из-за потери некоторого количества вторичных электронов. Обычно при отсутствии входного сигнала потенциал мишени приобретает некоторое равновесное значение, близкое к потенциалу коллектора. Потенциал противоположной поверхности мишени равен потенциалу сигнального электрода.

Сигнальный электрод, толщина диэлектрика и поверхность мишени могут рассматриваться как своеобразный конденсатор. Поэтому при подаче входных сигналов на сигнальный электрод, являющийся одной из обкладок этого конденсатора, потенциал поверхности

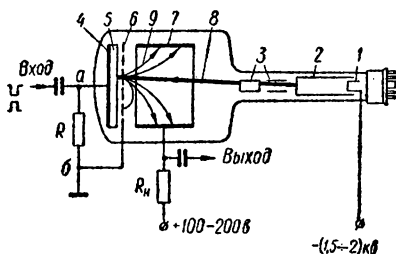


Рис. 80. Запоминающая электронно-лучевая трубка.

мишени начнет изменяться во времени, следуя за напряжением сигнала. Пусть, например, на сигнальный электрод подается импульс положительной полярности. При этом потенциал точки b относительно точки a уменьшается (рис. 80), а значит, потенциал сетки становится отрицательным относительно мишени. На коллектор, следовательно, уйдет меньшее число вторичных электронов, потенциал элемента мишени, на котором находится луч, снижается, и он приобретает некоторый заряд, пропорциональный емкости элемента и разности потенциалов на поверхностях диэлектрика.

После ухода электронного луча заряд на элементе мишени сохраняется, т. е. сигнал оказывается «записанным». Другим значениям сигнала соответствуют моменты попадания электронного луча на соседний элемент мишени, каждый из которых окажется заряженным до определенного напряжения. Таким образом, входные сигналы разворачиваются во времени и наносятся на поверхность мишени в виде так называемого потенциального рельефа.

Для снятия (считывания) записанных сигналов электронный луч развертывают по мишени при отсутствии сигнала на входе, т. е. при потенциале сигнального электрода, равном нулю. Обегая последовательно элементы мишени, луч восстанавливает их потенциал до первоначального значения. При этом потенциальный рельеф стирается, а в цепи нагрузочного сопротивления R_n появляются импульсы тока той или иной полярности, характеризующие сигналы, ранее записанные на элементах мишени.

В электронных вычислительных машинах с использованием двоичной системы счисления, когда любое число изображается комбинацией только двух знаков 0 и 1 , запоминающая трубка используется для хранения информации. При этом коду 1 соответствует положительное напряжение на сигнальном электроде, а следовательно, отрицательный заряд элемента мишени, а коду 0 — отрицательное напряжение на сигнальном электроде, т. е. положительный заряд элемента мишени. Современные запоминающие трубки позволяют одновременно сохранять до нескольких тысяч двоичных знаков.

Г Л А В А 7

ИОННЫЕ (ГАЗОРАЗРЯДНЫЕ) ПРИБОРЫ

7—1. Электрический разряд в газах

Наряду с электровакуумными приборами во многих электронных схемах используются приборы, работа которых основана на прохождении электрического тока через газ, т. е. на явлении электрического разряда в газах. В таких приборах носителями электрических зарядов являются не только электроны, но и ионы газа. Поэтому эти приборы носят название *газоразрядных*, или *ионных*.

В область изучения и разработки ионных приборов большой вклад внесли русские и советские ученые. Еще в 1802 г. русский физик проф. В. В. Петров впервые открыл явление дугового разряда. Широкою известность приобрела также дуговая лампа — «свеча Яблочкова». Важнейшие теоретические и экспериментальные исследования проведены советскими учеными М. А. Бонч-Бруевичем, В. П. Вологдиным, Н. Д. Папалекси, А. А. Чернышевым, Д. А. Рожанским, В. К. Крапивиным, Ю. Д. Болдырем, Г. И. Бабатом и многими другими.

Конструктивно ионные приборы представляют собой систему из двух или более металлических электродов, размещенных в герметизированном баллоне. Внутри баллона заполнен каким-либо инертным газом, водородом или парами ртути под небольшим давлением — порядка 10—30 мм. рт. ст.

Различают ионные приборы с самостоятельным и несамостоятельным разрядом. Приборы с самостоятельным разрядом имеют холодный катод. В них ток поддерживается только за счет разности потенциалов между электродами. В приборах с несамостоятельным разрядом для поддержания тока используется электронная эмиссия катода (чаще всего — термоэлектронная).

В обычных условиях газ не проводит электрический ток. Это объясняется тем, что он состоит из нейтральных атомов и молекул и почти не содержит в себе свободных электронов. Однако при определенных условиях газ может стать хорошим проводником. Для этого его необходимо ионизировать, т. е. расщепить атомы газа на электроны и положительные ионы. Следует отметить, что любой газ (в том числе и окружающий нас воздух) всегда в небольшой степени ионизирован. Эта естественная ионизация происходит, например, под влиянием космических лучей и радиоактивного излучения земной коры. Однако степень естественной ионизации слишком мала, и поэтому в обычных условиях газ можно считать хорошим диэлектриком.

Обратимся теперь к простейшему двухэлектродному ионному прибору, включенному по схеме, приведенной на рис. 81. Наличие газа в баллоне условно обозначается маленьким темным кружком внутри баллона. Проследим за тем, что будет происходить в приборе при перемещении движка потенциометра R от точки a к точке b , т. е. при повышении разности потенциалов между электродами I и 2.

Под действием приложенного к электродам постоянного напряжения электроны и положительные ионы, содержащиеся в газе за счет естественной ионизации, приходят в упорядоченное движение:

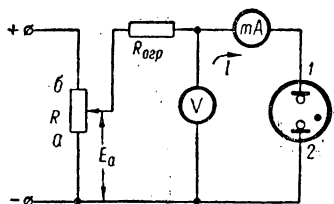


Рис. 81. Схема включения ионного прибора.

электроны устремляются к электроду 1 (аноду), а положительные ионы — к электроду 2 (катоду). Вольт-амперная характеристика ионного прибора приведена на рис. 82. При увеличении напряжения от нуля до U_1 ток возрастает от нуля до значения I_1 (рис. 82, участок кривой OA). При дальнейшем увеличении напряжения между электродами от U_1 до U_2 рост тока прекращается, поскольку все свободные электроны газового промежутка достигли анода. Поэтому участок кривой AA' называется *участком насыщения*. В данном

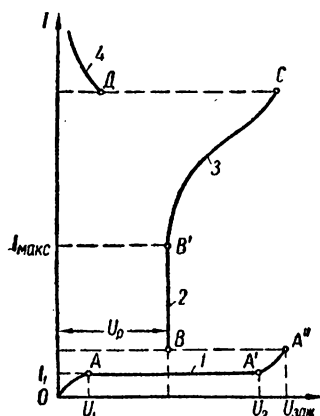


Рис. 82. Вольт-амперная характеристика ионного прибора:

1 — темный разряд; 2 — нормальный тлеющий разряд; 3 — аномальный тлеющий разряд; 4 — дуговой разряд.

случае мы имеем дело с одной из разновидностей электрического разряда в газе — *темным* (или *тихим*) *разрядом*. Он назван так потому, что протекание тока через прибор в этом случае не сопровождается свечением газа. Ток при темном разряде чрезвычайно мал (обычно не превышает десятков микроампер). Практического применения в ионных приборах темный разряд не находит.

При напряжениях, превышающих значение U_2 , скорость движения электронов возрастает до такой величины, при которой электроны, ударяясь об атомы газа, способны их ионизировать, т. е. расщеплять на электроны и положительные ионы. Процесс образования электронов и ионов за счет столкновения электронов с нейтральными атомами газа называется *ударной ионизацией*.

Образовавшиеся при ионизации электроны и ионы участвуют в создании тока в лампе и при своем движении ионизируют другие атомы, встречающиеся на их пути. Кроме того, положительные ионы, обладающие значительной по сравнению с электроном массой, при ударе о катод способны вызвать электронную эмиссию с его поверхности. Таким образом, процесс ионизации атомов принимает лавинообразный, самопроизвольно нарастающий характер, что приводит к значительному увеличению тока в цепи.

Электроны, движущиеся в газе под действием электрического поля, проходят от удара до удара различные пути, так как распределение молекул и атомов газа в пространстве между электродами носит случайный характер и постоянно изменяется. Поскольку пути электронов различны и они совершают под действием постоянной силы поля равноускоренное движение, энергия их при ударе различна и результаты их ударов по атомам тоже различны. Если электрон при соударении с атомом газа не имеет достаточной энергии для ионизации, то может произойти *возбуждение* атома: под ударом летящего электрона один из электронов атома переходит на более

удаленную от ядра орбиту, т. е. на более высокий энергетический уровень (рис. 83). В таком возбужденном состоянии атом находится очень малое время (порядка 10^{-9} сек). Затем электрон возвращается на прежнюю орбиту, а запасенная им энергия выделяется в виде электромагнитного излучения определенной длины волны. Если испускаемые лучи относятся к видимой части электромагнитного спектра, то наблюдается свечение газа. Это послужило поводом назвать описанное явление *тлеющим разрядом*.

Переход к тлеющему разряду происходит при вполне определенном для каждого ионного прибора напряжении на электродах — напряжении зажигания $U_{\text{зж}}$. На рис. 82 точка A'' является точкой возникновения тлеющего разряда, ей соответствует напряжение зажигания $U_{\text{зж}}$. Возникновение тлеющего разряда происходит скачком. При этом резкое возрастание тока приводит к снижению напряжения на приборе до величины U_p , определяемой точкой B на рис. 82. Это понижение напряжения на приборе объясняется перераспределением подводимого напряжения E_a между внутренним сопротивлением самого прибора R_i и ограничительным сопротивлением $R_{\text{огр}}$. При темном разряде, когда сопротивление прибора очень велико, а сила тока в цепи мала, падением напряжения на ограничительном сопротивлении $R_{\text{огр}}$ можно пренебречь и считать, что все напряжение E_a приложено к прибору

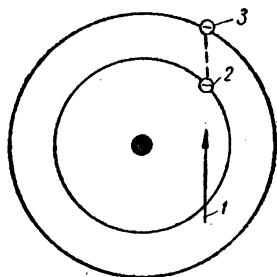


Рис. 83. Возбуждение атома ударом электрона:
1 — направление удара; 2 — электрон на орбите; 3 — электрон после перемещения на удаленную орбиту.

$$E_a \approx U_a.$$

После зажигания сопротивление прибора резко уменьшается и становится соизмеримым с $R_{\text{огр}}$. Значительная часть подводимого напряжения E_a будет падать на $R_{\text{огр}}$, а U_a соответственно уменьшится

$$U_a = U_p = E_a - IR_{\text{огр}}.$$

Таким образом, возникновение тлеющего разряда можно обнаружить по характерным скачкам тока вверх и напряжения вниз, что легко заметить по измерительным приборам.

Ионизированный газ в баллоне прибора, представляющий собой смесь электронов и ионов, носит название *газоразрядной плазмы*. Благодаря большому количеству электронов плазма обладает хорошей электропроводностью, и падение напряжения в ней сравнительно мало. Приложенное напряжение падает в основном вблизи катода, где наблюдается сгущение тяжелых и поэтому малоподвижных положительных ионов, образующих положительный пространственный заряд. Падение напряжения вблизи катода в этом случае

носит название *нормального катодного падения*. Положительный пространственный заряд (ионное облако) образует в лампе как бы газовый анод, который расположен ближе к катоду, чем анод лампы. Вследствие уменьшения расстояния между положительным пространственным зарядом и катодом

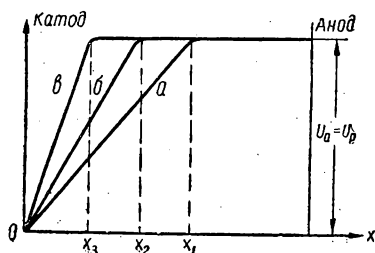


Рис. 84. Распределение потенциала электрического поля в приборе тлеющего разряда.

увеличивается напряженность электрического поля, вызывающая повышение скоростей движения электронов и ионов, и возрастает ионизация, которая становится возможной на меньших от катода расстояниях. В связи с этим пространственный разряд также перемещается ближе к катоду. Расстояние между катодом и положительным пространственным зарядом в установившемся режиме

определяется током через прибор: чем больше величина тока, тем ближе к катоду расположен пространственный заряд.

На рис. 84 показан характер распределения потенциала в лампе тлеющего разряда. При повышении тока в цепи (за счет увеличения E_a или уменьшения $R_{огр}$) расстояние между катодом и положительным пространственным зарядом уменьшается ($x_1 > x_2 > x_3$), однако величина нормального катодного падения сохраняет прежнее значение ($U_a = U_p$).

Опытным путем установлено, что при малом токе в цепи ионизация поддерживается электронами, выбиваемыми не со всей поверхности катода, а только с малого участка, который светится. При увеличении тока светящийся участок катода увеличивается (рис. 85). Плотность тока при этом (т. е. величина тока, приходящаяся на единицу площади катода) не изменяется и оказывается достаточной для осуществления тлеющего разряда.

Падение напряжения на приборе можно найти по формуле

$$U_p = IR_0,$$

где R_0 — внутреннее сопротивление прибора постоянному току, т. е. сопротивление своеобразного ионизированного газового проводника между анодом и рабочей поверхностью катода.

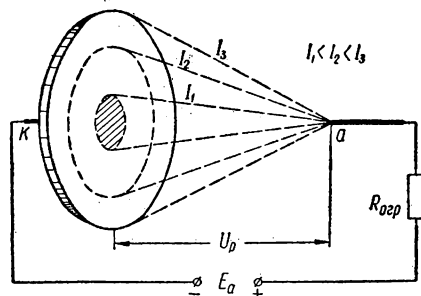


Рис. 85. Изменение рабочей площади катода в режиме нормального тлеющего разряда.

На рис. 85 этот «проводник» имеет форму конуса. При увеличении подводимого напряжения ток возрастает, и рабочая поверхность катода пропорционально увеличивается. Так как площадь поперечного сечения ионизированного газового «проводника» становится большей, сопротивление соответственно уменьшится, а произведение IR_0 останется постоянным.

Такой разряд обычно называют *нормальным тлеющим*. Ему соответствует участок BB' вольт-амперной характеристики (рис. 82). В режиме, соответствующем точке B' , свечение покрывает всю поверхность катода. При дальнейшем увеличении E_a ток возрастает, но рабочая площадь катода уже остается неизменной. Плотность тока начинает расти. Сопротивление R_0 уже не может уменьшаться пропорционально возрастанию тока, и падение напряжения на приборе $U_p = IR_0$ возрастет. Этот режим называется *аномальным тлеющим разрядом*. Ему соответствует участок $B'C$ вольт-амперной характеристики (рис. 82).

При увеличении тока в ионном приборе тлеющий разряд переходит в дуговой, характеризующийся тем, что для его поддержания требуется значительно меньшее напряжение на электродах, чем при тлеющем разряде. Переходу к дуговому разряду соответствует участок CD вольт-амперной характеристики (рис. 82). Возникновение дугового разряда объясняется тем, что при большой плотности тока бомбардируемый ионами катод нагревается до такой температуры, при которой с его поверхности начинается термоэлектронная эмиссия. Количество электронов, производящих ионизацию, во много раз возрастает, что приводит к резкому уменьшению сопротивления ионного прибора и уменьшению падения напряжения на нем.

К приборам дугового разряда относятся рассматриваемые в данной главе газовые разрядники, а также газотроны и тиратроны с накалимым катодом.

Подводя итог описанным выше явлениям, происходящим в ионном приборе, следует отметить, что вид электрического разряда в газе существенным образом зависит от величины ограничительного сопротивления $R_{огр}$. Если оно выбрано очень большим (порядка десятков или сотен мегом), то разряд будет темным. При значительно меньшей величине $R_{огр}$ может возникнуть тлеющий разряд, а дальнейшее уменьшение $R_{огр}$ приводит к переходу тлеющего разряда в дуговой, характеризующийся большими значениями тока (до нескольких ампер и более). Для многих ионных приборов дуговой разряд является аварийным видом работы. Включать такие приборы под напряжение без ограничительного сопротивления нельзя.

7—2. Ионные приборы с самостоятельным разрядом

Приборы с самостоятельным разрядом по внешнему виду и конструкции баллона во многом напоминают радиолампы. Однако конструкция электродов этих приборов значительно отличается от кон-

струкции электродов электронных ламп. Как известно, в радиолампе один из электродов (катод) разогревается током от внешнего источника. Делается это для того, чтобы получить свободные электроны в баллоне лампы, необходимые для ее работы. В ионном приборе с самостоятельным разрядом ни один из электродов не разогревается, однако свободные электроны в нем существуют, и при наличии разности потенциалов между электродами через прибор проходит ток. Следовательно, такой прибор в отличие от лампы с накаливаемым катодом можно назвать *лампой с холодным катодом*. К числу ламп с холодным катодом относятся приборы как с тлеющим, так и с дуговым разрядом, а также некоторые приборы без газового заполнения, например вакуумные фотозлементы. Здесь будут рассмотрены лишь некоторые ионные приборы с самостоятельным разрядом, получившие широкое распространение в схемах электронной автоматики.

Неоновые лампы

Неоновая лампа относится к числу газосветных ламп, в которых используется свечение газа при тлеющем разряде. Она состоит из стеклянного баллона, наполненного инертным газом неонем, и двух холодных электродов. Форма и размеры электродов могут быть различными (рис. 86). Если постепенно повышать напряжение на электродах неоновой лампы (рис. 81), то при некотором напряжении, называемом *напряжением зажигания* $U_{\text{зж}}$, в цепи возникает ток и лампа начинает светиться. При дальнейшем увеличении напряжения ток в цепи увеличивается, а избыток напряжения гасится ограничительным сопротивлением $R_{\text{огр}}$, препятствующим возникнове-

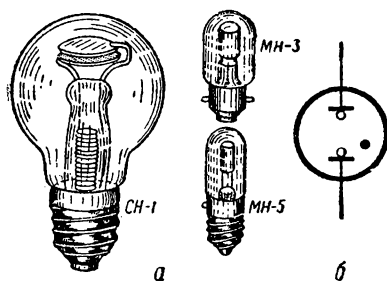


Рис. 86. Неоновые лампы:
а — внешний вид; б — условное обозначение.

нию дугового разряда. Если теперь уменьшить приложенное к лампе напряжение, ток будет уменьшаться и при некотором напряжении погасания $U_{\text{п}} < U_{\text{зж}}$ совершенно прекратится — свечение исчезнет. Наличие некоторой разницы между $U_{\text{п}}$ и $U_{\text{зж}}$ характерно для всех ионных приборов. Объясняется это различие тем, что перед зажиганием газ в междueleктродном пространстве практически не ионизирован и для возникновения разряда необходимо более высокое напряжение. А перед погасанием газ находится в состоянии значительной ионизации, и поэтому разряд может существовать при более низком напряжении. Это приводит к тому, что такая лампа как бы затягивает горение и обладает так называемой *гистерезисной* вольт-амперной характеристикой (рис. 87). В некоторых слу-

чаях это свойство неоновых ламп является полезным (например, в генераторах колебаний пилообразной формы).

Неоновые лампы применяются главным образом в качестве индикатора напряжения или тока, а также индикатора электромагнитного поля. В первом случае она включается параллельно тому участку цепи, в котором требуется установить наличие тока, а во втором — лампу можно не подключать в цепь; в этом случае э. д. с., обеспечивающая разряд в газе, создается электромагнитным полем высокой частоты.

Стабилитроны

Качество работы современных электронных устройств в значительной степени определяется стабильностью питающего напряжения. Но величина напряжения источника (обычно выпрямителя) по разным причинам может изменяться. Чтобы исключить колебания питающего напряжения, между источником тока и потребителем ставят специальные устройства, называемые *стабилизаторами напряжения*, задачей которых является поддержание постоянного по величине напряжения на потребителе независимо от изменения

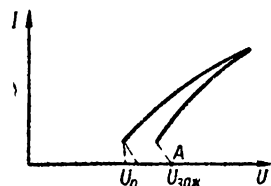


Рис. 87. Вольт-амперная характеристика неоновой лампы.

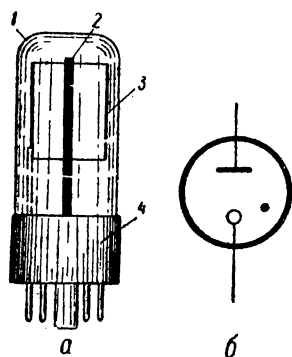


Рис. 88. Стабилитрон:

а — внешний вид (1 — баллон; 2 — анод; 3 — катод; 4 — цоколь); б — условное обозначение.

величины сопротивления нагрузки или напряжения источника. Одним из наиболее распространенных типов стабилизаторов напряжения является газоразрядный стабилизатор напряжения, сокращенно называемый *стабилитроном* или *стабилिवольтом*.

Стабилитрон представляет собой стеклянный баллон цилиндрической формы, наполненный каким-либо инертным газом (аргоном, гелием, неоном) при давлении в несколько десятков миллиметров ртутного столба. В баллоне помещены два (или несколько) concentрических электрода. Анод стабилитрона делается в виде тонкого стержня, а катод — в виде цилиндра. Внешний вид стабилитрона и его услов-

ное изображение показаны на рис. 88.

Принцип работы стабилитронов основан на использовании явления нормального тлеющего разряда в газах. Основной особенностью этого режима, как известно, является постоянство напряжения между электродами при изменении тока в широких пределах. Это видно из вольт-амперной характеристики стабилитрона, приведенной на рис. 89. Простейшая схема стабилизатора напряжения

на стабилитроне изображена на рис. 90. Для ограничения тока, протекающего через лампу, последовательно стабилитрону включают сопротивление $R_{огр}$, которое имеет существенное значение и в процессе стабилизации напряжения. При номинальной величине входного напряжения это сопротивление подбирается так, чтобы ток соответствовал примерно средней точке рабочего участка AB характеристики стабилитрона (точка C на рис. 89). Величина ограничительного сопротивления определяется по формуле

$$R_{огр} = \frac{U_{вх} - U_{ст}}{I_{ст} + I_{н}}, \quad (7-1)$$

где $R_{огр}$ — величина ограничительного сопротивления, $ом$;

$U_{вх}$ — напряжение стабилизируемого источника, $в$;

$U_{ст}$ — напряжение стабилизатора, соответствующее рабочей точке C характеристики стабилитрона;

$I_{ст}$ — ток, соответствующий рабочей точке, $а$;

$I_{н}$ — ток нагрузки, $а$.

Обычно сопротивление $R_{огр}$ имеет величину порядка нескольких килоом.

Работа стабилизатора протекает следующим образом. При увеличении входного напряжения $U_{вх}$ увеличивается ток, проходящий через стабилитрон. Это вызывает увеличение площади катода, покрытой свечением, что приводит к уменьшению внутреннего сопротивления прибора R_0 . Поэтому падение напряжения на стабилитроне $U_{ст} = I_{ст}R_0$, а следовательно, и напряжение на сопротивлении нагрузки будет оставаться неизменным. При уменьшении входного напряжения ток стабилизатора $I_{ст}$ уменьшается, что приводит к увеличению его сопротивления. Величина падения напряжения на нагрузочном сопротивлении и в этом случае почти не изменяется. При изменении сопротивления нагрузки происходит перераспределение токов между стабилитроном и сопротивлением R_n . Так, при увеличении тока нагрузки I_n , т. е. при уменьшении сопротивления R_n , ток $I_{ст}$, проходящий через стабилитрон, уменьшится, а сопротивление его возрастет. Общее сопротивление стабилитрона и нагрузки почти не изменится, поэтому и падение напряжения на нем остается прежним. Пределы стабилизации в стабилитроне ограниче-

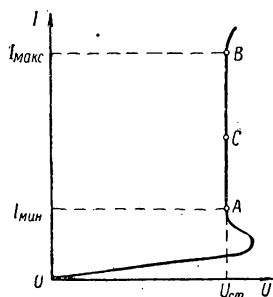


Рис. 89. Вольт-амперная характеристика стабилитрона.

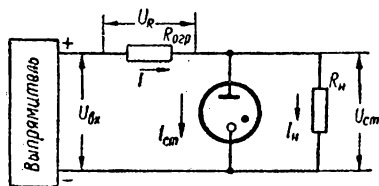


Рис. 90. Схема включения стабилитрона.

напряжения ток стабилизатора $I_{ст}$ уменьшается, что приводит к увеличению его сопротивления. Величина падения напряжения на нагрузочном сопротивлении и в этом случае почти не изменяется. При изменении сопротивления нагрузки происходит перераспределение токов между стабилитроном и сопротивлением R_n . Так, при увеличении тока нагрузки I_n , т. е. при уменьшении сопротивления R_n , ток $I_{ст}$, проходящий через стабилитрон, уменьшится, а сопротивление его возрастет. Общее сопротивление стабилитрона и нагрузки почти не изменится, поэтому и падение напряжения на нем остается прежним. Пределы стабилизации в стабилитроне ограниче-

ны минимальным I_{\min} и максимальным I_{\max} токами стабилитрона. При изменении тока в этих пределах падение напряжения на стабилитроне почти не изменяется. Следует помнить, что включение стабилитрона без нагрузки недопустимо, так как прохождение большого тока через прибор может вывести его из строя.

Маркировка стабилитронов состоит из трех элементов: первый — СГ (стабилитрон газовый); второй — число, указывающее порядковый номер прибора; третий — буква, характеризующая конструктивное оформление лампы (аналогично четвертому элементу обозначения в приемно-усилительных лампах). Основные параметры стабилитронов приведены в табл. 2.

Т а б л и ц а 2

Параметры стабилитронов

Обозначение прибора	Напряжение зажигания, в	Напряжение стабилизации, в	Ток через стабилизатор, ма
СГ2С	105	75	5—40
СГ4С	180	150	5—30
СГ1П	175	150	6—30
СГ2П	150	105	5—30
СГ15П	130	105	5—30
СГ5Б	180	150	5—10

Рассмотрим еще один газонаполненный прибор, предназначенный для стабилизации тока в электронных схемах и получивший название *бареттер*. Конструктивно бареттер представляет собой стеклянный баллон, в котором помещена железная или вольфрамовая нить. Концы нити имеют выводы к ножкам цоколя. Баллон заполнен водородом, обеспечивающим хорошее охлаждение нити и предохраняющим ее от окисления. Давление водорода в баллоне устанавливается от 50 до 200 мм рт. ст. Внешний вид бареттера, схема его включения и типовая вольт-амперная характеристика показаны на рис. 91. Следует подчеркнуть, что бареттер, хотя и наполнен газом, является безразрядным прибором. Действие его основано на изменении

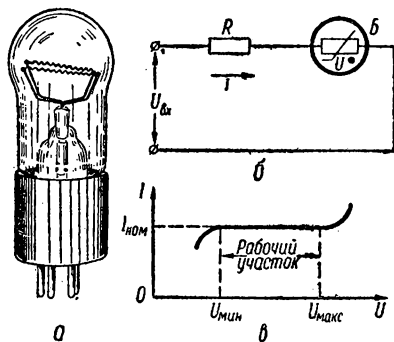


Рис. 91. Бареттер:

a — внешний вид; *б* — схема включения;
в — вольт-амперная характеристика.

наполнен газом, является безразрядным прибором. Действие его основано на изменении

удельного сопротивления железной или вольфрамовой нити при изменении ее температуры. Так, при увеличении приложенного к бареттеру напряжения растет ток бареттера, но это, в свою очередь, приводит к увеличению температуры нити, а следовательно, и ее сопротивления. Увеличение же сопротивления нити приводит к тому, что ток, проходящий через нее, в конечном счете увеличивается значительно меньше приложенного напряжения. Аналогичная картина наблюдается при уменьшении приложенного напряжения. Таким образом, бареттер может быть стабилизатором тока в сопротивлении нагрузки R_n , включенном последовательно с ним.

Важной характеристикой бареттера является область его бареттирования (U_{\min} — U_{\max}), т. е. интервал изменения напряжения, в пределах которого ток бареттера остается постоянным. Как и всякий тепловой прибор, бареттер обладает некоторой тепловой инерцией, поскольку температура проволоки при изменении тока меняется не сразу, а постепенно. Поэтому бареттеры могут работать в цепях переменного тока. Маркировка бареттеров состоит из трех элементов: первый — цифра, соответствующая номинальному току стабилизации; второй — буква Б (бареттер) или СТ (стабилизатор тока); третий — два числа, написанные через тире и обозначающие пределы стабилизации по напряжению. Параметры некоторых бареттеров приведены в табл. 3.

Т а б л и ц а 3

Параметры стабилизаторов тока (бареттеров)

Обозначение	Напряжение стабилизации		Ток стабилизации		Время установления номинального тока, мин
	U_{\min}	U_{\max}	ток начала бареттирования	ток конца бареттирования	
0,24Б12-18	12	18	0,248	0,263	3
0,3Б17-35	17	35	0,275	0,375	5
0,3Б65-135	65	135	0,275	0,325	5
0,85Б5,5-12	5,5	12	0,83	0,85	5

Тиратроны с холодным катодом

Тиратрон с холодным катодом представляет собой трехэлектродный газоразрядный прибор тлеющего разряда. Кроме анода и холодного катода, в лампе помещается управляющий (пусковой) электрод, играющий роль вспомогательного анода. Стеклообразная колба, внутри которой помещаются электроды, наполнена обычно неоном с незначительной примесью аргона при общем давлении 40—45 мм рт. ст. Типичная конструкция тиратрона с холодным катодом и его условное обозначение показаны на рис. 92. Расстояние

между электродами и давление газа подобраны так, что разряд между управляющим электродом и катодом возникает при более низком напряжении, чем разряд между анодом и катодом. На схеме (рис. 93) напряжения E_a и E_n меньше, чем напряжения зажигания между соответствующими электродами, но достаточно велики для того, чтобы поддержать уже существующий разряд.

При подаче в цепь управляющего электрода добавочного напряжения, например в форме импульса, между управляющим электродом и катодом начинается разряд, который вследствие ионизации газа переходит также и на анод. Величина анодного напряжения зажигания $U_{зж}$, при котором возникает разряд в анодной цепи, зависит от тока I_n в цепи пускового электрода. Чем больше ток I_n , тем разряд в промежутке анод — катод наступает при более низком анодном напряжении. Такая зависимость объясняется тем, что при большем токе в цепи пускового электрода между ним и катодом возникает больше электронов и ионов и это облегчает возникновение разряда в промежутке анод — катод.

Зависимость между силой тока в цепи пускового электрода I_n и напряжением анода $U_{зж}$, при котором на него переходит разряд, называется *характеристикой перехода*, или *пусковой характеристикой тиратрона*. Типичная характеристика перехода изображена на рис. 94.

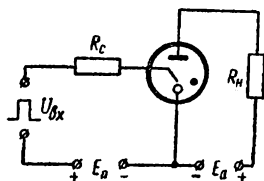


Рис. 93. Схема включения тиратрона с холодным катодом.

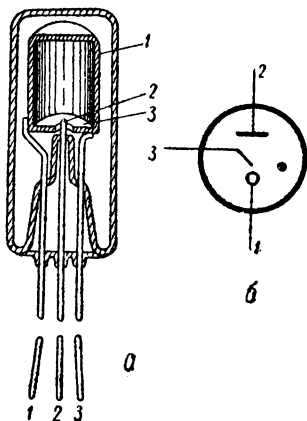


Рис. 92. Тиратрон с холодным катодом:

а — внешний вид (1 — катод; 2 — анод; 3 — пусковой электрод); б — условное обозначение.

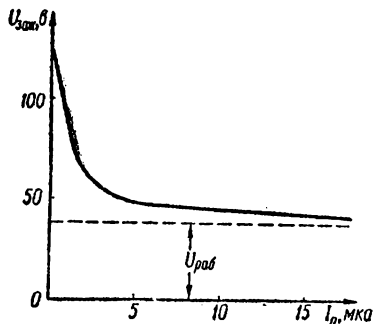


Рис. 94. Пусковая характеристика тиратрона.

Важной особенностью тиратрона с холодным катодом является то, что при токе пускового электрода порядка нескольких микроампер можно управлять анодным током порядка 10 ма и выше.

Поэтому такие тиратроны получили широкое применение в качестве реле в различного рода автоматических и телемеханических устройствах, которые должны всегда быть в состоянии готовности к восприятию внешних воздействий и при этом не требовать большого расхода тока от источника питания.

В последнее время отечественная промышленность выпускает тиратроны с холодным катодом типа МТХ90, ТХЗБ и ТХ4Б. Последние два типа тиратрона оформлены в виде миниатюрной лампы с баллоном диаметром 10 мм и длиной 40 мм и имеют два управляющих (пусковых) электрода. На второй электрод обычно подается некоторое положительное напряжение, с помощью которого можно управлять пусковой характеристикой тиратрона.

Защитные газовые разрядники

Газовые разрядники являются приборами дугового разряда и применяются для защиты от высоких напряжений различных узлов электронной аппаратуры. Конструктивно разрядник представляет собой двухэлектродный ионный прибор с небольшим расстоянием между электродами (1—4 мм). Электроды заключены в стеклянный баллон, из которого выкачан воздух, а затем введен газ (аргон или водород) при давлении порядка 30—60 мм рт. ст.

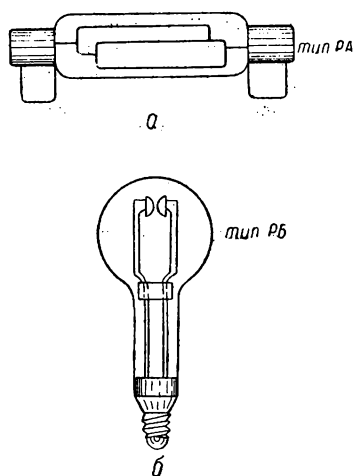


Рис. 95. Газовые разрядники:
а — малой мощности; б — большой мощности.

Разрядники малой мощности (типа РА) изготавливаются в виде стеклянной трубки, в которую вмонтированы две алюминиевые пластинки, расположенные параллельно друг другу (рис. 95, а). Разрядники, рассчитанные на большую мощность (типа РБ), имеют активированные барьер электроды в виде металлических чашечек (рис. 95, б).

Схема включения газовых разрядников показана на рис. 96. При напряжениях меньших, чем напряжение зажигания разрядника, его сопротивление

очень велико и он не влияет на работу защищаемого устройства. В этом случае ток через разрядник не проходит. При повышении напряжения до напряжения зажигания в разряднике возникает тлеющий разряд, быстро переходящий при дальнейшем повышении напряжения в дуговой. Сопротивление разрядника резко падает, и он практически закорачивает нагрузочное сопротивление, пропуская весь ток через себя.

Основными параметрами газового разрядника являются: напряжение зажигания, быстрота появления дугового разряда (время срабатывания разрядника) и время восстановления, т. е. время, в течение которого разряд прекращается и разрядник приходит в нормальное непроводящее состояние. Разрядники типа *РА* изготовляют с потенциалом зажигания 350 и 460 в, разрядники типа *РБ* имеют потенциалы зажигания 280, 350 и 430 в. Время срабатывания разрядников составляет примерно 10^{-4} — 10^{-5} сек. У разрядников типа *РА*, работающих при меньшей максимальной плотности тока и имеющих неактивированные электроды, время восстановления меньше, чем у мощных разрядников типа *РБ*.

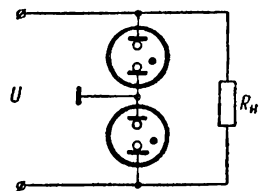


Рис. 96. Схема включения газовых разрядников.

Декатроны

В различных устройствах электронной автоматики и вычислительной техники используются специальные многокатодные приборы тлеющего разряда — *декатроны*, предназначенные главным об-

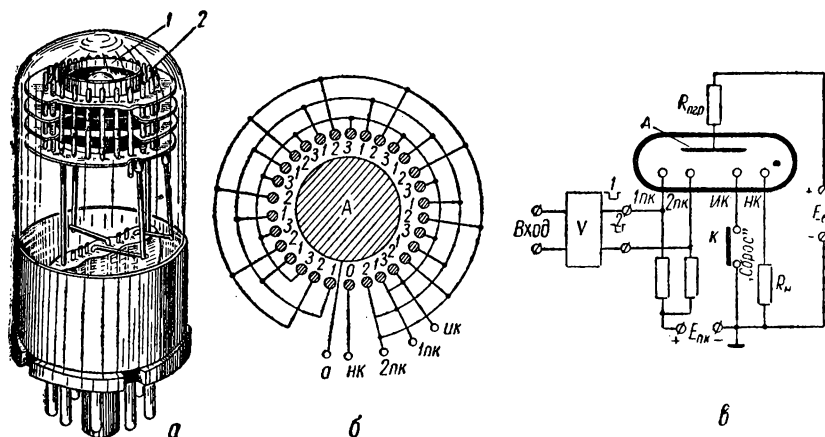


Рис. 97. Декатрон:

а — внешний вид (1 — анод; 2 — катоды); *б* — конструкция; *в* — схема включения.

разом для счета импульсов, а также для коммутации электрических цепей. Внешний вид декатрона показан на рис. 97, *а*. Одна из возможных конструкций декатрона приведена на рис. 97, *б*, где изображены анод *А*, имеющий форму диска, и три катода, расположенные по окружностям вокруг анода. Каждый катод содержит определенное количество (например, 10) соединенных между собой штырьков;

имеющих с анодом зазор, являющийся газоразрядным промежутком. Один из катодов называется индикаторным (ИК). Он объединяет 9 штырьков под номером 3, а десятый штырек индикаторного катода под номером 0 имеет отдельный вывод и называется нулевым катодом (НК). Два других катода называются переносящими (1ПК и 2ПК). Они объединяют соответственно штырьки под номерами 1 и 2.

Схема включения декатрона приведена на рис. 97, в. В исходном состоянии тлеющий разряд возникает только между анодом и нулевым катодом. Это объясняется тем, что переносящие катоды имеют положительное смещение $E_{\text{пк}}$ и, следовательно, напряжение анод — переносящие катоды ниже, чем напряжение анод — индикаторный катод. Для установления разряда именно на участке нулевого катода служит кнопка K («сброс»). При нажатии этой кнопки цепи всех штырьков индикаторного катода, за исключением нулевого, размыкаются, и разряд возможен только на нулевом катоде. Вокруг этого катода образуется зона ионизированного газа. Режим разряда и расстояние между штырьками таковы, что зона ионизированного газа частично охватывает ближайший штырек катода 1ПК и для него создаются облегченные условия возникновения разряда.

Декатрон в схеме работает следующим образом: импульс, подлежащий счету, поступает на специальное управляющее устройство $У$ (рис. 97, в), которое вырабатывает два сдвинутых во времени отрицательных импульса. Первый импульс подается на катод 1ПК, и напряжение между анодом и этим катодом возрастает. Но так как из всех штырьков катода 1ПК наилучшие условия для возникновения разряда имеет штырек, ближайший к нулевому катоду, то разряд возникает именно между этим штырьком и анодом.

Ток этого разряда увеличивает падение напряжения на ограниченном сопротивлении $R_{\text{огр}}$, потенциал анода снижается и нулевой катод перестает «гореть». После прекращения первого управляющего импульса на катод 2ПК приходит второй отрицательный импульс и разряд переходит на первый штырек этого катода. По окончании этого импульса разряд переходит на первый штырек индикаторного катода, так как в отличие от соседних штырьков катодов 1ПК и 2ПК на нем нет положительного смещения. Разряд на участке первого штырька индикаторного катода соответствует цифре 1, наблюдается в виде свечения и сохраняется до прихода следующей пары управляющих импульсов. После прохождения каждого десяти импульсов, подлежащих счету, нулевой катод загорается вновь. Возникающий в цепи этого катода импульс тока создает на сопротивлении R_n импульс напряжения, которое через соответствующее управляющее устройство может привести в действие следующий декатрон, отсчитывающий десятки импульсов, и т. д. Современные декатроны позволяют получить скорость счета импульсов порядка 10 000 *имп/сек*.

Цифровые индикаторы

В современных устройствах автоматики и вычислительной техники совместно с разнообразными техническими средствами работает человек-оператор. Высокая надежность работы всей системы возможна лишь при слаженных действиях оператора и машины. Установлено в частности, что человек способен качественно воспринимать информацию, следующую с частотой не более 25 гц. В то же время машина, работающая по программе, задаваемой человеком, по скорости обработки информации превосходит человека в сотни тысяч раз. Поэтому очень важное значение имеет согласование устройства вывода информации с возможностями оператора. Исследования показали, что одним из наиболее удобных для оператора является метод представления информации с помощью так называемых цифровых индикаторов.

Существуют разнообразные системы цифровой индикации. В некоторых из них с успехом используются ионные приборы. В качестве примера рассмотрим работу цифровой индикаторной лампы типа ИН-1, конструкция которой показана на рис. 98, а. Лампа содержит 10 катодов, выполненных из нихромовых проволок и изогнутых по профилю цифр от 0 до 9. Все катоды расположены один за другим на расстоянии примерно 1 мм. Анодами в лампе служат две сетки из тонкой проволоки, расположенные у купола колбы и между катодами, изображающими цифры 5 и 2. Лампа ИН-1 имеет 11-штырьковый цоколь. При подаче напряжения на один из катодов (номера выводов цоколя от 1 до 10 идут по часовой стрелке от ключа) и анод (11-й электрод) через гасящее сопротивление в лампе возникает тлеющий разряд. Баллон лампы ИН-1 наполнен неоном. Поэтому цифры имеют красное свечение и достаточно хорошо выделяются. Напряжение зажигания лампы 300 в, ток индикации не более 2,5 ма, долговечность 500 час. Схематическое изображение цифровой индикаторной лампы приведено на рис. 98, б.

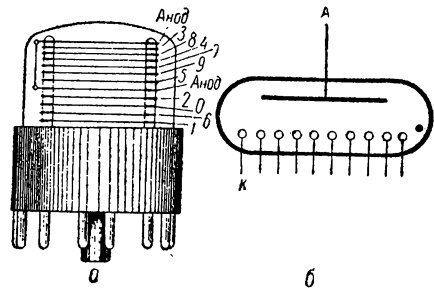


Рис. 98. Цифровая индикаторная лампа ИН-1:

а — конструкция; б — схематическое изображение.

7—3. Ионные приборы с несамостоятельным разрядом

В газоразрядных приборах с несамостоятельным разрядом, как и в электронных лампах, используется явление термоэлектронной эмиссии с накаливаемого катода. Основным отличием этих прибо-

ров от электронных ламп является присутствие в баллоне прибора газа под небольшим давлением. Благодаря этому удалось создать такие приборы, которые во многих схемах работают значительно эффективнее вакуумных ламп.

Рассмотрим основные типы газоразрядных приборов с несамостоятельным разрядом — газотроны и тиратроны с накаливаемым катодом.

Газотроны

Газотрон, как и кенотрон, имеет два электрода: анод и накаливаемый активированный катод. Баллон газотрона наполняется парами ртути при давлении 10^{-3} — 10^{-2} мм рт. ст. или инертным газом. Внешний вид газотрона и его условное обозначение приведены на рис. 99. Физические процессы в газотроне и его характеристики определяются электрическим разрядом в газовой среде между катодом и анодом.

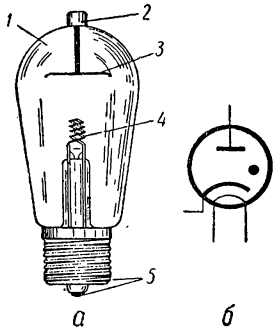


Рис. 99. Газотрон:

а — внешний вид (1 — баллон; 2 — вывод анода; 3 — анод; 4 — спиральный катод; 5 — вывод катода (накала)); б — условное обозначение.

Накаливаемый катод испускает электроны, которые при положительном потенциале на аноде движутся к нему, образуя в цепи ток. При малых анодных напряжениях скорость и энергия электронов недостаточны для ударной ионизации молекул газа, поэтому анодный ток является чисто электронным током и очень мал — порядка нескольких микроампер. Это соответствует участку OA вольт-амперной характеристики газотрона (рис. 100, а). С повышением анодного напряжения скорость и энергия электронов увеличиваются, начинается ионизация газа, приводящая к возникновению между электродами дугового разряда, сопровождающегося свечением газа, т. е. происходит зажигание. Напряжение $U_{\text{зж}}$, соответствующее точке A на рис. 100, а, называется *напряжением зажигания газотрона*. Так как газотрон, подобно всем ионным приборам, включается обязательно через ограничительное сопротивление $R_{\text{огр}}$ (рис. 100, б), то после зажигания за счет увеличения тока возникает заметное падение напряжения на $R_{\text{огр}}$, и напряжение на самом газотроне несколько снижается (участок AB на рис. 100, а). Характер проводи-

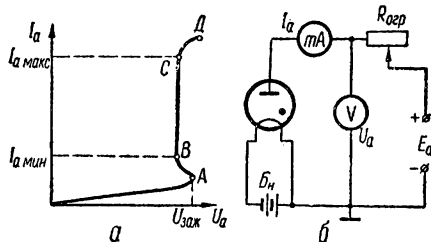


Рис. 100. Вольт-амперная характеристика газотрона (а) и схема для ее снятия (б).

мости газотрона после зажигания резко изменяется. Образующиеся в процессе ионизации электроны движутся к аноду, а положительные ионы — к катоду, где они нейтрализуют отрицательный пространственный заряд и облегчают прохождение электронов с катода на анод. Благодаря этому внутреннее сопротивление газотрона мало, и падение напряжения на нем составляет всего 10—15 в. После зажигания дальнейшее повышение напряжения анодного источника уже не увеличивает падение напряжения на газотроне, а вызывает лишь возрастание тока, величина которого может достигать нескольких десятков ампер (участок *BC* на рис. 100, *а*). Следует отметить, что такой режим в газотроне не имеет ничего общего с режимом нормального катодного падения, характерным для приборов тлеющего разряда. В последних такой режим получается за счет увеличения пропорционально току рабочей площади катода. А в газотронах рабочая площадь катода не изменяется, но при возрастании тока внутреннее сопротивление прибора постоянному току R_0 уменьшается вследствие увеличения количества свободных электронов и ионов. Наибольшая величина тока $I_{a \text{ макс}}$ получается в том случае, когда все электроны, покидающие катод, попадают на анод, а отрицательный пространственный заряд вокруг катода исчезает. Дальнейшее увеличение тока возможно лишь за счет увеличения эмиссии катода вследствие ионной бомбардировки. При этом напряжение между электродами возрастает (участок *CD* на рис. 100, *а*), увеличивается скорость и энергия ионов, которые падают на катод и разогревают его. Однако такой режим работы приводит к распылению оксидного слоя и разрушению катода и является недопустимым.

Основные преимущества газотрона перед кенотроном — большой анодный ток, практически ограниченный лишь прочностью катода, малое внутреннее сопротивление и незначительная мощность потерь на аноде. Эти достоинства газотрона позволяют осуществлять выпрямление переменного тока с к. п. д., достигающим 99% и выше. Поэтому газотроны в мощных выпрямительных устройствах почти полностью вытеснили кенотроны.

Важным параметром газотрона, работающего в схеме выпрямителя, является напряжение обратного зажигания. Обратное зажигание состоит в возникновении самостоятельного разряда в газотроне под действием напряжения отрицательной полярности. Если анод оказывается под очень высоким отрицательным относительно катода потенциалом, то положительные ионы, всегда имеющиеся в некотором количестве в газотроне, устремляются к аноду. Под действием сильного электрического поля эти ионы разгоняются и, ударяясь об анод, выбивают из него электроны, которые на своем пути к положительному катоду еще больше ионизируют газ. Через газотрон, таким образом, в отрицательные полупериоды пойдет ток обратного направления и он потеряет способность работать в качестве выпрямителя.

В ртутных газотронах давление паров ртути невелико — порядка $0,01$ мм рт. ст., следовательно, плотность паров тоже небольшая, и допускаются обратные напряжения до $15\,000$ в. Поэтому ртутные газотроны применяются для выпрямления высоких напряжений. Давление в газотронах, наполненных инертным газом, значительно выше (порядка $10\text{—}30$ мм рт. ст.), так что эти газотроны допускают сравнительно невысокие обратные напряжения (до 50 в) и применяются для выпрямления низких напряжений. Газотронные выпрямители собираются по таким же схемам, как и кенотронные. Некоторой особенностью газотронных выпрямителей является то, что

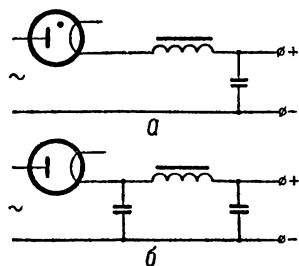


Рис. 101. Включение фильтра на выходе газотронного (а) и кенотронного (б) выпрямителей.

первым элементом сглаживающего фильтра должен быть обязательно дроссель, а не конденсатор (рис. 101). Дроссель ограничивает зарядный ток конденсатора фильтра в момент включения питающего трансформатора, чем предотвращается разрушение катода газотрона.

При включении газотрона напряжение на анод подается после того, как включен накал и катод хорошо прогреет. При недостаточном прогреве катода и незначительной эмиссии положительные ионы с большой силой ударяют о катод и разрушают его. Время предварительного прогрева газотронов с газовым наполнением составляет около 1 мин, а газотронов с ртутным наполнением — несколько минут или даже десятков минут в зависимости от типа газотрона. Выключение газотрона надо производить в обратном порядке.

В наименовании газотронов на первом месте стоит ГР для ртутных приборов и ГГ для газотронов с инертными газами. Далее следует номер, присвоенный данному типу газотрона. Затем после тире ставится дробное число, в котором числитель означает максимальный выпрямленный ток в амперах, а знаменатель — максимально допустимое обратное напряжение в киловольтах. Некоторое применение находят еще и газотроны старых типов, имеющие наименование по старой системе (например, ВГ-129, ВГ-176, ВГ-222 и др.). Основные данные некоторых газотронов приведены в табл. 4.

Тиратроны с накаливаемым катодом

Тиратроны с накаливаемым катодом представляют собой наполненную газом лампу, в которой, кроме катода и анода, имеется третий электрод — управляющая сетка. По многим своим свойствам тиратроны сходны с газотронами. Подобно газотронам они работают в режиме дугового разряда, анод и катод тиратрона изготавливаются так же, как и в газотронах. Однако наличие сетки позволяет

Т а б л и ц а 4

Основные данные газотронов

Обозначение прибора	Наполнение	К-во анодов	Накал		Максимально допустимый ток, а	Максимальный средний выпрямлен. ток, а	Падение напр. на приборе, в	Напр. обратного зажигания, в	Время прогрева, мин.
			Напряж., в	ток, а					
ГГ1-0,5/5	Смесь ксенона и криптона	1	2,5	10	1,5	0,5	20	5000	1
ГР1-0,25/1,5	Пары ртути	2	5	3,3	0,8	0,125	18	1650	0,1
ВГ-129	»	1	2,5	9	1,5	0,5	15	5000	3

осуществлять в тиратронах управление моментом зажигания, благодаря чему они получили значительно более широкое применение, чем газотроны.

Устройство тиратрона с накаливаемым катодом и его схематическое обозначение показаны на рис. 102. Сетка тиратрона устроена так, что она полностью закрывает катод от воздействия электрического поля анода. Обычно сетка выполняется в виде диска с одним или несколькими отверстиями и соединяется с цилиндром, охватывающим катод и анод. Такое устройство сетки исключает возможность попадания электронов на анод помимо сетки. Если этого не сделать, то движущиеся к аноду электроны, не контролируемые сеткой, создадут ионизацию газа, и ток через тиратрон не будет зависеть от потенциала сетки, т. е. станет неуправляемым.

На рис. 103 показана схема для снятия анодно-сеточной характеристики тиратрона. При больших отрицательных напряжениях U_c на сетке электрическое поле между сеткой и катодом тормозит движение электронов к аноду. Степень ионизации газа при этом очень мала, и анодный ток практически равен нулю. При уменьшении отрицательного потенциала сетки ионизация газа усиливается, и при некотором значении напряжения $U_c = U_{c.зж}$ (рис. 104) в тиратроне возникает дуговой разряд, сопровождающийся резким увеличением анодного тока. Напряжение на сетке $U_{c.зж}$, при ко-

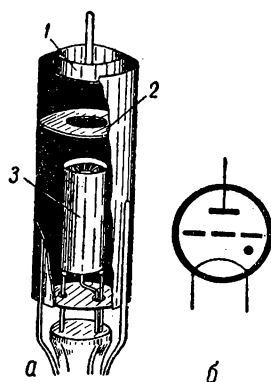


Рис. 102. Тиратрон с накаливаемым катодом:

а — конструкция (1 — анод; 2 — сетка; 3 — катод); б — условное обозначение.

тором в тиратроне возникает дуговой разряд, и величина анодного тока в момент зажигания тиратрона зависит от величины анодного напряжения (рис. 104) — чем больше величина анодного напряжения ($U'_a > U''_a$), тем большим (по абсолютной величине) будет напряжение зажигания тиратрона ($|U'_{с.зж}| > |U''_{с.зж}|$). После зажигания тиратрона положительные ионы газа притягиваются к отрицатель-

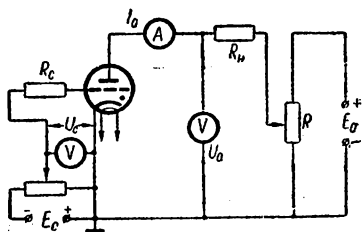


Рис. 103. Схема для снятия характеристик тиратрона.

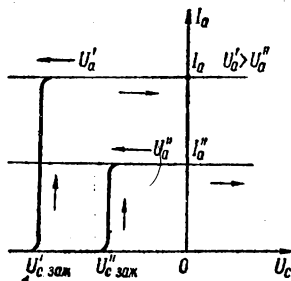


Рис. 104. Анодно-сеточные характеристики тиратрона.

но заряженной сетке, образуя вокруг нее положительную ионную оболочку, нейтрализующую действие отрицательного заряда сетки. Вследствие этого с момента появления дугового разряда сетка теряет управляющее действие и изменения ее потенциала не влияют на величину анодного тока (рис. 104). Таким образом, при помощи сетки можно управлять только зажиганием, но не величиной анодного тока тиратрона. Для прекращения анодного тока, т. е. для гашения тиратрона, необходимо уменьшить величину анодного напряжения или разорвать анодную цепь.

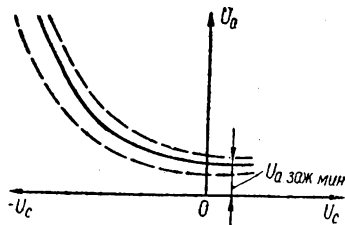


Рис. 105. Пусковая характеристика тиратрона («левая»).

характеристика, представляющая собой зависимость минимальных значений сеточного и анодного напряжений, при которых происходит зажигание тиратрона (рис. 105). Обычно величина напряжения зажигания не остается постоянной и зависит от температуры. Поэтому пусковая характеристика представляется не одной кривой, а рядом кривых, образующих пусковую область. На рис. 105 ее границы показаны штриховыми линиями. Пусковая характеристика наглядно показывает, что с увеличением отрицательного напряжения

После прекращения разряда в течение некоторого времени происходит процесс деионизации газа, т. е. взаимная нейтрализация ионов и электронов и восстановление нейтральных атомов. В результате деионизации сетка снова приобретает свое управляющее действие.

Одной из основных характеристик тиратрона является пусковая

на сетке повышается анодное напряжение, необходимое для зажигания тиратрона, а наименьшее анодное напряжение зажигания ($U_{\text{а.зж. мин}}$) получается при некотором положительном напряжении на сетке. Приведенная на рис. 105 характеристика тиратрона называется *левой*, или отрицательной, пусковой характеристикой, поскольку она расположена главным образом в области отрицательных сеточных напряжений. Однако применяются также тиратроны с *правой*, или положительной, пусковой характеристикой (рис. 106). В этих тиратронах анод настолько сильно экранирован сеткой от катода, что его поле практически не проникает к катоду. Поэтому при отрицательном напряжении сетки электрический разряд в газе не возникает, и для зажигания тиратрона на сетку необходимо подать определенное положительное напряжение.

Важным свойством тиратрона является возможность коммутации в его анодной цепи токов большой величины при использовании маломощного источника поджигающего напряжения в цепи сетки. Таким образом, тиратрон может быть использован в качестве бесконтактного реле, работающего на замыкание цепи. Мощность источника управляющего напряжения при этом может быть тем меньше, чем меньше величина тока, протекающего в цепи сетки.

Сеточный ток тиратрона в основном является ионным током, поскольку он обусловлен притяжением положительных ионов к отрицательно заряженной сетке. Для уменьшения сеточного тока в цепи сетки тиратрона обычно включают ограничительное сопротивление R_c значительной величины (до сотен килоом).

Тиратроны получили весьма разнообразное применение. В автоматике и телемеханике они используются для построения усилителей, бесконтактных реле, выпрямителей с регулируемым выпрямленным напряжением и т. п. Существенным недостатком тиратронов, как и всех ионных приборов, является их непригодность для работы на высоких частотах, что объясняется сравнительно большим временем деионизации. У мощных ртутных тиратронов время восстановления превышает 500 мксек, а у маломощных тиратронов с наполнением инертными газами оно составляет 10—20 мксек. Наиболее быстро деионизация происходит в самом легком газе — водороде, так как ионы водорода имеют наименьшую массу и поэтому наиболее подвижны.

Условное обозначение тиратронов: ТР — для ртутных приборов и ТГ для тиратронов с инертными газами. В некоторых случаях после двух букв в обозначении ставится третья буква И, указывающая на то, что тиратрон предназначен для импульсной работы. Далее следует цифра, указывающая на порядковый номер данного

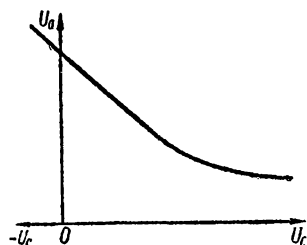


Рис. 106. Пусковая характеристика тиратрона («правая»).

типа лампы. Последним элементом обозначения является дробное число, числитель которого показывает среднее значение тока, протекающего через тиратрон в амперах, а знаменатель — амплитудное значение обратного напряжения в киловольтах. Для импульсных тиратронов число, стоящее в числителе дроби, обозначает ток в импульсе. Маломощные тиратроны имеют упрощенные обозначения без указания в виде дроби величин тока и обратного напряжения, но с буквой, характеризующей оформление прибора, как это принято для приемно-усилительных ламп. Основные параметры тиратронов приведены в табл. 5.

Т а б л и ц а 5

Параметры тиратронов							
Обозначение прибора	Наполнение	Накал		Максимально допустимый средний ток, а	Максимально допустимое значение анодного тока, а	Допустимое обратное напряжение, в	Падение напряжения на тиратроне, в
		напряжение, в	ток, а				
ТГ4-0,1/0,3	Инертный газ	6,3	0,6	0,075	0,3	300	16
ТР1-40/15	Пары ртути	5	68	40	120	15 000	20
ТГ1-35/3	Инертный газ	6,3	2,5	0,045	35	3000	140
ТГ1Б	» »	6,3	0,6	0,02	0,12	245	20

Г Л А В А 3

ФОТОЭЛЕКТРОННЫЕ ПРИБОРЫ

3—1. Явление фотоэффекта

Открытие явления фотоэффекта, его теоретическое обоснование и первое практическое применение принадлежит нашему соотечественнику А. Г. Столетову.

Прибор, на котором он производил свои опыты, состоял из хорошо отполированной цинковой пластинки, соединенной с отрицательным полюсом электрической батареи, и металлической сетки помещенной вблизи пластинки и соединенной через чувствительный гальванометр с положительным полюсом той же батареи (рис. 107). При освещении цинковой пластинки сильным светом гальванометр показывал наличие тока в цепи, несмотря на то, что между сеткой и пластинкой имелся воздушный промежуток. Происходило это потому, что падающие на цинковую пластинку световые лучи отдавали свою энергию ее электронам, отчего скорость их движения увеличивалась и они вылетали из металла наружу. В результате

наличия напряжения, приложенного извне между сплошной цинковой пластинкой — фотокатодом и сетчатым электродом — анодом, вылетевшие из металла электроны двигались к аноду, и гальванометр регистрировал наличие в цепи электрического тока (фототока). Это явление было исследовано А. Г. Столетовым в 1888 г. и получило название *фотоэффекта*.

Чтобы исключить влияние частиц воздуха на движение электронов, А. Г. Столетов поместил цинковую пластинку и сетку в стеклянный баллон, из которого был удален воздух. Этот прибор явился прообразом современных приборов — фотоэлементов.

Важное значение имели последующие опыты Столетова, в результате которых было установлено, что величина фототока прямо пропорциональна лучистому потоку, падающему на поверхность фотокатода

$$I_{\phi} = S\Phi, \quad (8-1)$$

где I_{ϕ} — фототок, *мка*;

Φ — световой поток, падающий на фотокатод, *лм*;

S — коэффициент пропорциональности, называемый чувствительностью фотоэлемента, *мка/лм*.

Этот закон известен как *первый закон фотоэффекта*, или *закон Столетова*.

Дальнейшими исследованиями было установлено, что максимальная энергия фотоэлектронов возрастает линейно с частотой падающего света и не зависит от величины лучистого потока. Этот закон известен как *второй закон фотоэффекта*, или *закон Эйнштейна*.

Как уже отмечалось, энергия кванта

$$W = h\nu,$$

где h — постоянная Планка;

ν — частота световых колебаний.

Эта энергия при поглощении ее электроном расходуется на совершение работы выхода $e\phi$ и на сообщение электрону начальной скорости V_0 . Математически это выражается уравнением Эйнштейна

$$W = h\nu = e\phi + \frac{m_0 V_0^2}{2}, \quad (8-2)$$

где m_0 — масса электрона. Частота света $\nu_{гр}$, при которой энергия фотоэлектронов, вылетающих с поверхности металла, равна нулю

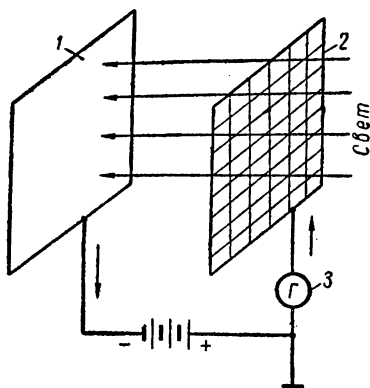


Рис. 107. Схема прибора А. Г. Столетова для исследования фотоэффекта:

1 — цинковая пластинка (фотокатод)
2 — металлическая сетка (анод); 3 — гальванометр.

($V_0 = 0$), соответствует условию

$$\nu_{гр} = \frac{e\varphi}{h}. \quad (8-3)$$

Лучистый поток с частотой $\nu < \nu_{гр}$, каким бы он сильным ни был, не вызывает фотоэмиссии электронов, так как энергия кванта в этом случае недостаточна для совершения работы выхода электрона, т. е. $e\varphi > h\nu$. Поэтому частота $\nu_{гр}$ была названа *граничной частотой* или «*красной границей*» фотоэффекта.

Фотоэлектронные приборы широко применяются в различных отраслях техники: в фототелеграфии, телевидении, световой звукозаписи, для сигнализации и связи на невидимых инфракрасных лучах и т. д. Особое место занимают они в схемах электронной автоматики, где дают возможность автоматизировать контроль и управление тех многообразных процессов, в которых зрение человека должно быть заменено автоматически действующим электрическим устройством.

По принципу действия современные фотоэлементы разделяются на три группы:

1) с внешним фотоэффектом, в которых под действием света электроны вырываются с поверхности металла;

2) с внутренним фотоэффектом (фоторезисторы), в которых под действием света изменяется электрическая проводимость веществ;

3) с запирающим слоем (или вентильные), в которых под действием света возбуждается э. д. с.

8-2. Фотоэлементы с внешним фотоэффектом

Фотоэлемент, основанный на внешнем фотоэффекте, представляет собой стеклянный баллон, внутри которого помещены фотокатод и анод (рис. 108). Внутренняя поверхность баллона 1 покрывается тонким слоем металла (обычно щелочно-земельного), который занимает примерно 50% всей внутренней поверхности баллона. Этот слой является фотокатодом. Против катода оставляют прозрачный участок стекла — окно 2, чтобы через него на катод мог падать световой поток. Аноду 3 придают форму рамки и располагают его так, чтобы он не препятствовал попаданию света на катод.

Различают два вида фотоэлементов с внешним фотоэффектом: вакуумные и газонаполненные. В вакуумных фотоэлементах из баллона выкачан газ до высокой степени разрежения (10^{-6} мм рт. ст.), а в газонаполненных фотоэлементах баллон заполняется инертным газом (аргоном) при давлении 0,1—0,01 мм рт. ст.

Качество фотоэлементов с внешним фотоэффектом в значительной степени зависит от свойств применяемого в них фотокатода. В совре-

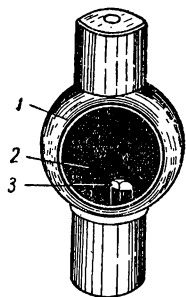


Рис. 108. Фотоэлемент с внешним фотоэффектом:

1 — стеклянный баллон; 2 — окно; 3 — анод.

менных фотоэлементах применяются два основных типа фотокатодов: кислородно-цезиевые и сурьмяно-цезиевые.

Кислородно-цезиевый фотокатод применяется как в вакуумных, так и в газонаполненных фотоэлементах. Сурьмяно-цезиевые фотокатоды применяются обычно в вакуумных фотоэлементах. Обозначения фотоэлементов с внешним фотоэффектом СЦВ-3, ЦГ-4, ЦВ-4 и т. д. состоят из букв, обозначающих материал катода (Ц — цезиевый, СЦ — сурьмяно-цезиевый) и вид фотоэлемента (Г — газонаполненный, В — вакуумный). Цифра определяет марку фотоэлемента (его конструктивное выполнение и габариты).

8—3. Характеристики и параметры фотоэлементов с внешним фотоэффектом

Важнейшими характеристиками фотоэлементов являются:

1. Световая характеристика $I_\phi = f(\Phi)$ при $U_a = \text{const}$, т. е. зависимость фототока от величины светового потока в люменах при постоянном напряжении U_a между анодом и катодом.

2. Вольт-амперная характеристика $I_\phi = \varphi(U_a)$ при $\Phi = \text{const}$, т. е. зависимость фототока от величины приложенного к фотоэлементу напряжения U_a при постоянном световом потоке.

Для снятия этих характеристик фотоэлемент включают в схему, приведенную на рис. 109. Снятие световой характеристики фотоэлемента производится при постоянном значении анодного напряжения и изменении величины светового потока путем изменения расстояния между источником света и фотоэлементом. В вакуумных фотоэлементах анодный ток обусловлен только электронами, вылетающими из фотокатода, и поэтому световая характеристика такого фотоэлемента линейна (прямые 1 на рис. 110). В газонаполненных фотоэлементах при высоком напряжении между анодом и катодом электроны приобретают настолько большую скорость, что при столкновении с атомами газа ионизируют их. В результате этого ток в газонаполненном фотоэлементе создается не только электронами, вылетевшими из катода, но также электронами и ионами, получившимися в результате ионизации газа. Поэтому световая характеристика газонаполненных фотоэлементов нелинейна (кривые 2 на рис. 110).

В тех случаях, когда приходится иметь дело со слабыми световыми потоками, в особенности при их измерении, необходимо считаться с величиной темнового тока. Темновым током фотоэлемента называется ток, протекающий через фотоэлемент, когда последний

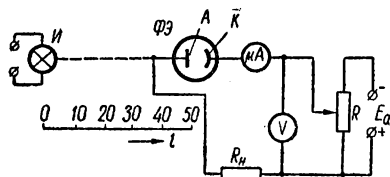


Рис. 109. Схема для снятия характеристик фотоэлемента (ФЭ — фотоэлемент; И — источник света; R_n — нагрузочное сопротивление).

полностью затемнен. Темновой ток состоит из двух составляющих: термотока, вызванного термоэлектронной эмиссией фотокатода, и тока утечки. Вследствие того, что при комнатной температуре термоэлектронная эмиссия достигает 10^{-12} — 10^{-15} а с 1 см^2 поверхности катода, в большинстве случаев термотоком можно пренебречь. Ток утечки определяется как объемной, так и поверхностной про-

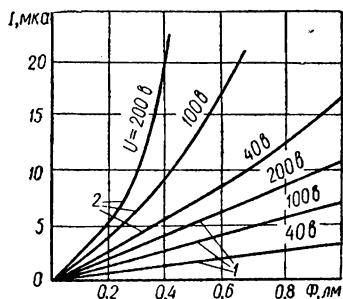


Рис. 110. Световые характеристики фотоэлементов с внешним фотоэффектом:

1 — вакуумных; 2 — газонаполненных.

водимостями стекла баллона и цоколя фотоэлемента. Ток утечки прямо пропорционален величине рабочего напряжения и составляет обычно 10^{-7} — 10^{-8} а. Темновой ток вакуумных фотоэлементов значительно меньше, чем газонаполненных.

Вольт-амперная характеристика фотоэлемента снимается при постоянстве светового потока и изменении величины анодного напряжения. Как видно из вольт-амперных характеристик, для вакуумных фотоэлементов (рис. 111, а) анодный ток возрастает с увеличением напряжения U_a до значения тока насыщения, т. е. до такого значения, при котором все электроны, вылетевшие из фотокатода,

долетают до анода. При увеличении светового потока фототок увеличивается и насыщение наступает при несколько большем напряжении на аноде. Газонаполненные фотоэлементы насыщения не имеют, и величина фототока всегда зависит от анодного напряжения (рис. 111, б). Это объясняется ионизацией газа, происходящей при

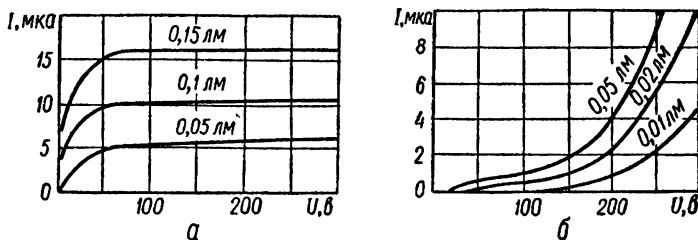


Рис. 111. Вольт-амперные характеристики фотоэлементов с внешним фотоэффектом:

а — вакуумных; б — газонаполненных.

повышении напряжения между анодом и катодом. Если анодное напряжение увеличить до величины напряжения зажигания (порядка 300 в), то в газонаполненном фотоэлементе наступает самостоятельный газовый разряд, сопровождаемый большим током и быстрым разрушением фотокатода.

Основным параметром фотоэлемента является его чувствительность, определяемая отношением величины фототока к величине светового потока, вызвавшего его. Входящий в уравнение (8—1) коэффициент пропорциональности называется *интегральной чувствительностью* (или *интегральной отдачей*) *фотоэлемента*, характеризующей способность фотоэлемента реагировать на воздействие светового потока полного спектрального состава (белого света). Вакуумные фотоэлементы имеют чувствительность порядка $20 \div 90$ мка/лм, газонаполненные— $150 \div 200$ мка/лм. Чувствительность фотоэлемента для светового потока определенной длины волны (для монохроматического света) называется *спектральной чувствительностью*. Зависимость ее от длины волны, выраженная графически, называется *спектральной характеристикой фотоэлемента*.

На рис. 112 приведены спектральные характеристики сурьмяно-цезиевого (кривая 1) и кислородно-цезиевого (кривая 2) фотокатодов. По горизонтальной оси отложены длины волн световых колебаний в микронах, а по вертикальной оси — относительная спектральная чувствительность в процентах. Как видно из приведенных характеристик, сурьмяно-цезиевый фотокатод обладает наибольшей чувствительностью к длинам волн порядка $0,4\text{--}0,5$ мк, что соответствует голубым и зеленым лучам спектра, в то время как у кислородно-цезиевого фотокатода наибольшая чувствительность лежит в пределах $0,8$ мк, т. е. в области красной части спектра.

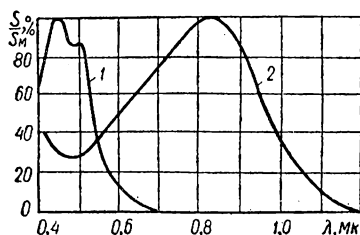


Рис. 112. Спектральные характеристики фотокатодов:

1 — сурьмяно-цезиевый; 2 — кислородно-цезиевый.

Большое значение для использования того или иного типа фотоэлемента имеет его инерционность. Для практически встречающихся в автоматике частот изменения света вакуумные фотоэлементы можно считать безынерционными. Их инерционность становится заметной только для очень высоких частот (порядка нескольких мегагерц), когда период изменения света становится сравнимым со временем движения электронов от катода к аноду. Газонаполненные фотоэлементы обладают заметной инерционностью, начинающей сказываться уже на частотах порядка нескольких килогерц. Это объясняется тем, что из-за большого увеличения времени свободного пробега заряженных частиц в газонаполненном приборе процессы нарастания и спада тока при быстрых изменениях светового потока происходят замедленно. Инерционность газонаполненного фотоэлемента проявляется в том, что с увеличением частоты изменений светового потока чувствительность фотоэлемента падает.

На рис. 113 приведены графики зависимости чувствительности фотоэлементов от частоты изменения светового потока (частотные

характеристики). Эти графики иллюстрируют инерционность газонаполненного фотоэлемента в сравнении с вакуумным. Инерционность является главным недостатком газонаполненных фотоэлементов, ограничивающим возможности их применения в схемах электронной автоматики.

Для обеспечения требующейся в автоматике надежности и точности действия фотоэлектрической схемы необходимо, чтобы чувствительность фотокатодов с течением времени не менялась. В практике эксплуатации фотоэлементов

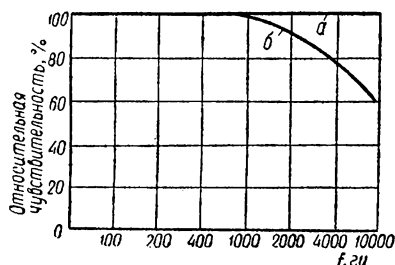


Рис. 113. Частотные характеристики фотоэлементов:

а — вакуумного; *б* — газонаполненного.

(особенно с кислородно-цезиевым катодом) наблюдается явление утомляемости. Это явление проявляется в том, что при больших значениях светового потока чувствительность фотоэлементов быстро уменьшается во времени, достигая иногда до 25% первоначальной величины. Если такой «утомленный» фотоэлемент поместить на некоторое время в темноту, то его чувствительность восстанавливается почти до первоначального

значения. Кроме временной потери чувствительности (утомляемости), в фотоэлементах наблюдается также необратимая потеря чувствительности. Для кислородно-цезиевых катодов в течение первых 40—50 час работы чувствительность необратимо уменьшается до 75—70% по сравнению с первоначальной величиной. В фотоэлементах с сурьмяно-цезиевым фотокатодом необратимая потеря чувствительности до 60—50% первоначального значения происходит лишь через 3000—4000 час работы.

Основные параметры фотоэлементов с внешним фотоэффектом приведены в табл. 6.

Таблица 6

Параметры фотоэлементов с внешним фотоэффектом

Т и п	Рабочее напряжение, в	Наименьшая интегральная чувствительность, $\mu\text{ка/лм}$	Область спектральной чувствительности, $\mu\text{к}$	Темновой ток, α
ЦВ-1	240	20	0,7—0,95	10^{-7}
ЦВ-2	240	20	0,7—0,95	10^{-7}
ЦВ-3	240	20	0,7—0,95	10^{-7}
СПВ-3	240	80	0,4—0,6	10^{-8}
СПВ-4	240	80	0,4—0,6	10^{-8}
СПВ-51	240	80	0,4—0,6	10^{-8}
ЦГ-1	240	75	0,6—1,1	10^{-7}
ЦГ-3	240	200	0,6—1,1	10^{-7}
ЦГ-4	240	200	0,6—1,1	10^{-7}

8—4. Фотоэлектронные умножители (ФЭУ)

Существенным недостатком обычных фотоэлементов с внешним фотоэффектом является их относительно невысокая чувствительность. Это вызывает необходимость последующего значительного усиления сигнала с применением достаточно сложных усилительных устройств. Повышение чувствительности достигается в фотоэлементах со вторичной электронной эмиссией, получивших название фотоэлектронных умножителей. Устройство ФЭУ показано на рис. 114. Под действием света, падающего на фотокатод, с его

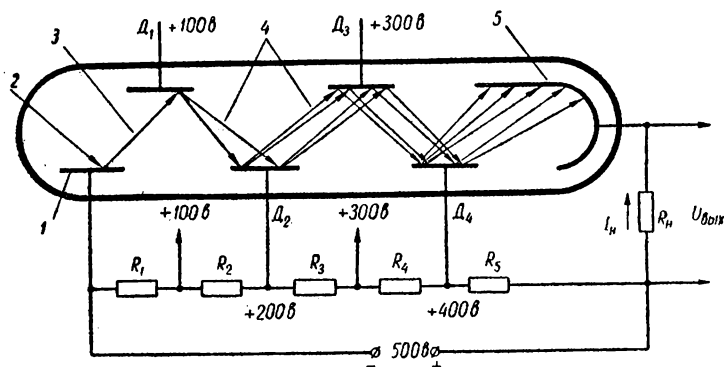


Рис. 114. Фотоэлектронный умножитель (ФЭУ):

1 — фотокатод; 2 — луч света; 3 — фотоэлектроны; 4 — вторичные электроны; 5 — анод (коллектор).

поверхности излучается некоторое количество электронов. Эти электроны попадают в ускоряющее электрическое поле, существующее между электродом D_1 (динодом) и фотокатодом, и, бомбардируя динод D_1 , выбивают из него вторичные электроны, которые в свою очередь бомбардируют динод D_2 , находящийся под более высоким положительным потенциалом, и т. д. Обычно число вторичных электронов в 4—5 раз больше числа первичных электронов. Следовательно, каждый динод дает усиление потока электронов в указанное число раз. Мощный электронный поток, попадающий на последний электрод — анод, определяет величину тока I_n , протекающего через нагрузочное сопротивление R_n . При использовании 10—15 динодов удается получить очень большое усиление фототока. Поэтому чувствительность современных ФЭУ составляет 1—100 а/лм. Такая высокая чувствительность ФЭУ позволяет значительно упростить схему, уменьшить габариты, вес и стоимость усилительного устройства.

Недостатки ФЭУ заключаются в необходимости высоковольтного источника питания (несколько сотен вольт), в изменении чувствительности во времени (старении) и в неспособности переносить световые перегрузки. Чтобы работа ФЭУ была длительной и надеж-

ной, анодный ток не должен превышать нескольких миллиампер. В противном случае из поверхности анода выделяется газ, и прибор выходит из строя.

8—5. Фотоэлементы с внутренним фотоэффектом (фоторезисторы)

Внутренний фотоэффект заключается в уменьшении сопротивления полупроводника под влиянием поглощенного им света. Основные свойства полупроводников рассматриваются в гл. 9. Здесь

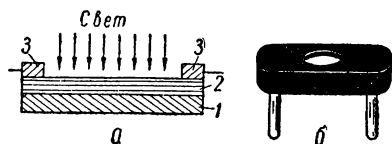


Рис. 115. Устройство фоторезистора: а — конструкция (1 — изолирующая подложка; 2 — полупроводник; 3 — металлические электроды); б — внешний вид.

отметим лишь, что отличительным свойством полупроводников является слабая связь их электронов с атомами. Под действием света электроны полупроводника переходят в свободное состояние, вследствие чего проводимость полупроводника возрастает. Для перевода в полупроводнике связанного с атомом электрона в свободное состояние требуется значительно меньшая энергия, чем для выбивания электрона наружу. Поэтому внутренний фотоэффект может происходить под действием более длинных волн, обладающих меньшей энергией, чем необходимо для внешнего фотоэффекта, а спектральная характеристика фоторезисторов по сравнению с фотоэлементами сдвинута в сторону инфракрасной части спектра.

Фоторезисторы изготавливаются следующим образом. На изолирующую подложку 1 (рис. 115, а) методом испарения в вакууме наносится тонкий слой полупроводника 2. В качестве материала для полупроводников используется селен, сплавы сульфида таллия с окисью таллия (таллофид), сернистый свинец, сернистый кадмий и др. По краям полупроводникового слоя также испарением в вакууме наносятся металлические электроды 3. Пластинка помещается в эбонитовую или пластмассовую оправу с окошком (рис. 115, б). Электроды соединяются с двумя выводными клеммами, с помощью которых фоторезистор включается в цепь последовательно с источником напряжения и сопротивлением нагрузки (рис. 116). Если фоторезистор находится в темноте, то через него течет темновой ток

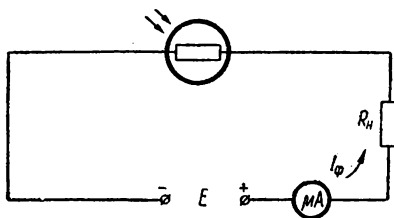


Рис. 116. Схема включения фоторезистора.

$$I_T = \frac{E}{R_T + R_H},$$

где E — э. д. с. источника питания;

R_T — величина электрического сопротивления фоторезистора в темноте, называемая темновым сопротивлением;

R_H — сопротивление нагрузки.

Когда фоторезистор освещен, через него течет световой ток $I_c = \frac{E}{R_c + R_H}$. Так как проводимость фоторезистора при облучении его потоком Φ растет, то его сопротивление в освещенном состоянии R_c , называемое *световым сопротивлением*, становится меньше тем-

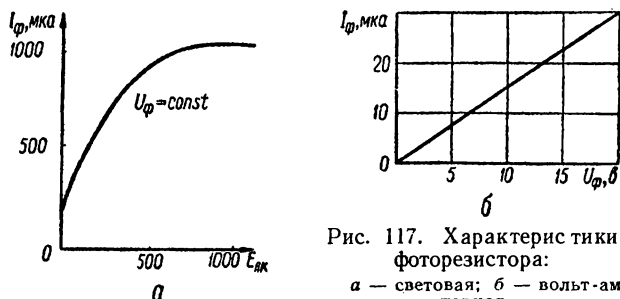


Рис. 117. Характеристики фоторезистора:
а — световая; б — вольт-амперная.

нового. Разность между световым и темновым током дает значение тока I_ϕ , получившего название первичного фототока проводимости

$$I_\phi = I_c - I_T.$$

Когда лучистый поток мал, первичный фототок проводимости практически безынерционен и изменяется прямо пропорционально величине лучистого потока, падающего на фоторезистор. По мере возрастания величины лучистого потока увеличивается число электронов проводимости. Двигаясь внутри вещества, электроны сталкиваются с атомами, ионизируют их и создают дополнительный поток электрических зарядов, получивший название *вторичного фототока проводимости*. Увеличение числа ионизированных атомов тормозит движение электронов проводимости. В результате этого изменения фототока запаздывают во времени относительно изменений светового потока. Следовательно, фоторезистор является инерционным прибором.

Световая характеристика фоторезистора, показанная на рис. 117, а, представляет собой зависимость фототока от освещенности его светочувствительной поверхности, т. е. от отношения величины светового потока к площади светочувствительного слоя. Наибольшая чувствительность получается при малых освещенностях. Это позволяет использовать фоторезисторы для измерения очень малых интенсивностей излучения.

Вольт-амперная характеристика фоторезисторов, показанная на рис. 117, б, представляет собой зависимость фототока и темно-

вого тока от напряжения, приложенного к фоторезистору при постоянной освещенности его поверхности. Для фоторезисторов эта зависимость имеет линейный характер. Таким образом, в фоторезисторах фототок зависит не только от лучистого потока, но и от величины приложенного внешнего напряжения. Поэтому основным параметром фоторезисторов является величина, определяемая выражением

$$S_y = \frac{I_\Phi}{\Phi U} - \text{мкА/лм} \cdot \text{В},$$

где I_Φ — величина фототока, мкА;

Φ — световой поток, лм;

U — разность потенциалов, приложенная к фоторезистору, В.

Величина S_y получила название удельной чувствительности фоторезистора. Если между фототоком и приложенным напряжением существует линейная зависимость, то интегральная чувствительность фоторезистора при рабочем напряжении U может быть найдена по формуле

$$S = S_y \cdot U.$$

Следует подчеркнуть, что без указания величины U определение интегральной чувствительности фоторезистора теряет всякий смысл.

Кроме этих параметров, фоторезисторы характеризуются кратностью изменения сопротивления

$$\frac{\Delta R}{R_T} = \frac{R_T - R_C}{R_T},$$

где R_T — темновое, а R_C — световое сопротивление, а также мощностью рассеивания и диапазоном частот.

Фоторезисторы обладают рядом достоинств: практически неограниченным сроком службы, высокой чувствительностью, малыми габаритами, простотой изготовления, невысокой стоимостью. При использовании фоторезисторов для измерения и контроля, а также в схемах автоматики особо важное значение имеет стабильность работы, под которой понимают постоянство чувствительности фоторезистора во времени. Как показывают многочисленные испытания, фоторезисторы характеризуются большой стабильностью в работе. Из графика, представленного на рис. 118, видно, что после некоторого времени непрерывной работы фоторезисторов фототок стабилизируется. Все эти достоинства обуславливают широкое распространение фоторезисторов в самых различных автоматических устройствах и приборах, т. е. почти всюду, где применяются фотоэлементы.

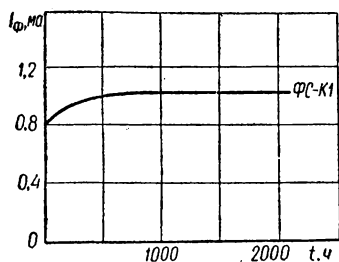


Рис. 118. Зависимость чувствительности фоторезистора ФС-К1 от продолжительности работы.

Фоторезисторы сокращенно обозначаются буквами ФС. Кроме того, в марке фоторезисторов А, Б и К условно обозначают светочувствительный материал, а цифры — конструктивное оформление: 0 — диск диаметром 8 мм, толщиной 0,6—0,8 мм, приклеенный к стеклянной пластинке; 1, 2, 6 — пластмассовый корпус, рассчитанный на включение в ламповую панель, и т. д. Основные данные некоторых фоторезисторов приведены в табл. 7.

Таблица 7

Параметры фоторезисторов

Тип	Максимальное рабочее напряжение, в	Удельная чувствительность, мкА/лм·в	Темновое сопротивление, Мом	Кратность изменения сопротивления	Допустимая мощность рассеивания, вт
ФС-А1	15	500	0,01—0,2	1,2	—
ФС-А4	15	500	0,01—0,2	1,2	—
ФС-К0	300	2500	1	35	0,2
ФС-К1	4000	3000	10	140	0,1
ФС-К2	300	2500	1	35	0,15
ФС-Б2	50	1000	0,2	4	—

8—6. Вентильные фотоэлементы (с запирающим слоем)

В последнее время большое распространение в различных отраслях техники получили фотоэлементы, принцип действия которых основан на использовании фотоэффекта запирающего слоя. Эти фотоэлементы иначе называются *вентильными*, или *фотоэлементами с запирающим слоем*. Принципиальное отличие их от фотоэлементов с внешним фотоэффектом заключается в том, что вентильные фотоэлементы под действием светового потока сами создают э. д. с. и поэтому не нуждаются в постороннем источнике напряжения.

Основными типами вентильных фотоэлементов являются медно-закисные, селеновые, сернисто-серебряные, сернистоталлиевые, германиевые и кремниевые фотоэлементы. В принципе конструкция всех фотоэлементов с запирающим слоем одна и та же. Для примера рассмотрим устройство и схему включения селенового фотоэлемента (рис. 119). На металлическую подложку 1 из никелированного железа или алюминия наносится слой селена 2, а на поверхность селена — тонкий полупрозрачный слой золота 4, являю-

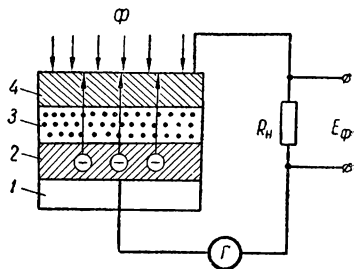


Рис. 119. Устройство селенового вентильного фотоэлемента:

1 — металлическая подложка; 2 — слой селена; 3 — запирающий слой; 4 — полупрозрачный слой золота.

Таблица 8
Интегральная чувствительность
вентильных фотоэлементов

Фотоэлементы	Интегральная чувствительность, мка/лм
С внешним фотоэффектом . . .	150
Меднозакисный	100
Селеновый	600
Сернистосеребряный	8000
Сернистоталлиевый	11 000
Германиевый	30 000

и селеном образуется запирающий слой 3, который оказывает большое сопротивление обратному переходу электронов к селену. Таким образом, под действием света между электродами фотоэлемента ввиду недостатка электронов в одном из них и избытка их в другом возникает разность потенциалов, и во внешней цепи течет ток.

Фотоэлементы с запирающим слоем выгодно отличаются от фотоэлементов с внешним фотоэффектом величиной интегральной чувствительности.

Под интегральной чувствительностью вентильного фотоэлемента понимают отношение приращения фототока ΔI_{Φ} к вызвавшему его изменению светового потока $\Delta \Phi$

$$S = \frac{\Delta I_{\Phi}}{\Delta \Phi} \text{ мка/лм}$$

при $R_n = 0$. Значения интегральной чувствительности вентильных фотоэлементов приведены в табл. 8.

С увеличением нагрузочного сопротивления во внешней цепи фотоэлемента интегральная чувствительность падает. Это видно из рис. 120, на котором показаны световые характеристики вентильного фотоэлемента при различных сопротивлениях нагрузки. Угол наклона этих характеристик, определяющий чувствительность фотоэлемента, тем меньше, чем больше сопротивление нагрузки. При больших значениях нагрузочного сопротивления и светового потока при изменении освещенности фототок вообще не меняется.

Фотоэлектрические процессы, протекающие в вентильных фотоэлементах, обладают заметной инерционностью, которая сказывается на форме их частотных характеристик. Эта инерционность обусловлена, главным образом, большой собственной емкостью

щийся анодом фотоэлемента. Под действием света, падающего со стороны полупрозрачного слоя, из селена вырываются электроны, которые движутся к верхнему (золотому) электроду и заряжают его отрицательно. В результате термообработки, проводимой при изготовлении фотоэлемента, между полупрозрачным слоем золота

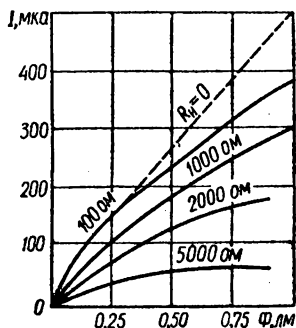


Рис. 120. Световые характеристики вентильного фотоэлемента при различных сопротивлениях нагрузки.

вентильных фотоэлементов, поскольку запирающий слой играет роль диэлектрической прокладки между двумя электродами. Поэтому с увеличением частоты светового потока фототок уменьшается. Характер этого уменьшения различен для разных фотоэлементов. Так, если у селенового фотоэлемента (К-5 и др.) полоса пропускания частот составляет 0—100 гц, то у сернистосеребряных фотоэлементов типа ФЭСС она не превышает единиц герц. На рис. 121 представлены спектральные характеристики меднозакисного (кривая 1), селенового (кривая 2) и сернистосеребряного (кривая 3) фотоэлементов, а также спектральная характеристика человеческого глаза (кривая 4). Из их сравнения видно, что наиболее близка к характеристике глаза характеристика селенового фотоэлемента. Благодаря этому его удобно использовать для измерения освещенности. Наиболее широкой спектральной характеристикой (от 0,4 до 1,4 мк) обладают сернистосеребряные фотоэлементы, широко используемые в разнообразных схемах контрольно-измерительной аппаратуры.

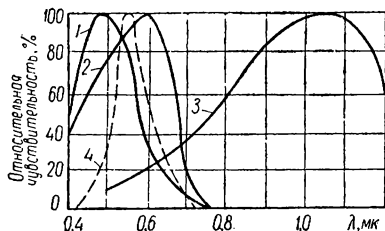


Рис. 121. Спектральные характеристики вентильных фотоэлементов.

В заключение отметим, что к группе фотоэлектронных приборов относятся также широко распространенные фотодиоды и фототранзисторы, которые рассматриваются в главах 10 и 11.

РАЗДЕЛ I

ОСНОВЫ ПОЛУПРОВОДНИКОВОЙ ТЕХНИКИ

Г Л А В А 9

ОСНОВЫ ПОЛУПРОВОДНИКОВОЙ ТЕОРИИ

9—1. Физические свойства полупроводников

К полупроводникам относится большое количество веществ и элементов, которые по своим электрическим свойствам занимают промежуточное положение между проводниками и диэлектриками. Удельное сопротивление проводников составляет 10^{-4} — 10^{-5} *ом·см*; для диэлектриков эта величина равна 10^{10} — 10^{18} *ом·см*. Удельное сопротивление полупроводников колеблется в широких пределах (10 — 10^{10} *ом·см*). Характерной особенностью полупроводников является уменьшение их удельного сопротивления с повышением температуры. Наиболее типичными представителями полупроводников являются германий, кремний, селен, закись меди и некоторые другие вещества. В настоящее время для создания выпрямительных и усилительных полупроводниковых приборов применяют главным образом германий и кремний.

Германий (Ge) представляет собой серовато-белый металл, встречающийся в природе в виде соединений. Распространенность его в земной коре $7 \cdot 10^{-4}\%$, температура плавления 958°C . Существование германия предсказал еще в 1871 г. Д. И. Менделеев. Открыт германий в 1886 г.

Кремний (Si) — неметалл, встречающийся в природе в виде кварца и солей кремниевых и алюмокремниевых кислот. Распространенность его в земной коре $27,6\%$, температура плавления 1415°C .

Атом германия содержит 32 электрона, а атом кремния — 14. В периодической системе элементов Д. И. Менделеева германий и кремний находятся в четвертой группе. Это означает, что только четыре электрона их атомов являются валентными и участвуют в химических реакциях и процессах электропроводности. Остальные 28 электронов атома германия и соответственно 10 электронов атома кремния прочно связаны со своими ядрами.

Для твердых тел, в том числе и полупроводников, характерно кристаллическое строение, т. е. закономерное и упорядоченное расположение их атомов в пространстве. В кристаллах связанные

между собой атомы располагаются строго определенным образом и на одинаковых расстояниях друг от друга, в результате чего образуется своеобразная решетка из атомов, которую принято называть *кристаллической решеткой твердого тела*. Для примера на рис. 122 показана структура кристаллической решетки германия. Между атомами кристаллической решетки существуют связи. Они образуются валентными электронами, которые взаимодействуют не только с ядром своего атома, но и с ядрами соседних атомов. В кристаллах германия и кремния связь между двумя соседними атомами осуществляется двумя валентными электронами — по одному от каждого атома. Схематически это показано на рис. 123. Такая связь между атомами называется *двухэлектронной*, или *ковалентной*.

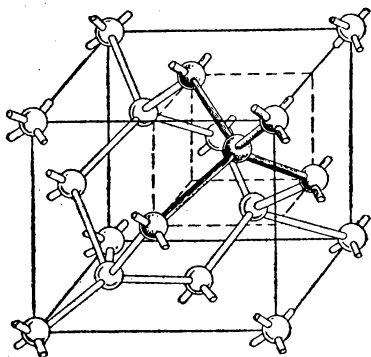


Рис. 122. Структура кристаллической решетки германия.

Характерной особенностью двухэлектронных связей является то, что при их образовании электроны связи принадлежат уже не одному, а сразу обоим, связанным между собой атомам, т. е. являются для них общими. В результате внешняя орбита каждого из атомов имеет как бы по восьми электронов и является полностью

заполненной. Кристаллическая решетка, в которой каждый электрон внешней орбиты связан ковалентными связями с остальными атомами вещества, называется *идеальной*. В таком кристалле все валентные электроны прочно связаны между собой и свободных электронов, которые могли бы участвовать в переносе зарядов, не имеется. Такую кристаллическую решетку имеют все химически

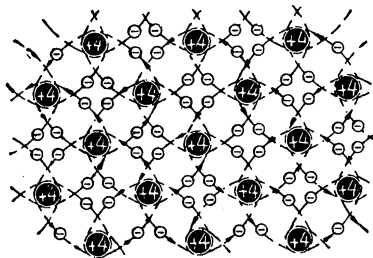


Рис. 123. Ковалентная связь атомов.

чистые (беспримесные) полупроводники при температуре абсолютного нуля (-273°C). В этих условиях полупроводники обладают свойствами идеальных изоляторов.

Под действием внешних факторов (главным образом тепла) некоторые валентные электроны атомов кристаллической решетки приобретают энергию, достаточную для освобождения от ковалентных связей. Благодаря этому в кристалле появляются избыточные (свободные) электроны, уровни энергии которых выше уровней энергии связанных валентных электронов. Как известно, для

полупроводников ширина запрещенной зоны, разделяющей зону энергии валентных электронов от зоны проводимости, незначительна. Например, для германия ширина запрещенной зоны равна $0,72 \text{ эв}$, а для кремния — $1,11 \text{ эв}$. Поэтому для получения заметной проводимости в этих веществах обычно достаточно тепловой энергии, возникающей у электронов при комнатной температуре.

9—2. Виды проводимости полупроводников

При освобождении электрона из ковалентной связи в последней возникает как бы свободное место, обладающее элементарным положительным зарядом, равным по абсолютной величине заряду



Рис. 124. Принцип дырочной проводимости.

электроном. Такое освободившееся в электронной связи место условно называли *дыркой*. Так как дырка обладает положительным зарядом, то она может присоединить к себе электрон соседей заполненной ковалентной связи. В результате этого восстанавливается одна связь и разрушается соседняя, или, другими словами, заполняется одна дырка и одновременно с этим возникает новая в другом месте. Этот процесс непрерывно повторяется, и дырка, переходя от одной связи к другой, будет перемещаться по кристаллу, что равносильно перемещению частицы, имеющей положительный заряд, равный по величине заряду электрона. Если внешнее электрическое поле отсутствует, то как электроны, так и дырки вследствие теплового движения перемещаются в кристалле хаотически. Если же на кристалл действует электрическое поле, то движение дырок и электронов становится упорядоченным и в кристалле возникает электрический ток. Чтобы понять, как перемещаются дырки, рассмотрим рис. 124, на котором изображено несколько одних и тех же атомов, расположенных вдоль полупроводника, в различные моменты времени. Пусть в некоторый начальный момент времени в крайнем атоме 1, расположенном слева, появилась дырка вследствие того, что из этого атома ушел электрон. В этом случае атом становится заряженным положительно и может притянуть к себе электроны соседнего атома. При наличии электрического поля, направленного слева направо, электрон атома 2, двигаясь против силовых линий поля, заполнит дырку в первом атоме, но зато образуется новая дырка в атоме 2 (рис. 124, б). Последовательно переходя от одного

атома к другому, дырка через некоторое время возникнет в крайнем правом атоме *б* (рис. 124, *е*). Таким образом, проводимость полупроводника обусловлена перемещением как свободных электронов, так и дырок. В первом случае носители зарядов отрицательны (негативны), во втором — положительны (позитивны). Соответственно различают два вида проводимости полупроводников — электронную проводимость, или проводимость типа *n* (от слова *negative* — отрицательный), и дырочную проводимость, или проводимость типа *p* (от слова *positive* — положительный).

Следует подчеркнуть, что дырочную проводимость нельзя отождествлять с ионной проводимостью, при которой происходит перемещение ионизированных атомов вещества; нельзя также понимать ее как непосредственное перемещение положительных зарядов. В действительности при дырочной проводимости перемещаются электроны, но только здесь уже не один свободный электрон проходит весь путь, как при электронной проводимости, а, подобно передаче эстафеты, большое количество электронов заменяют друг друга в связях.

В химически чистом кристалле полупроводника число дырок всегда равно числу свободных электронов, и электрический ток в нем образуется в результате одновременного переноса зарядов обоих знаков. Такая электронно-дырочная проводимость называется *собственной проводимостью полупроводника*. Однако для изготовления полупроводниковых приборов необходимо иметь полупроводник с ярко выраженной проводимостью одного типа. Преобладание одного типа проводимости над другим может быть достигнуто введением в полупроводник атомов других веществ — примесей. В зависимости от того, атомы какого вещества будут введены в кристалл, можно получить преобладание избыточных электронов или дырок, т. е. получить полупроводник с электронной или дырочной проводимостью.

Проводимость, вызванная присутствием в кристалле полупроводника примесей из атомов с иной валентностью, называется *примесной*. Примеси, вызывающие в полупроводнике увеличение свободных электронов, называются *донорными*, а вызывающие увеличение дырок — *акцепторными*.

Интересно отметить, что для получения необходимой проводимости в некоторые полупроводники достаточно добавить один атом примеси на 10 млн. атомов основного вещества.

Различное действие примесных атомов объясняется следующим образом. Предположим, что в кристалл германия, атомы которого имеют четыре валентных электрона (рис. 125, *а*), введен атом вещества, имеющий на внешней орбите не четыре, а пять валентных электронов (например, атом мышьяка). В этом случае атомы мышьяка своими четырьмя (из пяти) валентными электронами образуют связи с атомами кристаллической решетки германия (рис. 125, *б*). Пятый валентный электрон мышьяка окажется не связанным, т. е.

становится избыточным (свободным) электроном. Дырка при этом не образуется, поскольку все валентные связи сохраняются. Полупроводники, электропроводность которых улучшилась благодаря образованию избытка свободных электронов при введении примеси, называются *полупроводниками с электронной проводимостью*, или, сокращенно, *полупроводниками типа n* . Введение в четырехвалентный полупроводник трехвалентного элемента, например индия

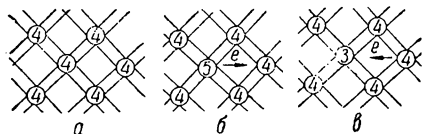


Рис. 125. Примесная проводимость германия:

а — чистый германий; *б* — германий с примесью мышьяка; *в* — германий с примесью индия.

(рис. 125, *в*), приводит, наоборот, к избытку дырок над свободными электронами. В этом случае ковалентные связи не будут полностью завершены, и образовавшаяся дырка может перемещаться по кристаллу, создавая дырочную проводимость. Полупроводники, электропроводность которых обуславливается в основном движением дырок, на-

зываются *полупроводниками с дырочной проводимостью*, или, сокращенно, *полупроводниками типа p* . Электроны в полупроводниках типа *n* и дырки в полупроводниках типа *p* принято называть *основными носителями тока*, а небольшое количество электронов в полупроводниках типа *p* и дырок в полупроводниках типа *n* — *неосновными носителями тока*.

9—3. Электронно-дырочный переход

Если в одном кристалле полупроводника существуют области с электронной и дырочной проводимостью, то граница между этими областями называется *электронно-дырочным переходом*, или *p — n -переходом*. Явления, происходящие в электронно-дырочном переходе, лежат в основе работы полупроводниковых диодов и триодов.

На рис. 126, *а* показана пластина германия, одна часть объема которой (*n*) содержит донорную примесь, т. е. обладает электронной проводимостью, а другая (*p*) — акцепторную, т. е. обладает дырочной проводимостью. Для простоты будем считать, что граница, разделяющая германий типа *n* и германий типа *p*, выражена очень резко. Движение электрических зарядов через *p*—*n*-переход полупроводника при отсутствии приложенного извне напряжения носит характер диффузии основных носителей зарядов из одной области проводимости в другую. Концентрация электронов в полупроводнике типа *n* выше, чем в полупроводнике типа *p*, и поэтому электроны диффундируют в область полупроводника типа *p*, заряжая пограничный слой этой области отрицательно. Пограничный слой полупроводника типа *n*, потеряв электроны, заряжается положительно (рис. 126, *б*). Аналогичное явление происходит и с дырками, которые, диффундируя в область с проводимостью типа *n*, образуют в пограничных слоях пластинки дополнительные заряды

с той же самой полярностью. Таким образом, с обеих сторон границы раздела слоев германия в области электронно-дырочного перехода образуются противоположные по знаку пространственные заряды. Распределение плотности (ρ) этих зарядов показано на рис. 126, в. Пространственные заряды, возникающие вблизи границы слоев германия, создают в области p — n -перехода электрическое поле. Из рис. 126 нетрудно сделать вывод, что это поле направлено так, что противодействует дальнейшей диффузии свободных электронов из слоя n в слой p и дырок в противоположном направлении. Поэтому электрическое поле на участке p — n -перехода принято называть *потенциальным барьером*. Высота этого барьера характеризуется разностью потенциалов, установившейся между электронным и дырочным слоями вследствие присутствия там пространственных зарядов.

На рис. 126, г приведена кривая, показывающая распределение потенциала в электронно-дырочном переходе. Разность потенциалов $\Delta\varphi$ на границе между слоями германия характеризует высоту потенциального барьера: чем больше $\Delta\varphi$, тем больше высота потенциального барьера и тем труднее его преодолеть основным носителям зарядов. Обеднение области p — n -перехода основными носителями зарядов приводит к тому, что эта область обладает повышенным сопротивлением, и поэтому p — n -переход часто называют *запирающим слоем*.

Приложим теперь к электронно-дырочному переходу внешнее напряжение, причем слой с электронной проводимостью присоединим к отрицательному полюсу источника тока, а слой с дырочной проводимостью — к положительному (рис. 127, а). В этом случае напряжение батареи будет противоположно по знаку электрическому полю на участке p — n -перехода, и действие запирающего слоя ослабится. Это вызовет понижение потенциального барьера, а следовательно, повышение числа свободных электронов, проникающих из слоя n в слой p , и дырок — в обратном направлении, т. е. увеличение тока через электронно-дырочный переход. Если изменить полярность внешнего источника (рис. 127, б), то картина

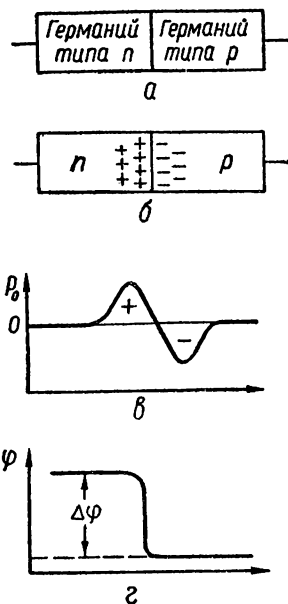


Рис. 126. Возникновение электронно-дырочного перехода на границе полупроводников с разными типами проводимости:

а — пластина германия с двумя типами проводимости; б — возникновение пространственных зарядов на границе германия типа n и германия типа p ; в — распределение плотности пространственных зарядов на границе германия типа n и германия типа p ; г — распределение потенциала в электронно-дырочном переходе.

резко изменится. Электроны из слоя n будут двигаться от границы слоев к положительному полюсу внешнего источника, а дырки из слоя p — к отрицательному полюсу. Таким образом, и свободные электроны, и дырки будут уходить от границы слоев. В результате между слоями образуется область, в которой не остается ни электронов, ни дырок. Ток через p — n -переход не пойдет. В действительности очень небольшой ток будет проходить по цепи и в случае, изображенном на рис. 127, б. Это связано с наличием в слое n некоторого числа неосновных носителей тока — дырок и в слое p —

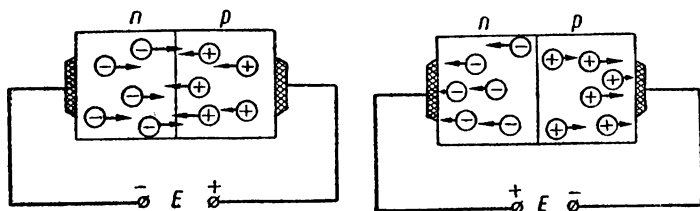


Рис. 127. Прохождение тока через p — n -переход при прямом (а) и обратном (б) включении внешнего источника.

свободных электронов, которые будут проникать в пограничную область и поддерживать ток через нее. Но этот ток оказывается во много тысяч раз меньше, чем в предыдущем случае (рис. 127, а). Поэтому можно считать, что полупроводник с электронно-дырочным переходом обладает односторонней проводимостью электрического тока.

9—4. Вольт-амперная характеристика p — n -перехода

Односторонняя проводимость p — n -перехода наглядно иллюстрируется его вольт-амперной характеристикой (рис. 128, а), показывающей зависимость тока через p — n -переход от величины и полярности приложенного напряжения. Аналитическим выражением вольт-амперной характеристики p — n -перехода (при комнатной температуре) является формула

$$I = I_0 (e^{40U} - 1), \quad (9-1)$$

где I_0 — обратный ток насыщения p — n -перехода, определяемый физическими свойствами полупроводникового материала;

U — напряжение, приложенное к p — n -переходу;

e — основание натуральных логарифмов, равное 2,718.

Из формулы (9—1) следует, что при положительных (прямых) напряжениях выше 0,05 в, т. е. при $e^{40U} \gg 1$, ток через p — n -переход с увеличением напряжения резко возрастает. При отрицательных (обратных) напряжениях показатель степени числа e — отрицательный. Начиная с напряжения — 0,05 в величина $e^{-40U} = \frac{1}{e^{40U}}$ становится значительно меньше единицы и ею можно пренебречь. При этом $I = I_{об} \approx -I_0$, т. е. обратный ток равен току

насыщения и в определенных границах остается величиной практически постоянной. Обычно ток I_0 имеет величину порядка микроампер и в большинстве случаев им можно пренебречь.

Дальнейшее увеличение обратного напряжения приводит к электрическому пробойу $p-n$ -перехода, при котором обратный ток резко увеличивается. Пробой $p-n$ -перехода происходит в результате внутренней электростатической эмиссии и под действием ударной ионизации атомов полупроводника.

Внутренняя электростатическая эмиссия в полупроводниках аналогична электростатической эмиссии электронов из металла.

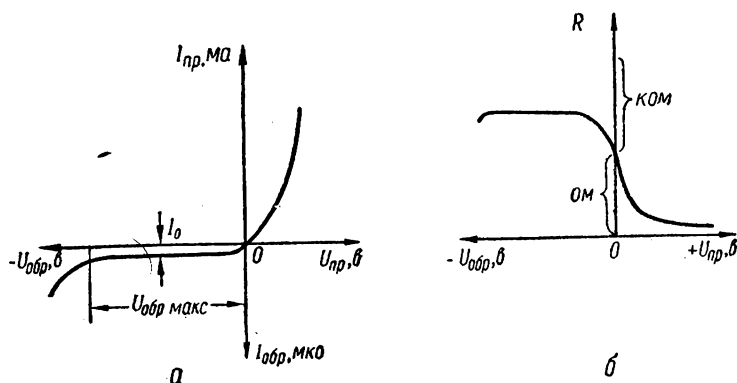


Рис. 128. Характеристики полупроводникового диода:
а — вольт-амперная; б — характеристика сопротивления.

Сущность этого явления заключается в том, что под действием сильного электрического поля электроны могут освободиться из ковалентных связей и получить энергию, достаточную для преодоления высокого потенциального барьера в области $p-n$ -перехода. Пройдя через $p-n$ -переход и двигаясь с большей скоростью внутри полупроводника, электроны сталкиваются с нейтральными атомами и ионизируют их. В результате такой ударной ионизации появляются новые свободные электроны и дырки, которые, в свою очередь, разгоняются полем и создают все возрастающее количество носителей тока. Описанный процесс носит лавинообразный характер и приводит к значительному увеличению обратного тока через $p-n$ -переход. Таким образом, чрезмерно увеличивать обратное напряжение нельзя. Если оно превысит максимально допустимую для данного $p-n$ -перехода величину ($U_{обр. макс}$ на рис. 128, а), то запирающий слой пробьется и $p-n$ -переход потеряет свойство односторонней проводимости.

Анализ вольт-амперной характеристики $p-n$ -перехода позволяет рассматривать $p-n$ -переход как нелинейный элемент, сопротивление которого изменяется в зависимости от величины и полярности приложенного напряжения (рис. 128, б). При увеличении

прямого напряжения сопротивление p — n -перехода уменьшается. С изменением полярности и величины приложенного напряжения сопротивление p — n -перехода резко возрастает. Следовательно, прямая линейная зависимость между напряжением и током (закон Ома) для p — n -переходов не соблюдается. Нелинейные свойства p — n -переходов лежат в основе работы полупроводниковых приборов, использующихся для выпрямления переменного тока, преобразования частоты, ограничения амплитуд и т. д.

9—5. Температурные и частотные свойства p — n -перехода

Свойства p — n -перехода существенно зависят от температуры окружающей среды. У полупроводников, содержащих примеси, электропроводность получается достаточно высокой даже при низких температурах (порядка -60°C). Объясняется это тем, что для отрыва валентных электронов от ядер атомов примеси требуется небольшая энергия, и поэтому электропроводность полупроводников с примесями осуществляется главным образом за счет электронов и дырок примесных атомов.

При повышении температуры увеличиваются тепловые колебания электронов основного полупроводника и некоторые из них приобретают энергию, достаточную для преодоления связей с ядрами. Поэтому при повышении температуры электропроводность осуществляется за счет электронов и дырок как примесных, так и собственных атомов. При достаточно высокой температуре все атомы примеси отдают свои носители зарядов, и дальнейшее повышение температуры может привести лишь к увеличению концентрации носителей зарядов, отданных атомами основного полупроводника. Следовательно, чем выше окружающая температура, тем сильнее проявляется собственная проводимость полупроводника и тем меньше сказывается проводимость примесная. Но, как известно, собственная электропроводность полупроводника осуществляется практически равным числом электронов и дырок, движущихся в противоположных направлениях. Поэтому разность концентраций носителей зарядов материала типа p и материала типа n , а следовательно, контактная разность потенциалов между слоями с различными типами проводимости при высоких температурах исчезают, и p — n -переход теряет свойство односторонней проводимости. Для германиевых приборов, например, верхний температурный предел не превышает $+70^{\circ}\text{C} \div +90^{\circ}\text{C}$. У кремниевых приборов вследствие большей энергии, необходимой для отрыва валентного электрона от ядра атома, этот предел более высок — от $+120$ до 150°C .

Работа полупроводниковых приборов значительно зависит также от частоты приложенного напряжения. Это объясняется наличием в полупроводниковом приборе собственной емкости между слоями полупроводника с разными типами проводимости. При обратном напряжении, приложенном к p — n -переходу, носители

зарядов обоих знаков находятся по обе стороны перехода, а в области самого перехода их очень мало. Таким образом, в режиме обратного напряжения p — n -переход представляет собой емкость, величина которой пропорциональна площади p — n -перехода, концентрации носителей заряда и диэлектрической проницаемости материала полупроводника. При малом обратном напряжении, приложенном к p — n -переходу, носители зарядов противоположных знаков находятся на небольшом расстоянии друг от друга. При этом собственная емкость p — n -перехода велика. При увеличении обратного напряжения электроны все дальше отходят от дырок по обе стороны от p — n -перехода, расстояние между «пластинами» эквивалентного конденсатора увеличивается и емкость p — n -перехода уменьшается. Таким образом, p — n -переход можно использовать как емкость, управляемую величиной обратного напряжения¹.

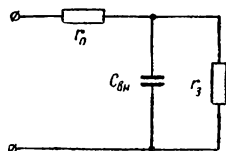


Рис. 129. Эквивалентная схема p — n -перехода:

Эквивалентная схема p — n -перехода (схема замещения) показана на рис. 129. На этой схеме r — сопротивление толщи полупроводников p и n и выводов от них (это сопротивление составляет около 1 ом); $r_з$ — сопротивление запирающего слоя, зависящее от величины и полярности приложенного напряжения; $C_{вн}$ — собственная емкость p — n -перехода. Из эквивалентной схемы видно, что при работе на высоких частотах емкостное сопротивление $X_{C_{вн}} =$

$$= \frac{1}{\omega C_{вн}}$$
 уменьшается и обратный ток может пройти через эту емкость, несмотря на большую величину сопротивления запирающего слоя $r_з$. Это нарушает нормальную работу прибора, так как p — n -переход теряет свойство односторонней проводимости. Поэтому для работы на высоких частотах используются, в основном, так называемые *точечные полупроводниковые приборы*, у которых площадь p — n -перехода незначительна и собственная емкость мала.

В настоящее время имеются полупроводниковые приборы, успешно работающие в очень широком диапазоне частот — до десятков и сотен мегагерц.

Г Л А В А 10

ПОЛУПРОВОДНИКОВЫЕ ДИОДЫ

10—1. Устройство полупроводниковых диодов

Полупроводниковым диодом называется прибор с одним электронно-дырочным переходом, обладающий односторонней проводимостью электрического тока.

¹ Полупроводниковые приборы, емкость которых изменяется в широких пределах при изменении обратного напряжения, приложенного к p — n -переходу, получили название *варикапов*.

Наибольшее применение получили германиевые и кремниевые полупроводниковые диоды, которые конструктивно почти не отличаются друг от друга. В зависимости от способа получения электронно-дырочного перехода полупроводниковые диоды делятся на два типа: плоскостные и точечные.

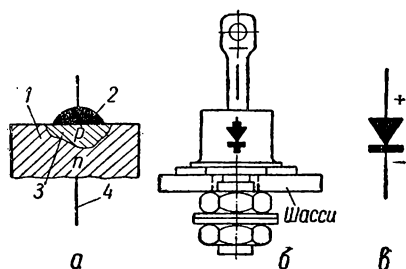


Рис. 130. Плоскостной полупроводниковый диод:

a — схематическое устройство (1 — полупроводник с электронной проводимостью; 2 — электрод из индия (или алюминия) — верхний токосниматель; 3 — полупроводник с дырочной проводимостью; 4 — нижний токосниматель); *б* — внешний вид; *в* — условное обозначение.

вплавляют индий или алюминий, которые являются для германия (индий) и кремния (алюминий) акцепторной примесью.

В результате диффузии примеси в толщу пластинки в последней образуется участок с дырочной проводимостью, а на границе между основной частью пластинки с электронной проводимостью и зоной этой же пластинки с дырочной проводимостью образуется плоский $p-n$ -переход. Через него электрический ток свободно проходит в направлении от индиевого (или алюминиевого) электрода к основной массе пластинки и плохо — в обратном направлении. Следовательно, основная масса пластинки германия аналогична катоду, а область с акцепторной примесью — аноду обычного лампового диода.

Плоскостные диоды могут выдерживать большие (до 1000 в) обратные напряжения и выпрямлять значительные по величине токи (до нескольких ампер). Поэтому плоскостные диоды, иногда называемые силовыми, находят широкое применение в выпрямителях.

Одним из основных недостатков плоскостных диодов является их большая междуэлектродная емкость (порядка 50 пф), обуслов-

Схематическое устройство, внешний вид и условное обозначение плоскостного полупроводникового диода показаны на рис. 130. Основной частью диода является пластинка германия или кремния с электронной проводимостью толщиной в несколько десятых долей миллиметра. Она помещена в герметичный металлический корпус и припаяна к нему одной из своих плоскостей. В центр противоположной плоскости пластинки

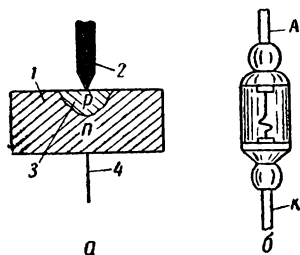


Рис. 131. Точечный полупроводниковый диод:

a — схематическое устройство (1 — полупроводник с электронной проводимостью; 2 — вольфрамовая проволока — верхний электрод; 3 — область полупроводника с дырочной проводимостью; 4 — нижний токосниматель); *б* — внешний вид.

ленная относительно большой площадью контакта между германием типа n и p . Поэтому они используются на частотах, обычно не превышающих 50 кГц.

Для работы на более высоких частотах применяются точечные полупроводниковые диоды. Схематическое устройство и внешний вид точечного диода приведены на рис. 131. Прибор состоит из пластинки полупроводника с электронной проводимостью, к которой приварен заостренный конец тонкой вольфрамовой проволоки. Для получения p — n -перехода диод в процессе изготовления подвергают токовой формовке. С этой целью через него в прямом направлении пропускается кратковременный импульс тока величиной до 400 мА. В результате формовки тонкий слой полупроводника, примыкающий к острiu, приобретает дырочную проводимость, а на границе между этим слоем и основной массой пластинки возникает p — n -переход.

Малая площадь контакта (порядка 20 мк²) между частями полупроводника с проводимостью типа n и p не позволяет рассеивать в области p — n -перехода значительные мощности. Поэтому точечные диоды являются менее мощными, чем плоскостные, и не используются в выпрямителях, рассчитанных на большие напряжения и токи. Они применяются главным образом в схемах радиоприемной и измерительной аппаратуры, работающей на высоких частотах, а также в выпрямителях на напряжения не свыше нескольких десятков вольт при токе порядка десятков миллиампер.

10—2. Основные параметры полупроводниковых диодов

Для определения эксплуатационных возможностей полупроводниковых диодов в справочниках приводятся их параметры, измеряемые обычно при температуре окружающей среды $+20^\circ \pm 5^\circ \text{C}$. Основными параметрами полупроводниковых диодов являются;

$I_{\text{пр}}$ — *прямой ток* — ток, протекающий через диод при приложении к нему прямого напряжения, величина которого указывается;

$I_{\text{обр}}$ — *обратный ток* — ток, протекающий через диод при приложении к нему обратного напряжения, величина которого указывается;

$I_{\text{выпр}}$ — *наибольший выпрямленный ток* (среднее значение) — ток, который может длительное время протекать через диод, не вызывая нарушения его нормальной работы;

$U_{\text{обр. макс}}$ — *максимальное обратное напряжение* — наибольшая амплитуда напряжения, которая может быть приложена к диоду

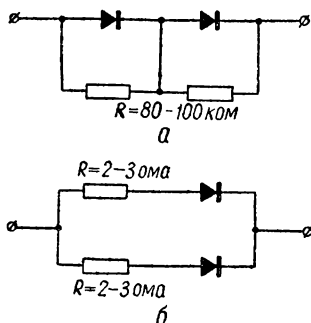


Рис. 132. Последовательное (а) и параллельное (б) включение диодов.

в обратном направлении в течение длительного времени без опасности нарушения нормальной работы диода.

Для выпрямления больших величин напряжения можно использовать несколько диодов, соединенных последовательно (рис. 132, а), причем они должны быть подобраны по прямому и обратному току. Если диоды не идентичны, то следует параллельно каждому из них включить резистор порядка 100 ком для выравнивания обратных сопротивлений.

Для пропускания большего выпрямленного тока диоды можно соединить параллельно (рис. 132, б), причем для выравнивания

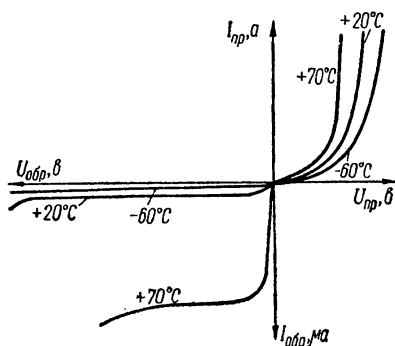


Рис. 133. Влияние температуры на вольт-амперные характеристики германиевых диодов.

токов, протекающих через диоды, последовательно с диодами включается небольшое омическое сопротивление порядка нескольких ом.

Следует отметить, что параметры полупроводниковых диодов сильно зависят от температуры окружающей среды. На рис. 133 приведены вольт-амперные характеристики германиевого диода для трех значений температуры: номинальной ($20^\circ \pm 5^\circ \text{C}$), повышенной ($+70^\circ \text{C}$) и пониженной (-60°C). Особо следует обратить внимание на то, что с повышением

температуры обратный ток значительно увеличивается, а пробивное напряжение уменьшается. Ток в прямом направлении также увеличивается, но в меньшей степени, поэтому полупроводниковый диод с повышением температуры теряет свойство односторонней проводимости. Кремниевые диоды более устойчивы к температурным воздействиям, чем германиевые. Для большинства кремниевых диодов верхний уровень рабочих температур достигает 150°C .

10—3. Кремниевые стабилитроны

Явление электрического пробоя, опасное для обычных диодов, находит полезное применение в кремниевых плоскостных диодах, получивших название *кремниевых стабилитронов*, или *опорных диодов*.

Кремниевые стабилитроны характеризуются малой шириной p — n -перехода и связанной с этим большой напряженностью электрического поля на переходе. Нормальным режимом для этих приборов является работа при обратном напряжении. Примерная вольт-амперная характеристика кремниевого стабилитрона приведена на рис. 134.

При определенной величине обратного напряжения в кремниевом диоде наблюдается лавинообразное увеличение неосновных носителей тока, которое приводит сначала к быстрому росту тока через p — n -переход, а при больших токах к его разрушению — пробое. Для работы стабилитронов используется начальная стадия пробоя, получившая название обратимого пробоя. Вольт-амперная характеристика в этом случае имеет вид прямой вертикальной линии, проходящей почти параллельно оси токов. Поэтому при изменении в широких пределах тока через прибор падение напряжения на нем практически не изменяется. Это свойство кремниевых диодов и позволяет использовать их в качестве стабилизаторов напряжения.

Так как электрический пробой наступает при сравнительно низком обратном напряжении, мощность, выделяющаяся в p — n -переходе даже при значительных обратных токах, будет небольшой, что предохраняет p — n -переход от теплового (необратимого) пробоя.

Превышение предельно допустимого обратного тока стабилитрона приводит, как и в обычных диодах, к выходу прибора из строя. Основными параметрами кремниевых стабилитронов являются: напряжение стабилизации $U_{ст}$, максимальный ток стабилизации $I_{ст. макс}$ и максимальная мощность, рассеиваемая диодом, $P_{макс}$. Важным параметром является также ТКН — температурный коэффициент напряжения стабилизации — отношение относительного изменения напряжения к абсолютному изменению температуры окружающей среды. Величина ТКН выражается в процентах на 1°C и обычно не превышает $0,1 \div \pm 0,15\%$ на 1°C .

Внешний вид, условное обозначение и схема включения кремниевых стабилитронов приведены на рис. 135.

Внешний вид, условное обозначение и схема включения кремниевых стабилитронов приведены на рис. 135.

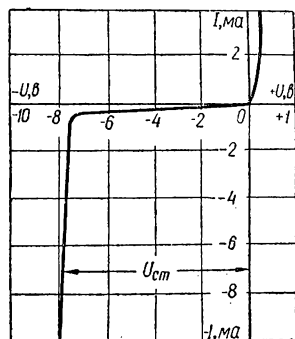


Рис. 134. Вольт-амперная характеристика кремниевых стабилитронов.

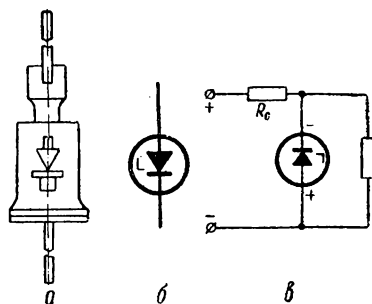


Рис. 135. Кремниевый стабилитрон: а — внешний вид; б — условное обозначение; в — схема включения.

10—4. Туннельные диоды

Туннельный диод по своей конструкции аналогичен обычному плоскостному полупроводниковому диоду. Однако в отличие от обычных в туннельном диоде применяется полупроводниковый

материал (германий, арсенид галлия) с очень большой концентрацией примесей. Содержание примесных атомов в туннельных диодах составляет около $10^{19} \frac{1}{\text{см}^3}$, тогда как в обычных диодах оно не превышает $10^{15} \frac{1}{\text{см}^3}$.

Полупроводники с таким высоким содержанием примесей называются *вырожденными*, а их свойства становятся очень близки к металлам. Вследствие высокого содержания примесей в обеих областях полупроводникового кристалла ширина p — n -перехода в туннельном диоде очень мала (порядка $0,01 \text{ мк}$), что приводит к

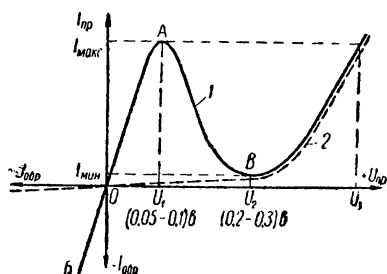


Рис. 136. Вольт-амперные характеристики туннельного (1) и обычного (2) полупроводниковых диодов.

значительному повышению напряженности электрического поля на переходе (порядка $5 \cdot 10^5$ — $7 \cdot 10^5 \text{ в/см}$). В этих условиях электроны могут переходить от атома к атому, даже не приобретая энергии, необходимой для отрыва от ядра. Таким образом, электроны могут переходить из валентной зоны в зону проводимости, не затрачивая энергии на преодоление запрещенной зоны. Электроны в этом случае не преодолевают потенциальный барьер, а проходят

как бы сквозь него — через «туннель». Поэтому описанное явление было названо *туннельным эффектом*.

Рассмотрим вольт-амперную характеристику туннельного диода (рис. 136). Как и в обычном полупроводниковом диоде, при отсутствии внешнего напряжения ток, проходящий через p — n -переход туннельного диода, практически равен нулю. Это объясняется тем, что туннельный ток, идущий из области p в область n практически равен току, идущему навстречу из области n в область p . Такое равновесие будет сохраняться до тех пор, пока мы каким-либо способом не уменьшим одну из составляющих тока. Это проще всего сделать с помощью источника внешнего напряжения. Действительно, при увеличении прямого напряжения, приложенного к p — n -переходу, поток электронов из области n в область p увеличится, а из p в n уменьшится. В результате прямой ток будет нарастать и при некотором напряжении U_1 достигнет максимального значения $I_{\text{макс}}$ (точка A на рис. 136). Если же изменить полярность источника на обратную, то поток электронов из области n в область p увеличится, а из p в n уменьшится, результирующий ток изменит свое направление и по мере увеличения обратного напряжения будет линейно возрастать (участок OB на рис. 136).

Таким образом, односторонняя проводимость у туннельного диода полностью отсутствует. Основная особенность вольт-ампер-

ной характеристики туннельного диода состоит в том, что при подаче прямого напряжения, превышающего U_1 , прямой ток начинает довольно резко убывать до некоторого минимального значения I_{\min} . Наличие падающего участка характеристики (AB на рис. 136) можно объяснить следующим. Увеличение прямого напряжения, с одной стороны, приводит к увеличению туннельного тока, а с другой, — уменьшает напряженность электрического поля в p — n -переходе. Поэтому при некотором значении прямого напряжения U_2 туннельный эффект прекращается, а туннельный диод приобретает свойства обычного полупроводникового диода, и при дальнейшем повышении напряжения вольт-амперная характеристика туннельного диода (кривая 1 на рис. 136) совпадает с вольт-амперной характеристикой обычного диода (кривая 2 на рис. 136).

В интервале напряжений от U_1 до U_2 с ростом напряжения ток падает. Следовательно, на этом участке туннельный диод оказывает переменному току некоторое *отрицательное сопротивление*

$$\left(-R_d = \frac{+\Delta U}{-\Delta I} \right).$$

Уменьшение тока с ростом напряжения эквивалентно сдвигу фазы между указанными величинами на 180° . Поэтому мощность переменного сигнала, равная произведению тока на напряжение, будет иметь отрицательный знак. Это показывает, что отрицательное сопротивление не потребляет мощности переменного сигнала, а отдает его во внешнюю цепь.

В радиоэлектронике понятие «отрицательное сопротивление» известно давно. Так, вольт-амперные характеристики с падающим участком наблюдаются при динаatronном эффекте в многоэлектродных лампах. С помощью отрицательного сопротивления можно скомпенсировать потери, вносимые в схему положительным сопротивлением, и, таким образом, в зависимости от поставленной задачи осуществить усиление, генерирование или преобразование электрических сигналов.

Однако не следует делать ошибочный вывод о том, что туннельный диод сам по себе может быть генератором электрической энергии, так как это противоречит закону сохранения энергии. Дело в том, что «отрицательное сопротивление» служит удобным математическим символом, а не реальной физической величиной и означает лишь, что на некотором участке вольт-амперной характеристики прибора увеличение напряжения уменьшает ток (и наоборот). Все известные в настоящее время приборы могут усиливать и генерировать электрические сигналы лишь при подаче на них энергии от внешних источников (аккумуляторов, батарей и т. п.). У таких устройств к. п. д. всегда меньше единицы, а отрицательное сопротивление в них выполняет функцию автоматического (в генераторах) или управляющего внешним сигналом (в усилителях) клапана, регулирующего поступление электрической энергии от источника питания в нагрузку.

Важное преимущество туннельного диода перед обычными полупроводниковыми приборами заключается в его очень высокой рабочей частоте. Это объясняется тем, что туннельный переход электронов происходит практически мгновенно — за время порядка 10^{-13} сек. Изготавливаемые в настоящее время туннельные диоды могут работать на частотах до 40 000 МГц.

Вследствие того, что при туннельном переходе электроны не расходуют своей энергии, туннельный диод может работать при очень низкой температуре, при которой обычные полупроводниковые приборы перестают работать. Туннельный диод может работать также и при более высокой температуре, чем обычные полупроводниковые приборы. Одним из преимуществ туннельных диодов является очень малая потребляемая мощность (не более 1% мощности потребляемой обычным полупроводниковым прибором).

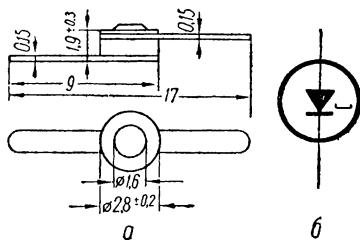


Рис. 137. Туннельный диод: а — габаритный чертеж; б — условное обозначение.

Туннельные диоды относительно просты в изготовлении и имеют очень малые размеры (не больше спичечной головки). Габаритный чертеж туннельного диода (типа 1И302А — 1И302Г) приведен на рис. 137, а. Диод оформлен в металлокерамическом корпусе и имеет гибкие выводы. Условное обозначение туннельного диода показано на рис. 137, б.

10—5 Фотодиоды

При изучении вентильных свойств $p-n$ -перехода было установлено, что сопротивление запирающего слоя в значительной степени уменьшается при воздействии на него света. Это свойство было использовано для создания из германия и кремния светочувствительного прибора, получившего название *фотодиода*. Устройство и схема включения фотодиода показаны на рис. 138.

Конструкция фотодиода сходна с конструкцией плоскостного германиевого диода. Фотодиод представляет собой пластинку полупроводника, внутри которой имеются области с электронной и дырочной проводимостью, разделенные $p-n$ -переходом. Напряжение источника питания приложено к фотодиоду в обратном на-

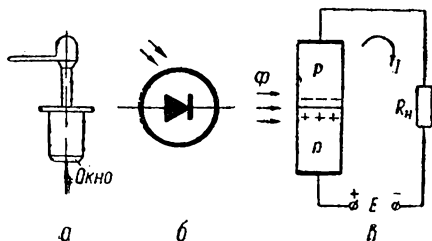


Рис. 138. Фотодиод: а — внешний вид; б — условное обозначение; в — схема включения.

правлении. Когда фотодиод не освещен, в цепи проходит обратный ток небольшой величины (порядка 1 мка), который в данном случае является темновым током. При освещении фотодиода появляется дополнительное число электронов и дырок, вследствие чего увеличивается переход неосновных носителей заряда: электронов из p -области в n -область и дырок в обратном направлении. Это приводит к увеличению тока в цепи. При правильно подобранном сопротивлении нагрузки R_n и напряжении источника питания E этот ток будет зависеть только от освещенности прибора, а падение напряжения на сопротивлении нагрузки можно рассматривать как полезный сигнал, воздействующий на другие элементы схемы.

Фотодиоды обладают высокой чувствительностью (порядка 20 ма/лм) и незначительной инерционностью. Они применяются в разнообразных устройствах автоматики, вычислительной и измерительной техники, когда требуется преобразовать световые сигналы в электрические. Основные данные германиевых (типа ФД) и кремниевых (типа ФДК) фотодиодов приведены в табл. 9.

Таблица 9

Основные параметры фотодиодов

Параметры	Фотодиод			
	ФД-1	ФД-2	ФД-3	ФДК-1
Рабочее напряжение . . .	15	30	10	20
Темновой ток, мка . . .	30	25	15	3
Интегральная чувствительность, ма/лм . . .	20	10—20	20	3
Долговечность, час . . .	500	500	500	500
Диапазон допустимых температур, $^{\circ}\text{C}$. . .	$-60 \div +40$	$-45 \div +45$	$-60 \div +60$	$-50 \div +80$
Вес, г	1	0,85	0,2	0,2

Приведенные в таблице значения долговечности следует понимать как минимальный срок службы прибора при нормальных условиях эксплуатации. Практически срок службы фотодиодов значительно превышает 500 час.

Следует отметить, что к группе фотодиодов можно отнести и вентильные полупроводниковые фотоэлементы, рассмотренные в гл. 8, хотя по схеме включения и ряду электрических параметров они значительно отличаются друг от друга.

10—6. Маркировка полупроводниковых диодов

В соответствии с действующей системой маркировки полупроводниковым диодам присваиваются обозначения, состоящие из четырех элементов.

Первый элемент (буква или цифра) означает исходный материал: Г или 1 — германий; К или 2 — кремний; А или 3 — арсенид

галлия. Обозначения, начинающиеся с цифры, присваиваются приборам, которые могут работать при повышенных температурах; например, германиевым приборам при 70° С, а кремниевым при 120° С.

Второй элемент обозначения (буква) указывает на тип полупроводникового диода: Д — выпрямительные, универсальные, импульсные диоды; Ц — выпрямительные столбы и блоки; А — сверхвысокочастотные диоды; С — стабилитроны; И — туннельные диоды; В — варикапы; Ф — фотодиоды.

Третий элемент — число, указывающее назначение и электрические свойства диода:

Диоды низкой частоты: выпрямительные — от 101 до 399; универсальные — от 401 до 499; импульсные — от 501 до 599; варикапы — от 101 до 999.

Сверхвысокочастотные диоды — от 101 до 699: фотодиоды — от 101 до 199.

Туннельные диоды: усилительные — от 101 до 199; генераторные — от 201 до 299; переключающие — от 301 до 399.

Стабилитроны — от 101 до 999.

Четвертый элемент обозначения (буква) указывает на разновидность типа из данной группы приборов. Для полупроводниковых диодов, не имеющих разновидности типа, четвертый элемент обозначения отсутствует. Следует отметить, что приведенная маркировка относится лишь к тем полупроводниковым диодам, производство которых освоено в последние годы (начиная с 1965 г.).

Примеры маркировки: 2Д503Б — кремниевый импульсный диод, разновидность типа Б; 2С156А — кремниевый стабилитрон, разновидность типа А; 1И302В — германиевый туннельный диод, разновидность типа В; 3И301Г — арсенидно-галлиевый туннельный диод, разновидность типа Г.

Ранее разработанные полупроводниковые диоды имеют обозначения, состоящие из трех элементов.

Первый элемент — буква Д.

Второй элемент — число, указывающее исходный материал и назначение прибора:

Точечные диоды — от 1 до 200: в том числе германиевые — от 1 до 100; кремниевые — от 101 до 200;

Плоскостные диоды — от 201 до 400: кремниевые — от 201 до 300; германиевые — от 301 до 400.

Сверхвысокочастотные диоды (различного назначения) — от 401 до 800.

Кремниевые стабилитроны — от 801 до 900.

Варикапы — от 901 до 950.

Туннельные диоды — от 951 до 1000.

Выпрямительные столбы — от 1001 до 1100.

Третий элемент (буква) указывает на разновидность прибора.

Исключениями из этой системы маркировки являются плоскостные германиевые диоды типа Д7А-Д7Ж.

**ПОЛУПРОВОДНИКОВЫЕ ТРИОДЫ
(ТРАНЗИСТОРЫ)****11—1. Назначение и устройство
полупроводниковых триодов**

Полупроводниковый триод представляет собой трехэлектродный полупроводниковый прибор. Часто полупроводниковый триод называют также *транзистором*. Это название происходит от сокращения английских слов «*transformer of resistance*», что означает трансформатор сопротивления. Смысл этого названия будет ясен из последующего рассмотрения работы прибора.

Основное назначение транзисторов — усиление и генерирование электрических колебаний.

Они широко применяются в современной электронной аппаратуре благодаря большим достоинствам по сравнению с электронными лампами. Одним из важнейших достоинств транзисторов является их высокая экономичность. Для нормальной работы транзистора обычно требуются питающие напряжения в десятки раз меньшие, чем для питания электронных ламп. Кроме того, транзисторы не требуют расхода энергии в цепи накала, и, следовательно, в аппаратуре на полупроводниковых триодах надобность в источниках напряжения накала отпадает. Подсчитано, что расход мощности на питание усилительной схемы, собранной на транзисторах, в сотни раз меньше расхода мощности, необходимой для питания аналогичной схемы на электронных лампах.

По своим размерам и весу транзисторы в десятки раз меньше электронных ламп. Они обладают также высокой механической прочностью и долговечностью, что значительно повышает надежность работы электронных устройств. К недостаткам существующих типов транзисторов можно отнести некоторый разброс их параметров от образца к образцу, влияние окружающей температуры, ограниченный частотный диапазон, высокий уровень собственных шумов. Поэтому говорить о полной замене электронных ламп полупроводниковыми приборами пока еще рано. Однако даже частичная замена позволяет уменьшить вес и габариты электронной аппаратуры примерно на одну треть при одновременном повышении надежности ее работы и увеличении срока службы.

В настоящее время в электронной аппаратуре используются различные типы полупроводниковых триодов. Каждый из них имеет свои особенности, но принцип работы всех транзисторов аналогичен. Поэтому рассмотрим более подробно работу плоскостного германиевого триода, получившего в современной аппаратуре наибольшее распространение.

Схематическое устройство и условное обозначение плоскостного триода приведены на рис. 139. Основным элементом плоскостного

транзистора является кристалл германия, в котором созданы три области различных проводимостей. Две крайние области всегда обладают проводимостью одинакового типа, противоположного проводимости средней области. На рис. 139, *а* изображен плоскостной транзистор, у которого крайние области обладают электронной проводимостью, а средняя — дырочной. Такие приборы называются триодами типа $n-p-n$. У триода, схематическое изображение которого показано на рис. 139, *б*, крайние области обладают дырочной проводимостью, а средняя — электронной. Такие приборы называются триодами

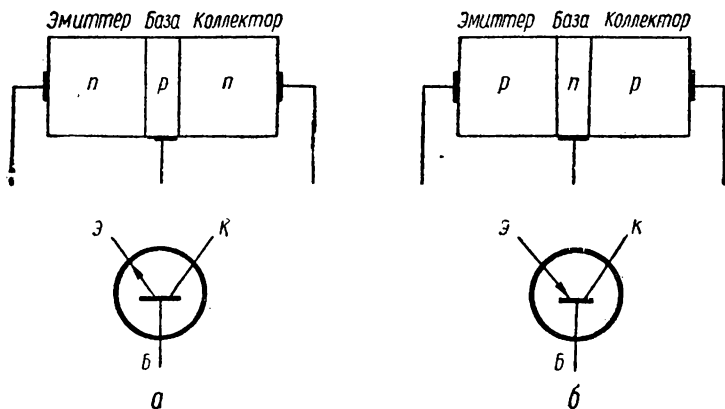


Рис. 139. Схематическое и условное изображение транзистора:
а — транзистор типа $n-p-n$; *б* — транзистор типа $p-n-p$.

типа $p-n-p$. Физические процессы, протекающие в транзисторах обоих типов, аналогичны.

Средняя область транзистора называется *базой*, или *основанием*. Одна крайняя область называется *эмиттером*, другая — *коллектором*. К каждой из областей припаяны выводы, при помощи которых прибор включается в схему. Из рис. 139 видно, что в транзисторе имеются два $p-n$ -перехода: эмиттерный и коллекторный. Расстояние между ними очень мало — порядка $10-20$ мк и менее. Следовательно, область базы представляет собой очень тонкий слой. Кроме того, концентрация атомов примеси в области базы незначительна — во много раз меньше, чем в эмиттере. Это является важнейшим условием работы транзистора.

Электронно-дырочные переходы в транзисторе можно получить различными методами. Наиболее часто употребляется метод сплавления. Схематическое устройство сплавного транзистора типа $p-n-p$ показано на рис. 140, *а*. Базой такого триода служит тонкая пластинка германия типа n , на которую с двух сторон наплавляются кусочки акцепторного вещества (обычно индия). При этом, как указывалось ранее, вблизи границ сплавления в толще германия образуются два слоя с проводимостью типа p , представ-

ляющие собой эмиттер и коллектор триода. Аналогичное устройство имеет и сплавной триод типа $n-p-n$. В нем на пластинку германия типа p с двух сторон наплавляется донорное вещество (обычно сурьма), в результате чего образуются два слоя — эмиттер и коллектор — с проводимостью типа n .

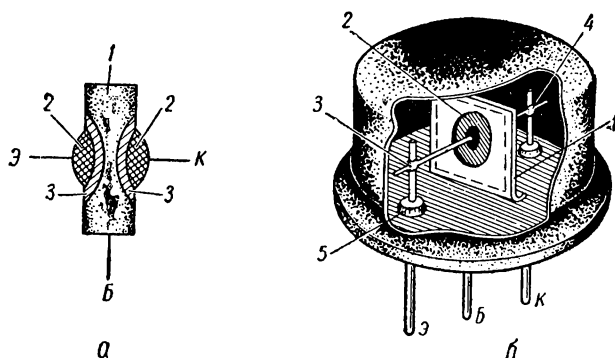


Рис. 140. Плоскостной германиевый транзистор:

a — схематическое устройство (1 — германий типа n ; 2 — индий; 3 — область германия с проводимостью типа p); *б* — конструкция (1 — кристаллодержатель; 2 — пластина германия (база); 3 — вывод эмиттера; 4 — вывод коллектора; 5 — изолятор).

Конструкция плоскостного германиевого триода (в увеличенном виде) приведена на рис. 140, б.

11—2. Принцип работы транзистора

Для рассмотрения принципа работы транзистора обратимся к схеме, приведенной на рис. 141. Из рисунка видно, что транзистор представляет собой по существу два полупроводниковых диода, имеющих одну общую область — базу, причем к эмиттерному $p-n$ -переходу приложено напряжение E_1 в прямом (пропускном) направлении, а к коллекторному переходу приложено напряжение E_2 в обратном направлении. Обычно $|E_2| \gg |E_1|$. При замыкании ключей K_1 и K_2 через эмиттерный $p-n$ -переход пройдет прямой ток, создаваемый направленным движением основных носителей заряда: дырок эмиттера (на рис. 141 дырки показаны светлыми кружками, а электроны — темными) и электронов базы. Путь тока: $+E_1$, mA_1 , эмиттер, база, mA_2 , ключи K_2 и K_1 , $-E_1$.

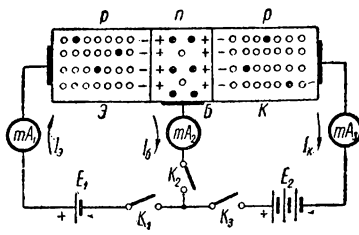


Рис. 141. Схема включения транзистора типа $p-n-p$.

Если ключ K_1 разомкнуть, а ключи K_2 и K_3 замкнуть, то в цепи пройдет незначительный обратный ток, вызываемый направленным движением неосновных носителей заряда — дырок базы и электронов коллектора. Путь тока: $+E_2$, ключи K_3 и K_2 , mA_2 , база, коллектор, mA_3 , $-E_2$.

Таким образом, участки эмиттер — база и база — коллектор ведут себя как обычные полупроводниковые диоды.

Рассмотрим теперь прохождение тока в цепях транзистора при замыкании всех трех ключей. Так как к участку эмиттер — база приложено напряжение в прямом направлении, сопротивление эмиттерного $p-n$ -перехода уменьшается и через него проходит прямой ток, обусловленный перемещением дырок из эмиттера в базу и электронов из базы в эмиттер. Если бы концентрация дырок и электронов в базе и эмиттере была одинаковой, то прямой ток через эмиттерный переход создавался бы перемещением одинакового числа дырок и электронов в противоположных направлениях. Но в транзисторах, как было сказано выше, концентрация носителей заряда в базе значительно меньше, чем в эмиттере. Это приводит к тому, что число дырок, поступающих из эмиттера в базу, во много раз превышает число электронов, движущихся в противоположном направлении. Следовательно, почти весь ток через эмиттерный $p-n$ -переход обусловлен дырками.

Дырки, попав в базу, для которой они являются неосновными носителями заряда, начинают рекомбинировать с электронами. Но рекомбинация процесс не мгновенный. Поэтому почти все дырки успевают пройти через тонкий слой базы и достигнуть коллекторного $p-n$ -перехода прежде, чем произойдет рекомбинация. Подойдя к коллектору, дырки начинают испытывать действие электрического поля, созданного источником напряжения E_2 . Это поле для дырок является ускоряющим, и поэтому они быстро втягиваются из базы в коллектор и участвуют в создании тока коллектора. Цепь коллекторного тока: $+E_2$, ключи K_3 и K_1 , E_1 , mA_1 , эмиттер, база, коллектор, mA_3 , $-E_2$.

Принимая во внимание малую степень рекомбинации дырок с электронами в области базы, можно считать ток коллектора I_k примерно равным току эмиттера I_s

$$I_k \approx I_s. \quad (11-1)$$

Те дырки, которые все же рекомбинируют в области базы с электронами, участвуют в создании тока базы I_6 , проходящего в цепи $+E_1$, mA_1 , эмиттер, база, mA_2 , ключи K_2 и K_1 , $-E_1$. Следовательно, ток базы равен разности токов эмиттера и коллектора

$$I_6 = I_s - I_k. \quad (11-2)$$

Нетрудно заметить также, что ток эмиттера, измеряемый миллиамперметром mA_1 , равен сумме токов базы и коллектора, измеряемых соответственно приборами mA_2 и mA_3 .

Принцип действия транзисторов типа $n-p-n$ не отличается от рассмотренного выше, только в область базы вводятся из эмиттера не дырки, а электроны. Для таких триодов полярность напряжений E_1 и E_2 должна быть противоположна той, которая показана на рис. 141; направление токов также изменится на противоположное, так как они обусловлены в данном случае не дырочной, а электронной проводимостью.

Проводя аналогию между транзистором и ламповым триодом, можно отметить, что эмиттер выполняет функции, аналогичные функциям катода электронной лампы. Процесс введения носителей зарядов из эмиттера в базу часто называют *инъекцией*, *инжекцией* или *впрыскиванием*. Применяются эти термины для того, чтобы отличить данное явление от электронной эмиссии с накаливаемого катода лампы, в результате которой получаются свободные электроны в вакууме или разреженном газе.

Коллектор, к которому движутся носители зарядов в процессе работы транзистора, аналогичен аноду вакуумного триода, а база — управляющей/сетке. При изменении напряжения между базой и эмиттером изменяется количество носителей зарядов, подходящих к коллектору, а следовательно, и величина коллекторного тока.

Следует подчеркнуть, что, сравнивая транзистор с вакуумным триодом, можно говорить лишь об аналогии между ними, но не об их полной эквивалентности, так как физические процессы, происходящие в этих приборах, существенно отличаются друг от друга.

11—3. Усилительные свойства транзистора

Усиление электрических колебаний с помощью транзистора основано на зависимости тока коллектора от величины напряжения, приложенного к участку эмиттер — база. Упрощенная схема усилителя на транзисторе и графики, поясняющие ее работу, приведены на рис. 142.

При отсутствии переменного напряжения $U_{вх}$ (до момента t_1 , рис. 142, а) в цепи эмиттера протекает ток $I_э$ (рис. 142, б), а в цепи коллектора — ток $I_к$ (рис. 142, в), почти равный по величине току $I_э$. Проходя по сопротивлению нагрузки $R_н$, включенному в цепь коллектора, ток $I_к$ создает на нем падение напряжения $U_н = I_к R_н$ (рис. 142, г). При подаче на вход транзистора последовательно с напряжением E_1 переменного напряжения $U_{вх}$ (в момент t_1 , рис. 142, а) эмиттерный ток становится пульсирующим (рис. 142, б). При этом будет изменяться количество дырок, вводимых из эмиттера в базу, а следовательно, и ток $I_к$ в цепи коллектора (рис. 142, в). Этот ток, проходя по сопротивлению нагрузки $R_н$, создает на нем пульсирующее напряжение, повторяющее по форме входной сигнал (рис. 142, г). Переменная составляющая пульсирующего напряжения $U_н$ отделяется с помощью конденсатора C от постоянной составляющей и подается на выход усилителя в виде переменного напряжения $U_{вых}$.

Докажем теперь, что напряжение $U_{\text{вых}}$ получается во много раз больше напряжения $U_{\text{вх}}$. Для этого рассмотрим упрощенную

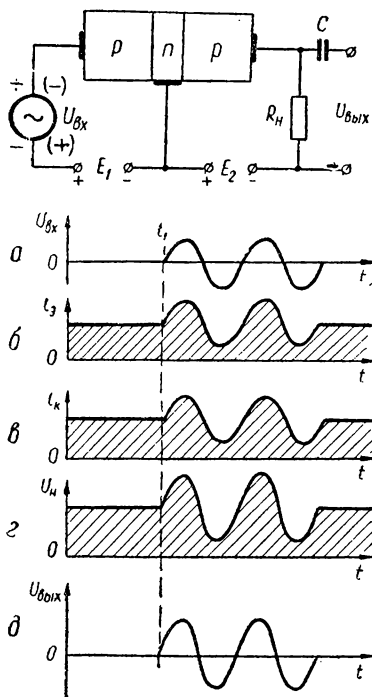


Рис. 142. Усиление электрических колебаний с помощью транзистора.

который создается носителями заряда эмиттера.

При прохождении тока через коллекторный переход его сопротивление уменьшится и будет изменяться: чем больше ток I_k , тем меньше оказывается сопротивление r_k , и наоборот. Напряжение источника E_2 при этом будет перераспределяться между r_k и R_n , что при достаточно большой величине R_n (порядка нескольких килоом) позволяет получить напряжение $U_{\text{вых}}$, во много раз превышающее напряжение $U_{\text{вх}}$. Таким образом, усиление напряжения с помощью транзистора происходит за счет энергии источников питания. Сам транзистор выполняет функцию своеобразного регулятора, который под воздействием слабого входного сигнала, введенного в цепь с малым сопротивлением, изменяет ток в выходной цепи, обладающей большим сопротивлением.

эквивалентную схему коллекторной цепи транзистора по постоянному току, приведенную на рис. 143. Из этой схемы видно, что в усилительном каскаде с транзистором напряжение источника E_2 делится между сопротивлением нагрузки R_n и внутренним сопротивлением транзистора, которое он оказывает постоянному току коллектора. Это сопротивление приблизительно можно считать равным сопротивлению коллекторного перехода r_k , хотя в действительности в него входит также сопротивление эмиттерного перехода и базы. Однако сопротивление эмиттерного перехода, к которому приложено напряжение E_1 в прямом направлении, и сопротивление тонкого слоя базы обычно значительно меньше, чем сопротивление r_k , и поэтому ими можно пренебречь.

Под действием переменного напряжения сигнала ток эмиттера начнет изменяться. Это вызовет соответствующие изменения тока коллектора, ко-

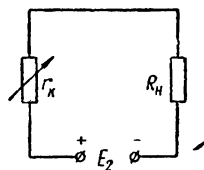


Рис. 143. Упрощенная эквивалентная схема коллекторной цепи транзистора по постоянному току.

Число, показывающее, во сколько раз переменное напряжение на выходе усилителя превышает напряжение сигнала на входе, называется *коэффициентом усиления по напряжению* и обозначается K_u

$$K_u = \frac{U_{\text{вых}}}{U_{\text{вх}}}. \quad (11-3)$$

По закону Ома напряжение $U_{\text{вых}}$ и $U_{\text{вх}}$ можно выразить в виде произведения соответствующих токов и сопротивлений

$$U_{\text{вых}} = I_{\text{к}} \cdot R_{\text{н}}, \quad (11-4)$$

$$U_{\text{вх}} = I_{\text{э}} \cdot r_{\text{э}}, \quad (11-5)$$

где $r_{\text{э}}$ — сопротивление входной цепи транзистора (сопротивление участка эмиттер — база).

Подставляя выражения (11-4) и (11-5) в формулу (11-3), получим

$$K_u = \frac{I_{\text{к}} \cdot R_{\text{н}}}{I_{\text{э}} \cdot r_{\text{э}}}.$$

Так как $I_{\text{к}} \approx I_{\text{э}}$, то

$$K_u \approx \frac{R_{\text{н}}}{r_{\text{э}}}. \quad (11-6)$$

Нетрудно убедиться, что транзистор усиливает не только напряжение, но и мощность входного сигнала. Коэффициент усиления по мощности (K_p) можно приближенно подсчитать по формуле

$$K_p = \frac{P_{\text{вых}}}{P_{\text{вх}}} = \frac{I_{\text{к}}^2 R_{\text{н}}}{I_{\text{э}}^2 r_{\text{э}}} \approx \frac{R_{\text{н}}}{r_{\text{э}}}. \quad (11-7)$$

Следовательно, коэффициенты усиления каскада на транзисторе по напряжению и по мощности равны отношению сопротивления нагрузки в цепи коллектора к сопротивлению цепи эмиттера. Поэтому полупроводниковые триоды и называют *транзисторами*, т. е. *трансформаторами сопротивлений*.

Из рассмотрения работы транзистора в качестве усилителя ясно, что ток $I_{\text{к}}$ в выходной цепи всегда несколько меньше тока $I_{\text{э}}$, протекающего во входной цепи. Поэтому транзистор, включенный по схеме, приведенной на рис. 142, усиления по току не дает. Тем не менее одним из основных показателей, характеризующих усилительные свойства транзистора, является так называемый *коэффициент усиления по току* (K_i), представляющий собой отношение приращения выходного тока к вызвавшему его приращению входного тока. Для приведенной схемы коэффициент усиления по току, равный

$$K_i = \frac{\Delta I_{\text{к}}}{\Delta I_{\text{э}}}, \quad (11-8)$$

всегда меньше единицы.

Обычно отношение $\frac{\Delta I_K}{\Delta I_E}$ обозначается α . У различных типов отечественных плоскостных транзисторов коэффициент усиления по току α лежит в пределах 0,9—0,99. Чем больше коэффициент α , тем меньше отличаются между собой токи коллектора и эмиттера и, как следует из выражений (11—6) и (11—7), тем большими оказываются коэффициенты усиления транзистора по напряжению и по мощности.

Сравнивая между собой выражения (11—6), (11—7) и (11—8), нетрудно заключить, что коэффициент усиления по мощности для транзистора равен произведению коэффициентов усиления по току и по напряжению

$$K_p = K_i K_u. \quad (11-9)$$

11—4. Схемы включения транзисторов

Транзистор может быть включен в усилительный каскад тремя различными способами (рис. 144): а) по схеме с общей базой; б) по схеме с общим эмиттером; в) по схеме с общим коллектором. Такая

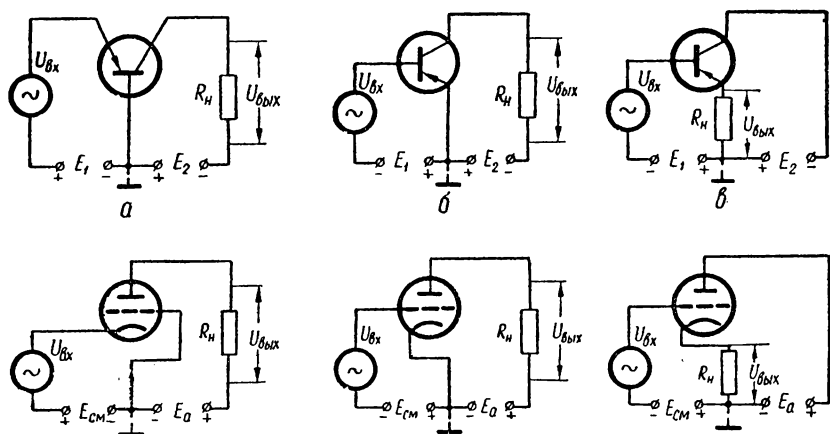


Рис. 144. Схемы включения транзисторов и их ламповые аналоги:
 а — с общей базой и с общей сеткой; б — с общим эмиттером и с общим катодом; в — с общим коллектором и с общим анодом.

терминология указывает, какой из электродов транзистора является общим для его входной и выходной цепей. Иногда эти схемы называют соответственно схемами с заземленной базой, с заземленным эмиттером и с заземленным коллектором, поскольку общая точка обычно соединяется с металлическим корпусом устройства и таким образом оказывается заземленной.

Различные схемы включения транзисторов имеют разные свойства, но принцип усиления электрических колебаний в них одинаков.

В рассмотренной на рис. 142 схеме работы транзистора в качестве усилителя общей точкой входной и выходной цепей является база. В этой схеме входной сигнал прикладывается к выводам эмиттера и базы, а источник питания коллектора и сопротивление нагрузки включены между выводами коллектора и базы. Усилительный каскад, собранный по схеме с общей базой, обладает малым входным сопротивлением (порядка десятков ом) и большим выходным сопротивлением (сотни килоом). Низкое входное сопротивление каскада с общей базой является его существенным недостатком. В многокаскадных схемах это сопротивление оказывает шунтирующее действие на сопротивление нагрузки предыдущего каскада и резко снижает усиление этого каскада по напряжению и мощности. Поэтому между каскадами, собранными по схеме с общей базой, приходится включать специальные согласующие устройства (например, понижающие трансформаторы), что ограничивает применение данной схемы в усилительных устройствах.

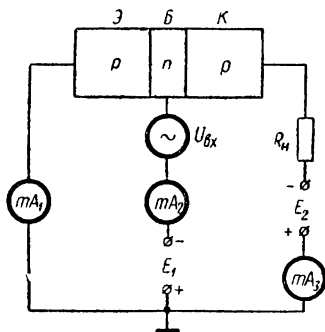


Рис. 145. Схема включения транзистора с общим эмиттером.

Схема с общей базой дает усиление по напряжению до $100 \div 200$ и такого же порядка усиление по мощности, так как коэффициент усиления по току α в данном случае немного меньше единицы.

В схеме с общим эмиттером, показанной на рис. 144, б, входной сигнал также прикладывается к выводам эмиттера и базы, а источник питания коллектора и последовательно соединенное с ним нагрузочное сопротивление включены между выводами эмиттера и коллектора. Таким образом, эмиттер является общим электродом для входной и выходной цепей.

Основной особенностью схемы с общим эмиттером является то, что входным током в ней является не ток эмиттера, а малый по величине ток базы I_b (рис. 145).

Нетрудно заметить, что приведенная на рис. 145 схема полностью соответствует схеме, показанной на рис. 144, б. Исключение составляют лишь миллиамперметры mA_1 , mA_2 и mA_3 , включенные в цепь эмиттера, базы и коллектора транзистора. Физические процессы, происходящие в этой схеме, ничем не отличаются от процессов, рассмотренных ранее для схемы с общей базой. Напряжение источника E_1 приложено к эмиттерному переходу в прямом направлении и обуславливает инжекцию дырок из эмиттера в базу. К коллекторному переходу приложено напряжение $E_1 - E_2$. Обычно E_2 выбирается значительно большей величины, чем E_1 . Поэтому напряжение, приложенное к коллекторному переходу,

является обратным. Рассмотрим теперь прохождение токов в цепях транзистора.

Дырки, прошедшие через эмиттерный переход в базу, обуславливают ток эмиттера $I_э$. Под воздействием этого тока в цепи коллектора протекает ток $I_к$, почти равный по величине току $I_э$. Путь коллекторного тока: $+E_2$, mA_3 , mA_1 , эмиттер, база, коллектор, сопротивление нагрузки R_n , $-E_2$. Небольшая часть дырок рекомбинируется в области базы с электронами и образует ток базы $I_б$, протекающий в цепи $+E_1$, mA_1 , эмиттер, база, источник входного сигнала, mA_2 , $-E_1$. Таким образом, прибор mA_1 показывает сумму токов $I_к + I_б$, т. е. эмиттерный ток $I_э$, mA_2 показывает ток базы, а mA_3 — ток коллектора. Через источник входного сигнала, следовательно, проходит только небольшой ток базы $I_б = I_э - I_к$. Поэтому входное сопротивление каскада с общим эмиттером значительно выше, чем входное сопротивление каскада с общей базой, и составляет сотни и тысячи ом. Выходное сопротивление в схеме с общим эмиттером также достаточно велико (порядка десятков килоом). Это позволяет в многокаскадном усилителе на транзисторах, включенных по схеме с общим эмиттером, обойтись без специальных согласующих устройств между каскадами.

Важнейшим достоинством схемы с общим эмиттером является большое усиление по току. В данном случае коэффициент усиления по току равен отношению приращения тока коллектора к приращению тока базы, т. е.

$$K_I = \frac{\Delta I_к}{\Delta I_б}. \quad (11-10)$$

Обычно отношение $\frac{\Delta I_к}{\Delta I_б}$ обозначается буквой β . Такое обозначение вводится для того, чтобы подчеркнуть различие между коэффициентами усиления по току для схем с общей базой и общим эмиттером. Найдем соотношение между α и β . Для этого воспользуемся равенством $\Delta I_б = \Delta I_э - \Delta I_к$ и подставим его вместо $\Delta I_б$ в формулу (11-10)

$$\beta = \frac{\Delta I_к}{\Delta I_б} = \frac{\Delta I_к}{\Delta I_э - \Delta I_к} = \frac{1}{\frac{\Delta I_э}{\Delta I_к} - 1}.$$

Учитывая, что $\frac{\Delta I_э}{\Delta I_к} = \frac{1}{\alpha}$, получим

$$\beta = \frac{\alpha}{1 - \alpha}. \quad (11-11)$$

Если, например, $\alpha = 0,98$, то $\beta = \frac{0,98}{1 - 0,98} = 49$. Таким образом, в схеме с общим эмиттером можно получить коэффициент усиления по току порядка нескольких десятков.

Следует отметить, что коэффициент усиления по напряжению для схемы с общим эмиттером имеет примерно такую же величину, как и для схемы с общей базой. Объясняется это тем, что выходное напряжение каскада обусловлено произведением переменного коллекторного тока I_k на сопротивление нагрузки R_n , т. е. зависит от тех же величин, что и в схеме с общей базой. Чем больше коэффициент α , тем ближе по своей величине коллекторный ток к току эмиттера, тем выше усиление по напряжению.

Из изложенного выше очевидно, что коэффициент усиления по мощности для схемы с общим эмиттером, равный

$$K_p = K_i K_u = \beta K_u,$$

оказывается значительно выше, чем для схемы с общей базой и может достигать нескольких тысяч.

Ценным свойством каскада с общим эмиттером следует также считать возможность питания его от одного источника напряжения, поскольку на базу и на коллектор подаются питающие напряжения одного знака. Поэтому схема с общим эмиттером в настоящее время является наиболее распространенной.

В схеме с общим коллектором (рис. 144, в) входной сигнал подается на участок база — коллектор, а выходной сигнал снимается с сопротивления нагрузки, включенного между эмиттером и коллектором. Общий электродом для цепей входа и выхода служит коллектор. Входным током в этой схеме, как и в схеме с общим эмиттером, является ток базы, а выходным током, протекающим по сопротивлению нагрузки является ток эмиттера. Поэтому коэффициент усиления по току для этой схемы может быть найден по формуле

$$K_i = \frac{\Delta I_э}{\Delta I_б} = \frac{\Delta I_э}{\Delta I_э - \Delta I_k} \frac{1}{1 - \frac{\Delta I_k}{\Delta I_э}} = \frac{1}{1 - \alpha} \quad (11-12)$$

Например, при $\alpha = 0,98$

$$K_i = \frac{1}{1 - 0,98} = 50.$$

Таким образом, коэффициент усиления по току в этой схеме больше, чем в схеме с общим эмиттером ($K_i = \beta + 1$). Входное сопротивление схемы с общим коллектором очень велико (порядка десятков и сотен килоом), а выходное сопротивление, наоборот, мало и составляет лишь десятки или сотни ом. Поэтому каскад с общим коллектором имеет коэффициент усиления по напряжению меньше единицы ($K_u = 0,9-0,95$), а усиление по мощности несколько меньше коэффициента усиления по току. Данная схема применяется значительно реже, чем две предыдущие, и служит в основном для согласования сопротивлений между отдельными каскадами усилителя или между выходом усилителя и низкоомной нагрузкой.

11—5. Эквивалентные схемы и параметры транзисторов

Для анализа работы транзистора часто пользуются его эквивалентными схемами. В этих схемах транзистор рассматривается как устройство, имеющее два входных и два выходных зажима (рис. 146) и обладающее способностью усиливать мощность подводимых к нему колебаний. Такое устройство в электронике получило название *активного четырехполюсника*.

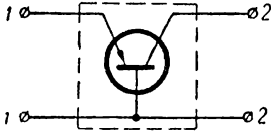


Рис. 146. Транзистор — активный четырехполюсник.

Устройства, содержащие два входных и два выходных зажима, часто встречаются в электронных и полупроводниковых схемах. Однако многие из них (например, трансформатор) не могут усиливать мощность электрических колебаний. Такие четырехполюсники в отличие от активных называются *пассивными*.

Следует учесть, что транзистор фактически имеет только три вывода (эмиттер, база, коллектор). Поэтому один из них является общим для цепей входа и выхода, что соответствует рассмотренным выше трем возможным схемам включения транзистора.

При построении эквивалентной схемы транзистора исходят из того, что эмиттерный и коллекторный переходы, так же, как и

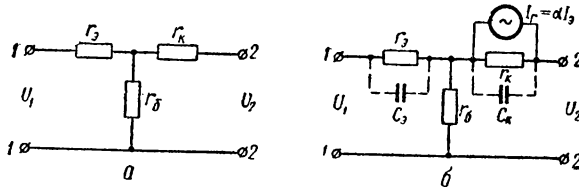


Рис. 147. Эквивалентные схемы транзистора:

а — без дополнительного генератора тока; б — с дополнительным генератором тока.

тонкий слой базы, обладают некоторыми определенными сопротивлениями, равными соответственно $r_э$, $r_к$ и $r_б$. Поэтому, казалось бы, простейшей эквивалентной схемой транзистора должна служить цепь, составленная из сопротивлений $r_э$, $r_б$ и $r_к$, соединенных между собой, как показано на рис. 147, а. У современных транзисторов величина $r_э$ составляет обычно десятки ом, $r_б$ — сотни ом, а $r_к$ — сотни тысяч ом. Поэтому ясно, что, подключив ко входу такой схемы (к зажимам 1—1) источник входного сигнала, мы создадим в сопротивлении $r_к$ и в нагрузке, подключенной к выходным клеммам 2—2, неизмеримо меньший ток, чем ток в сопротивлении $r_э$ и в цепи базы. Такой режим не соответствует реальным условиям работы транзистора, обладающего усилительными свойствами. В действительности, как известно, через сопротивление нагрузки

транзистора проходит ток $I_k = \alpha I_3$. Поэтому необходимо изменить распределение тока между ветвями эквивалентной схемы. Это можно сделать, подключив параллельно сопротивлению r_k в эквивалентной схеме на рис. 147 дополнительный генератор, вырабатывающий ток $I_r = \alpha I_3$ (рис. 147, б). Прохождение этого тока в выходной цепи соответствует реальным условиям работы схемы и позволяет отразить усилительные свойства транзистора.

Сопротивления r_3 , r_6 и r_k , входящие в эквивалентную схему, а также коэффициент усиления по току α получили название *первичных параметров транзистора*. Эти параметры характеризуют электрические свойства самого транзистора независимо от схемы его включения. Приведенная на рис. 147 эквивалентная схема соответствует транзистору, включенному по схеме с общей базой, но значения сопротивлений r_3 , r_6 и r_k , а также коэффициента α остаются в качестве первичных параметров и для других схем включения. Например, для схемы с общим эмиттером надо только поменять местами r_3 и r_6 .

Помимо первичных параметров, транзисторы характеризуются также *вторичными параметрами*, которые для разных схем включения имеют различные значения. Вторичные параметры характеризуют связь между переменными составляющими напряжений и токов на входе (u_1 и i_1) и выходе (u_2 и i_2) транзистора. Существуют несколько систем вторичных параметров. Но все они основаны на том, что транзистор рассматривается как активный четырехполюсник. Наибольшее распространение получила система так называемых смешанных (или гибридных) параметров, обозначаемых буквой h .

Из теории электрических цепей известно, что четырехполюсник (рис. 146) можно описать двумя уравнениями

$$\begin{aligned} u_1 &= h_{11} \cdot i_1 + h_{12} u_2; \\ i_2 &= h_{21} \cdot i_1 + h_{22} u_2. \end{aligned} \quad (11-13)$$

Коэффициенты h_{11} , h_{12} , h_{21} , h_{22} , входящие в эти уравнения, называются h -параметрами транзистора. Каждый из этих параметров имеет определенный физический смысл. В частности, параметр h_{11} представляет собой величину *входного сопротивления* транзистора при коротком замыкании на выходе ($u_2 = 0$) и измеряется в омах

$$h_{11} = \frac{u_1}{i_1} \text{ при } u_2 = 0. \quad (11-14)$$

Параметр h_{12} равен отношению входного напряжения u_1 к выходному u_2 при разомкнутой входной цепи ($i_1 = 0$)

$$h_{12} = \frac{u_1}{u_2} \text{ при } i_1 = 0. \quad (11-15)$$

При этом предполагается, что источник напряжения u_2 подключен к выходным зажимам транзистора, а напряжение u_1 измеряется

на входных зажимах. Следовательно, параметр h_{12} характеризует степень влияния выходного напряжения на режим входной цепи транзистора. Поэтому он называется *коэффициентом обратной связи*.

Параметр h_{21} равен отношению выходного тока к входному при короткозамкнутом выходе ($u_2 = 0$)

$$h_{21} = \frac{i_2}{i_1} \text{ при } u_2 = 0. \quad (11-16)$$

Этот параметр называется *коэффициентом усиления по току*.

Параметр h_{22} представляет собой *выходную проводимость* транзистора при разомкнутых входных зажимах ($i_1 = 0$) и измеряется в микромо (мкмо)¹

$$h_{22} = \frac{i_2}{u_2} \text{ при } i_1 = 0. \quad (11-17)$$

Между h -параметрами и первичными параметрами транзистора существует определенная зависимость. Для схемы с общей базой эта зависимость выражается соотношениями

$$\left. \begin{aligned} r_{\Sigma} &= h_{11} - \frac{h_{12}}{h_{22}} (1 + h_{21}); \\ r_{\Sigma} &= \frac{h_{12}}{h_{22}}; \quad r_K = \frac{1}{h_{22}}; \\ \alpha &= -h_{21}. \end{aligned} \right\} \quad (11-18)$$

Если известны h -параметры для схемы с общей базой, то легко путем пересчета получить h' -параметры для схемы с общим эмиттером и h'' -параметры для схемы с общим коллектором

$$\left. \begin{aligned} h'_{11} &\approx \frac{h_{11}}{1 + h_{21}}; \\ h'_{12} &\approx \frac{h_{11}h_{22} - h_{12}(h_{21} + 1)}{1 + h_{21}}; \\ h'_{21} &\approx -\frac{h_{21}}{1 + h_{21}}; \\ h'_{22} &\approx \frac{h_{22}}{1 + h_{21}}. \end{aligned} \right\} \quad (11-19)$$

$$\left. \begin{aligned} h''_{11} &\approx \frac{h_{11}}{1 + h_{21}}; \quad h''_{12} \approx 1; \\ h''_{21} &\approx -\frac{1}{1 + h_{21}}; \\ h''_{22} &\approx \frac{h_{22}}{1 + h_{21}}. \end{aligned} \right\} \quad (11-20)$$

¹ 1 мкмо = 1 мка/в.

Кроме описанных выше основных параметров транзисторов, в паспортах указываются и другие параметры. Наиболее важными из них являются:

$I_{к0}$ — *обратный ток коллектора*. Этот ток проходит через коллекторный $p-n$ -переход, к которому приложено обратное напряжение, при разомкнутой цепи эмиттера. По своей природе обратный ток коллектора аналогичен обратному току полупроводникового диода. Чем меньше обратный ток коллектора, тем лучше транзистор. Увеличение $I_{к0}$, в частности при повышении температуры, может нарушить работоспособность транзистора (при повышении температуры на каждые 10°C обратный ток увеличивается примерно вдвое). При нормальной температуре ($20-25^\circ\text{C}$) обратный ток коллектора не превышает нескольких микроампер.

f_α или f_β — *предельная частота усиления по току* — частота, при которой коэффициент усиления по току α или β уменьшается до 0,7 (в $\sqrt{2}$ раз) своего значения на низких частотах.

C_k — *емкость коллекторного перехода*. Эта емкость измеряется между выводами коллектора и базы при разомкнутой цепи эмиттера. Чем меньше емкость C_k , тем лучше работает транзистор в диапазоне высоких частот.

$P_{к, \text{доп}}$ — *допустимая мощность, рассеиваемая коллектором*. Этот параметр является основным критерием, определяющим принадлежность транзистора к той или иной группе. Маломощными считаются транзисторы, у которых допустимая мощность рассеивания на коллекторе не превышает 250 мвт. Транзисторы средней мощности имеют $P_{к, \text{доп}}$ в пределах от 250 мвт до 5 вт, а к транзисторам большой мощности относятся приборы с мощностью рассеивания на коллекторе свыше 5 вт.

Мощность, рассеиваемая коллектором — превращающаяся в тепло мощность тока коллектора, бесполезно расходуемая от источника питания на нагревание транзистора. В общем случае мощность, рассеиваемая транзистором, складывается из мощностей, рассеиваемых каждым $p-n$ -переходом

$$P = P_k + P_\epsilon = I_k U_k + I_\epsilon U_\epsilon,$$

где напряжения коллектора U_k и эмиттера U_ϵ отсчитаны относительно базы.

Однако в усилительном режиме у плоскостных транзисторов $I_k \approx I_\epsilon$, и поэтому

$$P \approx I_k (U_k + U_\epsilon).$$

Учитывая, что обычно $U_\epsilon \ll U_k$, можно считать, что

$$P \approx P_k = I_k U_k.$$

При недостаточном теплоотводе разогрев коллекторного перехода может привести к резкому увеличению тока I_k . Это, в свою очередь, приводит к возрастанию мощности, рассеиваемой на коллекторе, и к еще большему нагреву коллекторного перехода. Процесс при-

обретает лавинообразный характер, и транзистор необратимо выходит из строя. Следует учитывать также, что при повышении температуры окружающей среды предельно допустимая мощность $P_{к, доп}$ уменьшается. Поэтому необходимо тщательно следить за режимом работы транзисторов, исключая внешний нагрев прибора, особенно работающего при повышенных мощностях.

В паспортах транзисторов указываются также предельно допустимые эксплуатационные данные, которые необходимо учитывать в целях предотвращения преждевременного выхода прибора из строя. Ограничения накладываются на обратные напряжения, прикладываемые к коллекторному и эмиттерному переходам, на диапазон рабочих температур окружающей среды или корпуса транзистора и на максимальные значения токов в цепях электродов.

11—6. Статические характеристики транзисторов

Как и электронные лампы, транзисторы являются нелинейными элементами электрических цепей, и их параметры в значительной степени зависят от режима работы. Поэтому приведенные выше h -параметры с достаточной точностью характеризуют электрические свойства транзистора лишь при усилении малых по величине сигналов. В случае использования транзисторов при больших сигналах малосигнальные h -параметры неприменимы. В этих условиях рекомендуется пользоваться не средними типовыми данными, приводимыми в справочниках, а графическим определением режима и параметров транзисторов по их вольт-амперным характеристикам.

Статические характеристики транзисторов, как и статические характеристики электронных ламп, связывают между собой токи и напряжения различных электродов прибора. Построение статических характеристик трехэлектродной электронной лампы упрощается благодаря тому, что чаще всего лампа работает без сеточных токов. Статические характеристики в этом случае характеризуют зависимость лишь между тремя величинами — напряжением на сетке, напряжением на аноде и анодным током. Поэтому для электровакуумного триода имеется два семейства статических характеристик — анодно-сеточные и анодные, причем для расчетов усилительных схем обычно используется только одно из указанных семейств. Для транзисторов построение статических характеристик усложняется необходимостью учета тока входной цепи, а также наличием трех возможных способов включения транзистора в схему. В транзисторах взаимно связаны всегда четыре величины: входные и выходные токи и напряжения. Одним семейством характеристик эту зависимость показать нельзя. Поэтому для расчетов необходимо пользоваться двумя семействами статических характеристик транзистора. Наибольшее распространение при расчете транзисторных схем получили так называемые входные и выходные статические характеристики, причем в справочниках обычно приводятся эти

характеристики для двух основных схем включения — с общей базой и с общим эмиттером.

Для схемы с общей базой входная характеристика представляет собой зависимость тока эмиттера от напряжения между эмиттером и базой ($U_{б.э}$) при постоянной величине напряжения между базой и коллектором ($U_{б.к}$)

$$I_э = f(U_{б.э}) \text{ при } U_{б.к} = \text{const.}$$

Типичные входные статические характеристики транзистора для схемы с общей базой приведены на рис. 148, а. Из рисунка видно,

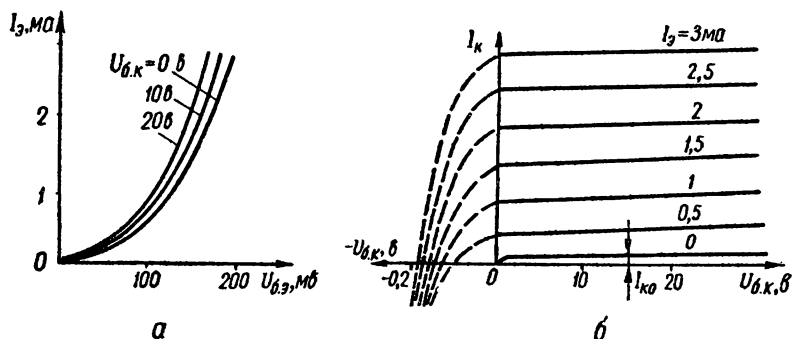


Рис. 148. Статические характеристики транзистора для схемы с общей базой:

а — входные; б — выходные.

что входные характеристики аналогичны вольт-амперной характеристике $p-n$ -перехода для прямого тока, причем изменение напряжения $U_{б.к}$ слабо влияет на ток эмиттера. Это объясняется тем, что электрическое поле, создаваемое напряжением $U_{б.к}$, в схеме с общей базой почти полностью сосредоточено в коллекторном переходе и оказывает незначительное влияние на прохождение зарядов через эмиттерный переход.

Выходные характеристики транзистора для схемы с общей базой изображают зависимость тока коллектора от напряжения на коллекторе при постоянных значениях эмиттерного тока $I_э$

$$I_к = f(U_{б.к}) \text{ при } I_э = \text{const.}$$

Примерный вид выходных статических характеристик транзистора изображен на рис. 148, б. Из рисунка видно, что при нормальной рабочей полярности напряжения $U_{б.к}$, когда коллекторный переход работает в обратном направлении, выходные характеристики представляют собой почти прямые линии, идущие с очень небольшим наклоном. Это объясняется тем, что коллекторный ток создается за счет диффузии носителей зарядов, проникающих от эмиттера через базу к коллектору. Поэтому величина коллекторного тока определяется главным образом величиной тока эмиттера и незна-

чительно зависит от напряжения $U_{б.к}$, приложенного к коллекторному переходу. Из рисунка видно, что даже при $U_{б.к} = 0$ ток коллектора может иметь достаточно большую величину, зависящую от величины тока эмиттера.

При $I_э = 0$ характеристика выходит из начала координат, а затем идет на небольшой высоте почти параллельно оси абсцисс. Она соответствует обычной характеристике обратного тока $p-n$ -перехода. Ток $I_{к.о}$, определяемый такой характеристикой, является неуправляемым и представляет собой один из параметров транзистора. Из рис. 148, б видно также, что при перемене полярности

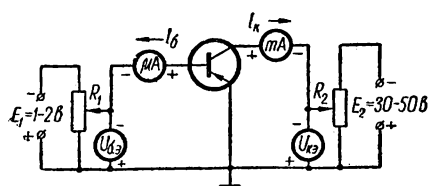


Рис. 149. Схема для снятия характеристик транзистора.

напряжения $U_{б.к}$ ток I_k резко уменьшается и достигает нуля при значениях напряжения $U_{б.к}$ порядка десятых долей вольта. В этом случае коллекторный переход работает в прямом направлении и напряжение $U_{б.к}$ противодействует диффузии носителей зарядов, идущих от эмиттера к коллектору. При дальнейшем увеличении

напряжения, приложенного к коллекторному переходу, ток через этот переход резко возрастает и идет в направлении, обратном нормальному рабочему току. При этом транзистор может выйти из строя. Поэтому участки характеристик, показанные на рис. 148, б штриховыми линиями, не являются рабочими и обычно на графиках не приводятся.

Рассмотрим теперь статические характеристики транзистора, включенного по схеме с общим эмиттером. Для этой схемы статической входной характеристикой является график зависимости тока базы $I_б$ от напряжения база — эмиттер ($U_{б.э}$) при постоянном значении напряжения коллектор — эмиттер ($U_{к.э}$)

$$I_б = f(U_{б.э}) \text{ при } U_{к.э} = \text{const.}$$

Выходные характеристики транзистора для схемы с общим эмиттером представляют собой зависимости тока коллектора от напряжения между коллектором и эмиттером при постоянном токе базы

$$I_k = f(U_{к.э}) \text{ при } I_б = \text{const.}$$

Входные и выходные характеристики могут быть сняты с помощью схемы, приведенной на рис. 149. Типичные выходные и входные статические характеристики транзистора для схемы с общим эмиттером показаны на рис. 150.

Пользуясь семействами выходных и входных статических характеристик, нетрудно определить значения h -параметров транзистора для заданного рабочего режима. Для примера найдем из характеристик на рис. 150 h' -параметры транзистора по схеме с об-

щим эмиттером. В этом случае в формулах (11—14) ÷ (11—17) величины i_1 , u_1 , i_2 , u_2 соответственно равны I_6 , $U_{6.э}$, I_k , $U_{к.э}$.

Допустим, что транзистор работает при напряжении между коллектором и эмиттером $U_{к.э} = 5$ в, а ток базы составляет $I_6 = 40$ мка. Этому режиму в семействе выходных характеристик транзистора соответствует точка А. Для этой точки определим пара-

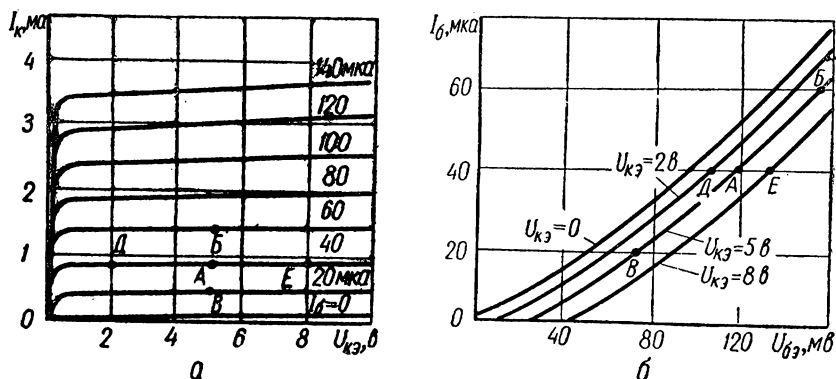


Рис. 150. Статические характеристики транзистора для схемы с общим эмиттером:

а — выходные; б — входные.

метры h'_{21} и h'_{22} . Взяв приращения ΔI_k и ΔI_6 между точками Б и В при постоянном напряжении $U_{к.э}$, найдем

$$h'_{21} = \beta = \frac{\Delta I_k}{\Delta I_6} \approx \frac{1 \text{ ма}}{40 \text{ мка}} = 25.$$

Отношение приращений ΔI_k к $\Delta U_{к.э}$ между точками Е и Д при постоянном токе I_6 представляет собой параметр h_{22}

$$h'_{22} = \frac{\Delta I_k}{\Delta U_{к.э}} \approx \frac{0,2 \text{ ма}}{6 \text{ в}} = \frac{0,2 \cdot 10^{-3} \text{ а}}{6 \text{ в}} = 33,3 \cdot 10^{-6} \text{ мо} = 33,3 \text{ мкмо}.$$

Остальные два параметра можно найти из входных характеристик на рис. 150, б. Здесь точка А соответствует тому же режиму, что и на выходных характеристиках. По приращениям ΔI_6 и $\Delta U_{6.э}$ между точками Б и В при постоянном $U_{к.э}$ находим

$$h'_{11} = \frac{\Delta U_{6.э}}{\Delta I_6} \approx \frac{70 \text{ мв}}{40 \text{ мка}} \approx 1750 \text{ ом}.$$

Параметр h'_{12} определяем с помощью приращений $\Delta U_{6.э}$ и $\Delta U_{к.э}$ между точками Д и Е при постоянном токе базы I_6

$$h'_{12} = \frac{\Delta U_{6.э}}{\Delta U_{к.э}} = \frac{30 \text{ мв}}{6 \text{ в}} = 5 \cdot 10^{-3}.$$

11—7. Температурные и частотные свойства транзисторов

Диапазон рабочих температур транзисторов, определяемый свойствами p — n -переходов, такой же, как и у полупроводниковых диодов. Особенно сильно на работу транзисторов влияет нагрев и, менее существенно, охлаждение (до -60°C). Исследования показывают, что при нагреве от 20 до 60°C параметры плоскостных транзисторов изменяются следующим образом: r_k падает примерно вдвое, r_b — на 15—20%, а r_z возрастает на 15—20%.

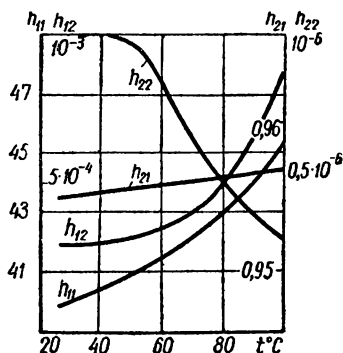


Рис. 151. Влияние температуры на h -параметры малоомощного плоскостного транзистора (для схемы с общей базой).

Представление о влиянии нагрева на h -параметры дают графики на рис. 151, построенные для малоомощного плоскостного транзистора, включенного по схеме с общей базой. Кроме изменения значения основных параметров транзистора, нагрев вызывает смещение выходных характеристик и изменение их наклона (рис. 152), что также нарушает нормальную работу прибора.

Особенно существенное влияние на работу транзистора при нагреве оказывает ток I_{k0} . Приближенное значение тока при нагреве можно определить из равенства

$$I_{k0t} \approx I_{k0н} e^{0,07\Delta t},$$

где I_{k0t} — величина I_{k0} при повышенной температуре;

$I_{k0н}$ — величина I_{k0} при нормальной температуре 20°C ;

Δt — разность температур при нагреве транзистора.

Для практических расчетов можно принять, что при повышении температуры на каждые 10°C ток I_{k0} возрастает примерно вдвое.

Нестабильность режима транзистора, обусловленная током I_{k0} , очень существенна, так как обратный ток коллектора в значительной степени влияет на токи эмиттера и коллектора, а следовательно, на усилительные свойства транзистора.

Наиболее часто для работы при повышенных температурах применяются кремниевые транзисторы. Предельная рабочая температура у этих приборов составляет 125 — 150°C . С этой же целью используется и ряд новых полупроводниковых материалов, из ко-

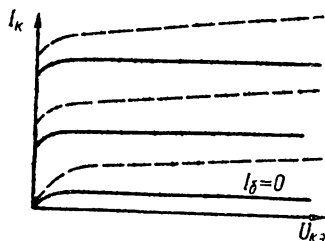


Рис. 152. Влияние температуры на форму выходных характеристик транзистора.

торых особый интерес представляет карбид кремния. Приборы, изготовленные на карбиде кремния, смогут нормально работать до температур 500—600° С.

На частотные свойства транзисторов большое влияние оказывают емкости $p-n$ -переходов. С увеличением частоты емкостное сопротивление уменьшается и шунтирующее действие емкостей возрастает. Поэтому эквивалентная схема транзистора на высоких частотах, кроме чисто активных сопротивлений $r_э$, $r_б$ и $r_к$, содержит емкости $C_э$ и $C_к$, шунтирующие эмиттерный и коллекторный переходы (рис. 147, б). Особенно вредное влияние на работу транзистора оказывает емкость $C_к$, так как на высоких частотах емкостное сопротивление $\frac{1}{\omega_b C_к}$ оказывается значительно меньше сопротивле-

ния $r_к$, и коллекторный переход теряет свои основные свойства. В данном случае влияние емкости $C_к$ аналогично влиянию емкости, шунтирующей $p-n$ -переход в плоскостном полупроводниковом диоде.

Второй основной причиной ухудшения работы транзистора на высоких частотах является наличие диффузионного процесса распространения неосновных носителей зарядов в области базы. Как известно, в лампах носители зарядов (электроны), не встречая никаких препятствий в вакууме, движутся от катода к аноду с большими скоростями так, что время пролета становится сравнимым с периодом усиливаемых колебаний только на очень высоких частотах (порядка сотен мегагерц). Поэтому в широком диапазоне частот лампу можно считать безынерционным прибором. В транзисторе заряды, распространяющиеся в результате диффузии, движутся от эмиттера к коллектору со значительно меньшими скоростями, чем в лампе. Поэтому время прохождения зарядов в транзисторе становится сравнимым с периодом усиливаемых колебаний на значительно меньших частотах, чем в лампе. Кроме того, следует учитывать, что диффузия — процесс хаотический. Неосновные носители зарядов, инжектированные эмиттером в базу, передвигаются в ней разными путями. Поэтому носители, одновременно вошедшие в область базы, достигают коллекторного перехода в разное время. Таким образом, закон изменения тока коллектора может не соответствовать закону изменения тока эмиттера, что приводит к искажениям усиливаемого сигнала.

Для расширения частотного диапазона транзисторов необходимо увеличивать скорость перемещения неосновных носителей зарядов через базу, уменьшать толщину слоя базы и коллекторную емкость. При выполнении этих условий транзисторы могут успешно работать на частотах порядка десятков и сотен мегагерц.

11—8. Основные типы транзисторов

В настоящее время освоено производство самых разнообразных типов транзисторов. Каждый год появляются новые конструкции и методы изготовления транзисторов, совершенствуется их каче-

ство и надежность в работе, увеличивается срок службы, расширяется область применения. Мы рассмотрим лишь несколько типов транзисторов, получивших наибольшее распространение в современной электронной аппаратуре.

Предшественником плоскостного транзистора был полупроводниковый триод с точечными контактами двух металлических электродов (эмиттера и коллектора) с пластинкой монокристаллического германия (базой). Эмиттерный и коллекторный переходы в таких транзисторах образуются так же, как и в точечных полупроводниковых диодах. Точечные транзисторы имеют малую собственную емкость и поэтому могут работать на частотах до десятков и сотен мегагерц. Но малая площадь контакта позволяет применять их лишь при малых мощностях. Кроме того, при усилении они работают неустойчиво, сильно шумят и обладают рядом других недостатков. Поэтому производство точечных транзисторов прекращено.

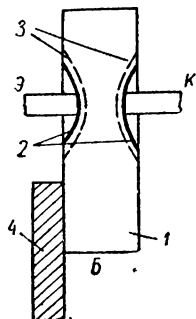


Рис. 153. Устройство поверхностно-барьерного транзистора:

1 — кристалл; 2 — электроды; 3 — p-n переходы; 4 — кристаллодержатель.

Все нижеследующие типы транзисторов по своей конструкции являются плоскостными и отличаются между собой технологией их изготовления.

Сплавной транзистор (рис. 140) как мощный низкочастотный прибор применяется наиболее часто. Он прост по конструкции, его параметры можно относительно легко рассчитать и воспроизвести. Применяя специальную технологию, обеспечивающую изготовление транзисторов с очень малой шириной базы, можно повысить граничную частоту прибора до десятков мегагерц, но высокочастотные транзисторы этого типа дорогостоящи.

Поверхностно-барьерный транзистор (рис. 153). Частотные свойства в них улучшены за счет уменьшения толщины базы и площади переходов, а следовательно, и емкости коллекторного перехода. Изготовление поверхностно-барьерных транзисторов ведется следующим образом. Путем электрохимического травления в тонкой пластинке германия с высоким содержанием донорных примесей делают с двух сторон углубления. После того, как расстояние между углублениями в процессе травления становится равным заданной толщине базы (несколько микрон), на поверхность углублений наносится индий. В объеме под контактами образуется поверхностный переход (барьер), давший название этому типу приборов. Поверхностно-барьерные транзисторы отличаются довольно широким диапазоном рабочих частот (до нескольких десятков мегагерц). Однако из-за малой толщины и малого сопротивления базы допустимое напряжение коллектора не превышает 5—10 в, а допустимая мощность рассеивания на коллекторе —

не более нескольких десятков милливатт. Эти особенности ограничивают возможности широкого использования таких приборов.

Диффузионные транзисторы. Наиболее высокочастотные транзисторы, в том числе мощные высокочастотные, изготавливаются использованием явления диффузии одних веществ в другие. На рис. 154 приведена упрощенная схема изготовления диффузион-

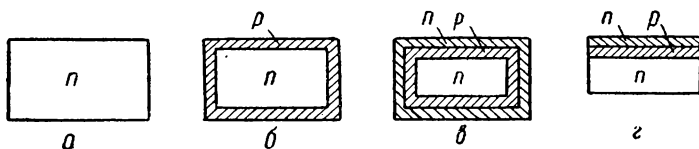


Рис. 154. Упрощенная схема изготовления диффузионного транзистора типа $n-p-n$.

ного транзистора типа $n-p-n$. Заготовку кристалла полупроводника с проводимостью типа n (рис. 154, а) нагревают в парах акцепторной примеси, в результате чего происходит диффузия этой примеси в поверхностные слои полупроводника (рис. 154, б). Затем таким же способом производят диффузию донорной примеси (рис. 154, в). После удаления лишних диффузионных слоев образуется триодная структура типа $n-p-n$ (рис. 154, г).

Поскольку диффузия — очень медленный процесс, представляется возможным контролировать толщину диффузионного слоя с большой степенью точности и получать область базы толщиной около одного микрона. Это позволяет значительно улучшить частотные свойства транзистора. Кроме того, технология производства диффузионных транзисторов предусматривает плавное изменение концентрации примесей от эмиттерного перехода к выводу коллектора, вследствие чего электрическое поле коллектора распространяется и на область базы. В результате действия этого ускоряющего поля время движения неосновных носителей зарядов через базу к коллектору уменьшается, что также позволяет расширить частотный диапазон прибора. Промышленные образцы современных диффузионных транзисторов имеют граничные частоты порядка десятков и сотен мегагерц.

Стремление повысить предельную частоту плоскостных триодов привело к разработке *плоскостных тетродов*, предельная частота которых превышает 100 Мгц. Конструктивно они отличаются от обычных плоскостных триодов наличием дополнительного вывода базы, на который подается напряжение, совпадающее по знаку с зарядом неосновных для базы носителей тока (рис. 155).

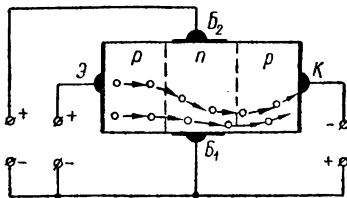


Рис. 155. Плоскостной тетрод типа $p-n-p$.

Вследствие того, что в области базы образуется поперечное электрическое поле, неосновные носители зарядов (дырки в $p-n-p$ -тетродах) «прижимаются» электрическим полем к одной стороне базы. Тем самым заметно уменьшаются емкости $p-n$ -переходов и время прохождения носителей зарядов в области базы. Основным недостатком плоскостных тетродов, ограничивающих их применение в настоящее время, — высокая стоимость изготовления (стоимость тетрода в 10—30 раз превышает стоимость триода).

Своеобразная идея полупроводникового триода, не содержащего эмиттерного и коллекторного переходов, привела к созданию так

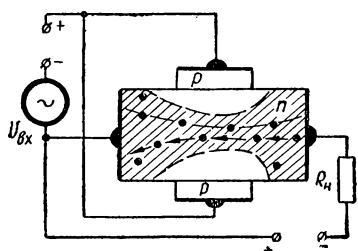


Рис. 156. Схематическое изображение канального триода.

называемых *канальными триодами*, схематическое изображение которых представлено на рис. 156. Между входным и выходным электродами полупроводник (германий типа n) проводит ток, как обычное омическое сопротивление. Два соединенных вместе боковых контакта (верхний и нижний на рис. 156) образуют третий электрод, около которого созданы $p-n$ -переходы. Этот электрод является управляющим, так как изменение его обратного потенциала меняет ширину

пограничных слоев перехода, а следовательно, и сечение «канала» между ними, т. е. сопротивление полупроводника. При включении в цепь управляющего электрода источника сигнала ширина канала и ток через прибор изменяются по закону входного сигнала. Отсутствие тока через $p-n$ -переход свидетельствует о большом (порядка десятков мегом) входном сопротивлении триода. Канальный триод является перспективным и для работы на высоких частотах, поскольку ток через прибор определяется дрейфом основных носителей заряда (электронов), обладающих большой подвижностью.

11—9. Четырехслойные полупроводниковые приборы

В полупроводниковой электронике все шире используются новые четырехслойные полупроводниковые приборы со структурой $p-n-p-n$ (или $n-p-n-p$).

Схематическое устройство такого прибора показано на рис. 157, а. В зависимости от наличия выводов от $p-n$ -областей соответственно различаются и приборы, выполняемые на основе четырехслойной структуры. Простейшим четырехслойным прибором (с двумя выводами) является *динистор*, который часто называют также *переключающим диодом*.

Эквивалентная схема динистора приведена на рис. 157, б. Из эквивалентной схемы видно, что четырехслойную структуру можно представить в виде двух транзисторов типов $p-n-p$ и $n-p-n$,

причем коллекторный ток транзистора $p-n-p$ (T_1) одновременно является базовым током транзистора $n-p-n$ (T_2), а коллекторный ток транзистора T_2 — базовым током транзистора T_1 .

Таким образом,

$$I_{\beta 2} = I_{\kappa 1} \text{ и } I_{\beta 1} = I_{\kappa 2}.$$

При увеличении э.д.с. источника инжектированные одним из эмиттеров основные носители зарядов пересекают область, где они являются неосновными, частично рекомбинируя в ней. Нерекombинировавшие носители проходят через коллекторный переход и, оказавшись в области, для которой они являются основными, т. е. в слое базы сопряженного транзистора, понижают высоту потенциального барьера, способствуя инжекции зарядов из второго эмиттера, что ведет к увеличению общего тока прибора.

Покажем это математически.

Небольшое приращение эмиттерного тока $\Delta I_{\epsilon 1}$ транзистора T_1 вызывает некоторое приращение тока коллектора $\Delta I_{\kappa 1}$, который, поступая в базу сопряженного транзистора, вызывает приращение

$$\Delta I_{\kappa 2} = \Delta I_{\epsilon 2} \beta_2 = \Delta I_{\kappa 1} \beta_2,$$

где β_2 — коэффициент усиления по току транзистора T_2 , включенного по схеме с общим эмиттером.

В свою очередь коллекторный ток $I_{\kappa 1}$ увеличивается в исходном транзисторе на величину

$$\Delta I'_{\kappa 1} = \Delta I_{\kappa 2} \beta_1 = \Delta I_{\kappa 1} \beta_1 \beta_2,$$

где β_1 — коэффициент усиления по току транзистора T_1 , включенного по схеме с общим эмиттером.

Таким образом, к концу первого цикла начальное приращение коллекторного тока исходного транзистора возрастает в $\frac{\Delta I'_{\kappa 1}}{\Delta I_{\kappa 1}} = \beta_1 \beta_2$ раз.

Далее процесс продолжается, и ток в контуре эквивалентных транзисторов лавинообразно возрастает.

Из схемы, приведенной на рис. 157, а, видно, что средний $p-n$ -переход прибора в обычных условиях заперт обратным напряжением источника E . Однако при больших токах понижение высоты потенциальных барьеров оказывается настолько резким, что средний переход может оказаться отпертым. При этом падение напряжения на приборе резко падает, а следовательно, в вольт-амперной

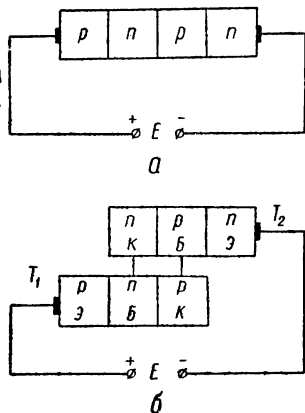


Рис. 157. Четырехслойный полупроводниковый прибор: а — структура; б — эквивалентная схема.

характеристике прибора появляется участок отрицательного сопротивления. При дальнейшем росте тока падение напряжения на приборе возрастает незначительно.

Типовая вольт-амперная характеристика динистора приведена на рис. 158, *а*. Она может быть разбита на следующие основные области: *I* — непроводящее состояние (средний *p*—*n*-переход за-

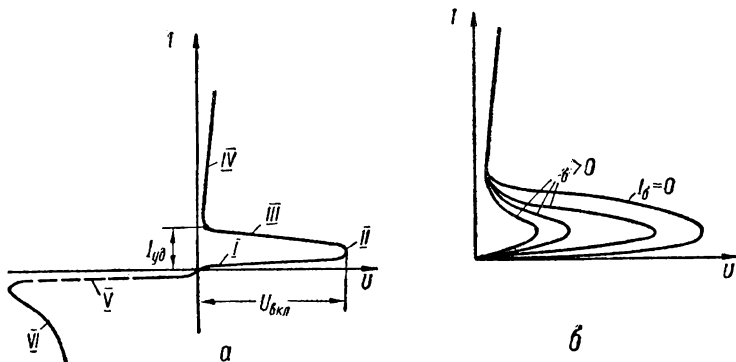


Рис. 158. Вольт-амперные характеристики четырехслойных приборов:
а — динистора; *б* — тиристора;

перт внешним источником напряжения); *II* — область обратимого пробоя среднего *p*—*n*-перехода; *III* — область высокого отрицательного сопротивления; *IV* — область малого положительного сопротивления, соответствующая открытому состоянию прибора; *V* — область высокого сопротивления; *VI* — область лавинного необратимого пробоя.

Наличие в вольт-амперной характеристике прибора участка с отрицательным сопротивлением позволяет использовать динистор в разнообразных электронных схемах. Кроме того, очевидно, что динистор может находиться в двух устойчивых состояниях. Первое состояние характеризуется малым током, протекающим через прибор и большим падением напряжения на нем (участок *I* на рис. 158, *а*). Второе устойчивое состояние соответствует малому падению напряжения на приборе и большому току, проходящему через него (участок *IV* на рис. 158, *а*). Это позволяет использовать динистор в качестве быстродействующего переключающего устройства в различных схемах автоматики и вычислительной техники.

Наиболее важными параметрами динистора являются величина напряжения включения среднего *p*—*n*-перехода $U_{вкл}$ и ток удержания $I_{уд}$ — минимальный ток, соответствующий режиму стабильного состояния проводимости. При $I < I_{уд}$ прибор запирается.

Для разных типов приборов значение величины $U_{\text{вкл}}$ лежит в пределах 25—500 в, а значения величин токов $I_{\text{уд}}$ колеблются в пределах от нескольких десятков микроампер до нескольких десятков миллиампер.

Переход структуры $p-n-p-n$ из непроводящего состояния в проводящее можно вызвать не только повышением напряжения, но и увеличением тока в одном из эквивалентных транзисторов. Для этого от одной из баз делают вывод. Меняя ток базы, можно регулировать напряжение переключения. Такой прибор получил название *тиристора*. Вольт-амперные характеристики тиристора приведены на рис. 158, б. Условные обозначения динисторов и тиристоров показаны на рис. 159.

11—10. Фототранзисторы

Фототранзистор представляет собой полупроводниковый вентильный фотоэлемент с двумя $p-n$ -переходами. На рис. 160, а показано конструктивное оформление одного из современных фототранзисторов типа ФТ-1. Этот прибор состоит из германиевой пластины 1, в которую с обеих сторон соосно впаяны навески индия, образующие коллектор 2 и эмиттер 3. Пластина германия припаяна оловянным кольцом к кристаллодержателю 4, который в свою очередь приварен к ножке 5. Коллектор и эмиттер при помощи тонких выводов 6 соединены с проводниками 7, изолированными от ножки стеклянными изоляторами 8. Базовый вывод 9 приварен к ножке. Весь фототриод помещен в герметичный корпус 10, в котором имеется круглое отверстие, закрытое стеклом 11.

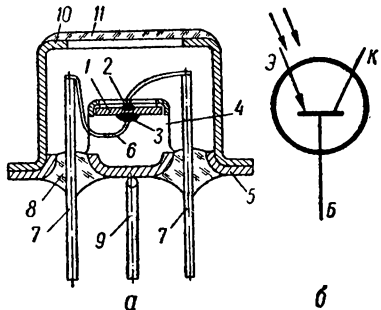


Рис. 160. Фототранзистор:
а — конструкция фототранзистора типа ФТ-1; б — условное обозначение фототранзистора типа $p-n-p$.

Условное обозначение фототранзистора приведено на рис. 160, б. Для работы фототранзистора его необходимо включить в цепь, как показано на рис. 161. При таком включении вывод базы фототранзистора остается свободным, т. е. ток базы $I_b = 0$. При освещении базы в ней появляются свободные электроны и дырки. Для базы фототранзистора типа $p-n-p$ дырки являются основными носителями зарядов. Поэтому они втягиваются полем коллекторного перехода в коллектор, увеличивая ток в его цепи. Оставшиеся в базе основные носители зарядов — электроны создают пространственный заряд, снижающий высоту потенциального барьера эмиттерного перехода. При этом облегчается переход дырок из эмиттера в базу, а затем в коллектор, что приводит к еще большему росту коллекторного тока, проходящего через нагрузочное сопротивление

R_H . Таким образом, даже при небольшом световом потоке, падающем на базу, ток коллектора оказывается весьма значительным, что свидетельствует о высокой чувствительности фототранзистора (порядка 1 а/лм).

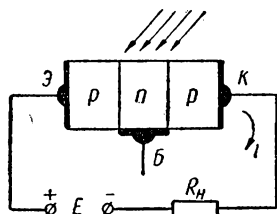


Рис. 161. Схема включения фототранзистора.

Первоначально фототранзисторы применялись исключительно в рассмотренной выше двухполюсной схеме включения. Поэтому в некоторых конструкциях фототранзисторов базовый вывод отсутствует. Такой фототранзистор по своим параметрам отличается от фотодиода только большей интегральной чувствительностью. Фототранзистор, снабженный тремя выводами, как, например, ФТ-1, представляет дополнительные возможности его использования, основанные на том, что помимо светового сигнала, на его вход можно подать сигнал электрический.

11—11. Маркировка транзисторов

Выпускаемые в настоящее время транзисторы, как и полупроводниковые диоды (см. 10—6), имеют обозначения, состоящие из четырех элементов.

Первый элемент — буквы Г, К, А, или цифры 1, 2, 3 — означает соответственно исходный материал — германий, кремний и арсенид галлия.

Второй элемент обозначения (буква) указывает на тип прибора: Т — транзистор; Н — неуправляемый многослойный переключающий прибор; У — управляемый многослойный переключающий прибор; Ф — фототранзистор.

Третий элемент — число, указывающее назначение и электрические свойства прибора:

Транзисторы малой мощности: низкой частоты — от 101 до 199; средней частоты — от 201 до 299; высокой частоты — от 301 до 399.

Транзисторы средней мощности: низкой частоты — от 401 до 499; средней частоты — от 501 до 599; высокой частоты — от 601 до 699.

Транзисторы большой мощности: низкой частоты — от 701 до 799; средней частоты — от 801 до 899; высокой частоты — от 901 до 999.

Четвертый элемент обозначения (буква) указывает на разновидность типа из данной группы приборов.

Примеры маркировки: ГТ108А — германиевый маломощный низкочастотный транзистор, разновидность типа А; 2Т301Б — кремниевый маломощный высокочастотный транзистор, разновидность типа Б; 1Т403И — германиевый низкочастотный транзистор средней мощности, разновидность типа И.

Ранее разработанные транзисторы имеют обозначения, состоящие из трех элементов.

Первый элемент — буква П (плоскостной транзистор).

Второй элемент — число, указывающее исходный материал и назначение транзистора: германиевые маломощные низкочастотные (до 5 МГц) — от 1 до 100; кремниевые маломощные низкочастотные — от 101 до 200; германиевые мощные низкочастотные — от 201 до 300; кремниевые мощные низкочастотные — от 301 до 400; германиевые высокочастотные маломощные — от 401 до 500; кремниевые высокочастотные маломощные — от 501 до 600; германиевые высокочастотные мощные — от 601 до 700; кремниевые высокочастотные мощные — от 701 до 800.

Исключения составляют марки ПЗ и П4, которые присвоены мощным низкочастотным транзисторам. Третий элемент обозначения (буква) указывает на разновидность типа прибора.

Г Л А В А 1 2

ПОЛУПРОВОДНИКОВЫЕ НЕЛИНЕЙНЫЕ СОПРОТИВЛЕНИЯ

12—1. Варисторы

Варистором называется полупроводниковое сопротивление с симметричной нелинейной вольт-амперной характеристикой. Примерный вид такой характеристики показан на рис. 162. Варисторы выполняются из порошкообразного карбида кремния, подверженного обжигу при температуре 1700°C . Поверхность варисторов металлизирована, а к слою металла припаиваются медные выводы. Внешний вид варисторов и их условное обозначение приведены на рис. 163. Нелинейность вольт-амперной характеристики варистора определяется явлениями, происходящими на контактах или на поверхности отдельных кристаллов карбида кремния. При повышении напряжения, приложенного к варистору, возрастает напряженность электрического поля между отдельными кристаллами. Это сопровождается автоэлектронной эмиссией с острых зубцов и граней кристаллов карбида кремния. Одновременно происходит пробой оксидных пленок, образующихся на поверхности кристаллов, а также микронагрев контактных точек между кристаллами. Все это приводит к повышению проводимости варистора, причем полярность приложенного напряжения существенного значения не имеет — нелинейный рост тока через прибор наблюдается при повышении напряжения любой полярности.

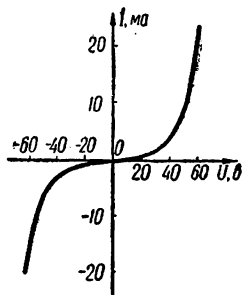


Рис. 162. Вольт-амперная характеристика варистора.

Каждый варистор характеризуется номинальным напряжением, допустимыми пределами изменения тока и допустимой мощностью рассеивания.

Важнейшим показателем варистора является также коэффициент нелинейности его вольт-амперной характеристики, под которым понимают отношение сопротивлений варистора постоянному и переменному току

$$\beta = \frac{R_{\text{пост}}}{R_{\text{пер}}} = \frac{U}{I} : \frac{\Delta U}{\Delta I}. \quad (12-1)$$

У варисторов различных типов значение β лежит в пределах от 0,7 до 8.

Маркировка варисторов (нелинейных полупроводниковых сопротивлений) производится тремя начальными буквами — НПС и тремя числами, обозначающими максимальное рабочее напряжение в вольтах, ток при этом напряжении в миллиамперах и коэффициент нелинейности вольт-амперной характеристики в данной рабочей точке. Пример маркировки: НПС-50-10-5.

Высоковольтные варисторы маркируются буквами НПСВ. Последняя буква подчеркивает, что варистор высоковольтный.

Отличаясь небольшими размерами, стабильностью параметров во времени и высокой экономичностью, варисторы широко применяются в электронной аппаратуре: в стабилизаторах напряжения, разнообразных системах автоматического регулирования, счетно-решающих устройствах, преобразователях частоты, переключающих устройствах и т. д.

12—2. Терморезисторы

Терморезисторами (термосопротивлениями, термисторами) называют нелинейные полупроводниковые сопротивления с отрицательным температурным коэффициентом.

Полупроводниковые терморезисторы значительно более эффективны, чем металлические. Повышение температуры на 1°C увеличивает электропроводность полупроводника на 3—6%, а повышение температуры на 100°C — в 20—70 раз. Температурный коэффициент металлов положителен, и по своей абсолютной величине он во много раз меньше, чем у полупроводников. Так, сопротивление резистора, изготовленного из медного провода, при изменении температуры от 0 до 100°C увеличивается всего лишь на 40%.

В зависимости от режима работы терморезисторы подразделяются на две основные группы: приборы, реагирующие на изменение температуры окружающей среды, и приборы, реагирующие на нагрев, создаваемый проходящим через них током. Терморезисторы первой группы используются в автоматике для измерения и регулирования

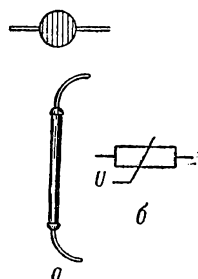


Рис. 163. Внешний вид (а) и условное обозначение (б) варисторов.

температуры, в качестве датчиков в устройствах дистанционного управления и т. д. К этой же группе приборов можно отнести болометры — терморезисторы, реагирующие на нагрев при сверхвысокочастотном или радиационном облучении.

Терморезисторы второй группы обычно работают при комнатной температуре и используются для температурной стабилизации схем различной электронной аппаратуры — усилителей, генераторов, стабилизаторов напряжения и т. д. Свойства терморезисторов первой группы определяются температурной характеристикой, представляющей собой зависимость сопротивления прибора от температуры окружающей среды (рис. 164, а). Для терморезисторов второй группы более важной является вольт-амперная характеристика (рис. 164, б), которая отражает явление нагрева терморезистора проходящим через него током и определяет нелинейные свойства прибора.

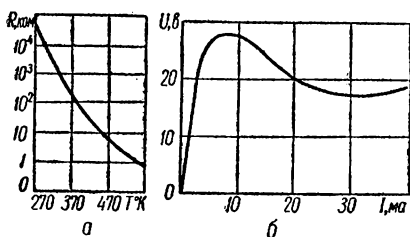


Рис. 164. Типовые характеристики терморезисторов:

а — температурная; б — вольт-амперная.

Важнейшими параметрами терморезисторов являются:

величина сопротивления прибора при комнатной температуре (20°C);

температурный коэффициент сопротивления (α), выражающий в процентах изменение абсолютной величины сопротивления прибора при изменении температуры на 1°C ;

максимально допустимая мощность рассеивания (или максимально допустимый ток), т. е. мощность (или ток), при которых температура терморезистора не превышает максимально допустимого значения;

постоянная времени (τ), характеризующая тепловую инерционность терморезистора. Этот параметр равен отношению теплоемкости C к коэффициенту рассеяния H , т. е.

$$\tau = \frac{C}{H}. \quad (12-2)$$

Теплоемкость C представляет собой энергию, необходимую для нагрева терморезистора на 1°C (*вт. сек./ $^{\circ}\text{C}$*), а коэффициент рассеяния H — мощность, рассеиваемую терморезистором при разности температур терморезистора и окружающей среды в 1°C (*вт/ $^{\circ}\text{C}$*).

Конструктивно терморезистор представляет собой непроволочный резистор объемного типа в виде стержня или шайбы, изготовленной из полупроводникового материала — смеси окислов различных металлов (меди, марганца, кобальта и т. д.) либо их сернистых соединений.

Наибольшее распространение в современной аппаратуре получили кобальто-марганцевые (КМТ) и медно-марганцевые (ММТ) терморезисторы.

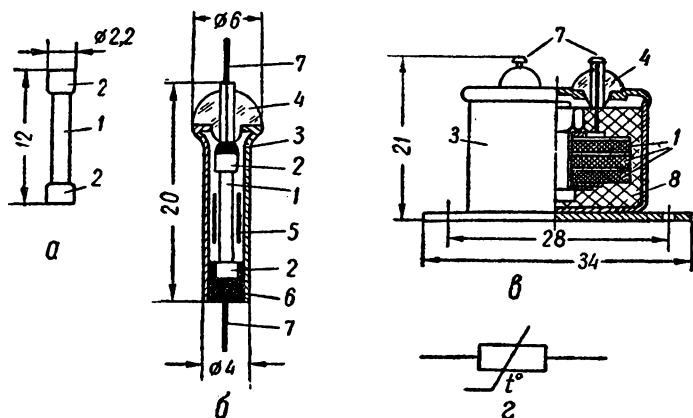


Рис. 165. Терморезисторы:

а — типа ММТ-1; КМТ-1; *б* — ММТ-4, КМТ-4; *в* — ММТ-8 (1 — полупроводниковый элемент; 2 — контактные колпачки; 3 — металлический корпус; 4 — изолятор; 5 — металлическая прокладка; 6 — слой припоя; 7 — выводы полупроводникового элемента; 8 — компаунд); *г* — условное обозначение.

Конструктивное оформление некоторых терморезисторов и их условное обозначение приведены на рис. 165.

12—3. Ферриты

Наряду с электронными, газоразрядными и полупроводниковыми приборами в автоматике и вычислительной технике широко используются полупроводниковые магнитные материалы с прямоугольной петлей гистерезиса — *ферриты*.

Ферритовые сердечники — это твердые растворы двух или нескольких простых ферритов, представляющих собой химические соединения двухвалентных металлов (марганца, никеля, цинка, лития и др.) с окислами железа. По своим физико-химическим свойствам феррит является неметаллическим твердым веществом, в кристаллическую решетку которого вкраплены атомы ферромагнитных материалов. В зависимости от состава и технологии изготовления ферриты могут иметь удельное сопротивление электрическому току от 10^2 до 10^8 ом·см, что позволяет отнести их по электропроводности к классу полупроводников. Основной характеристикой феррита является графическая зависимость магнитной индукции B от напряженности намагничивающего поля H — петля гистерезиса. Эта зависимость нелинейна. Типичная петля гистерезиса ферритового сердечника приведена на рис. 166. Петля имеет четыре ярко выраженных участка — два почти горизонтальных, на ко-

торых магнитная индукция B при изменениях внешнего магнитного поля H меняется незначительно, и два участка, где магнитная индукция сильно зависит от величины напряженности магнитного поля. Основные характерные точки петли: $-B_m; +B_m; -B_r; +B_r; -H_c; +H_c$, где B_m — точка максимальной индукции; B_r — точка остаточной индукции, H_c — значение напряженности магнитного поля, соответствующей коэрцитивной силе.

Степень прямоугольности петли гистерезиса оценивается отношением

$$K_{\text{пр}} = \frac{B_r}{B_m}, \quad (12-3)$$

где $K_{\text{пр}}$ — коэффициент прямоугольности.

Для большинства ферритовых сердечников $K_{\text{пр}} = 0,85 \div 0,98$.

Другим важным параметром ферритового сердечника является время перемагничивания t_n , т. е. время, необходимое для переключения феррита из одного устойчивого магнитного состояния в другое. Для данного сердечника это время обратно пропорционально разности между намагничивающей силой H_m и коэрцитивной силой H_c и определяется по формуле

$$t_n = \frac{S_\omega}{H_m - H_c}, \quad (12-4)$$

где S_ω — постоянная для данного феррита величина (коэффициент переключения).

Для различных ферритовых сердечников время переключения t_n лежит в пределах от 0,1 до 2 мксек. Из рассмотрения петли гистерезиса видно, что сердечник, намагниченный полем определенной напряженности, остается намагниченным неограниченно долго даже после снятия поля. Если на этот сердечник подействовать полем противоположного направления, сердечник перемагнитится и после снятия поля сохранит остаточную индукцию другого знака. Таким образом, сердечники из феррита представляют собой элементы с двумя устойчивыми состояниями, что и обуславливает возможность их применения в качестве переключающих, запоминающих и логических элементов в разнообразных устройствах автоматики и вычислительной техники.

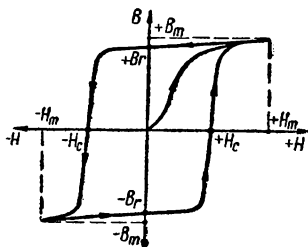


Рис. 166. Петля гистерезиса ферритового сердечника.

РАЗДЕЛ III

ОСНОВНЫЕ УЗЛЫ ЭЛЕКТРОННОЙ И ПОЛУПРОВОДНИКОВОЙ АППАРАТУРЫ

Г Л А В А 13

ВЫПРЯМИТЕЛИ И СТАБИЛИЗАТОРЫ

13—1. Назначение и классификация выпрямителей

Значительная часть элементов электронных устройств потребляет электрическую энергию в виде постоянного тока. Источниками постоянного тока могут служить гальванические элементы, аккумуляторы, термоэлектрогенераторы, электромашин постоянного тока и выпрямители.

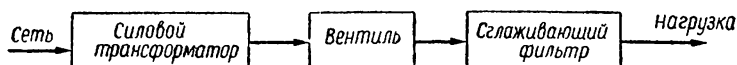


Рис. 167. Блок-схема выпрямителя.

Выпрямителем называется устройство, при помощи которого переменный ток преобразуется в постоянный. По сравнению с другими источниками постоянного тока выпрямители имеют ряд существенных преимуществ: они надежны в работе, позволяют получать любые постоянные напряжения, не нуждаются в непрерывном тщательном уходе, которого требуют, например, аккумуляторные батареи, не имеют вращающихся частей, как в электромашин постоянного тока. Поэтому выпрямители в современных электронных устройствах применяются очень широко, особенно в стационарных установках, где имеется возможность использовать сеть переменного тока.

Выпрямитель в общем случае содержит три основных элемента (рис. 167): силовой трансформатор, вентиль и сглаживающий фильтр.

Силовой трансформатор трансформирует напряжение сети до величины, необходимой для получения заданного напряжения постоянного тока на выходе выпрямителя. Кроме того, при питании ламповых схем силовой трансформатор используется для понижения напряжения сети до величины, равной напряжению накала ламп. Для этого в силовом трансформаторе имеется специальная понижающая (накальная) обмотка.

Вентиль осуществляет основную функцию выпрямителя — преобразует переменный ток в постоянный. В качестве вентилей в выпрямителях могут использоваться электронные лампы (кенотроны), полупроводниковые диоды, а также ионные приборы (например, газотроны).

Сглаживающий фильтр служит для уменьшения пульсаций выпрямленного напряжения на выходе выпрямителя.

Во многих устройствах, где предъявляются повышенные требования к постоянству выпрямленного напряжения, а также при значительных колебаниях напряжения сети в сочетании с выпрямителями применяют стабилизаторы постоянного и переменного напряжения.

Кроме перечисленных основных элементов, выпрямители обычно содержат ряд вспомогательных устройств. К их числу относятся устройства для регулировки выпрямленного напряжения, для включения и выключения выпрямителя, для защиты выпрямителя от повреждений при нарушениях нормального режима работы, различные контрольно-измерительные приборы и т. д.

Для питания различных узлов и блоков электронной аппаратуры наиболее часто применяются выпрямители, рассчитанные на небольшие мощности (порядка десятков и сотен ватт) и работающие от однофазной сети переменного тока. Такие выпрямители называются однофазными. Они делятся на: а) однополупериодные, в которых ток через вентиль проходит только в течение одного полупериода переменного напряжения сети; б) двухполупериодные, в которых ток проходит через вентиль в течение обоих полупериодов.

В современных выпрямителях в качестве вентилей чаще всего используются полупроводниковые диоды. Поэтому в данной главе рассматривается работа выпрямителей только с полупроводниковыми вентилями, причем основные расчетные соотношения, полученные для этих выпрямителей, оказываются пригодными и при использовании вентилей других типов.

13—2. Однополупериодные выпрямители

Схема однофазного однополупериодного выпрямителя с активной нагрузкой представлена на рис. 168, а. В этой схеме ток через вентиль и сопротивление нагрузки протекает только в течение половины периода переменного напряжения U_2 , действующего на зажимах вторичной обмотки трансформатора. Как видно из рисунка, такой ток имеет пульсирующий характер, т. е. протекает в одном направлении и изменяется по величине от максимального значения I_{2m} до нуля.

Математический анализ (теорема Фурье) показывает, что ток в виде отдельных импульсов можно представить как результат сложения постоянного тока и целого ряда переменных токов синусои-

дальной формы. Для доказательства этого произведем следующее графическое построение. Изобразим на графиках (рис. 169) постоянный ток I_0 (график *а*), переменный ток с частотой f и амплитудой I_{m1}

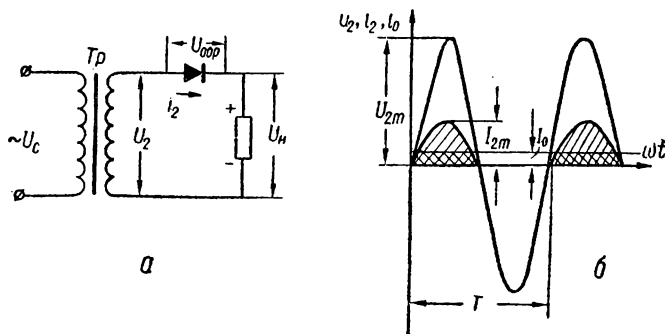


Рис. 168. Однополупериодный выпрямитель:
а — схема выпрямления; б — графики токов и напряжений.

(график *б*) и переменный ток с частотой $2f$ и амплитудой I_{m2} (график *в*).

В результате сложения (по точкам) мгновенных значений всех трех токов получим результирующий ток, имеющий в первом приближении форму отдельных импульсов (график *г*). На этом основании можно решить и обратную задачу, а именно: периодически повторяющиеся импульсы тока могут быть представлены как сумма постоянного тока и ряда переменных токов с различной частотой и амплитудой, называемых гармониками.

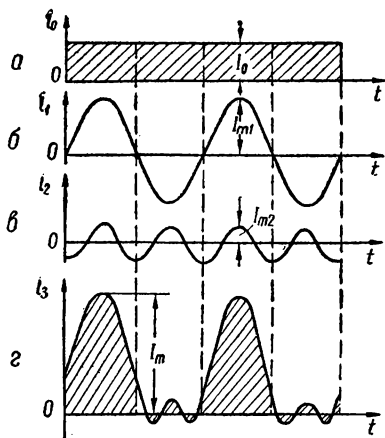


Рис. 169. Представление последовательности импульсов в виде суммы постоянного тока и ряда переменных токов-гармоник.

гармоникой и т. д. Амплитуда каждой гармоники зависит от максимального значения импульса тока, причем с увеличением номера гармоники ее амплитуда уменьшается. Поэтому при разложении импульсных сигналов в ряд с высшими гармониками практически можно не считаться.

Приведенное графическое доказательство возможности представления импульсных токов и напряжений в виде суммы постоянной и переменных составляющих, конечно, является упрощенным. Однако оно позволяет глубже разобраться в физической сущности процесса выпрямления.

Показанная на рис. 168, б постоянная составляющая выпрямленного тока I_0 представляет собой среднее значение тока, протекающего за период через сопротивление нагрузки R_n . Обычно значение тока I_0 задается в качестве исходной величины при расчете выпрямителя.

Анализ показывает, что для приведенной схемы между током I_a и амплитудным значением выпрямленного тока I_{2m} существует зависимость

$$I_0 = \frac{I_{2m}}{\pi} = 0,318 I_{2m}. \quad (13-1)$$

Постоянная составляющая выпрямленного напряжения на нагрузке U_0 может быть найдена по формуле

$$U_0 = I_0 R_n.$$

Учитывая равенство (13-1), получаем

$$U_0 = 0,318 I_{2m} R_n.$$

Если пренебречь внутренним сопротивлением вентиля для прямого тока, то падение напряжения $I_{2m} R_n$ можно считать равным максимальному напряжению на зажимах вторичной обмотки трансформатора

$$I_{2m} R_n = U_{2m}.$$

Поэтому

$$U_0 = 0,318 U_{2m} = \frac{U_{2m}}{\pi}. \quad (13-2)$$

Заменив амплитудное значение напряжения U_2 его действующим значением ($U_{2m} = \sqrt{2} \cdot U_2$), получим

$$U_0 = \frac{\sqrt{2} U_2}{\pi} = 0,45 U_2. \quad (13-3)$$

Таким образом, постоянная составляющая выпрямленного напряжения U_0 на нагрузке значительно меньше действующего напряжения U_2 на зажимах вторичной обмотки трансформатора. Обычно значение напряжения U_0 , так же как величина тока I_0 , задается при расчете выпрямителя. Зная U_0 , можно по формуле (13-3) найти требуемую величину переменного напряжения U_2 на зажимах вторичной обмотки силового трансформатора. Если напряжение сети U_c известно, то коэффициент трансформации силового трансформатора, необходимый для обеспечения заданного

напряжения U_0 на нагрузке, должен быть равен

$$n = \frac{U_2}{U_c}. \quad (13-4)$$

Из рассмотрения работы схемы следует, что в отрицательный полупериод вентиль находится под напряжением, действующим на зажимах вторичной обмотки трансформатора. Следовательно, наибольшее обратное напряжение, приложенное к вентилю, оказывается равным

$$U_{обр} = U_{2m} = 3,14U_0, \quad (13-5)$$

т. е. обратное напряжение на вентиле более чем в 3 раза превышает выпрямленное напряжение на нагрузке.

Подбирая вентиль для работы в однополупериодной схеме, необходимо следить за тем, чтобы

$$U_{обр. доп} \geq U_{обр} = 3,14U_0, \quad (13-6)$$

где $U_{обр. доп}$ — максимально допустимое обратное напряжение выbranного вентиля.

Если неравенство (13-6) не выполняется, необходимо либо взять вентиль с более высоким допустимым обратным напряжением, либо включить несколько однотипных вентилях последовательно. Количество последовательно соединенных вентилях подсчитывается по формуле

$$k = \frac{U_{обр}}{U_{обр. доп}}. \quad (13-7)$$

В однополупериодной схеме вторичная обмотка трансформатора, вентиль и сопротивление нагрузки включены последовательно друг с другом. Поэтому через все эти элементы проходит один и тот же ток i_2 . При подборе вентиля необходимо следить за тем, чтобы действующее значение выпрямленного тока I_2 не превышало величину максимально допустимого выпрямленного тока данного вентиля $I_{0 макс}$

$$I_2 \leq I_{0 макс}. \quad (13-8)$$

Анализ показывает, что действующее значение выпрямленного тока в однополупериодной схеме равно

$$I_2 = \frac{I_{2m}}{2} = \frac{\pi}{2} I_0 = 1,57I_0, \quad (13-9)$$

поэтому

$$I_{0 макс} \geq 1,57I_0. \quad (13-10)$$

Если неравенство (13-10) не выполняется, то необходимо либо подобрать вентиль с более высоким значением $I_{0 макс}$, либо включить несколько однотипных вентилях параллельно друг другу.

Количество параллельно соединенных вентиляй подсчитывается по формуле

$$m = \frac{I_2}{I_{0\text{макс}}} . \quad (13-11)$$

Из рис. 168, б видно, что напряжение на нагрузке достигает максимума один раз за период. Следовательно, частота пульсаций напряжения на нагрузке в однополупериодной схеме равна частоте сети

$$f_{\pi} = f_c. \quad (13-12)$$

Величина пульсаций выпрямленного напряжения обычно характеризуется *коэффициентом пульсаций*

$$K_{\pi} = \frac{U_{\pi, \text{макс}}}{U_0}, \quad (13-13)$$

где $U_{\pi, \text{макс}}$ — амплитуда переменной составляющей напряжения, изменяющегося с частотой повторения импульсов, т. е. амплитуда первой гармоники.

Для однополупериодной схемы амплитуда первой гармоники выпрямленного напряжения составляет

$$U_{\pi, \text{макс}} = \frac{U_{2m}}{2} = \frac{\pi U_0}{2} = 1,57 U_0. \quad (13-14)$$

Подставив (13-14) в (13-13), получим

$$K_{\pi} = 1,57.$$

Такая большая величина коэффициента пульсации является основным недостатком однополупериодной схемы выпрямления. Кроме того, выражение (13-9) показывает, что постоянная составляющая выпрямленного тока I_0 в данной схеме значительно меньше действующего значения тока во вторичной обмотке трансформатора ($I_0 = 0,636 I_2$). Это приводит к недостаточному использованию обмоток трансформатора по току. При больших значениях тока I_0 силовой трансформатор оказывается очень громоздким. Поэтому однополупериодная схема выпрямления в современных выпрямительных устройствах применяется редко.

13—3. Двухполупериодные выпрямители

Двухполупериодные однофазные схемы выпрямления бывают двух типов: схема с выводом средней точки вторичной обмотки трансформатора и мостовая схема.

Схема с выводом средней точки. В этой схеме (рис. 170) вторичная обмотка силового трансформатора имеет три вывода: два — от концов обмотки A и B и третий — от ее середины O . По существу данная схема представляет собой сочетание двух однополупериод-

ных выпрямителей, работающих на общую нагрузку R_n . По числу фаз вторичной обмотки трансформатора схему можно считать двухфазной, так как напряжения U'_2 и U''_2 , питающие каждый вентиль, равны по величине, но противоположны по фазе (имеют сдвиг фаз 180°).

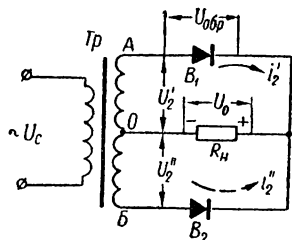


Рис. 170. Двухполупериодная схема выпрямителя (со средней точкой).

В один из полупериодов, когда конец обмотки A положителен по отношению к среднему выводу, ток i'_2 проходит от вывода A , через вентиль B_1 , через нагрузочное сопротивление R_n и замыкается через вторичную обмотку OA в направлении от O к A . В следующий полупериод, когда вывод B положителен по отношению к точке O , ток i''_2 проходит от вывода B , через вентиль B_2 , через нагрузочное сопротивление R_n и замыкается через вторичную обмотку OB в направлении от O к B . Через сопротивление нагрузки токи i'_2 и i''_2 проходят в оба полупериода в одном и том же направлении, создавая на этом сопротивлении выпрямленное напряжение U_0 .

На рис. 171 приведены кривые выпрямленного напряжения и тока для двухполупериодной схемы со средней точкой. Из рисунка видно, что выпрямленные ток и напряжение имеют форму синусоидальных импульсов, повторяющихся в течение каждой половины периода. При одинаковых амплитудных значениях импульсов U_{2m} постоянные составляющие тока и напряжения для двухполупериодной схемы оказываются в два раза больше, чем при однополупериодном выпрямлении. Поэтому на основании (13—1) и (13—2) получим

$$I_0 = \frac{2}{\pi} I_{2m} = 0,636 I_{2m}; \quad (13-15)$$

$$U_0 = \frac{2}{\pi} U_{2m} = 0,636 U_{2m}. \quad (13-16)$$

Заменив амплитудное значение напряжения U_2 его действующим значением, получим

$$U_0 = 0,9 U_2. \quad (13-17)$$

Из схемы, приведенной на рис. 170, следует, что в течение того полупериода, когда работает вентиль B_1 , анод вентиля B_2 , соеди-

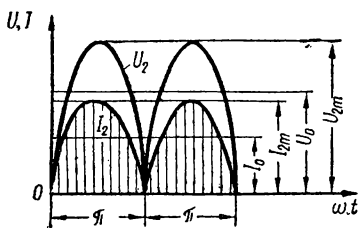


Рис. 171. Графики токов и напряжений для двухполупериодной схемы выпрямления.

ненный с точкой B вторичной обмотки, находится под отрицательным потенциалом. В то же время катод вентиля B_2 имеет положительный потенциал, равный потенциалу точки A вторичной обмотки (падением напряжения на проводящем вентиле B_1 можно пренебречь). Следовательно, обратное напряжение, приложенное к вентилю B_2 , равно разности потенциалов между концами A и B вторичной обмотки трансформатора. Максимальное значение этой разности потенциалов равно удвоенному амплитудному значению напряжения на одной половине вторичной обмотки трансформатора. Очевидно, при полной симметрии плеч двухполупериодной схемы такое же обратное напряжение в следующий полупериод будет приложено к вентилю B_1 . Таким образом, в рассматриваемой схеме

$$U_{\text{обр}} = 2U_{2m} = 2\sqrt{2} \cdot U_2. \quad (13-18)$$

Определив U_{2m} из (13-16) и подставив его в (13-18), получим

$$U_{\text{обр}} = 2 \frac{U_0 \pi}{2} = U_0 \pi = 3,14 U_0. \quad (13-19)$$

Это выражение показывает, что в двухполупериодной схеме, как и в однополупериодной, максимальное обратное напряжение на вентиле более чем в 3 раза превышает выпрямленное напряжение.

Найдем действующее значение тока, проходящего через каждый вентиль. Для однополупериодного выпрямителя, образованного одним плечом двухполупериодной схемы, на основании (13-9) можно записать

$$I_2 = \frac{I_{2m}}{2}. \quad (13-20)$$

Очевидно, что в силу симметрии схемы это же выражение справедливо для второго плеча.

Выразим I_{2m} через I_0 из формулы (13-15)

$$I_{2m} = \frac{\pi}{2} I_0.$$

Подставив значение I_{2m} в формулу (13-20), получим

$$I_2 = \frac{\pi I_0}{2 \cdot 2} = 0,785 I_0. \quad (13-21)$$

Сравнивая выражения (13-9) и (13-21), можно прийти к выводу, что в двухполупериодной схеме величина тока, проходящего через каждый вентиль, в 2 раза меньше, чем в однополупериодной. Поэтому при одном и том же требуемом выпрямленном токе I_0 в двухполупериодной схеме можно использовать вентили с меньшей величиной максимального выпрямленного тока, чем в однополупериодной. Кроме того, выражение (13-21) показывает, что в двухполупериодной схеме значительно лучше, чем в однополупериодной, используются обмотки трансформатора по току, что позволяет уменьшить размеры и вес силового трансформатора.

Из рис. 171 видно, что напряжение на нагрузке достигает максимума два раза за период. Следовательно, частота пульсаций напряжения на нагрузке в двухполупериодной схеме равна удвоенной частоте сети

$$f_n = 2f_c. \quad (13-22)$$

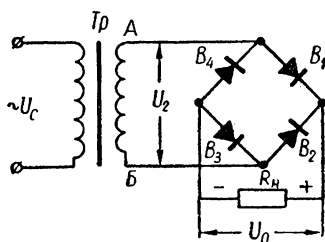
Нетрудно доказать, что в двухполупериодной схеме (при полной симметрии плеч) ток первой гармоники в сопротивлении нагрузки отсутствует. Действительно, мгновенные значения токов первой гармоники каждого плеча i'_1 и i''_1 с учетом сдвига фаз на 180° между ними могут быть записаны в виде

$$i'_1 = I'_{m1} \sin \omega t;$$

$$i''_1 = I''_{m1} \sin (\omega t \pm 180^\circ).$$

Для нахождения тока первой гармоники в сопротивлении нагрузки необходимо сложить токи i'_1 и i''_1 (при этом будем считать, что ввиду симметрии схемы $I'_{m1} = I''_{m1} = I_{m1}$)

$$i'_1 + i''_1 = I_{m1} [\sin \omega t + \sin (\omega t \pm 180^\circ)] = I_{m1} (\sin \omega t - \sin \omega t) = 0.$$



Следовательно, колебания выпрямленного напряжения в данной схеме обусловлены второй гармоникой тока, изменяющейся с частотой $2f_c$ и имеющей меньшую амплитуду по сравнению с первой гармоникой.

Анализ показывает, что для двухполупериодной схемы коэффициент пульсации равен

$$K_n = 0,67. \quad (13-23)$$

Рис. 172. Мостовая двухполупериодная схема выпрямителя.

На основании вышеизложенного можно заключить, что двухполупериодная схема со средней точкой имеет ряд преимуществ по сравнению с однополупериодной схемой. Это обуславливает ее широкое применение в выпрямительных устройствах. Вместе с тем необходимость осуществления вывода от середины вторичной обмотки сама по себе является недостатком схемы, так как усложняет трансформатор. Этот недостаток устранен в двухполупериодной мостовой схеме.

Мостовая схема. Однофазная двухполупериодная мостовая схема выпрямителя приведена на рис. 172. В схему входит силовой трансформатор (без вывода средней точки) и четыре вентиля B_1 — B_4 , включенные по схеме моста. К одной диагонали моста присоединена вторичная обмотка трансформатора, к другой — нагрузочное сопротивление R_n .

В один из полупериодов, когда потенциал точки А (рис. 172) положителен, а потенциал точки В — отрицателен, ток проходит от

точки A , через клапан B_1 , сопротивление нагрузки и клапан B_3 к точке B . В следующий полупериод, когда полярность концов A и B вторичной обмотки трансформатора поменяется, ток пройдет от точки B , через клапан B_2 , сопротивление нагрузки и клапан B_4 к точке A . Направление тока, проходящего через нагрузочное сопротивление R_n , в течение обоих полупериодов остается неизменным. Поэтому, как и в схеме со средней точкой, в рассматриваемой схеме имеет место двухполупериодное выпрямление.

На рис. 173 приведены диаграммы напряжений и токов в однофазной мостовой схеме выпрямителя. Под воздействием переменного синусоидального напряжения U_2 (рис. 173, a) на зажимах вторичной обмотки трансформатора в работу поочередно включают клапаны B_1, B_3 и B_2, B_4 . Форма токов, проходящих через эти клапаны, показана на рис. 173, b и $в$. Возникшие в результате двухполупериодного выпрямления пульсирующий ток и напряжение на сопротивлении нагрузки, а также их постоянные составляющие I_0 и U_0 показаны на рис. 173, $г$.

В отличие от предыдущих схем ток i_2 во вторичной обмотке трансформатора протекает в течение обоих полупериодов и является синусоидальным (рис. 173, $д$).

Из приведенных на рис. 173 диаграмм видно, что выпрямленный ток и напряжение в рассматриваемой схеме имеют такую же форму, как и в схеме со средней точкой. Поэтому для мостовой однофазной схемы оказываются справедливыми соотношения (13—15), (13—16) и (13—17)

$$I_0 = \frac{2}{\pi} I_{2m} = 0,636 I_{2m};$$

$$U_0 = \frac{2}{\pi} U_{2m} = 0,636 U_{2m} = 0,9 U_2.$$

Следует обратить внимание на то, что для получения заданного тока I_0 и напряжения U_0 напряжение на вторичной обмотке трансформатора в мостовой схеме должно иметь такое же значение, как напряжение на одной половине вторичной обмотки в схеме со средней точкой. Это позволяет прийти к выводу о том, что обратное напряжение, действующее на клапан в мостовой схеме, в 2 раза меньше, чем в схеме со средней точкой. Действительно, в течение того полупериода, когда работают клапаны B_1 и B_3 , анод клапана

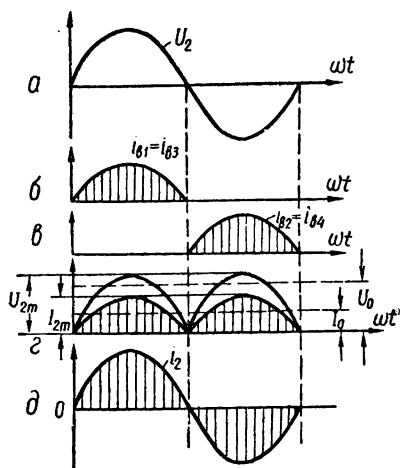


Рис. 173. Графики напряжений и токов в мостовой схеме выпрямителя.

B_2 , соединенный с точкой B вторичной обмотки, находится под отрицательным потенциалом. В то же время катод вентиля B_2 имеет положительный потенциал, равный потенциалу точки A вторичной обмотки (падением напряжения на проводящем вентиле B_1 можно пренебречь). Следовательно, максимальное значение обратного напряжения, приложенного к вентилю B_2 , равно амплитудному значению напряжения вторичной обмотки

$$U_{\text{обр}} = U_{2m} = \sqrt{2} \cdot U_2.$$

Сравнив полученное выражение с выражениями (13—18) и (13—19), получим

$$U_{\text{обр}} = 1,57U_0. \quad (13-24)$$

Нетрудно видеть, что к вентилю B_4 прикладывается такое же обратное напряжение, как к вентилю B_2 . Аналогичный результат можно получить и для вентилях B_1 и B_3 .

Действующее значение тока I_B , проходящего через каждый вентиль, может быть найдено по формуле (13—21)

$$I_B = 0,785I_0.$$

Однако следует учесть, что ток через каждый вентиль в мостовой схеме проходит только в течение одного полупериода, в то время как ток во вторичной обмотке трансформатора проходит в течение всего периода (рис. 173). Очевидно, что для синусоидального тока с амплитудой I_{2m} действующее значение будет равно

$$I_2 = \frac{I_{2m}}{\sqrt{2}} \quad (13-25)$$

или, принимая во внимание соотношение (13—15),

$$I_2 = \frac{\pi I_0}{2\sqrt{2}} = 1,11I_0. \quad (13-26)$$

Так как мостовая схема является двухполупериодной, то частота пульсаций выпрямленного напряжения равна удвоенной частоте сети ($f_n = 2f_c$), а коэффициент пульсации так же, как и в схеме со средней точкой, равен

$$K_n = 0,67.$$

Мостовая схема получила широкое распространение в современных выпрямителях. Сохраняя все достоинства схемы со средней точкой, она имеет следующие специфические особенности:

1. Размеры и вес трансформатора меньше вследствие лучшего использования обмоток по току. Эта особенность мостовой схемы основана на том, что ток протекает в течение периода во всей вторичной обмотке трансформатора, а не в одной ее половине.

2. Конструкция трансформатора проще, так как не требуется специальный вывод от средней точки вторичной обмотки.

3. Обратное напряжение, приходящееся на один вентиль, вдвое меньше.

Необходимость использования в схеме четырех вентилях вместо двух является недостатком мостовой схемы. Поэтому ее наиболее целесообразно применять с полупроводниковыми вентилями, отличающимися небольшими габаритами и весом и не требующими питания цепей накала.

134. Схемы выпрямления с умножением напряжения

Для повышения выпрямленного напряжения на нагрузке при заданном напряжении на вторичной обмотке трансформатора или при отсутствии повышающего трансформатора с необходимым коэффициентом трансформации применяют схемы выпрямления с умножением напряжения. В качестве дополнительных источников э. д. с., предназначенных для увеличения выходного напряжения, в этих схемах используют конденсаторы, периодически заряжаемые при помощи вентилях.

Простейшая схема выпрямителя с умножением напряжения приведена на рис. 174. Действует такая схема следующим образом. В течение положительного полупериода, когда потенциал точки A вторичной обмотки силового трансформатора положителен относительно точки B , конденсатор C_1 заряжается через вентиль B_1 до напряжения, равного амплитуде напряжения на вторичной обмотке трансформатора U_{2m} . Во второй полупериод, когда потенциал точки A становится отрицательным, а точки B — положительным, вторичная обмотка трансформатора оказывается соединенной с конденсатором C_1 таким образом, что напряжения на их зажимах складываются. Под воздействием этого суммарного напряжения конденсатор C_2 через вентиль B_2 заряжается почти до удвоенного значения амплитудного напряжения на зажимах вторичной обмотки трансформатора $2U_{2m}$. В процессе заряда конденсатора C_2 происходит разряд конденсатора C_1 . Затем процесс повторяется. При этом напряжение на сопротивлении нагрузки, подключенном параллельно конденсатору C_2 , пульсирует с частотой напряжения сети.

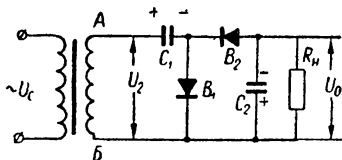


Рис. 174. Однополупериодная схема выпрямителя с удвоением напряжения.

На рис. 175 приведена схема с утроением напряжения. В положительный полупериод, когда потенциал точки A положителен относительно точки B , конденсатор C_1 заряжается через вентиль B_1 до напряжения U_{2m} . В следующий полупериод конденсатор C_2 заряжается через вентиль B_2 до напряжения, равного сумме напряжений конденсатора C_1 и вторичной обмотки трансформатора, т. е. примерно до напряжения $2U_{2m}$. Конденсатор C_1 в это время разряжается. В последующий полупериод, когда происходит повтор-

ная зарядка конденсатора C_1 через вентиль B_1 , запертым окажется вентиль B_2 и конденсатор C_2 разрядится через вентиль B_3 на конденсатор C_3 , зарядив его до напряжения $2U_{2m}$. По окончании зарядки конденсатора C_1 (к концу третьего полуцикла) сопротивление нагрузки окажется под суммарным напряжением конденсаторов C_1 и C_3 , т. е. примерно под утроенным напряжением U_{2m} .

По аналогии с рассмотренными схемами могут быть построены схемы с большей кратностью умножения напряжения — принципиально сколь угодно большой. Однако чем выше кратность умножения напряжения, тем больше вентилях и конденсаторов должно

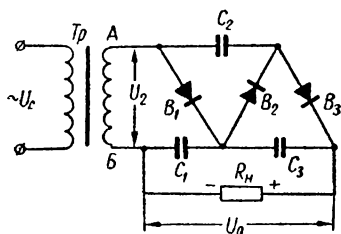


Рис. 175. Схема выпрямителя с утроением напряжения.

быть в схеме и тем более высокие напряжения они должны выдерживать. Поэтому практически ограничиваются умножением напряжения в 2—10 раз.

Следует отметить, что схемы с умножением напряжения не могут обеспечить на нагрузке большой выпрямленный ток. Объясняется это тем, что при большом токе нагрузки конденсаторы, входящие в схему выпрямителя, должны иметь очень большую емкость. В противном случае они будут быстро разряжаться и

пульсации напряжения на нагрузке станут недопустимо большими. Поэтому такие схемы применяются главным образом для получения высоких напряжений при малом токе нагрузки. Кроме того, схемы выпрямления с умножением напряжения целесообразно применять с ненакаливаемыми (полупроводниковыми) вентилями, так как в случае использования в качестве вентилях кенотронов или газотронов схема значительно усложняется и становится очень громоздкой.

13—5. Сглаживающие фильтры

В большинстве случаев при питании электронной аппаратуры допускается весьма малая (порядка десятых долей процента) пульсация выпрямленного напряжения. Между тем на выходе основных выпрямительных схем пульсация во много раз превышает допустимую. Для уменьшения пульсации выпрямленного напряжения применяются сглаживающие фильтры.

Любой сглаживающий фильтр должен обеспечивать снижение пульсации выпрямленного напряжения до заданного уровня, т. е. должен обладать необходимым коэффициентом сглаживания q , величина которого определяется отношением

$$q = \frac{K_n}{K'_n}, \quad (13-27)$$

где K_n и K'_n — коэффициенты пульсации до (K_n) и после (K'_n) сглаживающего фильтра.

Основным требованием, предъявляемым к сглаживающему фильтру, является максимально возможное уменьшение переменных составляющих выпрямленного тока и напряжения в сопротивлении нагрузки. Вместе с тем при построении схем сглаживающих фильтров следует стремиться к тому, чтобы постоянная составляющая выпрямленного тока полностью прошла через сопротивление нагрузки, а потери постоянной составляющей выпрямленного напряжения в элементах фильтра были минимальными.

Наиболее часто элементами сглаживающего фильтра являются дроссель, включенный последовательно в выходную цепь выпря-

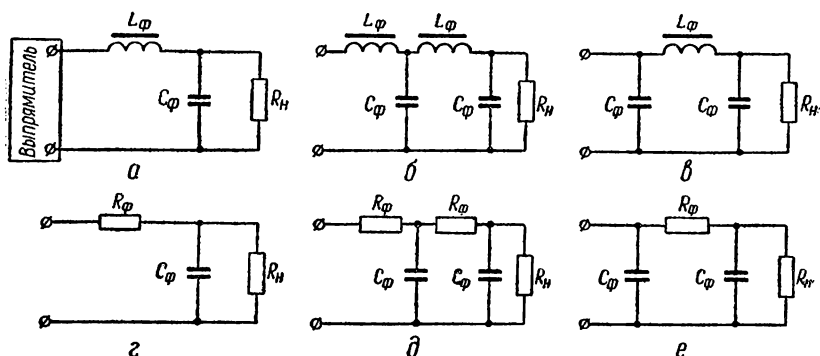


Рис. 176. Схемы сглаживающих фильтров:

а—Г-образный однозвенный фильтр типа LC ; б — двухзвенный фильтр типа LC ; в—П-образный фильтр типа LC ; г—Г-образный однозвенный фильтр типа RC ; д — двухзвенный фильтр типа RC ; е—П-образный фильтр типа RC .

мителя, и конденсатор, включенный параллельно сопротивлению нагрузки (рис. 176, а). Фильтр, приведенный на рис. 176, а, получил название Г-образного фильтра типа LC .

Действие дросселя как элемента фильтра сводится к тому, что в нем теряется наибольшая доля переменной составляющей напряжения, так как его сопротивление $X_{L\phi} = \omega L_{\phi}$ стремятся выбрать значительно больше нагрузочного сопротивления $R_{н}$. Для постоянной составляющей выпрямленного тока индуктивное сопротивление дросселя равно нулю. Следовательно, потери постоянной составляющей напряжения на дросселе обусловлены лишь его незначительным омическим сопротивлением, и в большинстве случаев им можно пренебречь.

Действие конденсатора как элемента фильтра сводится к тому, что, шунтируя сопротивление нагрузки, он пропускает через себя наибольшую долю переменной составляющей выпрямленного тока, так как сопротивление $X_{C\phi} = \frac{1}{\omega C_{\phi}}$ стремятся выбрать значительно меньше нагрузочного сопротивления $R_{н}$. Для постоянного тока сопротивление $X_{C\phi}$ бесконечно велико, и поэтому постоянная со-

ставляющая выпрямленного тока проходит в основном через сопротивление нагрузки.

Произведение $L_\Phi C_\Phi$ (в $\text{гн} \cdot \text{мкф}$) в зависимости от необходимого коэффициента сглаживания определяется по формуле

$$L_\Phi C_\Phi = \frac{2,5 \cdot 10^4 (q + 1)}{m^2 f_c^2}, \quad (13-28)$$

где f_c — частота сети, гц ;

m — число фаз выпрямления (для однополупериодной схемы $m = 1$, для двухполупериодных схем $m = 2$).

Для наиболее распространенных двухполупериодных схем при частоте $f_c = 50 \text{ гц}$

$$L_\Phi C_\Phi = 2,5 (q + 1). \quad (13-29)$$

Величины L_Φ и C_Φ должны быть выбраны так, чтобы выполнялось условие

$$m \omega_c L_\Phi > \frac{1}{m \omega_c C_\Phi}, \quad (13-30)$$

где $\omega_c = 2\pi f_c$ — угловая частота сети.

Обычно в качестве конденсаторов фильтра используются электролитические конденсаторы, обладающие большой емкостью (порядка 10—40 мкф). Задаваясь значением C_Φ и пользуясь формулой (13—29), определяют индуктивность дросселя L_Φ . Правильность расчета проверяют по формуле (13—30).

Для увеличения коэффициента сглаживания могут быть использованы двухзвенные фильтры, представляющие собой сочетание двух одинаковых Г-образных фильтров (рис. 176, б). При этом для практических расчетов можно считать, что коэффициент сглаживания двухзвенного фильтра равен произведению коэффициентов сглаживания каждого звена

$$q = q_1 q_2. \quad (13-31)$$

Часто на выходе выпрямителей используют так называемые П-образные фильтры (рис. 176, в). Принцип их работы ничем не отличается от рассмотренных выше фильтров Г-образного типа.

Особенностью фильтров типа LC является незначительное падение постоянной составляющей выпрямленного напряжения на дросселе, что дает возможность применять такие фильтры в устройствах с относительно большим током нагрузки. Существенным недостатком их является большой вес дросселя, а также образование вокруг дросселя магнитных полей, влияющих на работу различных высокочувствительных узлов электронной аппаратуры.

Эти недостатки устраняются в фильтрах типа RC (рис. 176, г, д, е). Такие фильтры значительно дешевле фильтров типа LC , имеют малые размеры и вес. Однако их целесообразно применять при малых выпрямленных токах (порядка 10—15 ма) и небольших значениях коэффициента сглаживания. Это объясняется тем, что

на активном сопротивлении R_Φ происходят потери как переменной, так и постоянной составляющих выпрямленного напряжения, что при больших токах нагрузки может привести к резкому уменьшению напряжения на выходе фильтра.

Произведение $R_\Phi C_\Phi$ (в $ом \cdot мкф$) определяют по формуле

$$R_\Phi C_\Phi = \frac{1,5 \cdot 10^5 q}{mf_c} . \quad (13-32)$$

Величину сопротивления R_Φ выбирают из условия допустимого падения выпрямленного напряжения на фильтре, а мощность, которую должно рассеивать сопротивление R_Φ , подсчитывают по формуле

$$P = I_0^2 R_\Phi \text{ вт}, \quad (13-33)$$

где I_0 — выпрямленный ток, а;

R_Φ — сопротивление, $ом$.

13—6. Основные типы стабилизаторов напряжения

На выходе выпрямителя напряжение может изменяться либо при изменении напряжения сети, либо при изменении тока нагрузки. Для обеспечения постоянства напряжения на сопротивлении нагрузки применяются стабилизаторы напряжения. В зависимости от места их включения в схему различают стабилизаторы напряжения постоянного и переменного тока. В первом случае стабилизатор включают между выпрямителем и нагрузочным сопротивлением, во втором случае — между источником переменного тока и выпрямителем.

Существуют два принципиально различных метода стабилизации напряжения: параметрический и компенсационный.

В параметрических стабилизаторах напряжения используются элементы с нелинейной зависимостью между током и напряжением. Принцип действия таких стабилизаторов основан на изменении сопротивления (или других параметров) нелинейных элементов, входящих в их схему, при изменении приложенного к ним напряжения или проходящего через них тока. Примером параметрических стабилизаторов могут служить газоразрядные и кремниевые стабилитроны, работа которых рассматривалась в 7—2 и 10—2.

Сущность компенсационного метода сводится к автоматическому регулированию выходного напряжения. Компенсационные стабилизаторы состоят из трех основных элементов: чувствительного, усилительного и исполнительного (рис. 177). В чувствительном элементе выходное напряжение сравнивается с эталонным (опорным) напряжением. При номинальном выходном напряжении напряжение на выходе чувствительного элемента равно нулю. Если же выходное напряжение отклонилось от своего номинального значения, с выхода чувствительного элемента на усилительный элемент будет подаваться управляющее напряжение, равное разности двух

напряжений: эталонного и выходного. Эта разность будет тем больше, чем сильнее отклонилось выходное напряжение от номинала. После усиления управляющее напряжение воздействует на исполнительный элемент так, что при этом компенсируются происшедшие изменения выходного напряжения.

Основным показателем, характеризующим работу любого стабилизатора, является коэффициент стабилизации, показывающий, во сколько раз относительное изменение напряжения на выходе

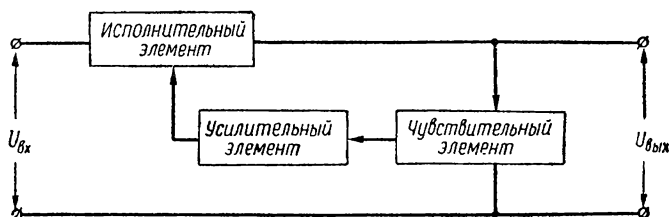


Рис. 177. Блок-схема компенсационного стабилизатора напряжения.

стабилизатора меньше относительного изменения напряжения на его входе,

$$K_{\text{ст}} = -\frac{\Delta U_{\text{вх}}}{U_{\text{вх}}} : -\frac{\Delta U_{\text{вых}}}{U_{\text{вых}}}, \quad (13-34)$$

где $U_{\text{вх}}$ и $U_{\text{вых}}$ — напряжения на входе и выходе стабилизатора; $\Delta U_{\text{вх}}$ и $\Delta U_{\text{вых}}$ — изменения напряжений на входе и выходе стабилизатора.

Важным качественным показателем стабилизатора является его выходное сопротивление. Выходное сопротивление стабилизатора по постоянному току $R_{\text{вых.пост}}$ определяется соотношением

$$R_{\text{вых.пост}} = \frac{U_{\text{вых}}}{I_{\text{вых}}}; \quad (13-35)$$

выходное сопротивление по переменному току $R_{\text{вых.пер}}$

$$R_{\text{вых.пер}} = \frac{\Delta U_{\text{вых}}}{\Delta I_{\text{вых}}}. \quad (13-36)$$

Желательно, чтобы $R_{\text{вых.пост}}$ и $R_{\text{вых.пер}}$ имели небольшую величину. При этом уменьшается общее внутреннее сопротивление блока питания, что приводит к уменьшению падения напряжения на нем и способствует повышению устойчивости работы многокаскадных схем, питающихся от общего источника (см. 5—1).

Стабилизатор напряжения должен обладать малой инерционностью, т. е. практически мгновенно реагировать на быстрые колебания напряжения. Инерционность стабилизаторов характеризуется временем, прошедшим с момента изменения стабилизируемого напряжения до начала воздействия на него стабилизатора.

Наибольшее распространение в настоящее время получили электронные стабилизаторы напряжения постоянного тока и ферромагнитные стабилизаторы переменного тока. Поэтому в последующих параграфах рассматривается работа только этих типов стабилизаторов.

13—7. Электронные стабилизаторы напряжения постоянного тока

В электронных стабилизаторах может быть использован как параметрический, так и компенсационный метод стабилизации напряжения постоянного тока.

Принципиальные схемы электронных стабилизаторов напряжения параметрического типа приведены на рис. 178. В этих схемах

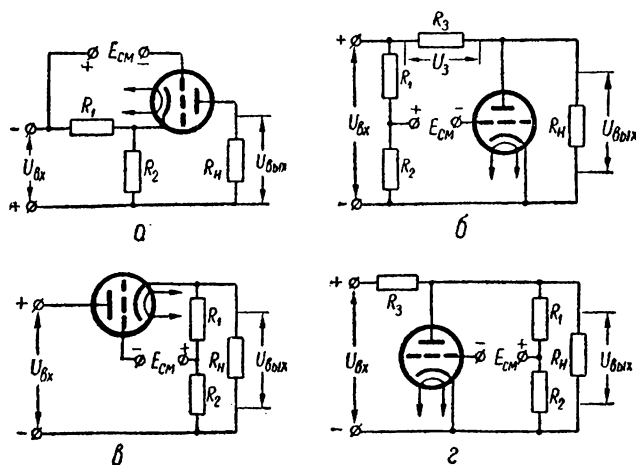


Рис. 178. Схемы электронных стабилизаторов напряжения:
а — с последовательным включением лампы и управлением со стороны входа; б — с параллельным включением лампы и управлением со стороны входа; в — с последовательным включением лампы и управлением со стороны выхода; г — с параллельным включением лампы и управлением со стороны выхода.

роль стабилизирующего элемента, воздействующего на выходное напряжение играет электронная лампа, которая может включаться последовательно с нагрузочным сопротивлением или параллельно ему.

В первом случае, т. е. в стабилизаторе последовательного типа, лампа работает как переменное сопротивление, величина которого автоматически изменяется так, что при этом обеспечивается постоянство напряжения на нагрузочном сопротивлении. Во втором случае, т. е. в стабилизаторе параллельного типа, вследствие изменения сопротивления лампы происходит перераспределение тока между цепью лампы и нагрузкой и таким образом поддерживается постоянство напряжения на нагрузочном сопротивлении.

Каждая из этих групп в свою очередь подразделяется в зависимости от способа включения элементов схемы на стабилизаторы с управлением со стороны входа или со стороны выхода.

Действие схемы стабилизатора последовательного типа с управлением со стороны входа (рис. 178, а) сводится к следующему. Потенциал управляющей сетки лампы равен сумме напряжения батареи сеточного смещения $E_{см}$ и падения напряжения на сопротивлении R_1 . Напряжение на нагрузке $U_{вых}$ равно произведению анодного тока лампы на величину нагрузочного сопротивления ($U_{вых} = I_a R_n$). При изменении входного напряжения $U_{вх}$ одновременно изменяются анодный ток I_a и падение напряжения на сопротивлении R_1 , причем увеличению потенциала анода соответствует уменьшение потенциала сетки, и наоборот. Схема может быть рассчитана таким образом, чтобы изменения анодного тока, обусловленные изменением потенциалов анода и сетки, были одинаковыми по величине. В этом случае анодный ток и напряжение на нагрузке (при постоянстве нагрузочного сопротивления) останутся без изменений.

В стабилизаторе напряжения параллельного типа с управлением со стороны входа (рис. 178, б) потенциал управляющей сетки лампы равен разности напряжения батареи сеточного смещения $E_{см}$ и падения напряжения на сопротивлении R_2 . Напряжение на нагрузке равно разности между входным напряжением и падением напряжения на сопротивлении R_3

$$U_{вых} = U_{вх} - U_3. \quad (13-37)$$

Падение напряжения на сопротивлении R_3 в свою очередь зависит от величины анодного тока лампы.

Из схемы видно, что при увеличении входного напряжения увеличивается ток, проходящий через делитель напряжения, состоящий из сопротивлений R_1 и R_2 . Падение напряжения на сопротивлении R_2 возрастает, что приводит к увеличению потенциала сетки лампы. Это ведет к увеличению анодного тока и к повышению напряжения U_3 . Нетрудно убедиться, что в случае уменьшения входного напряжения потенциал сетки лампы уменьшится. Это вызовет уменьшение анодного тока и понижение напряжения U_3 .

Параметры схемы можно подобрать таким образом, чтобы изменения напряжений $U_{вх}$ и U_3 были одинаковыми и по величине и по знаку. Тогда в соответствии с формулой (13—37) напряжение на выходе стабилизатора останется неизменным.

Стабилизаторы с управлением со стороны входа не могут обеспечить постоянство выходного напряжения при изменении сопротивления нагрузки R_n , вследствие чего они применяются только в тех случаях, когда нагрузка имеет неизменную или мало меняющуюся величину сопротивления.

Схемы стабилизаторов с управлением со стороны выхода (рис. 178, в и г) обеспечивают большую степень постоянства вы-

ходного напряжения даже при изменении тока нагрузки. Это объясняется тем, что на лампу воздействует выходное напряжение. Колебания выходного напряжения независимо от причин их возникновения вызывают регулирование, направленное на поддержание постоянства этого напряжения. Однако такое регулирование возможно только в результате уже происшедших колебаний выходного напряжения, которое поэтому не может быть строго постоянным.

Сам процесс стабилизации напряжения в схемах, управляемых со стороны выхода, ничем не отличается от процесса стабилизации в рассмотренных выше схемах, управляемых со стороны входа.

Электронные стабилизаторы напряжения компенсационного типа сочетают в себе свойства схем с последовательным и параллельным включением ламп и управляются обычно со стороны выхода. Упрощенная схема такого стабилизатора приведена на рис. 179. Чувствительный элемент стабилизатора одновременно служит и усилительным элементом. Он состоит из лампы Λ_2 и Λ_3 и сопротивлений R_1 и R_2 . Исполнительный элемент выполнен на лампе Λ_1 .

В цепи катода лампы Λ_2 стоит стабилитрон Λ_3 . Он служит источником опорного напряжения и поддерживает потенциал катода лампы Λ_2 постоянным. На управляющую сетку лампы Λ_2 подаются два напряжения, направленные навстречу друг другу: напряжение U_{R_2} с переменного сопротивления R_2 и опорное напряжение $U_{оп}$. Следовательно,

$$U_{c(2)} = U_{R_2} - U_{оп}.$$

Напряжение $U_{c(2)}$ определяет величину анодного тока лампы Λ_2 , который, проходя через сопротивление R_1 , создает на нем падение напряжения U_{R_1} . Это напряжение является выходным напряжением чувствительного элемента. Оно приложено между сеткой и катодом исполнительного элемента — регулирующей лампы Λ_1 — и определяет величину ее внутреннего сопротивления.

Напряжение на выходе стабилизатора зависит от входного напряжения $U_{вх}$ и от падения напряжения U_{a1} на внутреннем сопротивлении лампы Λ_1 , которая включена последовательно с сопротивлением нагрузки

$$U_{вых} = U_{вх} - U_{a1}. \quad (13-38)$$

При номинальном входном напряжении схема находится в состоянии динамического равновесия, и напряжение на ее выходе, определяемое параметрами схемы, соответствует заданному.

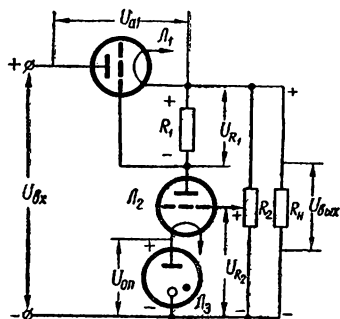


Рис. 179. Электронный стабилизатор напряжения компенсационного типа.

Если напряжение $U_{\text{вх}}$ по какой-либо причине увеличится или произойдет увеличение выходного напряжения за счет изменения сопротивления нагрузки, то увеличится и напряжение U_{R_2} , снимаемое с сопротивления R_2 . Это приведет к увеличению потенциала управляющей сетки лампы L_2 и к росту ее анодного тока. Возрастет падение напряжения на сопротивлении R_1 , которое минусом приложено к сетке лампы L_1 , что приведет к увеличению ее внутреннего сопротивления. Напряжение U_{a1} между анодом и катодом лампы L_1 повысится, что в соответствии с формулой (13—38) приведет к восстановлению прежнего значения напряжения $U_{\text{вых}}$.

При уменьшении напряжения $U_{\text{вх}}$ наблюдается обратная картина, т. е. сопротивление регулирующей лампы уменьшается; следовательно, уменьшается падение напряжения на ней, а напряжение на выходе схемы остается неизменным. Перемещением движка потенциометра R_2 можно регулировать величину выходного напряжения стабилизатора.

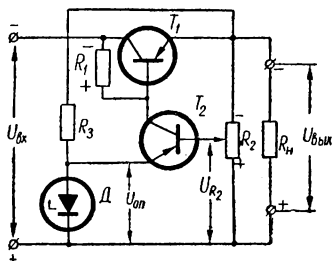


Рис. 180. Транзисторный стабилизатор напряжения компенсационного типа.

На практике в большинстве случаев в качестве ламп L_1 и L_2 используют многоэлектродные лампы — лучевые тетроды и пентоды. Это приводит к некоторому усложнению схемы стабилизаторов, хотя принципиально они ничем не отличаются от схемы на триодах.

Электронные стабилизаторы напряжения обладают рядом ценных качеств, что и обусловило их широкое распространение. Они имеют высокий коэффициент стабилизации ($K_{\text{ст}} = 100 \div 1000$) и работают практически безынерционно. Величина тока нагрузки у электронных стабилизаторов практически не ограничена, но чаще всего такие стабилизаторы рассчитываются на средние мощности (до 500 вт). Напряжение на выходе электронных стабилизаторов может регулироваться в широких пределах (от 10 до 1000 в), а их выходное сопротивление составляет единицы ом.

Вместо ламп в электронных стабилизаторах напряжения могут использоваться полупроводниковые приборы. Принципиально схемы с полупроводниковыми приборами не отличаются от ламповых схем. В качестве примера на рис. 180 показана схема полупроводникового стабилизатора компенсационного типа, аналогичная ламповой схеме, приведенной на рис. 179. В этой схеме кремниевый диод D используется в качестве источника опорного напряжения, транзистор T_2 является одновременно чувствительным и усилительным элементом, а транзистор T_1 служит исполнительным элементом.

Напряжение между базой и эмиттером транзистора T_2 равно разности напряжений $U_{\text{оп}}$ и U_{R_2} . Если по какой-либо причине на-

пряжение на нагрузке возрастет, то увеличится напряжение U_{R_2} , которое приложено в прямом направлении к эмиттерному переходу транзистора T_2 . Вследствие этого увеличится эмиттерный и коллекторный токи данного транзистора. Проходя по сопротивлению R_1 , коллекторный ток транзистора T_2 создаст на нем падение напряжения, которое по своей полярности является обратным для эмиттерного перехода транзистора T_1 . Эмиттерный и коллекторный токи этого транзистора уменьшатся, что приведет к восстановлению номинального напряжения на нагрузке. Точно так же можно проследить изменения токов при уменьшении напряжения на нагрузке.

Полупроводниковые стабилизаторы характеризуются высоким коэффициентом стабилизации (до 1000) и низким выходным сопротивлением (до десятых долей ома). Однако в этих стабилизаторах трудно получить такие высокие выходные напряжения, как в электронных. Поэтому полупроводниковые стабилизаторы обычно применяются для стабилизации низких напряжений (10—30 в), например в блоках питания устройств, собранных на полупроводниковых приборах.

13—8. Электромагнитные стабилизаторы переменного напряжения

В современных блоках питания для стабилизации переменного напряжения сети обычно применяются электромагнитные стабилизаторы. В них используется параметрический метод стабилизации напряжения. В зависимости от типа нелинейного элемента электромагнитные стабилизаторы делятся на два основных вида: 1) стабилизаторы с насыщенным магнитным сердечником; 2) стабилизаторы с использованием резонанса токов или напряжений (феррорезонансные стабилизаторы).

Стабилизаторы с насыщенным магнитным сердечником.

В таких стабилизаторах используется нелинейность кривой намагничивания ферромагнитных материалов. Наиболее распространенная схема стабилизатора такого типа изображена на рис. 181, а.

Стабилизатор состоит из трансформатора специальной конструкции, представляющего собой трехстержневой сердечник, на котором имеются три обмотки. На среднем стержне расположена первичная обмотка, на нее подается переменное стабилизируемое напряжение сети U_c . На левом стержне, сечение которого берется меньше среднего, расположена вторичная обмотка. Последовательно со вторичной обмоткой включена компенсационная обмотка.

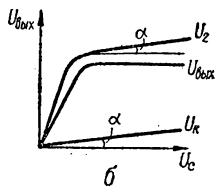
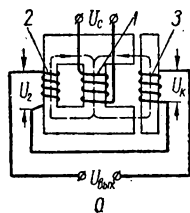


Рис. 181. Электромагнитный стабилизатор напряжения с насыщенным магнитным сердечником:

а — схема; б — графическое пояснение работы.

Стержень, на котором расположена компенсационная обмотка, может перемещаться, изменяя величину зазора в магнитопроводе. Этим регулируется величина магнитного потока, пронизывающего витки компенсационной обмотки.

Напряжение компенсационной обмотки U_k направлено навстречу напряжению вторичной обмотки U_2 . Поэтому напряжение на выходе стабилизатора равно

$$U_{\text{вых}} = U_2 - U_k.$$

Первичная и компенсационная обмотки работают в ненасыщенном режиме. Вторичная же обмотка за счет малого сечения сердечника работает в режиме глубокого насыщения. Поэтому при изменении напряжения U_c вторичные напряжения U_2 и U_k будут изменяться неодинаково.

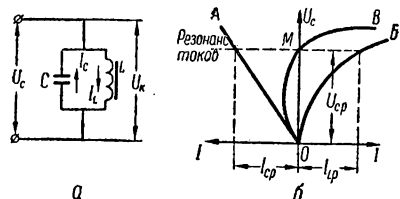


Рис. 182. Феррорезонансный параллельный контур:
а — схема; б — графическое пояснение феррорезонанса токов.

При увеличении U_c от нуля до максимального значения вторичное напряжение U_2 вначале резко возрастает, а затем — при достижении области насыщения — растет незначительно (рис. 181, б). В то же время напряжение U_k компенсационной обмотки возрастает

приблизительно пропорционально напряжению U_c . Данные трансформатора могут быть подобраны таким образом, чтобы в интересующем нас диапазоне колебаний напряжения U_c кривые U_2 и U_k имели одинаковый угол наклона α . Тогда выходное напряжение стабилизатора $U_{\text{вых}}$, равное разности U_2 и U_k , не будет зависеть от входного напряжения U_c .

К достоинствам рассмотренной схемы можно отнести: простоту конструкции, надежность в работе и безынерционность. Недостатками схемы являются: небольшие пределы стабилизации, искажение формы кривой стабилизированного напряжения, низкий к. п. д. и $\cos \phi$, а также зависимость величины стабилизированного напряжения от частоты сети. Ввиду перечисленных недостатков стабилизаторов с насыщенным магнитным сердечником более широкое применение получили феррорезонансные стабилизаторы.

Феррорезонансные стабилизаторы. Нелинейным элементом в феррорезонансных стабилизаторах напряжения служит резонансный контур, состоящий из насыщенного дросселя и емкости, причем контур может быть последовательным или параллельным. Практически более высокий коэффициент стабилизации и к. п. д. удается получить при параллельном включении дросселя и конденсатора, т. е. при феррорезонансе токов.

На рис. 182, а приведена схема феррорезонансного параллельного контура. Предположим, что активным сопротивлением контура

можно пренебречь, а частота напряжения сети остается все время неизменной: $f_c = \text{const}$. Будем изменять величину напряжения сети от нуля до максимума.

С ростом приложенного к контуру напряжения ток I_c в емкостной ветви будет увеличиваться прямо пропорционально напряжению U_c . Это видно из формулы

$$I_c = \frac{U_c}{\frac{1}{\omega C}} = U_c \omega C.$$

При постоянных ω и C ток I_c изменяется прямо пропорционально напряжению U_c . Поэтому вольт-амперная характеристика конденсатора контура представляет собой прямую линию OA (рис. 182, б). Ток в индуктивной ветви при увеличении U_c растет по кривой намагничивания OB , так как с ростом приложенного к контуру напряжения увеличивается магнитное насыщение дросселя, а его реактивное сопротивление уменьшается. Фаза тока в индуктивной ветви противоположна фазе емкостного тока.

Зависимость общего тока контура (тока в неразветвленной цепи) от приложенного напряжения изображается кривой OB , которая получается в результате сложения абсцисс емкостного и индуктивного токов с учетом их знаков. Из рис. 182, б видно, что в точке M кривая OB пересекает ось ординат. Это означает, что при определенном напряжении сети U_{cr} токи в индуктивной и емкостной ветви, будучи в противофазе, становятся равными друг другу по величине ($I_{cr} = I_{Lp}$), вследствие чего общий ток контура уменьшается до нуля. При этих условиях в контуре наступает резонанс токов. Следует обратить внимание на то, что резонанс наступает только при вполне определенных значениях частоты f_c и напряжения U_{cr} сети.

Приведенный на рис. 182, б график соответствует идеальному контуру, в котором отсутствует активное сопротивление. В реальном контуре общий ток при резонансе не равен нулю. Поэтому вольт-амперная характеристика реального контура имеет вид, изображенный на рис. 183. Для удобства график построен без учета фазы тока, т. е. характеристика размещена по одну сторону от оси ординат. Как видно из рис. 183, в момент резонанса, соответствующего точке M , общий ток контура $I_{\text{общ}}$ отличается от нуля. Кроме того, очевидно, что вольт-амперная характеристика параллельного контура нелинейна, а пологость ее горизонтальной части (участок MB) весьма большая. Следовательно, применяя такой контур в качестве нелинейного элемента в параметрическом стабилизаторе, можно получить высокий коэффициент стабилизации напряжения.

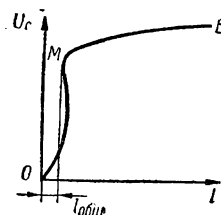


Рис. 183. Вольт-амперная характеристика реального феррорезонансного контура.

Пределы стабилизации напряжения в феррорезонансных стабилизаторах значительно шире, чем в электромагнитных стабилизаторах с насыщенным магнитным сердечником. Объясняется это большой длиной рабочего участка MB вольт-амперной характеристики, который начинается почти у оси ординат (рис. 183).

По конструкции стабилизаторы напряжения с параллельным контуром могут быть весьма различными. Одна из возможных схем такого стабилизатора приведена на рис. 184.

Трехстержневой трансформатор стабилизатора по своему устройству аналогичен трансформатору схемы, приведенной на рис. 181, а.

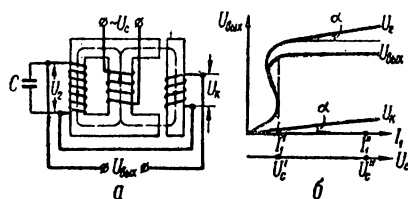


Рис. 184. Феррорезонансный стабилизатор напряжения:

а — схема; б — графическое пояснение работы.

Первичная и компенсационная обмотки работают в ненасыщенном режиме, а вторичная обмотка, которая совместно с конденсатором образует параллельный контур, работает в режиме глубокого насыщения. Напряжения U_2 и U_k включены встречно. Поэтому выходное напряжение стабилизатора

$$U_{\text{вых}} = U_2 - U_k.$$

График, поясняющий работу стабилизатора, приведен на рис. 184, б. Под воздействием напряжения сети U_c в первичной обмотке трансформатора проходит ток I_1 . Магнитный поток, создаваемый этим током, пересекает витки вторичной и компенсационной обмоток, что приводит к появлению на этих обмотках напряжений U_2 и U_k . При изменении напряжения сети в диапазоне от U'_c до U''_c ток в первичной обмотке изменяется от I'_1 до I''_1 . При этом напряжения U_2 и U_k будут также изменяться, но закон их изменения неодинаков. Напряжение U_2 в рабочем диапазоне, соответствующем области насыщения, растет незначительно, а напряжение U_k увеличивается приблизительно пропорционально напряжению U_c (или току I_1). Данные трансформатора подбирают таким образом, чтобы угол наклона α кривых U_2 и U_k в диапазоне изменений напряжения сети от U'_c до U''_c был одинаков. В этом случае выходное напряжение стабилизатора, равное разности U_2 и U_k , не будет зависеть от входного напряжения U_c .

Феррорезонансные стабилизаторы поддерживают напряжение на выходе с большой точностью (до 0,5%), но очень чувствительны к изменениям частоты питающего напряжения. Обычно изменение частоты на 1—2% вызывает изменение выходного напряжения на 2—3%. При использовании феррорезонансных стабилизаторов следует учитывать, что вокруг них в процессе работы образуется сильное магнитное поле рассеяния, которое может создать наводки на усилители и измерительную аппаратуру.

14—1. Назначение и классификация усилителей

Наиболее важное назначение электронных ламп и полупроводниковых триодов — усиление электрических сигналов. Устройства, предназначенные для выполнения этой задачи, называются *усилителями*.

Усилительные устройства находят очень широкое применение. Они являются основными узлами различной радиотехнической аппаратуры, широко используются в устройствах автоматики и телемеханики, в следящих, управляющих и регулирующих системах, в счетно-решающих и вычислительных машинах, в контрольно-измерительных приборах и во многих других областях промышленности, техники и науки.

Развитию и совершенствованию усилительной техники в значительной степени способствовали работы советских ученых В. И. Коваленкова, М. А. Бонч-Бруевича, А. И. Берга, Г. Б. Брауде, О. Б. Лурье, Г. В. Войшвилло, Г. С. Цыкина, А. А. Ризкина, С. И. Кризе и многих других.

Классификация усилителей может быть произведена по нескольким признакам. Основным из них является диапазон частот электрических колебаний, в пределах которого данный усилитель может удовлетворительно работать.

По этому признаку усилители делятся на следующие типы:

Усилители низкой частоты (УНЧ), предназначенные для усиления электрических сигналов, частотный спектр которых ограничен диапазоном звуковых частот.

Звуковыми колебаниями, или колебаниями звуковой частоты, называются колебания с частотами примерно от 20 *гц* до 16—20 *кгц*, которые способно воспринять ухо человека. К электрическим колебаниям звуковой частоты относятся переменные напряжения или токи, величины которых периодически изменяются с такими же частотами. Чаще всего электрические колебания звуковой частоты получаются в результате преобразования звуковых сигналов и после усиления должны быть воспроизведены в виде звуков. Поэтому УНЧ широко используются в аппаратуре радиовещания, радиосвязи, проводной связи, записи и воспроизведения звука, а также в других устройствах, где необходимо усиление электрических колебаний звуковой частоты.

Характерной особенностью УНЧ является то, что отношение верхней усиливаемой частоты f_v к нижней f_n у усилителей данного типа велико и обычно составляет не менее нескольких десятков, доходя в отдельных случаях до десятков тысяч.

Усилители высокой частоты (УВЧ). К этому виду усилительных устройств относятся, например, применяемые в радиоприемниках

и радиопередатчиках усилители модулированных колебаний с несущими частотами порядка сотен килогерц и выше.

УВЧ должны пропускать сравнительно узкую полосу радиочастот (например, от 300 до 330 *кГц*). Поэтому для них характерна небольшая величина отношения верхней частоты к нижней (порядка 1,1) при полосе пропускания в 20—30 *кГц*. Узкая полоса частотного диапазона позволяет использовать в УВЧ в качестве нагрузки электронной лампы или полупроводникового триода систему из одного или нескольких резонансных контуров. Поэтому такие усилители часто называются резонансными, или избирательными.

Широкополосные усилители, усиливающие очень широкую полосу частот (от нескольких герц до нескольких мегагерц). Эти усилители предназначены для усиления сигналов в устройствах импульсной связи, радиолокации и телевидения. Во многих случаях усиленные сигналы воспроизводятся на экране электронно-лучевой трубки и регистрируются визуально. Поэтому часто широкополосные усилители называют видеоусилителями.

Усилители постоянного тока (или *напряжения*), предназначенные для усиления электрических сигналов в диапазоне частот от нуля ($f_n = 0$) до высшей рабочей частоты f_v , составляющей несколько килогерц и выше. Эти усилители применяются в измерительной аппаратуре, автоматических устройствах, счетных машинах и т. д.

По роду применяемых в усилителе усилительных элементов усилители делятся на *ламповые*, *полупроводниковые*, *магнитные*, *дизлектрические*, *электромашинные* и др. Ламповые и полупроводниковые усилители обычно называют *электронными* усилителями, так как принцип их действия основан на электронных процессах в вакууме или полупроводнике. Этот тип усилителей получил наибольшее распространение в электронной аппаратуре.

По назначению различают *усилители напряжения* и *усилители мощности* в зависимости от того, какая из этих величин на выходе (на нагрузке) должна быть значительно больше, чем на входе.

Усилители различаются также способом включения усилительного элемента в схему и особенностями междукаскадных связей.

14—2. Основные показатели работы усилителя

Важнейшими качественными показателями усилителя являются: коэффициент усиления, диапазон усиливаемых частот, выходная мощность, номинальное входное напряжение (чувствительность), коэффициент полезного действия, динамический диапазон амплитуд и уровень помех, а также коэффициенты нелинейных и частотных искажений усиливаемого сигнала.

Коэффициент усиления. Коэффициентом усиления по напряжению, или просто коэффициентом усиления, K называется величина, показывающая, во сколько раз переменное напряжение на выходе

усилителя больше, чем на входе,

$$K = \frac{U_{\text{вых}}}{U_{\text{вх}}}. \quad (14-1)$$

Этот коэффициент является одним из основных показателей, характеризующих работу усилителя напряжения. Для усилителей мощности более важной величиной является выходная мощность. Значение коэффициента усиления K у различных усилителей напряжения может иметь величину порядка десятков и сотен. Но и этого в ряде случаев недостаточно для получения на выходе усилителя сигнала требуемой амплитуды. Тогда прибегают к последовательно-

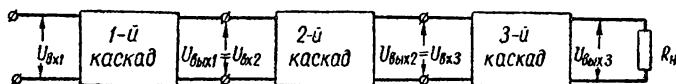


Рис. 185. Блок-схема усилителя.

му включению ряда усилительных каскадов (рис. 185). Для многокаскадных усилителей общий коэффициент усиления равен произведению коэффициентов усиления отдельных каскадов

$$K = K_1 K_2 \dots K_n. \quad (14-2)$$

Для блок-схемы усилителя, приведенной на рис. 185,

$$K = K_1 K_2 K_3$$

или

$$K = \frac{U_{\text{вых3}}}{U_{\text{вх1}}}.$$

Легко проверить, что

$$K_1 K_2 K_3 = \frac{U_{\text{вых1}}}{U_{\text{вх1}}} \cdot \frac{U_{\text{вых2}}}{U_{\text{вх2}}} \cdot \frac{U_{\text{вых3}}}{U_{\text{вх3}}} = \frac{U_{\text{вых3}}}{U_{\text{вх1}}},$$

т. е. справедливость формулы (14-2) доказана.

Коэффициент усиления, вычисленный по формуле (14-1), представляет собой отвлеченное число. В радиоэлектронике распростран также способ оценки различных уровней однотипных величин особыми логарифмическими единицами — децибелами (дб). Коэффициент усиления, выраженный в децибелах, равен десятичному логарифму отношения выходного и входного напряжения, умноженному на двадцать,

$$K_{\text{дб}} = 20 \lg \frac{U_{\text{вых}}}{U_{\text{вх}}} = 20 \lg K. \quad (14-3)$$

Обратный переход от децибел к отвлеченному числу производится при помощи выражения

$$K = 10^{\frac{K_{\text{дб}}}{20}}. \quad (14-4)$$

Если принять $K_{дб} = 1$, то

$$K = 10^{\frac{K_{дб}}{20}} = 10^{\frac{1}{20}} = 1,12.$$

Следовательно, усиление равно одному децибелу, если напряжение на выходе усилителя в 1,12 раза (на 12%) больше, чем напряжение на входе. Коэффициент усиления многокаскадного усилителя, выраженный в децибелах, представляет собой сумму коэффициентов усиления отдельных каскадов усилителя, выраженных в тех же единицах,

$$20 \lg K = 20 \lg K_1 + 20 \lg K_2 + \dots + 20 \lg K_n,$$

т. е.

$$K_{дб} = K_{1дб} + K_{2дб} + \dots + K_{nдб}. \quad (14-5)$$

Пример. Трехкаскадный усилитель имеет коэффициент усиления первого каскада $K_1 = 100$, второго — $K_2 = 4$ и третьего — $K_3 = 32$. Найдем общий коэффициент усиления в относительных единицах и в децибелах

$$K = K_1 K_2 K_3 = 100 \cdot 4 \cdot 32 = 12\,800;$$

$$K_{дб} = 20 \lg K_1 + 20 \lg K_2 + 20 \lg K_3 = 20 \lg 100 + 20 \lg 4 + 20 \lg 32 = 40 + 12 + 30 = 82 \text{ дб}.$$

Проверяем правильность решения

$$K_{дб} = 20 \lg 12\,800 = 20 \cdot 4,1 = 82 \text{ дб}.$$

Кроме коэффициента усиления по напряжению, иногда пользуются коэффициентами усиления по току и по мощности, которые также могут быть выражены в децибелах. Например, если мощность колебаний на входе усилителя имела значение $P_{вх}$, а затем повысилась до $P_{вых}$, то коэффициент усиления по мощности в децибелах можно найти по формуле

$$K_{Рдб} = 10 \lg \frac{P_{вых}}{P_{вх}}. \quad (14-6)$$

Следует помнить, что для перехода к децибелам при логарифме отношения мощностей ставится множитель 10, а при логарифме отношения напряжений или токов — 20. Это объясняется тем, что мощность пропорциональна квадрату напряжения или квадрату тока

$$P = \frac{U^2}{R} = I^2 R.$$

Диапазон усиливаемых частот. Диапазоном усиливаемых частот, или полосой пропускания усилителя, называется та область частот, в которой коэффициент усиления изменяется не больше, чем это допустимо по техническим условиям.

Допустимые изменения коэффициента усиления в пределах по-

лосы пропускания зависят от назначения и условий работы усилителя. В УНЧ, например, эти изменения обычно не превышают 3 дБ. Различные по назначению усилители характеризуются резко различными диапазонами частот. Так, усилитель телефонных сигналов может иметь диапазон частот, ограниченный пределами 300—2500 гц в то время как усилитель телевизионных сигналов (видеоусилитель) имеет полосу пропускания от нескольких десятков герц до нескольких мегагерц. Следует иметь в виду, что с расширением полосы пропускания возрастает стоимость аппаратуры и усложняется ее конструкция. Кроме того, может увеличиться воздействие на усилитель различного вида помех. Поэтому обычно частотный диапазон усилителя сужают до минимальных пределов, обеспечивающих необходимое качество работы усилителя. Даже высококачественные усилители звуковой частоты редко имеют полосу пропускания, выходящую за пределы 50 гц — 10 кГц.

Выходная мощность. Одним из основных показателей, характеризующих усилитель мощности, является выходная мощность $P_{\text{вых}}$, т. е. та полезная мощность, которую развивает усилитель на сопротивлении нагрузки,

$$P_{\text{вых}} = \frac{U_{\text{вых}}^2}{R_{\text{н}}}, \quad (14-7)$$

где $R_{\text{н}}$ — активная составляющая сопротивления нагрузки.

Увеличение выходной мощности усилителя ограничено искажениями, которые возникают за счет нелинейности характеристик ламп при больших амплитудах сигналов. Поэтому чаще всего усилитель характеризуют максимальной мощностью, которую можно получить на выходе при условии, что искажения не превышают заданной (допустимой) величины. Эта мощность называется *номинальной* выходной мощностью усилителя. В зависимости от типа и назначения усилителя номинальная мощность может быть от десятых долей ватта до десятков и даже сотен киловатт.

Номинальное входное напряжение (чувствительность). Номинальным входным напряжением называется то напряжение, которое нужно подвести к входу усилителя, чтобы получить номинальную выходную мощность. Входное напряжение зависит от типа источника усиливаемых колебаний. Например, динамический микрофон развивает на входном сопротивлении усилителя напряжение 0,5—2 мВ, детектор радиоприемника — 1—3 в, пьезоэлектрические и индукционные датчики — порядка единиц и даже десятков вольт. Подача на вход усилителя напряжения, превышающего номинальное, приводит к значительным искажениям сигнала и называется перегрузкой со стороны входа.

Если усилитель предназначен для работы от нескольких источников, то его вход рассчитывается обычно на наименьшее напряжение, которое дает один из источников, а другие источники колебаний включаются через делители напряжения.

Коэффициент полезного действия усилителя. Коэффициент полезного действия является важным показателем усилителя мощности, так как позволяет оценить его экономичность. Для электронных усилителей к. п. д. представляет собой отношение номинальной выходной мощности $P_{\text{вых}}$ к мощности, потребляемой усилителем от всех источников питания, $P_{\text{общ}}$

$$\eta = \frac{P_{\text{вых}}}{P_{\text{общ}}} 100\%. \quad (14-8)$$

Найденный по формуле (14—8) к.п.д. называется полным, или промышленным, к. п. д. усилителя.

Для ламповых усилителей часто интересуются к. п. д. только по анодной цепи лампы, или так называемым электрическим к. п. д.,

$$\eta_s = \frac{P_{\text{вых}}}{P_0} 100\%, \quad (14-9)$$

где P_0 — мощность, потребляемая от источника анодного питания.

Электрический к. п. д. учитывает потери только в анодных цепях усилительных каскадов — главным образом мощность, рассеиваемую анодами электронных ламп. В зависимости от схемы и режима работы усилителя мощности к. п. д. анодной цепи достигает 30—60%. Электрический к. п. д. усилителя всегда больше промышленного.

Динамический диапазон амплитуд. Уровень собственных помех усилителя. В процессе работы усилителя на его вход могут подаваться электрические колебания с непостоянной амплитудой. При этом амплитуда напряжения на выходе усилителя также будет изменяться пропорционально амплитуде напряжения, подаваемого на вход. Отношение амплитуд наиболее сильного и наиболее слабого сигналов на выходе усилителя называют *динамическим диапазоном амплитуд* D . Динамический диапазон обычно выражают в децибелах

$$D = 20 \lg \frac{U_{\text{вых. макс}}}{U_{\text{вых. мин}}} \quad (14-10)$$

Уровень наиболее слабого передаваемого сигнала ограничивается в усилителе его собственными шумами или уровнем помех. Величина максимального передаваемого напряжения ограничена искажениями, возникающими в усилителе за счет нелинейности характеристик усилительных элементов. Для увеличения динамического диапазона усилителя необходимо стремиться к уменьшению его собственных помех.

Причины возникновения помех на выходе усилителя различны. Их можно разделить на три основные группы: 1) тепловые шумы, 2) шумы усилительных элементов, 3) помехи из-за пульсаций напряжения питания и наводок со стороны внешних электрических и магнитных полей.

Рассмотрим воздействие этих помех на работу усилителя. Известно, что в проводниках и полупроводниках при нормальной комнатной температуре (порядка 20°C) электроны движутся хаотически, причем в каждый данный момент количество электронов, движущихся в каком-либо одном направлении, превышает количество электронов, движущихся в других направлениях. Преимущественное движение электронов в любом направлении является электрическим током, и, следовательно, при этом на проводнике или полупроводнике создается напряжение, не подчиняющееся какому-либо определенному закону. Так как впервые с этим напряжением столкнулись при создании радиовещательных приемников, в которых оно после усиления попадало к громкоговорителю и создавало шум, то его называли *напряжением шумов*.

Шумовые напряжения, в силу своей случайности, имеют самые различные частоты и фазы и поэтому практически охватывают всю полосу частот усилителя. Следовательно, с увеличением полосы пропускания усилителя уровень шума возрастает. Кроме того, шум тем больше, чем выше температура и больше величина сопротивления цепи, которая создает напряжение шумов. С достаточной для практики точностью напряжение тепловых шумов при температуре $20\text{—}25^\circ \text{C}$ можно найти по формуле

$$U_{\text{т.ш}} = 0,13 \sqrt{(f_{\text{в}} - f_{\text{н}}) R}, \quad (14-11)$$

где $U_{\text{т.ш}}$ — напряжение тепловых шумов, *мкв*;

$f_{\text{в}}$ и $f_{\text{н}}$ — высшая и низшая частоты, пропускаемые цепью, *кГц*;

R — активная составляющая сопротивления цепи в полосе частот от $f_{\text{н}}$ до $f_{\text{в}}$, *ком*.

Все цепи усилителя создают напряжение тепловых шумов, однако особенно большое влияние оказывают собственные шумы первых усилительных каскадов, так как эти шумы в дальнейшем усиливаются всеми последующими каскадами. Если, например, высшая и низшая рабочие частоты усилителя равны 10 000 и 100 *Гц*, а активное сопротивление входной цепи составляет 100 *ком*, то напряжение тепловых шумов будет равно

$$U_{\text{т.ш}} = 0,13 \sqrt{(10 - 0,1) \cdot 100} \approx 1,25 \text{ мкв.}$$

Приведенные вычисления показывают, что величина напряжения тепловых шумов очень мала. Поэтому помехи от тепловых шумов в усилителях сказываются лишь при больших коэффициентах усиления. Напряжение шумов может возникнуть также из-за неравномерности движения носителей электрических зарядов через усилительный элемент. В ламповых усилителях одной из основных причин возникновения собственного шума является непостоянство во времени (флуктуации) количества электронов, излучаемых катодом. Это явление называется *дробовым эффектом*. Дробовой эффект создает флуктуации анодного тока, в результате чего возникает флук-

туационное (шумовое) напряжение $U_{ш.а}$ на сопротивлении анодной нагрузки лампы.

Уровень шумов зависит от режима работы и конструкции лампы. При больших анодных токах шумы возрастают, так как в этом случае флуктуации подвергается большее число электронов. Наличие положительно заряженных сеток, перехватывающих на себя часть электронного потока, также увеличивает шумы, так как непостоянство тока эмиссии усугубляется непостоянством его распределения между электродами. Из усилительных ламп наименьшим уровнем шумов обладает триод.

Неравномерность движения носителей зарядов в полупроводниковых триодах сказывается еще сильнее, чем в электронных лампах. Поэтому напряжение шумов транзисторов значительно выше, чем у электронных ламп, что является их крупным недостатком. Уровень шумов транзисторов обычно оценивают коэффициентом шума, выражаемым в децибелах и показывающим, на сколько децибел включенный в цепь транзистор повышает уровень шумов по сравнению с тепловыми шумами цепи.

Большое влияние на общий уровень помех усилителя оказывают пульсации напряжений источников питания, а также наводки со стороны внешних электрических и магнитных полей. Уменьшение этих помех может быть достигнуто применением дополнительных сглаживающих фильтров на выходе источников питания и тщательной экранировкой наиболее ответственных цепей усилителя (главным образом входных).

Величина общих помех на выходе усилителя должна быть значительно меньше напряжения усиленного сигнала; в противном случае из хаотически изменяющегося напряжения помех нельзя будет выделить полезный сигнал. Обычно считают, что полезный сигнал должен превышать уровень помех не менее чем в 2—3 раза (на 6—10 дБ).

Искажения в усилителях. При усилении электрических сигналов наиболее существенны нелинейные и частотные искажения.

Нелинейные искажения представляют собой изменение формы кривой усиливаемых колебаний, вызванное нелинейными свойствами цепи, через которую эти колебания проходят. Основной причиной появления нелинейных искажений в усилителе является нелинейность характеристик электронных ламп и полупроводниковых триодов, а также характеристик намагничивания трансформаторов или дросселей с железными сердечниками. Чем больше нелинейность усилителя, тем сильнее искажается им синусоидальное напряжение, подаваемое на вход, и, следовательно, выходное напряжение усилителя будет несинусоидальным. Из математики (теорема Фурье) известно, что всякая несинусоидальная периодическая кривая может быть представлена суммой ряда синусоид: основной частоты и высших гармоник. Таким образом, в результате нелинейных искажений на выходе усилителя, кроме полезного сигнала (основная гармони-

ка), появляются высшие гармоники, т. е. совершенно новые колебания, которых не было на входе. Степень нелинейных искажений усилителя обычно оценивают величиной *коэффициента нелинейных искажений* (коэффициента гармоник)

$$\gamma = \sqrt{\frac{P_2 + P_3 + \dots + P_n}{P_1}}, \quad (14-12)$$

где $P_2 + P_3 + \dots + P_n$ — сумма электрических мощностей, выделяемых на нагрузке гармониками, появившимися в результате нелинейного усиления;

P_1 — электрическая мощность первой гармоники.

В тех случаях, когда сопротивление нагрузки имеет одну и ту же величину для всех гармонических составляющих усиленного сигнала, можно записать выражение для γ так:

$$\gamma = \frac{\sqrt{I_2^2 + I_3^2 + \dots + I_n^2}}{I_1} = \frac{\sqrt{U_2^2 + U_3^2 + \dots + U_n^2}}{U_1}, \quad (14-13)$$

где I_1, I_2, I_3 и т. д. — действующие (или амплитудные) значения первой, второй, третьей и т. д. гармоник тока на выходе;

U_1, U_2, U_3 и т. д. — действующие (или амплитудные) значения первой, второй, третьей и т. д. гармоник выходного напряжения.

Коэффициент нелинейных искажений обычно выражают в процентах, поэтому найденное по формулам (14—12) и (14—13) значение γ следует умножить на 100. Общая величина нелинейных искажений, действующих на выходе усилителя и созданных отдельными каскадами этого усилителя, определяется по формуле

$$\gamma_{\text{общ}} = \gamma_1 + \gamma_2 + \dots + \gamma_n, \quad (14-14)$$

где $\gamma_1, \gamma_2, \dots, \gamma_n$ — нелинейные искажения, вносимые каждым каскадом усилителя. Допустимая величина коэффициента нелинейных искажений всецело зависит от назначения усилителя. Например, для высококачественного звуковоспроизведения в УНЧ коэффициент нелинейных искажений не должен превышать 4—5%, для радиовещания второго класса — до 8%, для телефонии — до 10—15%. С увеличением амплитуды входного сигнала нелинейные искажения возрастают, так как при этом увеличивается рабочий участок характеристики, вследствие чего сильнее сказывается его кривизна. Однако в схемах автоматики в большинстве случаев существенно лишь среднее, а не мгновенное значение усиливаемого тока или напряжения. Величина γ в этих схемах особого значения не имеет. Поэтому рабочая область управляющих входных напряжений может быть

расширена за счет использования криволинейных участков характеристики усилительного элемента.

Частотными называются искажения, обусловленные изменением величины коэффициента усиления на различных частотах. Причиной частотных искажений является присутствие в схеме усилителя реактивных элементов — конденсаторов, катушек индуктивности, междueleктродных емкостей ламп, емкости монтажа и т. д. Зависимость величины реактивного сопротивления от частоты не позволяет получить постоянный коэффициент усиления в широкой полосе частот.

Частотные искажения, вносимые усилителем, оценивают по его *частотной характеристике*, представляющей собой зависимость

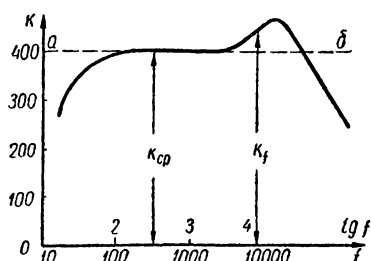


Рис. 186. Частотная характеристика УНЧ.

коэффициента усиления от частоты усиливаемого сигнала. В зависимости от типа и назначения усилителя формы частотных характеристик могут быть различными. Для примера на рис. 186 показана типичная частотная характеристика УНЧ. При построении частотных характеристик частоту по оси абсцисс удобнее откладывать не в линейном, а в логарифмическом масштабе (для каждой частоты фактически по оси откладывается

величина $\lg f$, а подписывается значение частоты). Если частоту отложить в линейном масштабе, то такая характеристика будет неудобной для пользования, так как все нижние частоты будут очень сжаты у самого начала координат, а область верхних частот окажется слишком растянутой.

Степень искажений на отдельных частотах выражается коэффициентом частотных искажений M , равным отношению коэффициента усиления на средней частоте K_{cp} к коэффициенту усиления на данной частоте K_f

$$M = \frac{K_{cp}}{K_f}. \quad (14-15)$$

Обычно наибольшие частотные искажения возникают на границах диапазона частот f_n и f_b . Коэффициенты частотных искажений в этом случае равны

$$M_n = \frac{K_{cp}}{K_n}; \quad M_b = \frac{K_{cp}}{K_b}, \quad (14-16)$$

где K_n и K_b — соответственно коэффициенты усиления на нижних и верхних частотах диапазона. Из определения коэффициента частотных искажений следует, что если $M > 1$, то частотная характеристика в области данной частоты западает, а если $M < 1$, — имеет

подъем. Для усилителя низкой частоты идеальной частотной характеристикой является горизонтальная прямая (линия *ab* на рис. 186).

Коэффициент частотных искажений многокаскадного усилителя равен произведению коэффициентов частотных искажений отдельных каскадов

$$M = M_1 M_2 M_3 \dots M_n. \quad (14-17)$$

Следовательно, частотные искажения, возникающие в одном каскаде усилителя, могут быть скомпенсированы в другом, чтобы общий коэффициент частотных искажений не выходил за пределы заданного. Коэффициент частотных искажений, так же как и коэффициент усиления, удобно выражать в децибелах

$$M_{дб} = 20 \lg M. \quad (14-18)$$

В случае многокаскадного усилителя он равен

$$M_{дб} = M_{1дб} + M_{2дб} + \dots + M_{nдб}. \quad (14-19)$$

Допустимая величина частотных искажений зависит от назначения усилителя. Например, для усилителей сигналов речи и музыки в рабочей полосе частот допускают частотные искажения в пределах 1—6 дб в зависимости от качества усилителя. Для усилителей контрольно-измерительной аппаратуры допустимые искажения определяются требуемой точностью измерения и могут составлять десятки и даже сотые доли децибела.

Г Л А В А 15

УСИЛИТЕЛИ НАПРЯЖЕНИЯ

15—1. Схемы ламповых усилителей напряжения

Усилитель напряжения, или предварительный усилитель, служит для усиления входного напряжения до величины, необходимой для подачи на вход усилителя мощности. Поэтому основным требованием, предъявляемым к каждому каскаду предварительного усилителя, является возможно большее усиление напряжения.

Величина мощности, отдаваемой усилителем напряжения на выходе, не имеет существенного значения, так как чаще всего усилитель мощности работает без сеточных токов, и, следовательно, на его входе затрачивается незначительная мощность. В зависимости от назначения усилителя и условий его работы в качестве анодной нагрузки ламп могут применяться омические сопротивления (резисторы), трансформаторы и дроссели низкой частоты. В соответствии с этим различают следующие основные типы усилителей напряжения: а) усилитель на резисторах (резистивный усилитель) (рис. 187, а); б) трансформаторный усилитель (рис. 187, б); в) дроссельный усилитель (рис. 187, в).

Наиболее часто в электронной аппаратуре применяются усилители на резисторах, так как при хороших электрических показателях они отличаются простотой схемы и дешевизной. Недостатком трансформаторного и дроссельного усилительных каскадов является наличие в их схеме нелинейных и частотно зависимых элементов

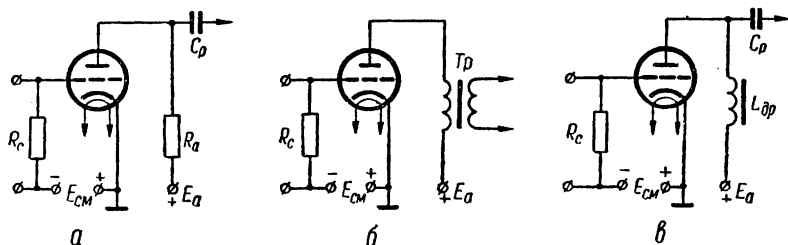


Рис. 187. Основные типы усилителей напряжения:
а — усилитель на резисторах (резистивный); б — трансформаторный;
в — дроссельный.

(трансформаторов и дросселей со стальным сердечником), что приводит к увеличению нелинейных и частотных искажений усиливаемого сигнала. Это ограничивает использование трансформаторного и дроссельного усилителей в современной усилительной аппаратуре.

15—2. Резистивный усилительный каскад

Принцип работы триода в качестве усилителя и простейшая схема усилительного каскада были рассмотрены в главе 3. Реальные схемы усилителей напряжения отличаются от простейшего усили-

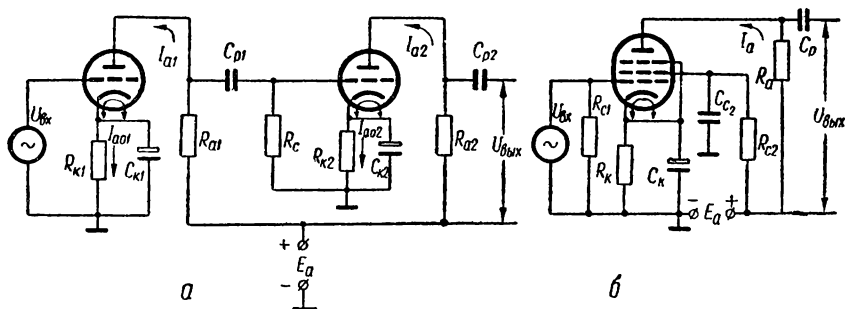


Рис. 188. Резистивный усилитель напряжения:
а — на триодах; б — на пентоде.

тельного каскада дополнительными деталями, с помощью которых устанавливается необходимый режим работы каскада и осуществляется передача напряжения с выхода одного каскада на вход другого.

Рассмотрим назначение этих деталей на примере двухкаскадного резистивного усилителя напряжения на триодах (рис. 188, а).

Режим электронной лампы задается напряжением анодного источника питания и напряжением смещения, подаваемым на управляющую сетку лампы. Обычно отрицательное напряжение смещения в усилительном каскаде создается автоматически. Для этого между катодом лампы и минусом источника анодного питания (корпусом усилителя) включается цепочка автосмещения $R_k C_k$.

Сопrotивление анодной нагрузки R_a в значительной степени определяет показатели работы усилительного каскада, в частности его коэффициент усиления, полосу пропускания и т. д. Для триодов величина сопротивления R_a обычно составляет десятки килоом. Передача усиленного напряжения, выделяющегося на этом сопротивлении, на сетку следующей лампы осуществляется через разделительный конденсатор C_p . Благодаря этому конденсатору постоянное положительное анодное напряжение E_a лампы не попадает на сетку лампы L_2 . Переменная составляющая полезного сигнала через этот конденсатор проходит свободно. Величина емкости C_p обычно составляет тысячи — десятки тысяч пикофарад. Рабочее напряжение этого конденсатора должно превышать напряжение источника анодного питания E_a .

Включение конденсатора в цепь сетки следующей лампы приводит к тому, что эта цепь оказывается разомкнутой для постоянного тока, и попадающие на сетку в процессе работы лампы электроны не могут стекать на катод. Это приводит к нарушению режима работы усилителя и к постепенному запираению лампы L_2 . Чтобы цепь сетки лампы L_2 была замкнута для постоянного тока и электроны, попавшие на сетку, стекали на катод, включается сопротивление утечки R_c . Оно необходимо еще и для того, чтобы через него на сетку лампы второго каскада подавалось напряжение смещения. Сопротивление R_c должно быть в несколько раз больше, чем R_a , так как по переменному току R_c включено параллельно R_a , и не должно существенно его уменьшать. Поэтому сопротивление утечки имеет величину от сотен килоом до нескольких мегом. Часто сопротивление R_c используется для регулировки усиления. В этом случае вместо постоянного сопротивления используется потенциометр.

Кроме триодов, в каскадах усиления напряжения часто используются пентоды. Схема резистивного каскада на пентоде (рис. 188, б) отличается от схемы на триоде наличием цепи питания экранирующей сетки, которая чаще всего присоединяется к источнику E_a через гасящее сопротивление R_{c2} , имеющее величину порядка сотен килоом. Постоянство напряжения на экранирующей сетке обеспечивается блокировочным конденсатором C_{c2} , емкость которого обычно составляет десятые доли микрофарды.

При подаче в цепь сетки усилительной лампы переменного напряжения с амплитудным значением $U_{\text{мвх}}$ на сопротивлении анодной нагрузки появляется пульсирующее напряжение, содержащее

переменную составляющую $U_{m\text{вых}}$, которую можно определить по формуле

$$U_{m\text{вых}} = \mu_d U_{m\text{вх}} = \frac{\mu U_{m\text{вх}}}{R_i + R_a} R_a = I_{ma} R_a, \quad (15-1)$$

где μ_d — динамический коэффициент усиления лампы;

μ — статический коэффициент усиления;

R_i — внутреннее сопротивление лампы;

I_{ma} — амплитудное значение переменной составляющей анодного тока.

В соответствии с (15—1) электронную лампу для переменных составляющих токов и напряжений можно заменить эквивалентным генератором (рис. 189) с э. д. с., равной $\mu U_{m\text{вх}}$ и внутренним сопротивлением R_i , работающим на сопротивление нагрузки R_n . Поэтому

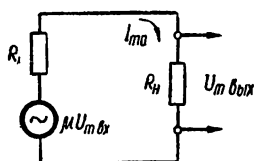


Рис. 189. Схема замещения электронной лампы эквивалентным генератором.

для переменных составляющих токов и напряжений резистивный усилительный каскад может быть представлен эквивалентными схемами, приведенными на рис. 190.

В схемах отсутствуют сопротивления R_k и R_{c2} , так как переменные составляющие токов лампы, минуя эти сопротивления, в основном проходят через соответствующие конденсаторы C_k и C_{c2} . Конденсаторы C_k и C_{c2} на схеме также отсутствуют, так как их сопротивления для переменной составляющей анодного тока и тока экранирующей сетки малы. Кроме того, в эквивалентных схемах не показан источник анодного питания. Объясняется это тем, что внутреннее сопротивление источника для переменной составляющей анодного тока мало и им можно пренебречь.

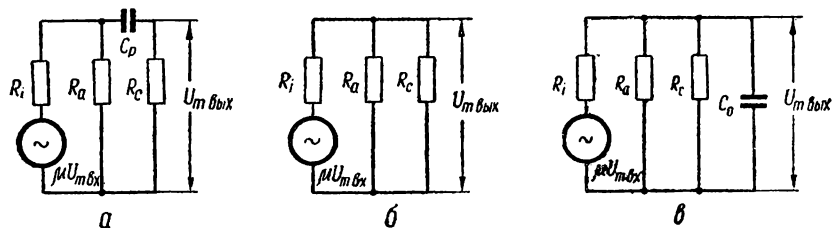


Рис. 190. Эквивалентные схемы резистивного усилительного каскада:

а — на низших частотах; б — на средних частотах; в — на высших частотах.

Элементы эквивалентных схем R_a , C_p и R_c соответствуют аналогичным элементам первого усилительного каскада, а емкость C_0 (рис. 190, в) представляет собой полную емкость, нагружающую каскад и определяемую выражением

$$C_0 = C_{\text{вых1}} + C_m + C_{\text{вх2}}, \quad (15-2)$$

где $C_{\text{вых1}}$ — выходная емкость лампы первого каскада;

$C_{\text{м}}$ — суммарная монтажная емкость анодной цепи первого каскада и цепи управляющей сетки следующего каскада (порядка десятков пикофарад);

$C_{\text{вх2}}$ — входная емкость следующего каскада.

Если рассматриваемый каскад предварительного усиления работает не на следующий каскад с электронной лампой, а на другую нагрузку, то в эквивалентной схеме каскада R_c заменяют сопротивлением нагрузки R_n , а в формуле (15—2) $C_{\text{вх2}}$ заменяют емкостью нагрузки C_n . В общем случае эквивалентная схема содержит две емкости, одна из которых C_p включена последовательно с сопротивлением утечки сетки R_c , а вторая C_0 — параллельно ему. Влияние этих емкостей на величину выходного напряжения, а следовательно, и на коэффициент усиления различно для разных частот усиливаемого сигнала. При этом необходимо учитывать порядок величин этих емкостей.

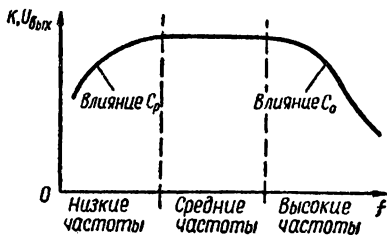


Рис. 191. Частотная характеристика резистивного каскада.

При понижении частоты сигнала емкостное сопротивление $X_{C_p} = \frac{1}{\omega_n C_p}$ разделительного конденсатора возрастает и его влияние на работу схемы увеличивается. В то же время влияние малой емкости C_0 на низких частотах оказывается несущественным, так как шунтирующее емкостное сопротивление $X_{C_0} = \frac{1}{\omega_n C_0}$ значительно больше сопротивления R_c . Поэтому для области низких частот эквивалентная схема может быть изображена без емкости C_0 (рис. 190, а).

Увеличение сопротивления X_{C_p} на низких частотах приводит к тому, что падение напряжения сигнала на нем увеличивается и выходное напряжение $U_{\text{вых}}$, падающее на сопротивлении R_c , уменьшается. Поэтому частотная характеристика каскада падает с понижением частоты из-за влияния разделительного конденсатора C_p (рис. 191).

С увеличением частоты усиливаемого сигнала и переходом в область средних частот диапазона емкостное сопротивление $X_{C_p} = \frac{1}{\omega_{cp} C_p}$ уменьшается настолько, что падением напряжения сигнала на нем можно пренебречь. Сопротивление же малой емкости C_0 на этих частотах остается еще достаточно большим, и она также не влияет на частотную характеристику каскада на средних частотах. Поэтому эквивалентная схема для средних частот не содержит

реактивных элементов (рис. 190, б), а коэффициент усиления на этих частотах имеет наибольшее значение (рис. 191).

При дальнейшем повышении частоты сигнала в эквивалентной схеме можно пренебречь конденсатором C_p , сопротивление которого будет еще меньше, чем в области средних частот. Существенное влияние на работу схемы в области высших частот оказывает емкость C_0 , сопротивление которой с повышением частоты уменьшается и становится соизмеримым с сопротивлениями R_a и R_c . Это приводит к уменьшению общего сопротивления анодной нагрузки и в конечном итоге — к уменьшению коэффициента усиления в области высших частот усиливаемого диапазона (рис. 191). Эквивалентная схема каскада для высших частот изображена на рис. 190, в.

15—3. Коэффициент усиления резистивного каскада на средних частотах

Основной величиной, характеризующей резистивный каскад как усилитель напряжения, является коэффициент усиления.

В простейшем усилительном каскаде (рис. 43), где анодная нагрузка состоит из одного активного сопротивления R_a , коэффициент усиления каскада K равен динамическому коэффициенту усиления лампы μ_d

$$K = \mu_d = \frac{U_{m\text{вых}}}{U_{m\text{вх}}} = \mu \frac{R_a}{R_i + R_a}.$$

В эквивалентной схеме для средних частот роль сопротивления нагрузки R_n выполняют сопротивления R_a и R_c , соединенные параллельно. Поэтому для этой схемы

$$K_{cp} = \mu_d = \mu \frac{R_n}{R_i + R_n}, \quad (15-3)$$

где

$$R_n = \frac{R_a R_c}{R_a + R_c}.$$

Разделив числитель и знаменатель выражения (15—3) на R_n , получим

$$K_{cp} = \frac{\mu}{1 + \frac{R_i}{R_n}} = \frac{\mu}{1 + R_i \left(\frac{1}{R_n} \right)}.$$

Поскольку $\frac{1}{R_n} = \frac{1}{R_a} + \frac{1}{R_c}$, то

$$K_{cp} = \frac{\mu}{1 + R_i \left(\frac{1}{R_a} + \frac{1}{R_c} \right)} = \frac{\mu}{1 + \frac{R_i}{R_a} + \frac{R_i}{R_c}}. \quad (15-4)$$

Полученное выражение показывает, что коэффициент усиления каскада всегда меньше коэффициента усиления лампы μ и увеличивается с увеличением R_a и R_c по сравнению с R_i . Для того чтобы шунтирующее действие сопротивления R в заметной степени не снижало коэффициент усиления каскада, обычно соблюдают условие

$$R_c \geq 10R_a. \quad (15-5)$$

При выполнении этого условия сопротивление нагрузки R_n зависит главным образом от величины сопротивления R_a . Однако последнее не следует брать слишком большим, так как напряжение на аноде при этом может настолько понизиться, что лампа окажется в ненормальном режиме и усиление каскада упадет.

При анализе работы усилителей часто пользуются коэффициентом α , называемым *коэффициентом нагрузки*, под которым понимают отношение сопротивления анодной нагрузки к внутреннему сопротивлению лампы

$$\alpha = \frac{R_a}{R_i}.$$

В усилительных каскадах на триодах коэффициент α чаще всего лежит в пределах $\alpha = 2 \div 5$, а в каскадах на пентодах, обладающих более высоким по сравнению с триодами внутренним сопротивлением, $\alpha = (0,1 \div 0,15) R_i$.

Разделим числитель и знаменатель выражения (15-4) на R_i . Тогда формула для коэффициента усиления на средних частотах примет вид

$$K_{cp} = \frac{\frac{\mu}{R_i}}{\frac{1}{R_i} + \frac{1}{R_a} + \frac{1}{R_c}}.$$

Учитывая, что $\frac{\mu}{R_i} = S$, и вводя обозначение $\frac{1}{R_i} + \frac{1}{R_a} + \frac{1}{R_c} = \frac{1}{R_a'}$, получим

$$K_{cp} = SR_a', \quad (15-6)$$

где S — статическая крутизна характеристики лампы в рабочей точке.

Полученное выражение коэффициента усиления резистивного каскада является наиболее общим для средних частот. Оно справедливо для любой лампы (триод, пентод) и при любом соотношении сопротивлений R_i , R_a и R_c . Однако в практических расчетах пользуются более простыми, приближенными выражениями для коэффициента усиления в зависимости от того, какая лампа используется в усилительном каскаде.

В случае использования триода $R_c \gg R_i$ и $R_c \gg R_a$. Поэтому $\frac{1}{R_a'} \approx \frac{1}{R_i} + \frac{1}{R_a}$, и коэффициент усиления каскада с триодом

$$K_{cp} = SR_a' = \frac{SR_i R_a}{R_i + R_a} = \frac{\mu R_a}{R_i + R_a}.$$

Вводя коэффициент α , получим

$$K_{cp} = \frac{\mu \alpha}{1 + \alpha}.$$

При использовании в усилительном каскаде пентода следует учесть, что $R_i \gg R_a$ и $R_c \gg R_a$. Тогда с достаточной для практиче-

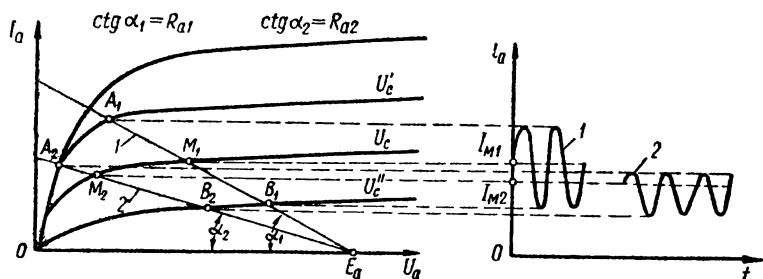


Рис. 192. К пояснению выбора сопротивления анодной нагрузки пентода.

ских расчетов точно можно считать $R_a' \approx R_a$, и коэффициент усиления каскада с пентодом

$$K_{cp} \approx SR_a. \quad (15-7)$$

Следует иметь в виду, что при больших сопротивлениях R_a в усилительном каскаде на пентоде возникают значительные нелинейные искажения. Причина этого кроется в особенностях анодных характеристик пентода (рис. 192).

Если напряжение на управляющей сетке меняется вследствие воздействия усиливаемого сигнала в пределах от U'_c до U''_c , то для неискаженного усиления сигнала необходимо выполнить условие $A_1 M_1 = M_1 B_1$. Из рисунка видно, что это условие выполняется не при любом угле наклона динамической характеристики, т. е. не при любой величине сопротивления анодной нагрузки R_a . При больших значениях R_a , когда динамическая характеристика наклонена к оси анодных напряжений под малым углом, $A_2 M_2 < M_2 B_2$, и усиление сопровождается значительными нелинейными искажениями. Поэтому величина сопротивления R_a для пентода составляет $(0,1 \div 0,15) R_i$.

15—4. Частотные искажения в резистивном усилительном каскаде

Причиной появления частотных искажений в резистивном усилительном каскаде является уменьшение коэффициента усиления каскада на низких и высоких частотах, вызванное влиянием емкостей C_p и C_0 . Обратимся к эквивалентным схемам каскада (рис. 190).

Из эквивалентной схемы каскада для низких частот (рис. 190, а) видно, что усиленное лампой напряжение с сопротивления анодной нагрузки попадает на делитель напряжения, состоящий из емкостного сопротивления $X_{C_p} = \frac{1}{\omega_n C_p}$ и активного сопротивления R_c . При этом выходной сигнал на сетку следующей лампы снимается только с части делителя напряжения — с сопротивления R_c . На средних же частотах, как это следует из эквивалентной схемы на рис. 190, б, напряжение на сетке лампы следующего каскада с достаточной точностью можно считать равным выходному напряжению первой лампы. Следовательно, на низших частотах выходное напряжение каскада $U_{\text{вых.н}}$ во столько раз меньше выходного напряжения на средних частотах $U_{\text{вых.ср}}$, во сколько раз сопротивление R_c меньше полного сопротивления делителя напряжения, равного $\sqrt{R_c^2 + X_{C_p}^2}$

$$\frac{U_{\text{вых.н}}}{U_{\text{вых.ср}}} = \frac{R_c}{\sqrt{R_c^2 + X_{C_p}^2}}.$$

Аналогичное выражение (при неизменном входном напряжении усилителя) можно записать и для коэффициентов усиления каскада на низших и средних частотах

$$\frac{K_n}{K_{\text{ср}}} = \frac{R_c}{\sqrt{R_c^2 + X_{C_p}^2}}. \quad (15-8)$$

Разделив числитель и знаменатель правой части приведенного выражения на R_c и подставив $X_{C_p} = \frac{1}{\omega_n C_p}$, получим

$$\frac{K_n}{K_{\text{ср}}} = \frac{1}{\sqrt{1 + \left(\frac{1}{\omega_n C_p R_c}\right)^2}}.$$

Тогда коэффициент усиления на низших частотах диапазона равен

$$K_n = \frac{K_{\text{ср}}}{\sqrt{1 + \left(\frac{1}{\omega_n C_p R_c}\right)^2}}. \quad (15-9)$$

Из этого выражения можно сделать следующие выводы: 1) коэффициент усиления на низких частотах меньше, чем на средних, и

уменьшается с понижением частоты; 2) расширение полосы пропускания усилителя в сторону низких частот связано с увеличением емкости разделительного конденсатора C_p и сопротивления R_c в цепи сетки следующей лампы. При этом основное значение имеет не величина взятых в отдельности C_p и R_c , а их произведение $C_p R_c$, которое имеет размерность времени и получило название постоянной времени цепи сетки (обозначается τ_c).

Чем больше емкость C_p и сопротивление R_c , тем больше та часть усиленного лампой напряжения, которое передается на сетку сле-

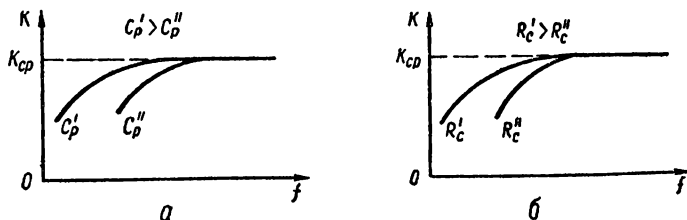


Рис. 193. Влияние параметров C_p и R_c на частотную характеристику резистивного каскада в области низших частот:

а — влияние C_p ; б — влияние R_c .

дующей лампы, и тем меньше потери напряжения на емкостном сопротивлении X_{Cp} .

Влияние параметров C_p и R_c на частотную характеристику резистивного каскада в области низших частот показано на рис. 193. Однако чрезмерно большие C_p и R_c применять не следует. При увеличении емкости конденсатора C_p возрастают его габариты, уменьшается сопротивление изоляции и увеличивается стоимость. С ростом габаритов конденсатора возрастают паразитные емкости цепи сетка — катод лампы следующего каскада, т. е. растет C_0 , а это неблагоприятно сказывается на работе усилителя в области высоких частот. Уменьшение сопротивления изоляции разделительного конденсатора приводит к тому, что постоянный ток из анодной цепи лампы L_1 может проникнуть в цепь сетки лампы L_2 . При этом на сопротивлении R_c появится падение напряжения, приложенное к сетке лампы L_2 , что нарушает нормальный режим работы каскада. Поэтому емкость конденсатора C_p обычно не превышает десятых долей микрофарады, а в качестве разделительных используются слюдяные или пленочные конденсаторы с высоким сопротивлением изоляции.

При слишком большом сопротивлении R_c сеточные токи, а также токи утечки конденсатора C_p , несмотря на их малую величину, создают на большом сопротивлении значительное напряжение смещения, которое сдвигает рабочую точку на характеристике лампы и может привести к нелинейным искажениям сигнала. Поэтому в усилительных схемах R_c обычно не превышает нескольких мегом. При значениях параметров $C_p = 0,1 \text{ мкф}$ и $R_c = 1 \text{ Мом}$ нижняя граница

полосы пропускания окажется порядка нескольких герц, что является вполне достаточным для большинства усилителей.

Для определения коэффициента частотных искажений резистивного каскада в области низших частот можно воспользоваться формулой

$$M_H = \frac{K_{cp}}{K_H} = \sqrt{1 + \left(\frac{1}{\omega_H C_p R_c}\right)^2} = \sqrt{1 + \left(\frac{1}{\omega_H \tau_c}\right)^2}. \quad (15-10)$$

Если задана допустимая величина коэффициента частотных искажений на низших частотах, то из формулы (15-10) легко определить необходимое значение постоянной времени цепи сетки

$$\tau_c = \frac{1}{\omega_H \sqrt{M_H^2 - 1}}, \quad (15-11)$$

которое обычно лежит в пределах 0,01—0,02 сек.

Зная сопротивление R_c , емкость разделительного конденсатора находим из формулы

$$C_p = \frac{\tau_c}{R_c}. \quad (15-12)$$

В области высших частот диапазона коэффициент усиления можно определить из соответствующей эквивалентной схемы (рис. 190, в). Сопротивление нагрузки первого усилительного каскада в этом случае состоит из трех параллельно включенных сопротивлений — емкостного $X_{C_0} = \frac{1}{\omega_B C_0}$ и активных R_a и R_c .

Анализ показывает, что коэффициент усиления каскада в области высших частот может быть найден по формуле

$$K_B = \frac{K_{cp}}{\sqrt{1 + (\omega_B C_0 R'_a)^2}}, \quad (15-13)$$

$$\text{где } \frac{1}{R'_a} = \frac{1}{R_i} + \frac{1}{R_a} + \frac{1}{R_c}.$$

Из этой формулы видно, что коэффициент усиления на высших частотах диапазона меньше, чем на средних, и уменьшается с увеличением частоты, а также с увеличением емкости C_0 и эквивалентного сопротивления R'_a , т. е. с увеличением R_i , R_a и R_c .

Произведение $C_0 R'_a$ называется постоянной времени цепи анода и обозначается τ_a

$$\tau_a = C_0 R'_a. \quad (15-14)$$

Тогда

$$K_B = \frac{K_{cp}}{\sqrt{1 + (\omega_B \tau_a)^2}}. \quad (15-15)$$

Коэффициент частотных искажений каскада в области высших частот можно найти по формуле

$$M_v = \frac{K_{cp}}{K_b} = \sqrt{1 + (\omega_b \tau_a)^2}, \quad (15-16)$$

из которой видно, что для уменьшения частотных искажений на высших частотах необходимо стремиться к уменьшению τ_a , т. е. к уменьшению R'_a и C_0 . Так как сопротивление R_c обычно значительно больше сопротивления R_a , а уменьшать его нельзя вследствие ухудшения работы каскада в области низших частот, то можно считать, что R_c

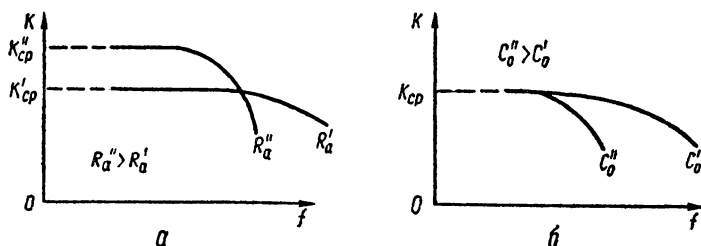


Рис. 194. Влияние параметров R_a и C_0 на частотную характеристику резистивного каскада в области высших частот:

а — влияние R_a ; *б* — влияние C_0 .

практически не изменяет R'_a и не оказывает существенного влияния на работу усилителя в области высших частот.

Для каскада на триоде $R'_a \approx R_i$, так как $R_i < R_a < R_c$. Поэтому

$$M_b = \sqrt{1 + (\omega_b C_0 R_i)^2}. \quad (15-17)$$

Следовательно, для уменьшения частотных искажений на высших частотах выгодно применять лампы с малым значением R_i .

В усилителе на пентоде обычно $R_i \gg R_a$, поэтому уменьшить значение R'_a можно только за счет R_a . Чем шире полоса пропускаемых частот, тем меньшей должна быть величина сопротивления анодной нагрузки (в широкополосных усилителях R_a иногда меньше одного килоома). Это уменьшение связано с уменьшением коэффициента усиления каскада для всего диапазона усиливаемых частот, как показано на рис. 194.

Уменьшение паразитной емкости C_0 может быть достигнуто путем выполнения рационального монтажа схемы, при котором емкость монтажа получается минимальной, а также путем применения ламп с малыми междуэлектродными емкостями. Влияние величины C_0 на частотную характеристику каскада показано на рис. 194, *б*.

При расчете постоянной времени анодной цепи лампы обычно исходят из допустимого значения коэффициента M_b для заданной

верхней частоты усиливаемого диапазона. Для этого пользуются формулой

$$\tau_a \leq \frac{\sqrt{M_B^2 - 1}}{\omega_B}. \quad (15-18)$$

При заданной величине C_0 эквивалентное сопротивление R'_a может быть найдено из выражения

$$R'_a \leq \frac{\tau_a}{C_0} \text{ или } R'_a \leq \frac{\sqrt{M_B^2 - 1}}{\omega_B C_0}. \quad (15-19)$$

15—5. Резонансные усилители напряжения

Резонансные усилители предназначены для усиления электрических колебаний в узком диапазоне частот. Главное свойство их — избирательность, т. е. преимущественное усиление колебаний одной или нескольких близко лежащих друг к другу частот из всех колебаний разных частот, поданных на вход. Чаще всего резонансные усилители применяются для усиления колебаний, частота которых выходит за пределы низкочастотного (звукового) диапазона, т. е. лежит выше 10—15 кГц. Поэтому резонансные усилители обычно называют усилителями высокой частоты (УВЧ).

Принцип работы резонансного усилителя аналогичен принципу работы усилителя напряжения низкой частоты. Однако между усилителями напряжения низкой частоты и избирательными УВЧ имеется одно существенное различие. Усилитель низкой частоты должен по возможности одинаково усиливать напряжение всех частот, поступающих на его вход, а так как коэффициент усиления зависит от сопротивления нагрузки, то последнее должно как можно меньше зависеть от частоты. Усилитель высокой частоты должен усиливать колебания в сравнительно узкой полосе частот и по возможности ослаблять напряжение всех других (мешающих) частот. Поэтому величина сопротивления нагрузки должна определяться частотой входного сигнала: она должна быть большой для напряжений частот, близких к частоте полезного сигнала, и возможно меньшей для всех других частот. Таким образом, нагрузка резонансного усилителя должна обладать избирательными свойствами. Как известно из электротехники, такими свойствами обладает цепь, состоящая из конденсатора и катушки индуктивности (колебательный контур). Поэтому в большинстве случаев в качестве анодной нагрузки ламп избирательных УВЧ используется резонансный колебательный контур.

Следует отметить также, что на работу каскадов усилителя высокой частоты большое влияние оказывают паразитные емкости, так как с повышением частоты их сопротивления уменьшаются. Особое значение имеет проходная емкость ламп C_{ac} , через которую осуществляется нежелательная обратная связь анодной цепи со входом

каскада, что может привести к самовозбуждению усилителя. Для уменьшения емкости C_{ac} в качестве ламп УВЧ обычно применяют высокочастотные пентоды.

Схема резонансного усилителя приведена на рис. 195, а. В качестве анодной нагрузки каскада используют параллельный колебательный контур, содержащий в одной ветви индуктивность L , а в другой — емкость C (в тех случаях, когда усилитель нужно систематически перестраивать на различные частоты, в контур включают переменный конденсатор или переменную индуктивность).

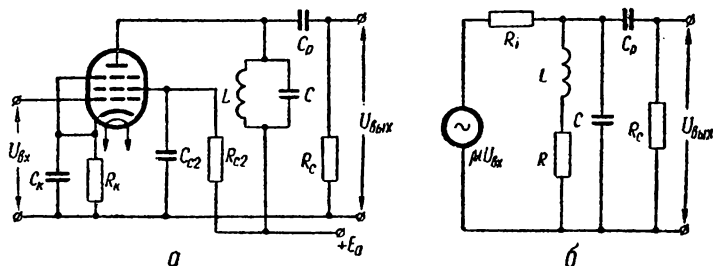


Рис. 195. Резонансный усилитель напряжения:
а — принципиальная схема; б — эквивалентная схема.

На рис. 195, б приведена эквивалентная схема каскада резонансного усилителя. Лампа заменена эквивалентным генератором с напряжением $\mu U_{вх}$ и внутренним сопротивлением R_i . Колебательный контур, кроме индуктивности L и емкости C , содержит активное сопротивление R . Это сопротивление специально в контур не включается. Однако в любом реальном контуре имеются потери энергии на активном сопротивлении провода катушки, в диэлектрике конденсатора, на сопротивлении соединительных проводов и т. д. Все эти потери и учтены в эквивалентной схеме в виде некоторого сосредоточенного сопротивления R .

Любой колебательный контур характеризуется частотой резонанса $f_{рез}$, находящейся в следующей зависимости от величины индуктивности L и емкости C :

$$f_{рез} = \frac{1}{2\pi \sqrt{LC}}. \quad (15-20)$$

Если частота f_r генератора, питающего контур, совпадает с резонансной частотой $f_{рез}$, то в параллельном контуре имеет место резонанс токов. При этом полное сопротивление контура Z_k имеет наибольшую величину и чисто активный характер. Эквивалентное резонансное сопротивление параллельного контура обычно обозначается R_{oe} . Оно равно

$$R_{oe} = \frac{L}{RC}. \quad (15-21)$$

При достаточно большой индуктивности \bar{L} и малой величине сопротивления потерь R резонансное сопротивление параллельного контура может достигать десятков и сотен килоом. Если же частота питающего генератора не совпадает с резонансной частотой контура, то сопротивление последнего резко падает и приобретает реактивный характер. Зависимость сопротивления Z_k параллельного контура от частоты (резонансная кривая) приведена на рис. 196.

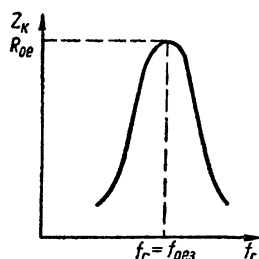


Рис. 196. Зависимость сопротивления параллельного контура от частоты.

Из эквивалентной схемы каскада (рис. 195, б) видно, что частота генератора, питающего контур, определяется частотой входного сигнала. Наибольшее усиление может быть получено при совпадении резонансной частоты контура с частотой напряжения усиливаемого сигнала. При этом параллельный контур оказывается настроенным в резонанс, и на большом эквивалентном сопротивлении контура R_{oe} выделяет большое напряжение $U_{\text{вых}}$ полезного сигнала. Для входных сигналов всех остальных частот сопротивление расстроенного контура оказывается малым. Поэтому на выходе каскада эти сигналы будут ослаблены — и тем сильнее, чем больше отличаются их частоты от резонансной частоты контура.

Коэффициент усиления резонансного усилителя можно вычислить по формуле

$$K = \mu \frac{R_a}{R_i + R_a},$$

если заменить R_a на эквивалентное сопротивление контура R_{oe} ,

$$K = \mu \frac{R_{oe}}{R_i + R_{oe}}. \quad (15-22)$$

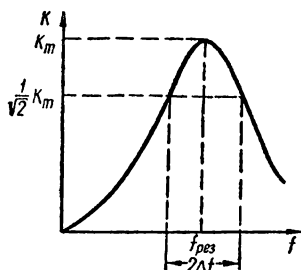


Рис. 197. Частотная характеристика резонансного усилителя.

Внутреннее сопротивление современных высокочастотных пентодов обычно имеет величину порядка 1 $M\Omega$. Считая $R_i \gg R_{oe}$, величиной R_{oe} в знаменателе можно пренебречь. Тогда, заменив отношение $\frac{\mu}{R_i}$ крутизной характеристики лампы S , получим

$$K \approx SR_{oe}. \quad (15-23)$$

Следовательно, в резонансных усилителях для получения большого усиления следует применять лампы с большой крутизной и контуры с высоким резонансным сопротивлением.

Частотная характеристика резонансного усилителя определяется резонансной кривой параллельного контура и имеет вид, показан-

ный на рис. 197. Полоса пропускания $2\Delta f$ такого усилителя зависит от выбранной максимально допустимой величины неравномерности коэффициента усиления. Для резонансных усилителей принято считать полосой пропускания такой спектр частот, в пределах которого значение коэффициента усиления не уменьшается больше чем в $\sqrt{2}$ раз по сравнению с максимальным коэффициентом усиления K_m (рис. 197). Для расчета полосы пропускания резонансного усилителя можно пользоваться формулой

$$2\Delta f = \frac{R}{2\pi L}. \quad (15-24)$$

Вычисленная по формуле (15—24) полоса пропускания $2\Delta f$ измеряется в герцах, если R — в омах, а L — в генри.

Резонансные усилители находят широкое применение в различной радиотехнической и электронной аппаратуре (приемниках, передатчиках, измерительных приборах и т. д.).

ГЛАВА 16

ЛАМПОВЫЕ УСИЛИТЕЛИ МОЩНОСТИ

16 — 1. Требования, предъявляемые к усилителю мощности. Режимы работы ламп мощного каскада

Каскад усиления мощности обычно является последним, окончательным каскадом усилительного устройства и по сравнению с предварительными каскадами усиления напряжения имеет ряд особенностей.

Обычно усилители напряжения выполняются на маломощных лампах и потребляют от источников питания незначительную энергию. Амплитуда входного сигнала в этих усилителях в большинстве случаев невелика, и рабочий участок динамической характеристики лампы можно считать линейным. Поэтому при рассмотрении работы усилителей напряжения не интересуются колебательной мощностью, которую отдает лампа, и коэффициентом полезного действия каскада, а нелинейные искажения считают ничтожно малыми.

Основным назначением усилителей мощности является выделение в заданной нагрузке требуемой мощности полезного сигнала. Поскольку усилители мощности потребляют от источников питания значительную энергию, то их коэффициент полезного действия должен быть достаточно высоким, так как в конечном счете он определяет экономичность всего усилителя. Для выделения в нагрузке заданной мощности на вход каскада мощного усиления подается большая амплитуда сигнала, захватывающая значительную область характеристик лампы. Поэтому увеличение мощности, развиваемой усилителем в нагрузке, сопровождается возрастанием нелинейных искажений.

Величина максимальной неискаженной мощности и к. п. д. оконечного каскада зависит от типа лампы, режима работы и схемы каскада. При небольшой выходной мощности (порядка нескольких ватт) в каскадах мощного усиления применяют те же лампы, что и в усилителях напряжения, — триоды и пентоды. Триоды обладают более линейными характеристиками, и поэтому вносят меньшие нелинейные искажения, чем пентоды. Однако они значительно уступают пентодам в отношении к. п. д. и чувствительности, и поэтому их целесообразно применять в тех случаях, когда экономические по-

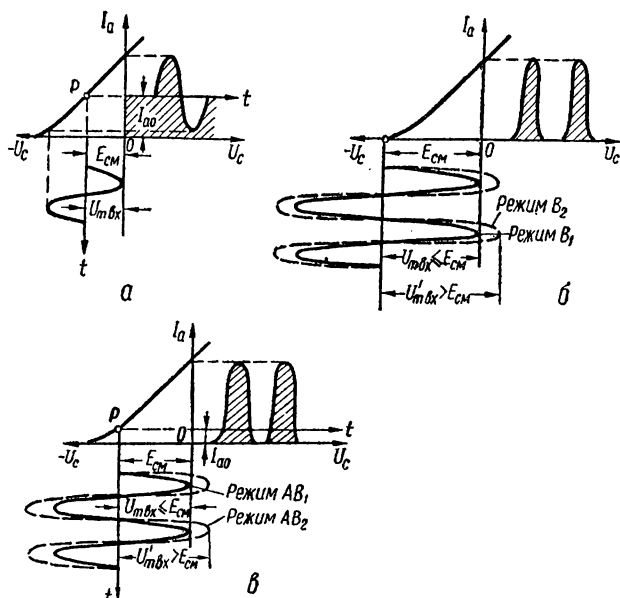


Рис. 198. Графики режимов работы усилителей мощности:
 а — режим А; б — режимы B_1 и B_2 ; в — режимы AB_1 и AB_2 .

казатели усилителей должны быть подчинены качественным требованиям (например, в усилителях контрольно-измерительной аппаратуры). При средней и большой мощности (порядка десятков и сотен ватт) в мощных каскадах используются специальные выходные лампы — мощные триоды, лучевые тетроды и выходные пентоды (лампы с большой крутизной и сравнительно малым внутренним сопротивлением).

В зависимости от выбора рабочей точки на характеристике лампы и величины входного напряжения различают пять режимов (классов) работы каскадов усиления мощности: А, B_1 , B_2 , AB_1 , AB_2 .

Для работы лампы в режиме А на ее сетку подается такое отрицательное напряжение смещения E_{cm} , при котором рабочая точка P находится в средней части прямолинейного участка динамической

характеристики лампы (рис. 198, а). В этом режиме выполняется условие $|-E_{cm}| \geq U_{mvx}$. Он характеризуется малой величиной нелинейных искажений, но в то же время является неэкономичным, так как электрический к. п. д., определяемый по формуле $\eta_e = \frac{P_{вых}}{P_0}$, имеет величину порядка 20—30%. Режим А целесообразно применять при сравнительно малых выходных мощностях (до 5÷10 вт), в особенности тогда, когда важно работать с небольшими искажениями.

В режиме В (рис. 198, б) рабочая точка выбирается так, чтобы ток покоя был равен нулю. Для работы в режиме В на сетку лампы подают такое отрицательное напряжение смещения $-E_{cm}$, при котором рабочая точка Р находится в точке запирающей лампы. Режим В подразделяется на режимы В₁ и В₂; в режиме В₁ лампа работает без сеточных токов, так как амплитуда сигнала не превышает смещения ($|-E_{cm}| \geq U_{mvx}$), а в режиме В₂ работа происходит с сеточными токами, так как $|-E_{cm}| < U_{mvx}$. Режим В характеризуется значительным к. п. д. ($\eta_e = 60 \div 70\%$), однако увеличение к. п. д. сопровождается чрезвычайно большими нелинейными искажениями, достигающими до 35—50%. Поэтому режим В применяется главным образом в специальных, так называемых двухтактных каскадах усиления мощности.

Режимы АВ₁ и АВ₂ являются промежуточными между режимами А и В. Режим АВ₁ соответствует работе без сеточных токов ($|-E_{cm}| \geq U_{mvx}$), а режим АВ₂ — работе с сеточными токами ($|-E_{cm}| < U_{mvx}$) (рис. 198, в). В первом случае к. п. д. равен 40—50%, а во втором — лампа используется полнее и к. п. д. достигает 60%. В усилителях средней мощности (десятки ватт) чаще всего применяется режим АВ₁. При малых мощностях этот режим целесообразно применять в случае, когда важно сократить расход энергии источников, например при питании от батарей. Режим АВ₂ используется при больших выходных мощностях усилителя (более 50 вт).

Каскады усиления мощности в зависимости от схемы, по которой они выполнены, делятся на одноктактные и двухтактные. Одноктактные каскады применяются обычно при относительно малых выходных мощностях — до 3—5 вт. Двухтактную схему оконечного каскада целесообразно применять при выходной мощности более 3—5 вт. При выходной мощности более 8—10 вт двухтактные схемы применяются как правило.

16—2. Одноктактный каскад усиления мощности. Роль выходного трансформатора

Простейшим одноктактным каскадом усиления мощности является каскад с непосредственным включением нагрузочного сопротивления в анодную цепь лампы (рис. 199, а). Несмотря на свою простоту, эта схема не получила широкого распространения по следующим

Для того чтобы в нагрузке усилителя R_n выделялась наибольшая (для данного типа лампы) неискаженная мощность, между внутренним сопротивлением лампы R_i и сопротивлением нагрузки анодной цепи лампы R_a должно существовать определенное соотношение. Триоды наибольшую неискаженную мощность отдают при выполнении условия $R_a = \alpha R_i$, причем коэффициент нагрузки α имеет величину порядка $\alpha = 2-3$. Для пентодов и лучевых тетродов коэффициент нагрузки должен быть порядка $0,1-0,25$.

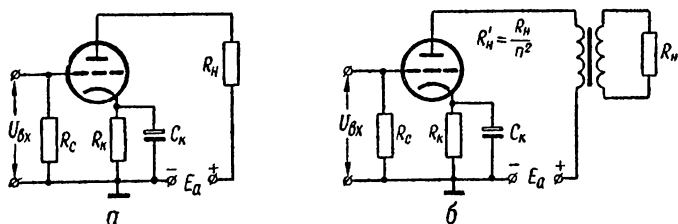


Рис. 199. Схемы однотактных каскадов усилителей мощности:
а — с непосредственным включением сопротивления нагрузки в анодную цепь лампы; *б* — с использованием выходного трансформатора.

Найдем величину необходимого коэффициента трансформации n , если заданы величины сопротивления нагрузки R_n , внутреннего сопротивления лампы R_i и коэффициента нагрузки α .

$$R'_H = \frac{R_H}{n^2}.$$

С другой стороны, для выделения в нагрузке наибольшей неискаженной мощности должно выполняться условие

$$R'_H = R_a = \alpha R_i.$$

Приравнявая друг к другу правые части этих выражений и решая полученное уравнение относительно n , получаем

$$n = \sqrt{\frac{R_H}{\alpha R_i}}. \quad (16-1)$$

Рассмотрим конкретный пример. Пусть в оконечном каскаде работает триод 6С4С, внутреннее сопротивление которого равно $R_i = 840 \text{ ом}$. Если предположить, что коэффициент нагрузки $\alpha = 2$ и сопротивление нагрузки $R_H = 20 \text{ ом}$, то коэффициент трансформации выходного трансформатора будет равен

$$n = \sqrt{\frac{R_H}{\alpha R_i}} = \sqrt{\frac{20}{2 \cdot 840}} \approx 0,11.$$

Из полученного результата видно, что коэффициент трансформации $n < 1$, т. е. выходной трансформатор является понижающим.

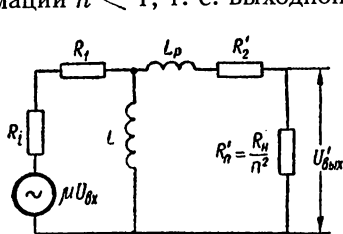


Рис. 200. Эквивалентная схема трансформаторного усилителя мощности:

R_1 — активное сопротивление первичной обмотки трансформатора; L — индуктивность первичной обмотки; L_p — индуктивность рассеяния; R'_2 — активное сопротивление вторичной обмотки, пересчитанное в первичную цепь; $R'_H = \frac{R_H}{n^2}$ — сопротивление нагрузки, пересчитанное в первичную цепь.

Необходимость применения понижающего выходного трансформатора с физической точки зрения можно объяснить следующим образом. Для выделения на сопротивлении нагрузки достаточно большой мощности необходимо, чтобы по этому сопротивлению проходил значительный ток. Поскольку усилительная лампа обладает большим внутренним сопротивлением, то в ее анодной цепи протекает переменная составляющая тока сравнительно малой величины. Поэтому возникает необходимость применения понижающего трансформатора, так как величина тока, протекающего в его вторичной обмотке (с малым числом витков), будет в n раз больше величины тока, протекающего в анодной цепи лампы, т. е. в первичной обмотке трансформатора.

Следует иметь в виду, что использование понижающего выходного трансформатора приводит к уменьшению в n раз амплитуды переменного напряжения на зажимах вторичной обмотки, и поэтому коэффициент усиления мощного каскада по напряжению может быть меньше единицы.

При расчете выходной мощности оконечного каскада необходимо учитывать, что некоторая часть мощности, создаваемой лампой, бесполезно теряется в выходном трансформаторе на активном

сопротивлении его обмоток. Поэтому мощность сигнала $P'_{\text{вых}}$, которую должна развивать лампа, определяют через необходимую мощность в нагрузке и к. п. д. выходного трансформатора из выражения

$$P'_{\text{вых}} = \frac{P_{\text{вых}}}{\eta_{\text{т}}}. \quad (16-2)$$

Чтобы найти зависимость к. п. д. от сопротивления обмоток трансформатора, воспользуемся эквивалентной схемой трансформаторного усилителя мощности, приведенной на рис. 200.

Как следует из эквивалентной схемы, к. п. д. выходного трансформатора можно выразить соотношением

$$\eta_{\text{т}} = \frac{\frac{1}{2} I_{\text{ма}}^2 R'_{\text{н}}}{\frac{1}{2} I_{\text{ма}}^2 R'_{\text{н}} + \frac{1}{2} I_{\text{ма}}^2 R_1 + \frac{1}{2} I_{\text{ма}}^2 R'_2} = \frac{R'_{\text{н}}}{R'_{\text{н}} + R_1 + R'_2}, \quad (16-3)$$

где

$I_{\text{ма}}$ — амплитуда тока в цепи анода;

$\frac{1}{2} I_{\text{ма}}^2 R'_{\text{н}}$ — полезная мощность, отдаваемая в нагрузку;

$\frac{1}{2} I_{\text{ма}}^2 R_1$ и $\frac{1}{2} I_{\text{ма}}^2 R'_2$ — мощность потерь в первичной и вторичной обмотках трансформатора.

Сопротивление потерь вторичной обмотки трансформатора, пересчитанное в первичную цепь, обычно берется равным сопротивлению первичной обмотки

$$R'_2 \approx R_1,$$

следовательно,

$$\eta_{\text{т}} = \frac{R'_{\text{н}}}{R'_{\text{н}} + 2R_1}. \quad (16-4)$$

Решив это уравнение относительно R_1 , получим расчетную формулу для определения активного сопротивления обмоток трансформатора по заданному к. п. д.

$$R_1 = R'_2 = \frac{R'_{\text{н}}}{2} \cdot \frac{1 - \eta_{\text{т}}}{\eta_{\text{т}}}. \quad (16-5)$$

Величина $\eta_{\text{т}}$ может быть выбрана из табл. 10.

Т а б л и ц а 10

Значения к. п. д. выходного трансформатора

$P_{\text{вых}}$	До 1 <i>вт</i>	1—10 <i>вт</i>	10—100 <i>вт</i>	Больше 100 <i>вт</i>
$\eta_{\text{т}}$	0,7—0,85	0,8—0,9	0,9—0,94	0,96—0,98

Наличие выходного трансформатора в каскаде усиления мощности — основная причина появления частотных искажений сигнала.

Рассматривая эквивалентную схему, приведенную на рис. 200, можно прийти к выводу, что частотная характеристика трансформаторного усилителя мощности подобна аналогичной характеристике резистивного усилителя напряжения: в ней нет выбросов, характерных для цепей, обладающих резонансными свойствами. Спад частотной характеристики в области низших частот обуслов-



Рис. 201. Частотная характеристика трансформаторного усилителя мощности.

лен уменьшением на этих частотах индуктивного сопротивления первичной обмотки трансформатора. Уменьшение коэффициента усиления на высших частотах вызвано увеличением индуктивного сопротивления ωL_p (рис. 201).

Наименьшую индуктивность первичной обмотки трансформатора определяют из условия получения допустимых частотных искажений в области низших частот

$$L = \frac{R_{\Sigma.н}}{\omega_n \sqrt{M_B^2 - 1}}, \quad (16-6)$$

где $\omega_n = 2\pi f_n$ — нижняя граничная частота рабочего диапазона;
 M_n — допустимый коэффициент частотных искажений каскада на низших частотах;

$R_{\Sigma.н}$ — эквивалентное сопротивление, состоящее из параллельно соединенных внутреннего сопротивления эквивалентного источника с учетом активных сопротивлений обмоток ($R_i + R_1 + R'_2$) и сопротивления нагрузки, пересчитанного в первичную цепь R'_n ,

$$R_{\Sigma.н} = \frac{(R_i + R_1 + R'_2) R'_n}{R_i + R_1 + R'_2 + R'_n}. \quad (16-7)$$

Для некоторых частных случаев работы усилителя выражение (16-7) можно заменить более простым. При достаточно высоком η_n , когда можно пренебречь потерями в трансформаторе, эквивалентное сопротивление на низших частотах равно

$$R_{\Sigma.н} \approx \frac{R_i R'_n}{R_i + R'_n}. \quad (16-8)$$

Для того чтобы частотные искажения в области высших частот не превышали заданной величины, необходимо выполнять условие

$$L_p \leq \frac{R_{\Sigma.в} \sqrt{M_B^2 - 1}}{\omega_b}, \quad (16-9)$$

где $\omega_b = 2\pi f_b$ — высшая граничная частота рабочего диапазона;
 $R_{э.в}$ — эквивалентное сопротивление на высших частотах, равное

$$R_{э.в} = R_i + R_l + R'_2 + R'_H. \quad (16-10)$$

При достаточно высоком η_T

$$R_{э.в} = R_i + R'_H. \quad (16-11)$$

Важным показателем, характеризующим возможность изготовления трансформатора, служит коэффициент рассеяния

$$\sigma = \frac{L_p}{L}.$$

Трансформатор выполним, если $\sigma > 0,005$. При меньших значениях σ приходится существенно усложнять конструкцию выходного трансформатора.

16—3. Двухтактный каскад усиления мощности

Однотактный каскад усиления мощности обладает рядом существенных недостатков, основными из которых являются следующие: 1) невозможность применения экономичных режимов AB и B (из-за недопустимо больших нелинейных искажений); 2) малый к. п. д. каскада; 3) относительно большие нелинейные искажения, вносимые лампой; 4) увеличение нелинейных искажений за счет наличия постоянного подмагничивания магнитопровода выходного трансформатора; 5) относительно большие частотные искажения.

В тех случаях, когда однотактный каскад усиления мощности неприменим из-за указанных выше недостатков, а также когда мощность, отдаваемая одной лампой, недостаточна, применяют двухтактную схему усиления мощности (рис. 202). В двухтактном каскаде используют две одинаковые лампы, работающие в идентичных режимах. Каждая из ламп со своими цепями составляет плечо каскада. Вторичная обмотка трансформатора предшествующего каскада имеет вывод от средней точки. Это необходимо для подачи на сетки ламп двухтактного каскада двух равных по величине, но противоположных по фазе напряжений $U_{вх1}$ и $U_{вх2}$. У выходного трансформатора усилителя мощности имеется вывод от средней точки первичной обмотки. Через средний вывод трансформатора Tr_1 на сетки ламп подается напряжение смещения $E_{см}$, а через средний вывод трансформатора Tr_2 — напряжение питания на аноды ламп. Каж-

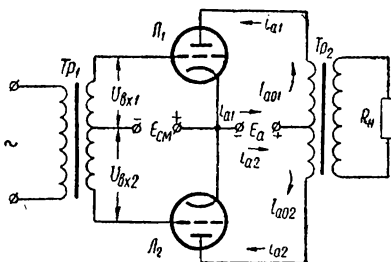


Рис. 202. Двухтактный каскад усилителя мощности.

дое плечо, взятое в отдельности, представляет собой обычный каскад усиления мощности с трансформаторным выходом, однако совместная работа двух плеч дает каскаду новые качества.

Рассмотрим процессы происходящие в двухтактной схеме. Допустим, что входной сигнал на сетках обеих ламп отсутствует и

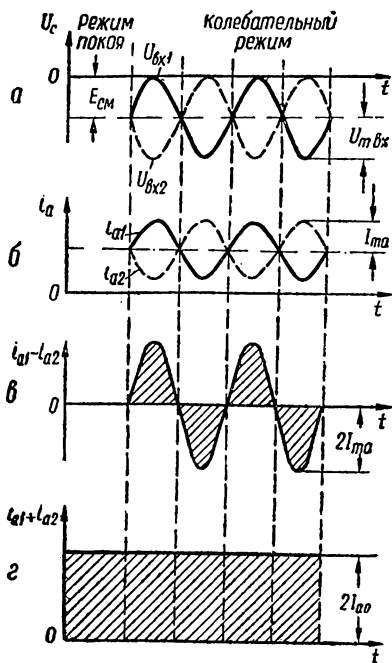


Рис. 203. Графическое пояснение работы двухтактного усилителя мощности.

в анодных цепях ламп L_1 и L_2 проходят только постоянные токи I_{a01} и I_{a02} , обусловленные источниками E_a и E_{cm} .

Как видно из рис. 202, токи покоя ламп протекают по первичной обмотке выходного трансформатора от средней точки в разные стороны. Следовательно, при полной симметрии плеч магнитные поля, созданные этими токами, компенсируются, и в сердечнике трансформатора отсутствует постоянная составляющая магнитного потока (постоянное подмагничивание). Это является важным преимуществом двухтактной схемы перед однотактной, так как уменьшает нелинейные искажения в выходном трансформаторе (исключается возможность работы в области магнитного насыщения) и позволяет сделать его менее громоздким.

При подаче на сетки ламп двух равных по величине и противоположных по фазе синусоидальных напряжений U_{bx1} и U_{bx2}

результатирующие сеточные напряжения изменяются в противофазе (рис. 203, а)

$$u_{c1} = E_{cm} + u_{bx1} = E_{cm} + U_{m_{bx}} \sin \omega t;$$

$$u_{c2} = E_{cm} - u_{bx2} = E_{cm} - U_{m_{bx}} \sin \omega t.$$

Анодные токи ламп становятся при этом пульсирующими. Если, например, в данный момент на сетку первой лампы поступает положительное напряжение относительно катода, а на сетку второй — отрицательное, то

$$i_{a1} = I_{a01} + I_{ma} \sin \omega t;$$

$$i_{a2} = I_{a02} - I_{ma} \sin \omega t.$$

Следовательно, переменные составляющие анодных токов ламп сдвинуты между собой по фазе на 180° (рис. 203, б). Величина полезной мощности, отдаваемой в нагрузку, зависит от величины переменного магнитного потока в сердечнике выходного трансформатора

тора, который пропорционален разности пульсирующих токов ламп i_{a1} и i_{a2} (рис. 203, в)

$$\Phi = A(i_{a1} - i_{a2}) = A[(I_{a01} + I_{ma} \sin \omega t) - (I_{a02} - I_{ma} \sin \omega t)] = 2AI_{ma} \sin \omega t, \quad (16-12)$$

где A — коэффициент пропорциональности.

Таким образом, полезный магнитный поток пропорционален удвоенной переменной составляющей анодного тока, и, следовательно, мощность в нагрузке равна сумме мощностей, развиваемых каждой лампой. Ток, потребляемый от источника питания в колебательном режиме, в любой момент времени равен сумме мгновенных значений токов ламп

$$i_{a1} + i_{a2} = I_{a01} + I_{ma} \sin \omega t + I_{a02} - I_{ma} \sin \omega t = 2I_{a0}. \quad (16-13)$$

Следовательно, ток, потребляемый от источника питания, равен удвоенному току покоя одной лампы и не содержит переменной составляющей (рис. 203, г). Это — второе преимущество двухтактной схемы, ослабляющее паразитную связь через общий источник питания между оконечным и остальными каскадами, которая может привести к самовозбуждению усилителя.

Третьим преимуществом двухтактной схемы является ее малая чувствительность к пульсациям питающих напряжений. Переменное напряжение накала и недостаточное сглаживание пульсаций анодного напряжения в выпрямителе создают в двухтактном каскаде меньший фон, чем в однотактном. Это объясняется тем, что лампы питаются параллельно, и под влиянием пульсаций питающих напряжений анодные токи i_{a1} и i_{a2} будут одновременно увеличиваться или уменьшаться. Поскольку токи в первичной обмотке трансформатора направлены в противоположные стороны, то результирующий магнитный поток от изменения этих токов будет равен нулю. Следовательно, во вторичной обмотке трансформатора уровень фона с частотой пульсирующего напряжения источников питания равен нулю или имеет небольшую величину в случае некоторой асимметрии схемы.

Четвертым преимуществом двухтактного каскада является значительное уменьшение нелинейных искажений благодаря компенсации четных гармоник в выходном трансформаторе.

На рис. 204 изображены анодные токи первого и второго плеча двухтактной схемы. Предположим, что вследствие нелинейности характеристик ламп в анодных токах i_{a1} и i_{a2} появились гармоники, например вторая и третья. Как видно из графика на рис. 204, амплитуды второй гармоники находятся в фазе, т. е. в обоих плечах ток второй гармоники одновременно возрастает или убывает. Очевидно, это справедливо и для всех других четных гармоник. Так как эти токи в первичной обмотке трансформатора проходят в противополо-

ложных направлениях, то создаваемое ими магнитное поле будет равно нулю. Амплитуды третьей и всех нечетных гармоник находятся в противофазе, и, следовательно, магнитные поля, созданные этими токами, уничтожаться не будут. Таким образом, если не учитывать некоторой асимметрии двухтактной схемы, величину нелинейных искажений можно подсчитывать только по третьей гармонике, т. е. $\gamma = \gamma_3$.

Двухтактные схемы могут работать не только в режиме А, но и в более экономичных режимах АВ и В, что позволяет существенно повысить к. п. д. каскада. Преимущества двухтактного усилителя

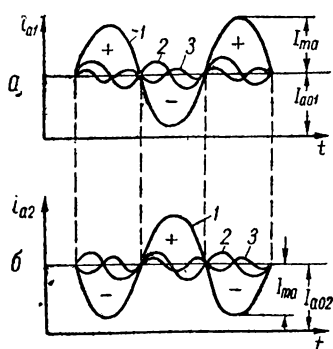


Рис. 204. Графическое изображение анодных токов в первом (а) и во втором (б) плечах двухтактного каскада:

1 — первая гармоника; 2 — вторая гармоника; 3 — третья гармоника.

мощности наиболее полно реализуются при работе ламп в режиме В. Поэтому мы рассмотрим только этот режим работы. Остановимся на режиме В₁, который иллюстрируется рис. 205. В этом режиме плечи двухтактной схемы работают поочередно, каждое в течение полупериода сигнала. Поэтому анодный ток каждой лампы представляет собой импульсы, имеющие вид полусинусоид, т. е. каждое плечо схемы работает с большими нелинейными искажениями сигнала. Несмотря на это, результирующий ток в первичной обмотке выходного трансформатора $i = i_{a1} - i_{a2}$, а следовательно, и напряжение на нагрузке R_n имеет форму, близкую к синусоидальной (если пренебречь кри-

визной нижней загиба динамических характеристик ламп).

Определим к. п. д. двухтактного усилителя мощности, работающего в режиме В₁. Обозначим максимальное значение импульсного анодного тока каждой лампы через $I_{a.макс}$. Разлагая импульсы анодного тока в ряд Фурье, можно доказать, что для режима В₁ справедливы выражения

$$I_{ma1} = \frac{I_{a.макс}}{2}; \quad (16-14)$$

$$I'_{a01} = I'_{a02} = \frac{I_{a.макс}}{\pi}, \quad (16-15)$$

где I_{ma1} — амплитуда первой гармоники анодного тока;
 $I'_{a01} = I'_{a02}$ — постоянные составляющие анодных токов ламп (токи I'_{a01} и I'_{a02} в отличие от токов покоя часто называют постоянными составляющими анодных токов ламп в режиме максимальной мощности).

При этом полезная мощность, отдаваемая в нагрузку каждой лампой, равна

$$P_{\text{вых}} = \frac{1}{2} I_{ma1} U_{ma}, \quad (16-16)$$

где U_{ma} — амплитуда переменной составляющей напряжения на аноде, а мощность, потребляемая каждой лампой от анодного источника питания, составляет

$$P_0 = I'_{a0} E_a. \quad (16-17)$$

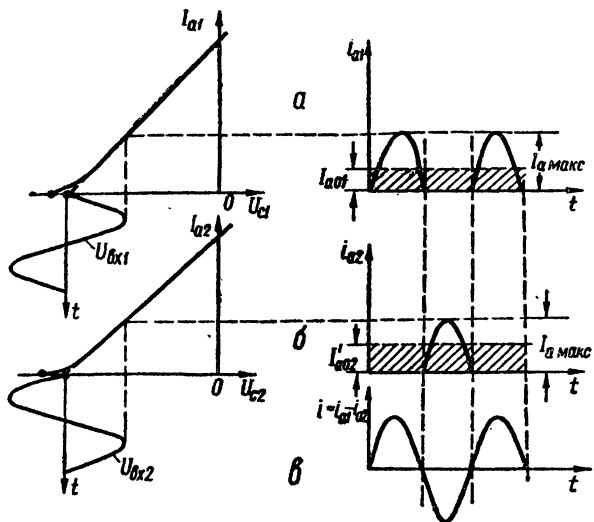


Рис. 205. Графическое пояснение работы двухтактного каскада в режиме В:

а — график, поясняющий работу первого плеча; б — график, поясняющий работу второго плеча; в — график тока в первичной обмотке выходного трансформатора.

В силу симметрии схемы к. п. д. двухтактного усилителя мощности в режиме В

$$\eta_B = \frac{2P_{\text{вых}}}{2P_0} = \frac{P_{\text{вых}}}{P_0} = \frac{1}{2} \cdot \frac{I_{ma1}}{I'_{a0}} \cdot \frac{U_{ma}}{E_a}. \quad (16-18)$$

Отношение $\frac{U_{ma}}{E_a} = \xi$ называется коэффициентом использования анодного напряжения и в режиме B_1 может иметь величину порядка $\xi = 0,9$. Поэтому выражение для к. п. д. с учетом (16-14) и (16-15) можно записать в виде

$$\eta_B = \frac{1}{2} \xi \frac{I_{ma1}}{I'_{a0}} = \frac{\pi}{4} \cdot 0,9 \approx 0,7. \quad (16-19)$$

Разность мощностей подводимой и полезной

$$P_a = P_0 - P_{\text{вых}} = P_0 (1 - \eta_B) \quad (16-20)$$

рассеивается в виде тепла на аноде лампы. Высокий к. п. д. указывает, что в режиме B_1 на аноде лампы рассеивается относительно небольшая часть (около 30%) мощности, потребляемой лампой от анодного источника питания. Поэтому при заданной допустимой величине мощности $P_{a, \text{доп}}$, рассеиваемой на аноде лампы, в режиме B_1 лампа может отдать мощность, в несколько раз большую, чем в режиме A .

Помимо перечисленных выше достоинств двухтактного каскада, он обладает еще одним ценным свойством — допускает работу с заходом в область положительных сеточных потенциалов, т. е. с наличием импульсов тока в цепях сеток (режим B_2). В однотактном каскаде появление сеточных токов недопустимо, так как импульсы тока сетки создают для предшествующего каскада нагрузку только в положительный полупериод, вызывая асимметрию формы входного напряжения. В двух плечах двухтактного каскада создаются одинаковые импульсы сеточного тока — в одном за первый, в другом за второй полупериод возбуждающего напряжения. Эти импульсы нагружают симметрично предоконечный каскад, не создавая в нем искажений. Выходная мощность и к. п. д. усилителя мощности в режиме B_2 оказываются еще более высокими, чем в режиме B_1 . Вместе с тем при работе оконечного каскада в режиме B_2 требуется повышение мощности предоконечного усилительного каскада, что в некоторых случаях невыгодно.

16—4. Фазоинверсные схемы предоконечных каскадов

Предоконечный каскад служит для формирования напряжения возбуждения оконечного каскада. Если оконечный каскад однотактный, то предоконечный каскад может быть построен по любой схеме усилителя напряжения (чаще всего по резистивной). Если же оконечный каскад двухтактный, то к предоконечному каскаду предъявляются особые требования: он должен давать на выходе два напряжения, равные по величине и сдвинутые между собой по фазе на 180° . Такие напряжения можно получить от трансформаторного каскада, применив трансформатор с выводом от средней точки вторичной обмотки, что связано, однако, с усложнением конструкции усилителя и увеличением искажений усиливаемого сигнала. Поэтому часто для симметричного возбуждения ламп двухтактной схемы оконечного каскада используют так называемые *фазоинверсные* (фазопереворачивающие) схемы предоконечных каскадов.

На рис. 206 показаны для примера два варианта фазоинверсных схем. На схеме рис. 206, *а* представлен резистивный усилитель напряжения, анодная нагрузка которого разделена на две равные части $\frac{R_a}{2}$, причем одна из них помещена в цепь катода лампы, а другая — в анодную цепь. Усиленные переменные напряжения, возникающие на этих сопротивлениях, равны друг другу по величине (по сопротив-

лениям проходит один и тот же ток) и противоположны по фазе относительно точки нулевого потенциала. Эти напряжения через разделительные конденсаторы C_{p1} и C_{p2} подаются на сетки ламп \mathcal{L}_3 и \mathcal{L}_4 двухтактного усилителя мощности.

Достоинством схемы является простота и необходимость всего лишь одной лампы, а недостатком — малый коэффициент усиления (примерно вдвое меньший, чем у обычного резистивного каскада на той же лампе) и то, что развиваемое лампой выходное напряжение делится пополам, из-за чего на сетки ламп усилителя мощности

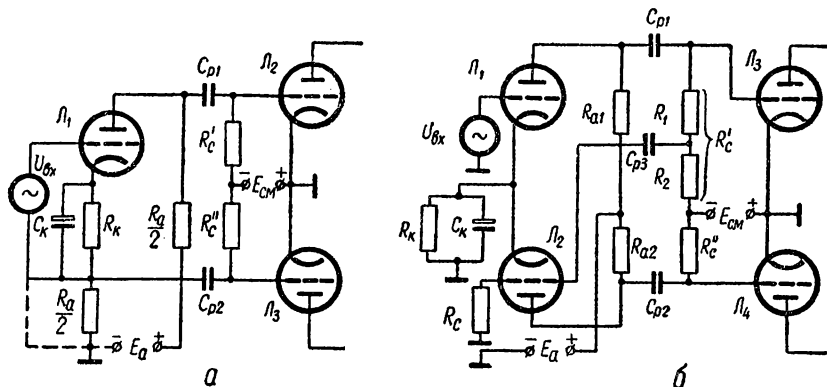


Рис. 206. Схемы фазоинверсных каскадов.

подается сравнительно небольшое напряжение. Поэтому данная схема не находит применения в усилителях большой мощности, где от предоконечного каскада требуется получить большое напряжение возбуждения. Кроме того, схема дает хорошие результаты только в том случае, если источник входного напряжения не соединен с общим проводом, т. е. не заземлен. Таким источником может быть, например, вторичная обмотка трансформатора. В противном случае входной сигнал подается между сеткой \mathcal{L}_1 и общим проводом (показано пунктиром), и половина усиленного лампой напряжения с сопротивлением $\frac{R_a}{2}$, включенного в цепь катода, попадает обратно на сетку \mathcal{L}_1 в противофазе с входным сигналом. В результате этого значительно уменьшается коэффициент усиления фазоинверсного каскада и нарушается симметрия схемы.

Работа схемы, изображенной на рис. 206, б, основана на том, что каждый усилительный каскад поворачивает фазу входного напряжения на 180° . Переменное напряжение от какого-либо источника, например от предыдущего каскада, подается на сетку лампы \mathcal{L}_1 , выполняющую функции обычного каскада усиления напряжения. Усиленное и перевернутое по фазе на 180° напряжение, возникающее на сопротивлении R_{a1} , через C_{p1} передается на сетку

лампы L_3 , являющейся одной из ламп двухтактного усилителя мощности.

На сетку второй лампы этого усилителя, т. е. на сетку лампы L_4 , необходимо подать такое же по величине, но сдвинутое на 180° напряжение. Для этого предназначена лампа L_2 , которая вместе с деталями R_{a2} , C_{p2} и R'_c образует второй вспомогательный усилительный каскад. На сетку лампы L_2 с сопротивления R_2 , входящего в состав R'_c , подается часть напряжения, усиленного лампой L_1 . Оно усиливается лампой L_2 , поворачивается на 180° по фазе и через C_{p2} подается на сетку лампы L_4 .

Для симметричной работы данной схемы, очевидно, необходимо, чтобы выполнялось условие $K_2 \frac{R_2}{R'_c} = 1$, где K_2 — коэффициент усиления каскада на лампе L_2 .

Фазоинверсные схемы применяются главным образом тогда, когда оконечный каскад работает без сеточных токов, т. е. в режимах A , AB_1 и B_1 . В режимах AB_2 и B_2 на создание токов сетки ламп оконечного каскада должна быть затрачена определенная (иногда довольно значительная) мощность предоконечного каскада. Поэтому в режимах AB_2 и B_2 для возбуждения двухтактного каскада обычно используется входной трансформатор с отводом от середины вторичной обмотки.

16—5. Фазочувствительные усилители

В схемах автоматики и телемеханики часто возникает необходимость преобразования входного напряжения переменного тока в напряжение постоянного тока, полярность и величина которого зависят от фазы входного напряжения.

Устройства, позволяющие осуществить такое преобразование, называют *фазочувствительными*. Наиболее распространенными из них являются *фазочувствительные выпрямители и усилители*.

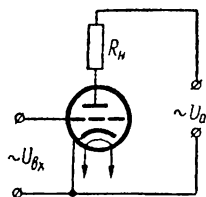


Рис. 207. Простейшая схема фазочувствительного усилителя.

Наибольшая мощность на выходе фазочувствительного выпрямителя меньше управляющей мощности. В фазочувствительных усилителях имеет место не только выпрямление переменного напряжения с учетом его фазового сдвига, но и усиление полученного сигнала по мощности. Фазочувствительный каскад обычно является выходным каскадом усилителя, работающим в режиме усиления мощности. Нагрузкой такого усилителя может служить, например, электродвигатель, направление вращения которого должно зависеть от фазы переменного входного напряжения, электромагнитное реле и т. п. Простейшая схема фазочувствительного усилителя показана на рис. 207.

В отличие от обычных усилительных схем на анод лампы фазочувствительного усилителя подается переменное напряжение U_a . Поскольку лампа пропускает ток только в течение того полупериода, когда анод положителен, то через анодную нагрузку протекает выпрямленный ток в виде полуволн одного знака (рис. 208). Если на сетку лампы подается переменное напряжение $U_{вх}$, совпадающее по фазе с U_a (рис. 208, а), то амплитуда полуволн тока в анодной цепи лампы увеличивается. Постоянная составляющая этого тока, показанная на рисунке пунктирной линией, велика. Если же входное напряжение находится в противофазе с анодным, то анодный ток значительно уменьшится или даже совсем прекратится (рис. 208, б),

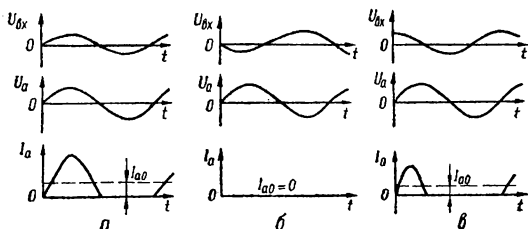


Рис. 208. Графики напряжений и токов в фазочувствительном усилителе.

так как в первом полупериоде лампа запирается отрицательным напряжением на сетке, а во втором — отрицательным анодным напряжением. В тех случаях, когда фазовый сдвиг между входным напряжением и напряжением на аноде лампы лежит в пределах от 0 до 180° , амплитуда импульсов анодного тока, а также его постоянная составляющая I_{a0} будут иметь некоторую промежуточную величину между максимальным и минимальным значениями. Так, если входное

напряжение сдвинуто относительно анодного на 90° (рис. 208, в), то анодный ток течет только в течение четверти периода, что сказывается на величине его амплитуды и постоянной составляющей I_{a0} .

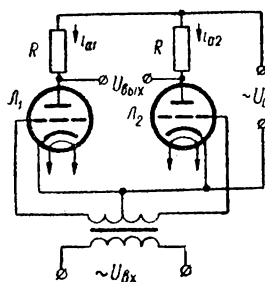


Рис. 209. Схема дифференциального фазочувствительного усилителя.

Нетрудно заметить, что в рассмотренной (однополупериодной) схеме фазочувствительного усилителя при изменении фазы входного напряжения меняется лишь величина постоянной составляющей анодного тока; направление же тока, а следовательно, полярность напряжения на нагрузочном сопротивлении при этом не изменяются.

В большинстве случаев от фазочувствительного усилителя требуется, чтобы при $U_{вх} = 0$ выходной ток или напряжение были равны нулю, а при опрокидывании фазы $U_{вх}$, выходной ток и напряжение меняли свою полярность. Этим требованиям отвечают так называемые *дифференциальные* фазочувствительные усилители. Одна из схем такого типа приведена на рис. 209.

Схема содержит две лампы, на аноды которых синфазно подается переменное анодное напряжение U_a . В анодные цепи ламп включены сопротивления R . Выходное напряжение $U_{\text{вых}}$ снимается между анодами. Входное напряжение $U_{\text{вх}}$ подается через входной трансформатор на сетки ламп в противофазе. При $U_{\text{вх}} = 0$ анодные токи обеих ламп равны ($i_{a1} = i_{a2}$) и выходное напряжение равно нулю

$$U_{\text{вых}} = i_{a1}R - i_{a2}R = (i_{a1} - i_{a2})R = 0.$$

Если же входное напряжение $U_{\text{вх}}$ отличается от нуля, то напряжение на сетке одной из ламп совпадает по фазе с анодным напряжением и анодный ток этой лампы увеличится, а напряжение на сетке второй лампы будет в противофазе с анодным напряжением, что приведет к уменьшению анодного тока этой лампы. В результате на выходе появится напряжение $U_{\text{вых}} = (i_{a1} - i_{a2})R$, величина которого будет зависеть от разности токов i_{a1} и i_{a2} а полярность — от того, какой из этих токов имеет большее значение, т. е. от фазы входного напряжения.

Г Л А В А 17

ОБРАТНАЯ СВЯЗЬ В УСИЛИТЕЛЯХ

17—1. Назначение и виды обратной связи

Обратной связью называется такая электрическая связь между каскадами усилителя, при которой часть энергии усиленных колебаний с выхода усилителя подается обратно на его вход. Обратная связь может быть полезной, если она возникает в результате применения специальных схем и служит для улучшения свойств усилителя, или паразитной, если она возникает за счет нежелательного влияния различных цепей друг на друга.

На рис. 210 показаны различные способы подключения цепи обратной связи к выходной и входной цепям усилителя. Элемент схемы, обозначенный буквой β , является элементом обратной связи, посредством которого часть напряжения с выхода усилителя попадает обратно на его вход. Если цепь обратной связи подключается к выходу усилителя параллельно его нагрузке R_n , то напряжение обратной связи U_β будет прямо пропорционально напряжению на выходе; такую обратную связь называют *обратной связью по напряжению* (рис. 210, а и г). Если же цепь обратной связи подключена к выходу усилителя последовательно с его нагрузкой, то напряжение ее будет прямо пропорционально току в нагрузке I_n ; такую обратную связь называют *обратной связью по току* (рис. 210, б). Возможна комбинация этих способов подключения цепи обратной связи к выходу, при которой напряжение U_β состоит из двух составляющих, пропорциональных выходному напряжению и току; такая обратная связь называется *смешанной* (рис. 210, в). Если цепь обратной связи подключается ко входу усилителя последовательно с источником

входного сигнала, то обратную связь называют *последовательной* (рис. 210, а, б, в). Если же цепь обратной связи подключается ко входу параллельно источнику сигнала, то обратную связь называют *параллельной*.

Обратная связь может быть *положительной или отрицательной*. Положительная обратная связь возникает в том случае, когда напряжение обратной связи U_{β} совпадает по фазе с входным напряжением $U_{\text{вх}}$. Отрицательной обратной связью называется такая связь

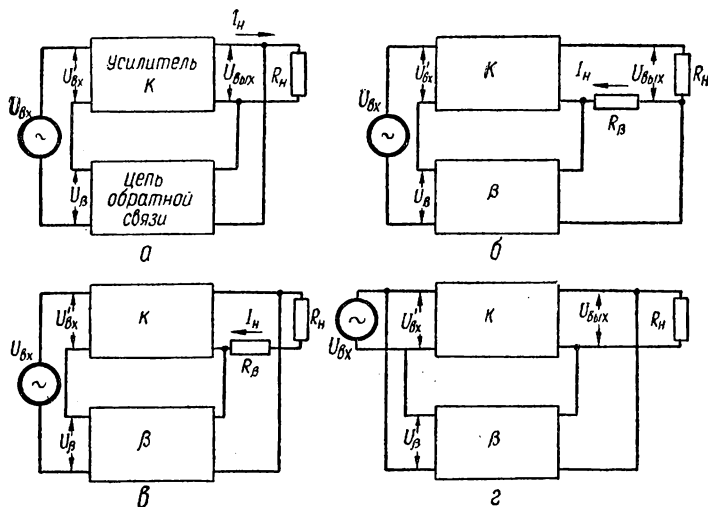


Рис. 210. Блок-схемы усилителей с обратной связью:

а — по напряжению, последовательная; б — по току, последовательная; в — смешанная, последовательная; г — по напряжению, параллельная.

между выходом и входом, когда напряжение обратной связи U_{β} противоположно по фазе входному напряжению $U_{\text{вх}}$, т. е. оба эти напряжения сдвинуты по фазе относительно друг друга на 180° . Наиболее распространенной в усилителях является последовательная отрицательная обратная связь по напряжению.

Рассмотрим, какое влияние на основные характеристики усилителя оказывает этот вид обратной связи.

Коэффициент усиления усилителя с отрицательной обратной связью. Для вывода формулы коэффициента усиления усилителя, охваченного обратной связью, воспользуемся блок-схемой, приведенной на рис. 210, а. Здесь усилитель с коэффициентом усиления

$K = \frac{U_{\text{вых}}}{U_{\text{вх}}}$ охвачен обратной связью, которая осуществляется с помощью специальной цепи, обозначенной β . Отношение напряжения обратной связи U_{β} , поступающего через цепь обратной связи на вход усилителя, к напряжению на выходе $U_{\text{вых}}$ называется *коэффициентом*

том передачи цепи обратной связи, т. е.

$$\beta = \frac{U_{\beta}}{U_{\text{вых}}} . \quad (17-1)$$

Коэффициент β может принимать значения от 0 до +1 при положительной и от 0 до -1 при отрицательной обратной связи. По мере увеличения численного значения β обратная связь усиливается, становится более глубокой. Таким образом, напряжение обратной связи в общем случае определяется выражением

$$U_{\beta} = \pm \beta U_{\text{вых}} . \quad (17-2)$$

Коэффициент усиления усилителя, охваченного цепью обратной связи, можно выразить отношением выходного напряжения на нагрузке $U_{\text{вых}}$ к напряжению внешнего источника $U_{\text{вх}}$

$$K_{\text{св}} = \frac{U_{\text{вых}}}{U_{\text{вх}}} . \quad (17-3)$$

Напряжение $U'_{\text{вх}}$, приложенное к участку сетка — катод первой лампы усилителя, в общем случае является суммой напряжений $U_{\text{вх}}$ и U_{β}

$$U'_{\text{вх}} = U_{\text{вх}} + U_{\beta} .$$

Принимая во внимание выражение (17-2) для U_{β} , получаем

$$U'_{\text{вх}} = U_{\text{вх}} + (\pm \beta U_{\text{вых}}) , \quad (17-4)$$

откуда

$$U_{\text{вх}} = U'_{\text{вх}} - (\pm \beta U_{\text{вых}}) .$$

Подставляя значение $U_{\text{вх}}$ в формулу (17-3), получаем

$$K_{\text{св}} = \frac{U_{\text{вых}}}{U'_{\text{вх}} - (\pm \beta U_{\text{вых}})} .$$

Разделим числитель и знаменатель на $U'_{\text{вх}}$. Тогда

$$K_{\text{св}} = \frac{\frac{U_{\text{вых}}}{U'_{\text{вх}}}}{1 - \left(\pm \beta \frac{U_{\text{вых}}}{U'_{\text{вх}}} \right)} .$$

В окончательном виде выражение для коэффициента усиления усилителя с обратной связью принимает вид

$$K_{\text{св}} = \frac{K}{1 - (\pm \beta K)} . \quad (17-5)$$

Произведение $\pm \beta K$ называется *фактором обратной связи*; знак при нем совпадает со знаком самой обратной связи. При положительной обратной связи знаменатель дроби уменьшается, а коэф-

коэффициент усиления возрастает в $(1 - \beta K)$ раз. При отрицательной обратной связи знаменатель возрастает, а коэффициент усиления $K_{св}$ падает в $(1 + \beta K)$ раз. Однако проигрыш в усилении, который имеет место при отрицательной обратной связи, компенсируется значительным качественным выигрышем, так как при использовании такой связи можно добиться резкого уменьшения всех видов искажений усиливаемого сигнала и повысить стабильность усиления при изменениях анодного напряжения и величины сопротивления анодной нагрузки.

Нелинейные искажения в усилителях с отрицательной обратной связью. Рассмотрим влияние отрицательной обратной связи на нелинейные искажения и помехи, вносимые усилительным каскадом. Пусть при входном напряжении $U_{вх}$ усилительный каскад без обратной связи дает на выходе, кроме напряжения $U_{вых}$ такой же формы, как входное, еще напряжение искажений или помех $U_{п.}$ При охвате каскада отрицательной обратной связью на его вход, кроме напряжения сигнала, будет подаваться с выхода напряжение искажений или помех. При неизменном значении напряжения, поступающего на вход каскада, обратная связь практически не дает уменьшения коэффициента нелинейных искажений, так как она изменяет примерно одинаково гармоники, внешние помехи и полезный сигнал. Однако напряжение полезного сигнала на входе каскада можно довести до прежнего уровня увеличением коэффициента усиления предыдущего каскада. Вследствие этого уровень полезного сигнала на выходе каскада повышается, а все мешающие напряжения (возникающие только в каскаде, охваченном обратной связью) уменьшаются, что приведет к уменьшению уровня помех и нелинейных искажений. Действительно, при введении отрицательной обратной связи на выходе каскада возникнет новое напряжение искажений или помех $U_{п.св.}$, равное разности напряжения $U_{п.}$, вносимого усилительным каскадом, и напряжения $U_{п.св.}$, прошедшего через цепь обратной связи и усилитель, а следовательно, помноженного на βK ,

$$U_{п.св.} = U_{п.} - \beta K \cdot U_{п.св.} \quad (17-6)$$

Решив уравнение (17—6) относительно $U_{п.св.}$, получим

$$U_{п.св.} = \frac{U_{п.}}{1 + \beta K} \quad (17-7)$$

Таким образом, отрицательная обратная связь уменьшает искажения и помехи, вносимые усилительным каскадом, в $(1 + \beta K)$ раз. Формула (17—7) справедлива для любой гармонической составляющей нелинейных искажений, вносимых усилителем, а поэтому справедлива и для его коэффициента нелинейных искажений. Поэтому количественно уменьшение коэффициента нелинейных искажений при наличии отрицательной обратной связи определяется выражением

$$\gamma_{св} = \frac{\gamma}{1 + \beta K}, \quad (17-8)$$

где $\gamma_{\text{св}}$ — коэффициент нелинейных искажений усилителя с отрицательной обратной связью;

γ — его значение при отсутствии обратной связи.

Учитывая, что $\beta = \frac{U_{\beta}}{U_{\text{вх}}}$, а $K = \frac{U_{\text{вых}}}{U'_{\text{вх}}}$, формулу (17—8) можно представить в виде

$$\gamma_{\text{св}} = \frac{\gamma}{1 + \frac{U_{\beta}}{U'_{\text{вх}}}}. \quad (17-9)$$

В зависимости от допустимого уровня нелинейных искажений отрицательной обратной связью может быть охвачен один или несколько каскадов усилителя. Наибольшую величину нелинейных искажений обычно создает выходной каскад усилителя, так как он работает при больших амплитудах входного сигнала. Поэтому отрицательную обратную связь наиболее часто используют в мощных усилителях, работающих в режимах B_1 и B_2 . Для расчета величины напряжения обратной связи, обеспечивающей получение заданного коэффициента нелинейных искажений каскада, часто используется формула (17—9). Пусть, например, для обеспечения заданной выходной мощности на вход каскада мощного усиления подается напряжение $U'_{\text{вх}} = 10$ в и при этом коэффициент нелинейных искажений $\gamma = 8\%$. Допустимое значение коэффициента нелинейных искажений для этого каскада $\gamma_{\text{доп}} = 2\%$. В этом случае в каскад необходимо ввести отрицательную обратную связь с напряжением

$$U_{\beta} = U'_{\text{вх}} \left(\frac{\gamma}{\gamma_{\text{доп}}} - 1 \right) = 10 \left(\frac{8}{2} - 1 \right) = 30 \text{ в.}$$

Следовательно, для обеспечения заданной выходной мощности на вход каскада с обратной связью придется подать напряжение сигнала уже на 10 в, а $U_{\text{вх}} = 40$ в, которое и должен отдавать предварительный усилитель. Еще раз отметим, что отрицательная обратная связь может уменьшить нелинейные искажения и помехи, возникающие лишь в той части усилителя, которая охвачена обратной связью. Помехи, возникающие на входе усилителя, ни при каких условиях не могут быть уменьшены обратной связью, так как введение отрицательной обратной связи уменьшает усиление в $(1 + \beta K)$ раз, т. е. во столько раз, во сколько снижаются и помехи. Поэтому отношение полезного входного сигнала к входным помехам не изменяется.

Влияние отрицательной обратной связи на частотную характеристику усилителя. Введение отрицательной обратной связи позволяет получить более равномерную частотную характеристику усилителя. В справедливости этого легко убедиться простым способом. Допустим, что в усилителе коэффициент частотных искажений $M_{\text{н}} =$

$= \frac{K_{\text{ср}}}{K_{\text{н}}} > 1$, т. е. усиление на низших частотах $K_{\text{н}}$ меньше, чем на средних $K_{\text{ср}}$. При отрицательной обратной связи

$$M_{\text{н}\beta} = \frac{K_{\text{ср}\beta}}{K_{\text{н}\beta}},$$

где $K_{\text{ср}\beta}$ и $K_{\text{н}\beta}$ — коэффициенты усиления соответственно на средних и низких частотах при введении в усилитель обратной связи.

Но $K_{\text{ср}\beta} = \frac{K_{\text{ср}}}{1 + \beta K_{\text{ср}}}$, $K_{\text{н}\beta} = \frac{K_{\text{н}}}{1 + \beta K_{\text{н}}}$, следовательно,

$$M_{\text{н}\beta} = \frac{\frac{K_{\text{ср}}}{1 + \beta K_{\text{ср}}}}{\frac{K_{\text{н}}}{1 + \beta K_{\text{н}}}} = \frac{K_{\text{ср}}}{K_{\text{н}}} \cdot \frac{1 + \beta K_{\text{н}}}{1 + \beta K_{\text{ср}}},$$

или

$$M_{\text{н}\beta} = M_{\text{н}} \frac{1 + \beta K_{\text{н}}}{1 + \beta K_{\text{ср}}}. \quad (17-10)$$

Так как $K_{\text{н}} < K_{\text{ср}}$, то отношение $\frac{1 + \beta K_{\text{н}}}{1 + \beta K_{\text{ср}}} < 1$. Таким образом, $M_{\text{н}\beta} < M_{\text{н}}$.

Предполагая, что обратная связь весьма глубокая ($\beta K \gg 1$), и пренебрегая единицей по сравнению с $\beta K_{\text{н}}$ и $\beta K_{\text{ср}}$ в выражении (17-10), получаем $M_{\text{н}\beta} \approx 1$, т. е. частотные искажения в усилителе с глубокой отрицательной обратной связью значительно уменьшаются. Сглаживание частотной характеристики при введении отрицательной обратной связи объясняется физически так. Уровень напряжения, подаваемого с выхода усилителя на вход, в соответствии с частотной характеристикой усилителя различен на разных частотах и, следовательно, различно действие обратной связи. В области частот, где имеется подъем, обратная связь больше ослабляет усиление, чем на частотах, где имеется западание частотной характеристики. Таким образом, неравномерность частотной характеристики сглаживается (рис. 211). Все это справедливо лишь при активной обратной связи, если β не зависит от частоты. Применяя в цепи обратной связи реактивные элементы, т. е. делая коэффициент β частотно зависимым, можно получить частотную характеристику усилителя любой формы, в зависимости от схемы. Этим часто пользуют-

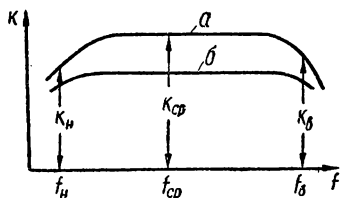


Рис. 211. Частотная характеристика усилителя:
а — без отрицательной обратной связи; б — с отрицательной обратной связью.

ся для коррекции частотных искажений, возникающих в каскадах усиления, не охваченных обратной связью.

Влияние отрицательной обратной связи на стабильность коэффициента усиления. При работе усилителя его коэффициент усиления изменяется вследствие ряда причин. Основные из них следующие: непостоянство напряжения источников питания, температуры, давления или влажности окружающей среды, старение усилительных элементов и деталей цепей межкаскадной связи. Рассмотрим, как будет влиять отрицательная обратная связь на изменения коэффициента усиления на примере. Пусть усилительный каскад с коэффициентом усиления $K = 80$ охвачен отрицательной обратной связью, причем коэффициент передачи цепи обратной связи $\beta = 0,2$. В соответствии с формулой (17—5) коэффициент усиления каскада с обратной связью составляет

$$K_{\text{ср}} = \frac{K}{1 + \beta K} = \frac{80}{1 + 0,2 \cdot 80} = 4,7.$$

Предположим, далее, что коэффициент усиления K изменился (увеличился) на 10%. Тогда коэффициент усиления каскада с обратной связью составит

$$K'_{\text{св}} = \frac{K + \Delta K}{1 + \beta (K + \Delta K)} = \frac{80 + 8}{1 + 0,2 (80 + 8)} = 4,73;$$

следовательно, при использовании обратной связи коэффициент усиления каскада изменился менее чем на 1%. Физически стабилизация коэффициента усиления при введении отрицательной обратной связи объясняется следующим образом. Если за счет каких-либо причин усиление изменилось на величину ΔK , то напряжение обратной связи изменится на соответствующую величину ΔU_{β} , причем, если усиление возросло, то возрастет напряжение обратной связи, что вызовет уменьшение входного напряжения; если усиление упало, то уменьшится напряжение обратной связи, что вызовет увеличение входного напряжения. Таким образом, отрицательная обратная связь препятствует любым изменениям величины коэффициента усиления.

17—2. Схемы подачи напряжения отрицательной обратной связи

В простейшем случае отрицательную обратную связь по току можно получить в любом каскаде усилителя, имеющем автоматическое смещение, путем отключения в цепи катода конденсатора C_k (рис. 212, а). В этом случае через сопротивление автоматического смещения R_k будет протекать пульсирующий ток, который на сопротивлении R_k создаст пульсирующее падение напряжения. Постоянная составляющая этого напряжения является напряжением смещения, а переменная составляющая — напряжением обратной связи, которая будет всегда в противофазе с напряжением сигнала,

подаваемого на сетку лампы. Величина обратной связи при такой схеме получается небольшой.

В схеме, изображенной на рис. 212, б, переменное напряжение первичной обмотки выходного трансформатора подано на делитель из сопротивлений R_1 и R_2 . Емкость C берется такой величины (0,1—0,5 мкф), что ее сопротивление во всем диапазоне частот весьма невелико. Назначение этой емкости: устранить замыкание анодного источника на сопротивления R_1 и R_2 . Напряжение обратной связи снимается с сопротивления R_2 и последовательно с напряжением сигнала подается на сетку лампы. Вследствие того, что усилительный

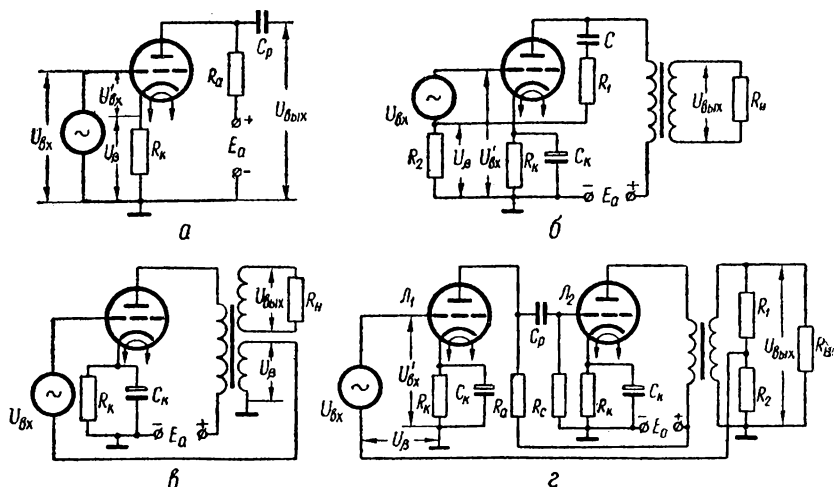


Рис. 212. Схемы подачи напряжения отрицательной обратной связи.

каскад изменяет фазу усиливаемого напряжения на 180° , напряжение U_β оказывается в противофазе с напряжением $U_{вх}$. Коэффициент передачи цепи обратной связи зависит от соотношения сопротивлений R_1 и R_2

$$\beta = \frac{R_2}{R_1 + R_2}.$$

Общее сопротивление $R_1 + R_2$ берут примерно в 20 раз больше сопротивления анодной нагрузки лампы. Недостаток этой схемы состоит в том, что в ней не уменьшается фон от пульсаций анодного напряжения. Действительно, напряжение пульсаций будет попадать на анод и на сетку лампы (через делитель обратной связи) в одной и той же фазе и вызовет увеличение пульсаций анодного тока. На рис. 212, в дана схема, свободная от такого недостатка. В ней напряжение обратной связи получается от дополнительной обмотки выходного трансформатора. Пульсации напряжения источника анодного питания попадают на анод и сетку лампы в противофазе, поэтому пульсации анодного тока уменьшаются. Схема обратной

связи, охватывающей два каскада усилителя, показана на рис. 212, з. Напряжение U_β получается с помощью делителя, включенного на выходе, причем $\beta = \frac{R_2}{R_1 + R_2}$. Обратная связь в этом случае влияет на величину коэффициента усиления двух каскадов, т. е.

$$K_{\text{св}} = \frac{K_1 K_2}{1 + \beta K_1 K_2},$$

где K_1 и K_2 — коэффициенты усиления первого и второго каскадов усилителя.

В этих схемах нетрудно сделать коэффициент передачи цепи обратной связи частотно зависимым. Для этого в цепь обратной связи вводят реактивные сопротивления. Напри-

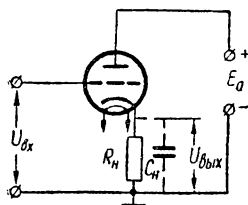


Рис. 213. Схема катодного повторителя.

мер, если в схеме рис. 212, б или 212, з зашунтировать сопротивление R_2 конденсатором такой емкости, чтобы его влияние сказывалось только на высших частотах, то на этих частотах β уменьшится и усиление поднимется. Наоборот, если подобным конденсатором зашунтировать R_1 , то на высших частотах β увеличится и произойдет более сильное западание усиления.

Большое распространение получил так называемый каскад с катодной нагрузкой (катодный повторитель), обладающий рядом интересных особенностей. Схема такого каскада (рис. 213) отличается от рассмотренных ранее тем, что сопротивление нагрузки R_n , с которого снимается напряжение выхода, включено не в анодную цепь, а в цепь катода лампы. Напряжение $U_{\text{вых}}$ совпадает по фазе (по полярности) с напряжением $U_{\text{вх}}$, поступающим на вход каскада, в то время как в усилительном каскаде с анодной нагрузкой эти напряжения противофазны.

Из схемы рис. 213 видно, что сопротивление нагрузки включено одновременно как в цепь выхода, так и в цепь входа, благодаря чему все выходное напряжение подается на вход усилителя в качестве напряжения отрицательной обратной связи, т. е. $\beta = -1$. Согласно (17—5) в этом случае

$$K_{\text{св}} = \frac{K}{1 + K} < 1, \quad (17-11)$$

т. е. катодный повторитель не дает усиления по напряжению. Несмотря на это, каскад с катодной нагрузкой обладает рядом преимуществ по сравнению с обычными усилительными каскадами. Наличие в катодном повторителе глубокой отрицательной обратной связи почти полностью устраняет нелинейные и частотные искажения сигнала. Поэтому форма выходного напряжения остается такой же, как и на входе, а частотная характеристика оказывается равномерной в широком диапазоне частот.

Важной особенностью катодного повторителя является малая величина его выходного сопротивления. С достаточной степенью точности выходное сопротивление катодного повторителя может быть подсчитано по формуле

$$R_{\text{вых}} = \frac{R_n}{1 + SR_n}, \quad (17-12)$$

где S — крутизна характеристики используемой лампы;

R_n — нагрузочное сопротивление в цепи катода.

Если, например, $R_n = 1000 \text{ ом}$, а $S = 9 \text{ ма/в}$, то $R_{\text{вых}} = \frac{1000}{1 + 0,009 \cdot 1000} = 100 \text{ ом}$. Благодаря столь малому выходному сопротивлению каскада он может быть хорошо согласован с низкоомной нагрузкой, например коаксиальным кабелем, требующим нагрузку, равную его волновому сопротивлению, т. е. 50—100 ом. Кроме того, при низком выходном сопротивлении каскада шунтирующее влияние емкости нагрузки C_n , подключенной параллельно сопротивлению R_n , оказывается несущественным. Поэтому частотная характеристика катодного повторителя не имеет западания на высших частотах, характерного для обычных усилительных каскадов. Входная емкость каскада с катодной нагрузкой примерно вдвое меньше, чем у каскада с анодной нагрузкой. Это позволяет получить от предыдущего каскада большое усиление. Отсутствие высокого напряжения источника анодного питания на выходе катодного повторителя позволяет присоединять к нему нагрузку непосредственно, без разделительного конденсатора.

Перечисленные особенности катодного повторителя позволяют применять его в тех случаях, когда надо отделить предыдущую часть схемы от ее нагрузки, которая изменяется по величине, имеет малое сопротивление или большую входную емкость.

17—3. Паразитные обратные связи и способы их устранения

В усилителе часто возникают обратные связи, не создаваемые специально, а вызванные особенностями конструкции усилителя в целом или отдельных его элементов. Такие обратные связи называются *паразитными*.

Паразитная обратная связь может быть отрицательной и положительной. Отрицательная обратная связь может вызвать не предусмотренное расчетом значительное уменьшение коэффициента усиления усилителя и поэтому является нежелательной. При положительной обратной связи, наоборот, коэффициент усиления увеличивается, но вместе с ним растут нелинейные и частотные искажения сигнала. Если при положительной обратной связи βK достигает единицы, то в соответствии с формулой (17—5) усиление теоретически возрастает до бесконечности, что соответствует получению нормального напряжения на выходе при бесконечно малом напряже-

нии на входе. Практически этот случай соответствует генерации усилителя, т. е. самовозбуждению в нем колебаний, исключающих возможность использования его для усиления сигналов.

Основными видами паразитной обратной связи в усилителях являются:

Связь через междуэлектронные емкости. Этот вид наиболее опасен для усилителей высокой частоты.

Связь, возникающая в результате индуктивного и емкостного взаимодействия между деталями и проводами усилителя. Предупреждение подобного вида нежелательных обратных связей дости-

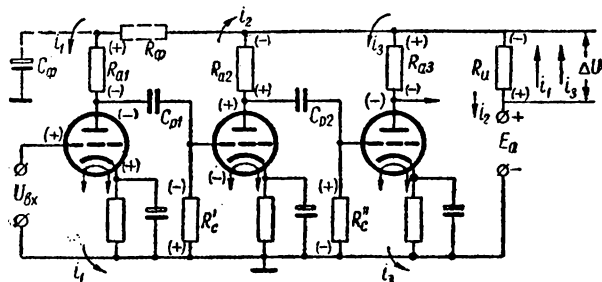


Рис. 214. Паразитная обратная связь через общий источник анодного питания.

гается рациональным расположением элементов схемы, правильным монтажом, экранированием катушек, трансформаторов и отдельных проводов.

Связь через общие источники питания. В многокаскадных усилителях источники питания анодных и накальных цепей, как правило, являются общими для всех каскадов. Через эти источники может возникнуть паразитная обратная связь между отдельными каскадами усилителя. Наиболее часто на работу усилителя оказывает влияние связь через общий источник анодного питания. Поясним это на примере трехкаскадного усилителя низкой частоты, схема которого изображена на рис. 214.

Предположим, что в рассматриваемый момент времени полярность напряжения на входе первого каскада соответствует плюсу на сетке. Учтя, что лампа поворачивает фазу напряжения на 180° , можно показать на схеме знаки мгновенных напряжений на каждой лампе и направления переменных составляющих анодных токов i_1 , i_2 , i_3 . Через сопротивление источника R_u протекают токи всех трех ламп, причем токи i_1 и i_3 имеют одно направление, а ток i_2 — противоположное. Так как возбуждающее напряжение третьей лампы значительно больше, чем первой и второй, падение напряжения ΔU на сопротивлении R_u в основном создается за счет тока третьей лампы и будет иметь знак, соответствующий напряжению суммарного тока $i_1 + i_3$. Переменное напряжение с сопротивления R_u ,

которое является в этой схеме элементом обратной связи, подается через делитель R_{a1} , C_{p1} и R'_c на управляющую сетку второй лампы и через делитель R_{a2} , C_{p2} и R''_c на сетку третьей лампы. Полярность этого напряжения такова, что на сетку второй лампы напряжение обратной связи подается в фазе с напряжением сигнала, а на сетку третьей — в противофазе. Следовательно, в усилителе образуется положительная обратная связь, охватывающая второй и третий каскады, и отрицательная обратная связь, охватывающая только третий каскад. Фактор отрицательной обратной связи $\beta_1 K_3$ сравнительно мал, и поэтому заметного влияния на работу усилителя эта связь не оказывает. Но положительная обратная связь, фактор которой $\beta_2 K_2 K_3$ значительно больше, может существенно ухудшить качественные показатели усилителя или даже вызвать его самовозбуждение.

Процесс самовозбуждения усилителя можно представить в следующем виде. Вследствие наличия положительной обратной связи напряжение на входе второй лампы возрастает: увеличение напряжения на входе вызывает увеличение напряжения обратной связи, которое снова повышает напряжение на входе. Таким образом, амплитуда колебаний будет непрерывно нарастать, и усилитель превратится в генератор колебаний. Самовозбуждение через источники питания чаще всего устраняется с помощью развязывающего фильтра.

На рис. 214 элементы развязывающего фильтра показаны пунктиром. Развязывающий фильтр можно рассматривать как своеобразный делитель напряжения (рис. 215). Здесь на вход фильтра включены два источника, один из которых имитирует постоянное напряжение питания, а другой — переменное напряжение, возникающее на внутреннем сопротивлении источника. Напряжения эти делятся пропорционально сопротивлениям фильтра. Напряжение с конденсатора подается на анод лампы. Фильтр будет тем совершеннее, чем больше емкость C_ϕ и сопротивление R_ϕ . Практически для низкочастотных усилителей конденсатор фильтра имеет емкость в пределах 5—10 мкф, а сопротивление имеет величину порядка десятков килоом. При этом для всех частот передаваемого диапазона должно выполняться неравенство

$$R_\phi \gg \frac{1}{\omega C_\phi}.$$

При выполнении этого условия переменное напряжение ΔU_1 на выходе фильтра оказывается значительно меньше напряжения ΔU на его входе, и опасность самовозбуждения усилителя устраняется. Развязывающий фильтр в анодной цепи наряду с ослаблением паразитной связи полезен также тем, что уменьшает действие фона,

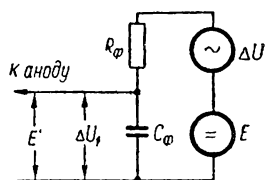


Рис. 215. К пояснению работы развязывающего фильтра.

вызванного недостаточной фильтрацией выпрямленного анодного напряжения. В отдельных случаях развязывающий фильтр служит элементом, корректирующим частотную и фазовую характеристики усилителя.

ГЛАВА 18

УСИЛИТЕЛИ ПОСТОЯННОГО ТОКА

18—1. Назначение и область применения усилителей постоянного тока

В устройствах автоматического контроля и регулирования часто регистрируются изменения таких величин, как мощность, угол сдвига фаз, давление, температура, световой поток, прозрачность и многие другие. Эти электрические и неэлектрические величины во многих случаях удобно преобразуются в медленно изменяющиеся токи или напряжения, частота которых составляет всего лишь единицы или даже доли герца.

Для усиления таких медленно изменяющихся напряжений или токов необходимы усилители, полоса пропускания которых имеет нижнюю границу $f_n = 0$. Усилители, обладающие этим свойством, носят название *усилителей постоянного тока* независимо от того, какая из величин — ток или напряжение — подлежит усилению.

Усилители постоянного тока широко используются в электронно-вычислительных устройствах, в измерительной технике, в области исследования биотоков, в ядерной физике и в ряде других областей техники.

Усиление постоянных напряжений и токов можно осуществлять двумя принципиально различными методами: непосредственно по постоянному току и с предварительным преобразованием постоянного тока в переменный. В соответствии с этим усилители постоянного тока делятся на два основных типа: усилители прямого усиления и усилители с преобразованием.

18—2. Усилители постоянного тока прямого усиления

Электрические сигналы, воздействующие на вход усилителя постоянного тока, во многих случаях малы по величине. Так, с помощью усилителей постоянного тока приходится усиливать напряжения порядка микровольт, а токи порядка 10^{-16} — 10^{-17} а. Для усиления столь слабых электрических сигналов одного каскада обычно оказывается недостаточно, и приходится применять усилитель, состоящий из двух или даже трех каскадов. Соединение каскадов между собой, не представляющее сложности в обычных усилителях переменного напряжения, при усилении постоянного тока или напряжения сопряжено с преодолением больших трудностей. Прежде всего очевидно, что в усилителях постоянного тока для связи анода предшествующего каскада с сеткой последующего не могут быть

применены ни трансформаторы, ни разделительные конденсаторы. Поэтому единственной схемой межкаскадной связи, пригодной для усилителей постоянного тока прямого усиления, является схема гальванической связи через элементы, проводящие постоянный ток, например через активные сопротивления.

Простейшим вариантом схемы гальванической межкаскадной связи является схема непосредственной связи, в которой напряжение сигнала, усиленное предыдущим каскадом, непосредственно поступает на вход последующего. Однако практическое осуществление такого способа связи затрудняется тем, что на сетку следующей лампы, кроме полезного сигнала, может быть подано постоянное анодное напряжение предшествующего каскада, что приведет к нарушению нормального режима работы лампы.

Существуют разнообразные способы компенсации постоянного анодного напряжения предшествующего каскада в цепи межкаскадной связи. На рис. 216 изображена схема, в которой между анодом лампы L_1 и сеткой лампы L_2 включен дополнительный источник компенсационного напряжения E_k . Выбирая э. д. с. компенсационного источника несколько большей постоянного напряжения U_{a1} на аноде предшествующей лампы, можно получить требуемую величину отрицательного смещения на сетке, поскольку

$$|E_{см2}| = U_{a1} - E_k,$$

где $E_{см2}$ — напряжение смещения на сетке лампы L_2 .

Такие схемы очень просты, однако применение их весьма ограничено, так как они нестабильны в работе. С изменением напряжения любого из источников питания схемы изменяется ток в цепи его нагрузки, что вызывает такой же эффект на выходе усилителя, как подача на вход усилителя сигнала. Поэтому при постоянстве напряжения на входе усилителя напряжение на его выходе медленно изменяется. Это явление называется *дрейфом*. Дрейф может быть вызван не только изменением напряжения источников питания, но и изменением параметров ламп вследствие их старения, изменением величины сопротивлений в результате их нагрева, старения, конденсации на их поверхности паров воды, масла и т. д. Напряжение дрейфа на выходе усилителя может оказаться одного порядка с напряжением сигнала или даже больше него. Это приводит к недопустимым искажениям усиливаемого сигнала.

На рис. 217 представлен другой вариант схемы усилителя постоянного тока. В этой схеме компенсация анодного напряжения в це-

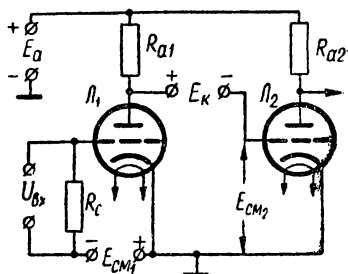


Рис. 216. Двухкаскадный усилитель постоянного тока с компенсационным источником.

пи межкаскадной связи осуществляется с помощью потенциометрического делителя напряжения в цепи общего источника анодного питания. Изменяя положение движка потенциометра, можно регулировать напряжение между сеткой и катодом лампы. При этом можно установить такое смещение на сетке лампы \mathcal{L}_2 , чтобы при отсутствии сигнала на входе усилителя выходное напряжение было равно нулю.

Коэффициент усиления каждого каскада такого усилителя определяется обычной формулой

$$K = \frac{\mu R_a}{R_i + R_a},$$

где R_a — сопротивление анодной нагрузки лампы;

R_i — внутреннее сопротивление лампы;

μ — коэффициент усиления лампы.

Коэффициент частотных искажений на высших частотах может быть найден из выражения (15—17). Частотные искажения на низ-

ших частотах в усилителях постоянного тока отсутствуют.

Схема, приведенная на рис. 217, имеет ряд существенных недостатков. Увеличение числа каскадов в схеме требует добавления новых секций потенциометра и увеличения напряжения источника питания. Кроме того, источник питания должен быть рассчитан на отдачу большого тока, т. е. обладать значительной мощностью. Объяс-

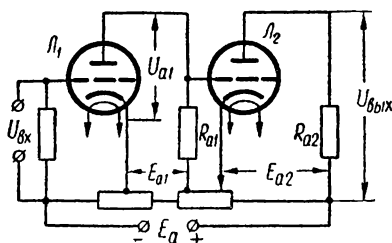


Рис. 217. Двухкаскадный усилитель постоянного тока с делителем напряжения в цепи анода.

няется это тем, что через потенциометр протекают анодные токи всех ламп. Поэтому во избежание паразитных связей сопротивления потенциометра должны быть выбраны достаточно малыми. При этом ток, потребляемый от источника питания, оказывается большим. Недостатком схемы является также отсутствие общего нулевого провода для всех каскадов. Вследствие этого одновременное заземление одной из входных и одной из выходных клемм невозможно. При заземлении одной из входных клемм нагрузка будет находиться под высоким напряжением относительно корпуса усилителя. Наоборот, если заземлена выходная клемма, то под высоким потенциалом оказывается вход усилителя. Кроме того, при использовании ламп с подогревными катодами и наличии общей обмотки питания нитей накала в схеме имеет место разность потенциалов между катодом и подогревателем, вследствие чего может наступить пробой тонкого слоя изоляции, отделяющей подогреватель от катода.

Неудобств, связанных с необходимостью иметь в схеме несколько отдельных источников питания или мощный источник сравнитель-

но высокого напряжения, можно избежать, применяя схему потенциометрической межкаскадной связи, получившую широкое распространение в усилителях постоянного тока прямого усиления. Принцип построения схем с потенциометрической связью каскадов поясняет рис. 218, а. Источник питания схемы секционирован, а его отвод соединен с нулевым проводом. Величины сопротивлений R_{a1} , R_1 , R_2 , составляющих потенциометр, выбирают такими, чтобы точка соединения сопротивлений R_1 и R_2 находилась под тем же потенциалом, что и отвод источника, или отличалась от него на заданную величину. Следовательно, несмотря на отсутствие между каскадами

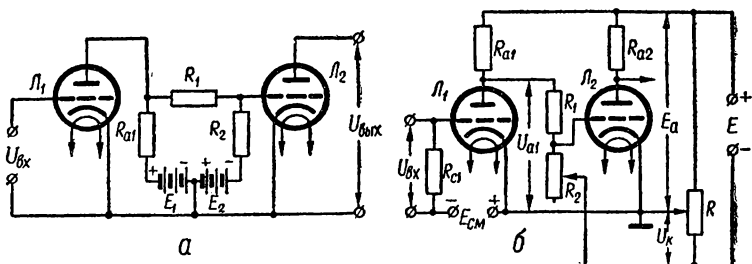


Рис. 218. Усилители постоянного тока с потенциометрической межкаскадной связью.

разделительного конденсатора, на сетке лампы \mathcal{L}_2 может быть установлено необходимое напряжение смещения, а напряжение на выходе усилителя при отсутствии сигнала остается равным нулю. Схема двухкаскадного усилителя описываемого типа приведена на рис. 218, б.

В этой схеме напряжение анодного питания E_a снимается с верхней части потенциометра R ; напряжение U_k , снимаемое с нижней части этого потенциометра, является компенсационным. Движок потенциометра R соединен с общим нулевым проводом, благодаря чему входная и выходная цепи имеют общую точку, а катоды всех ламп находятся под низким потенциалом относительно нулевого провода. Постоянное напряжение на управляющей сетке второй лампы регулируется подбором сопротивлений R_1 и R_2 и напряжения U_k .

Недостатком схемы является шунтирующее действие, которое оказывают сопротивления R_1 и R_2 на сопротивление анодной нагрузки первой лампы R_{a1} . Пренебрегая относительно малой величиной внутреннего сопротивления источника питания, можно считать, что сопротивления R_{a1} и $R_1 + R_2$ соединены между собой параллельно, следовательно, общее сопротивление анодной нагрузки первой лампы составляет

$$R'_{a1} = \frac{R_{a1}(R_1 + R_2)}{R_{a1} + R_1 + R_2}. \quad (18-1)$$

Поэтому во избежание значительного снижения коэффициента усиления первого каскада делитель напряжения R_1, R_2 должен быть достаточно высокоомным. Кроме того, важно, чтобы изменения напряжения на аноде лампы \mathcal{L}_1 возможно полнее передавались на сетку лампы \mathcal{L}_2 . Это может быть достигнуто при условии, что сопротивление R_2 значительно превышает сопротивление R_1 . Однако слишком большим R_2 выбирать не следует, так как при этом для получения требуемого напряжения смещения на сетке лампы \mathcal{L}_2 понадобится значительно повысить напряжение U_k , а следовательно, и э. д. с. источника питания E .

18—3. Повышение устойчивости усилителей постоянного тона

Построение стабильного усилителя постоянного тока, обладающего большим коэффициентом усиления и способного длительное время (сотни и тысячи часов) нормально работать без контроля и регулировок, представляет собой сложную техническую задачу. Объясняется это тем, что нежелательные изменения величины выходного напряжения или тока вызываются не только случайными колебаниями питающих напряжений и непостоянством электронного потока в лампе, как это имеет место в усилителях переменного напряжения, но и медленными изменениями с течением времени напряжений источников питания схемы и параметров ее элементов. В усилителях переменных сигналов эти явления приводят лишь к некоторому изменению величины коэффициента усиления схемы. В усилителях постоянного тока они вызывают изменения выходного напряжения или тока, не отличающиеся от изменений, связанных с действием на входе полезных сигналов.

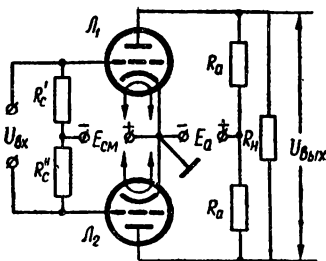


Рис. 219. Схема балансного каскада усилителя постоянного тока.

Следует отметить, что повышение устойчивости работы усилителя постоянного тока путем введения в его схему отрицательных обратных связей не дает большого эффекта, так как в результате уменьшения коэффициентов усиления каскадов их число приходится увеличивать, а это требует увеличения общего напряжения источника питания и усложнения схемы. Поэтому основными средствами повышения устойчивости усилителя постоянного тока являются: стабилизация напряжения или тока источников питания, использование специальных балансных каскадов усиления и компенсационных схем и правильный выбор режима входной лампы усилителя.

Для стабилизации источников анодного питания и питания цепей накала используются различные типы стабилизаторов напряже-

ния. Однако стабилизаторы, обеспечивающие нормальную работу двухкаскадных и трехкаскадных схем усилителей постоянного тока прямого усиления, сложны и дороги и имеют низкий к. п. д. Поэтому экономически выгоднее применять для уменьшения дрейфа, а следовательно, для повышения устойчивости сравнительно простые балансные схемы усиления.

Примером каскада такого типа может служить мостовая схема, изображенная на рис. 219. В этой схеме усиливаемое напряжение $U_{вх}$ делится на две равные части при помощи сопротивлений R'_c и R''_c . Полученные напряжения подаются в сеточные цепи ламп L_1 и L_2 , являющихся плечами моста. Так как при подаче на одну сетку положительного потенциала на другую сетку подается отрицательный потенциал, то анодный ток одной лампы увеличивается, а второй уменьшается; другими словами, сопротивление одной лампы падает, а второй — возрастает. Это нарушает баланс моста и создает напряжение на его диагонали, с которой снимается выходное напряжение. При соответствующем выборе рабочих точек на характеристиках ламп практически получается прямая пропорциональность между напряжением, поданным на вход схемы, и напряжением, снимаемым с диагонали моста.

Большим преимуществом балансных каскадов является слабая чувствительность к изменению напряжений источников питания. При полной симметрии схемы изменение питающих напряжений приводит к одинаковому изменению сопротивлений ламп, и поэтому баланс моста не нарушается. В реальных условиях не удастся сделать схему балансного усилителя абсолютно симметричной. Поэтому невозможно добиться полной компенсации вредного влияния нестабильности источников питания. Однако по сравнению с обычными (однотактными) каскадами усилителей постоянного тока балансная схема обладает значительными преимуществами в отношении стабильности: при одинаковом изменении питающих напряжений величина напряжения ложного сигнала на выходе балансного усилителя в десятки раз ниже, чем на выходе обычного каскада.

Применение многокаскадных схем усилителей с балансными каскадами связано с некоторыми трудностями, так как для каждого каскада требуются отдельные источники питания. Поскольку входной сигнал минимален в первом каскаде усилителя, то допустимое напряжение дрейфа минимально для первого каскада. Поэтому балансные схемы часто используются именно в первых каскадах усилителей постоянного тока. Иногда балансный усилитель используется в качестве оконечного каскада, работающего на активную нагрузку R_n (рис. 219).

Коэффициент усиления балансного каскада такой же, как и обычного однотактного

$$K = \frac{\mu R_a}{R_i + R_a}.$$

Это объясняется тем, что входное напряжение делится между сетками ламп пополам, а выходное напряжение удваивается. При расчете коэффициента усиления для схемы, приведенной на рис. 219, необходимо учесть, что каждое из сопротивлений R_a шунтируется сопротивлением $\frac{R_n}{2}$ (в силу симметрии схемы). Эквивалентное сопротивление нагрузки R'_a каждой лампы определяется соотношением

$$\frac{1}{R'_a} = \frac{1}{R_a} + \frac{2}{R_n},$$

поэтому коэффициент усиления

$$K = \frac{\mu R'_a}{R_i + R'_a} = \frac{\mu}{1 + \frac{R_i}{R_a} + 2 \frac{R_i}{R_n}}. \quad (18-2)$$

Несмотря на преимущества, которыми обладают балансные схемы, они не могут устранить неустойчивость работы усилителя, обусловленную нестабильностью электронного потока в лампе. Дело в том, что в каждой лампе эмиссия изменяется во времени неодинаково, и изменения анодных токов, возникающих по этой причине, не компенсируются в нагрузке. Эти изменения происходят так медленно, что в усилителях переменного тока, содержащих разделительные конденсаторы или междупламповые трансформаторы, они практически никакой роли не играют. Однако в усилителях постоянного тока нестабильность электронного потока в лампе, получившая название катодного дрейфа, играет весьма важную роль, особенно в лампе первого каскада усилителя.

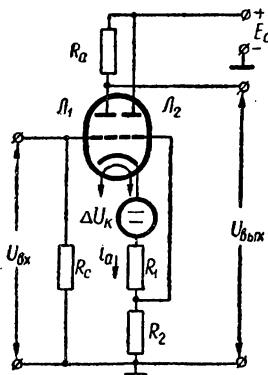


Рис. 220. Каскад усилителя постоянного тока с катодной компенсацией.

Рассмотрим один из вариантов усилителя постоянного тока, в котором удается автоматически скомпенсировать изменение тока эмиссии, — каскад с катодной компенсацией (рис. 220). В каскаде обычно используется двойной триод с одним общим катодом. При этом лампа L_1 является собственно усилительной, а лампа L_2 — компенсационной. Для удобства будем считать, что изменения анодного тока, вызванные непостоянством эмиссии катода, происходят вследствие появления некоторого эквивалентного напряжения ΔU_k в цепи катода. Появление этого напряжения не вызовет изменения анодного тока i_{a1} усилительной лампы L_1 только в том случае, если напряжение между сеткой и катодом этой лампы сохранится неиз-

менным. Компенсация напряжения ΔU_k осуществляется благодаря изменению тока второй лампы i_{a2} , вызванному этим напряжением и создающим дополнительное падение напряжения обратной полярности на сопротивлениях R_1 и R_2 . При правильном подборе сопротивлений R_1 и R_2 в общем катодном проводе напряжение катодного дрейфа уменьшается в такой схеме в несколько десятков раз. Расчеты показывают, что для наиболее полной компенсации напряжения ΔU_k сопротивление R_2 должно быть равным

$$R_2 = \frac{1}{S_2}, \quad (18-3)$$

где S_2 — статическая крутизна характеристики лампы L_2 в точке покоя.

Для точного подбора значения R_2 , соответствующего наилучшей компенсации дрейфа, это сопротивление часто делают переменным. Сопротивление R_1 служит для подачи отрицательного смещения на сетку лампы L_2 . Недостатком каскада с катодной компенсацией является отсутствие компенсации дрейфа, вызванного изменением напряжения источника анодного питания. В этом отношении предпочтителен балансный каскад.

Стремление объединить преимущества балансного каскада и каскада с катодной компенсацией привело к созданию схемы балансного усилителя с катодным сопротивлением, приведенным на рис. 221. В этой схеме используется двойной триод с общим катодом. Отрицательная обратная связь осуществляется по току через сопротивление R_k . На этом же сопротивлении выделяется необходимое напряжение автосмещения. Любые изменения напряжения источника анодного питания вызывают одинаковое изменение анодных токов обеих ламп. В результате изменяется напряжение обратной связи, что способствует восстановлению прежних значений токов. Кроме того, в схеме автоматически компенсируются изменения анодного тока, вызванные нестабильностью тока эмиссии ламп.

Следует отметить, что сопротивление R_k не оказывает влияния на величину коэффициента усиления каскада. Объясняется это тем, что входной сигнал действует на сетки ламп в противофазе, вследствие чего токи i_{a1} и i_{a2} получают одинаковые по величине, но противоположные по знаку приращения $\Delta i_{a1} = -\Delta i_{a2}$. Поэтому ток, протекающий по сопротивлению R_k , при изменении входного сигнала остается неизменным. Благодаря высокой стабильности балансный каскад с катодным сопротивлением получил широкое применение в различных электронных устройствах.

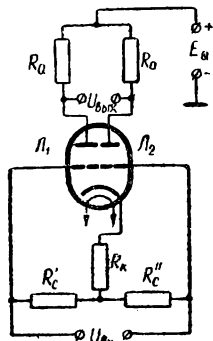


Рис. 221. Балансный усилитель постоянного тока с катодным сопротивлением.

18—4. Усилители постоянного тока с преобразованием

Наличие дрейфа и трудности непосредственного усиления очень малых сигналов постоянного тока в усилителях прямого усиления послужили причиной создания усилителей постоянного тока с преобразованием, устройство и принцип действия которых поясняет рис. 222.

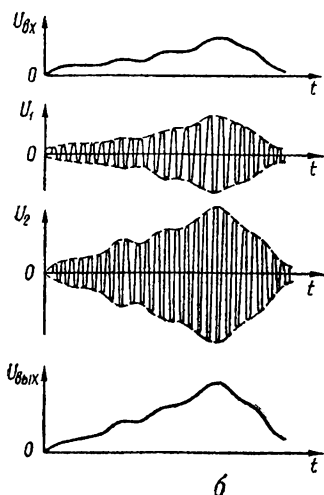
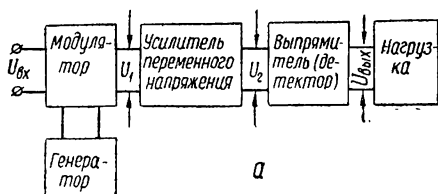


Рис. 222. Усилитель постоянного тока с преобразованием:

а — блок-схема усилителя; б — форма напряжения в различных цепях усилителя.

преобразованием, устройство и принцип действия которых поясняет рис. 222.

Вначале усиливаемое напряжение (ток) преобразуется в колебания, амплитуда которых изменяется во времени пропорционально входному сигналу $U_{вх}$. Для этого усиливаемый сигнал подают на вход модулятора. Одновременно на вход модулятора поступает переменное напряжение фиксированной частоты (300—1000 гц) от вспомогательного генератора, входящего в состав усилительного устройства. Полученное в результате преобразования напряжение U_1 (рис. 222, б) усиливается до нужной величины с помощью обычного усилителя переменного напряжения, в качестве которого может быть использован, например, усилитель низкой частоты, собранный по резистивной схеме. Напряжение U_2 с выхода усилителя подается на выпрямитель (детектор), кото-

рый позволяет получить из модулированных колебаний напряжение такой же формы, которое было подано на вход усилителя.

Преимуществами усилителей постоянного тока с преобразованием по сравнению с усилителями прямого усиления являются: значительно меньший уровень дрейфа, позволяющий усиливать слабые сигналы; малая чувствительность к колебаниям питающих напряжений, позволяющая обойтись без их стабилизации; простота введения обратной связи; высокий коэффициент усиления, достигающий десятков и сотен тысяч. Эти преимущества обусловлены тем, что основное усиление сигнала осуществляется на переменном токе. Недостатком усилителей постоянного тока с преобразованием является относительная сложность схемы, включающей в себя, кроме усилителя, ряд других элементов.

ПОЛУПРОВОДНИКОВЫЕ УСИЛИТЕЛИ**19—1. Основные особенности усилителей на транзисторах**

В настоящее время транзисторы с успехом заменяют электронные лампы в разнообразных электронных устройствах, в первую очередь — в схемах усилителей. Отметим некоторые особенности усилителей на транзисторах, обусловленные различием между электронной лампой и полупроводниковым триодом.

1. В электронной лампе поток электронов управляется электрическим полем, которое в промежутке сетка — катод в основном определяется величиной сеточного напряжения. Поэтому электронную лампу следует считать усилительным элементом, управляемым напряжением. В транзисторе ток коллектора, а следовательно, напряжение на нагрузке зависит от числа инжектированных носителей зарядов из эмиттера в базу. Управление током коллектора осуществляется путем изменения тока через эмиттерный переход. Поэтому транзистор удобнее рассматривать как усилительный элемент, управляемый током.

2. Электронные лампы чаще всего работают без сеточных токов и, как следствие, имеют высокие входные сопротивления. Работа транзисторов сопровождается сравнительно большим током во входной цепи. Это вызывает заметное потребление мощности от источника усиливаемого сигнала и приводит к уменьшению входного сопротивления усилительного каскада. Вследствие этого возрастает шунтирующее действие последующего каскада на предыдущий и уменьшается коэффициент усиления последнего. Поэтому в многокаскадных усилителях на транзисторах приходится принимать меры для согласования выходного сопротивления предыдущего каскада с входным сопротивлением последующего. Для этой цели часто используются междукаскадные согласующие трансформаторы.

3. В электронных лампах влияние выходной цепи на входную начинает сказываться лишь в области относительно высоких частот. В транзисторах практически на всех частотах существует внутренняя обратная связь, которая создается за счет междueleктродных сопротивлений. Поэтому в схемах на транзисторах необходимо предусмотреть меры, повышающие устойчивость работы усилителя.

4. Усилители на транзисторах уступают ламповым усилителям в отношении стабильности параметров. Это объясняется сложностью технологического процесса изготовления транзисторов и сильной зависимостью их параметров от температуры. Поэтому во многих схемах приходится принимать специальные меры (например, вводить отрицательную обратную связь) для стабилизации режима усилительных каскадов.

5. По сравнению с электронными лампами транзисторы обладают более высоким уровнем собственных шумов, обусловленных, главным образом, хаотичностью движения зарядов внутри полупроводника. Поэтому усилители на транзисторах менее пригодны для усиления слабых сигналов по сравнению с ламповыми усилителями.

19—2. Каскады предварительного усиления на транзисторах

Предварительные усилительные каскады применяются для повышения интенсивности сигнала, возбуждающего оконечные (мощные) каскады усилителя. Возбуждение усилительного каскада на транзисторе в отличие от каскада на электронной лампе можно осуществить только от источника достаточно большой мощности, способного развить во входном сопротивлении транзистора ток требу-

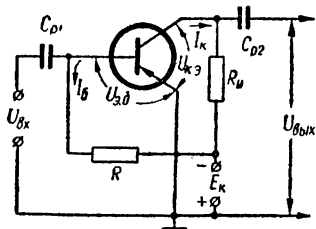


Рис. 223. Усилитель на транзисторе, включенном по схеме с общим эмиттером.

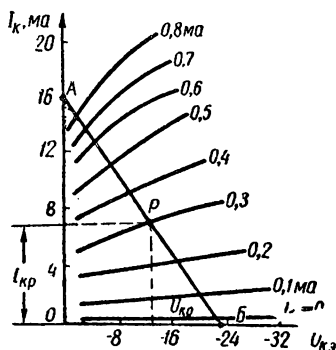


Рис. 224. Построение динамической характеристики транзисторного усилителя.

емой величины. Поэтому каскады предварительного усиления должны давать усиление сигнала не только по напряжению, но и по мощности.

Из трех типов полупроводниковых каскадов для предварительного усиления применяют два: каскад с общей базой и каскад с общим эмиттером. Каскад с общим коллектором, имеющий малый коэффициент усиления по напряжению и мощности, обычно выполняет те же функции, что и катодный повторитель в ламповых усилительных схемах, и непосредственно для усиления сигнала не применяется.

Наибольшее распространение в схемах предварительного усиления получил каскад с общим эмиттером, обладающий высоким коэффициентом усиления по напряжению и мощности, сравнительно большим входным сопротивлением и допускающий использование одного общего источника питания для цепей эмиттера и коллектора.

Простейшая схема усилительного каскада с общим эмиттером и питанием от одного источника показана на рис. 223. Входной сигнал приложен к базе и изменяет ее потенциал относительно заземленного эмиттера. Это приводит к изменению тока базы, а следова-

тельно, к изменению тока коллектора и напряжения на нагрузке. Исходная рабочая точка на характеристиках транзистора выбирается на основании тех же соображений, что и в ламповых усилителях. На рис. 224 представлено семейство выходных характеристик транзистора, включенного по схеме с общим эмиттером. Эти характеристики напоминают анодные характеристики пентода с той разницей, что положение каждой из них зависит не от напряжения на управляющей сетке $U_{с1}$, а от тока базы I_6 . Последнее обстоятельство указывает на то, что выбор рабочей точки на характеристиках транзистора для схемы с общим эмиттером должен осуществляться заданием определенного тока смещения базы I_{60} , который играет роль, аналогичную напряжению сеточного смещения электронной лампы.

Зная э. д. с. источника питания цепи коллектора E_k и сопротивление нагрузки R_n , можно построить динамическую характеристику (нагрузочную прямую) транзистора. При этом исходят из соотношения

$$E_k = U_{к.э} + I_k R_n, \quad (19-1)$$

откуда

$$I_k = \frac{E_k - U_{к.э}}{R_n}. \quad (19-2)$$

Если, например, $E_k = 24$ в, а $R_n = 1,5$ ком, то ток коллектора, соответствующий $U_{к.э} = 0$, будет равен

$$I_k = \frac{E_k}{R_n} = \frac{24}{1500} = 16 \text{ ма.}$$

На оси ординат выходных характеристик откладывают значение тока $I_k = 16$ ма (точка А), а на оси абсцисс — значение напряжения E_k (точка В). Полученные точки А и В соединяют прямой, которая и является динамической характеристикой транзистора (рис. 224).

Для получения наименьших искажений усиливаемого сигнала рабочую точку Р следует располагать на середине отрезка АВ нагрузочной прямой. Из рис. 224 видно, что положение рабочей точки Р соответствует току смещения в цепи базы $I_{60} = 0,3$ ма. Для получения выбранного режима необходимо в усилителе обеспечить требуемую величину тока смещения в цепи базы. Для этого в схему рис. 223 включено гасящее сопротивление R , величину которого рассчитывают по формуле

$$R = \frac{E_k - U_{6.э}}{I_{60}} \approx \frac{E_k}{I_{60}}, \quad (19-3)$$

где учтено, что $|U_{6.э}| \ll |E_k|$. Для нашего примера

$$R = \frac{24}{0,3 \cdot 10^{-3}} = 80 \text{ ком.}$$

Приведенная схема не нашла широкого применения, так как она не обладает достаточной стабильностью режима работы. При изменении температуры или при замене транзисторов рабочая точка может сместиться, что в свою очередь может привести к заметному изменению коэффициента усиления и к появлению нелинейных искажений. Параметром, наиболее сильно меняющимся при изменении температуры, а также при замене транзисторов, является обратный ток коллектора $I_{к0}$. Для оценки стабильности режима работы схемы введен так называемый коэффициент неустойчивости S , показывающий, во сколько раз изменение тока коллектора ΔI_k больше вызвавшего его изменения обратного тока коллекторного перехода $\Delta I_{к0}$,

$$S = \frac{\Delta I_k}{\Delta I_{к0}}. \quad (19-4)$$

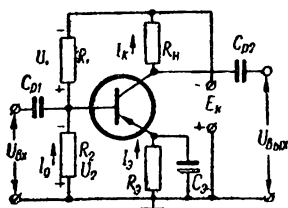


Рис. 225. Схема стабилизации рабочей точки транзисторного усилителя.

Если не принять никаких мер для стабилизации режима работы схемы, то даже небольшие изменения тока $I_{к0}$ приведут к значительному изменению постоянного тока коллектора I_k , а коэффициент S при этом будет намного больше единицы. Поэтому в усилительных каскадах на транзисторах часто применяют специальные схемы стабилизации режима, позволяющие снизить величину S до возможного минимума.

Наиболее распространенная схема стабилизации рабочей точки транзистора при питании его от одного источника приведена на рис. 225. В этой схеме в цепь эмиттера включено стабилизирующее сопротивление $R_э$, падение напряжения на котором, пропорциональное току эмиттера, является обратным для перехода эмиттер — база. Следовательно, в схеме существует отрицательная обратная связь по току, которая автоматически стабилизирует режим работы каскада при изменениях параметров транзистора.

Наиболее распространенная схема стабилизации рабочей точки транзистора при питании его от одного источника приведена на рис. 225. В этой схеме в цепь эмиттера включено стабилизирующее сопротивление $R_э$, падение напряжения на котором, пропорциональное току эмиттера, является обратным для перехода эмиттер — база. Следовательно, в схеме существует отрицательная обратная связь по току, которая автоматически стабилизирует режим работы каскада при изменениях параметров транзистора.

Пусть по какой-либо причине постоянный коллекторный ток возрастает. Так как $I_э = I_k + I_б$, то увеличение тока I_k приведет к увеличению тока эмиттера $I_э$, а следовательно, к увеличению падения напряжения на сопротивлении $R_э$. Увеличение обратного напряжения на участке эмиттер — база приведет к уменьшению тока базы $I_б$, что вызовет в свою очередь уменьшение коллекторного тока ($I_k = I_б\beta$). Наоборот, если по какой-либо причине коллекторный ток уменьшится, то уменьшится и обратное напряжение, приложенное к переходу эмиттер — база. При этом увеличится ток базы, а следовательно, и ток коллектора.

В большинстве случаев сопротивление $R_э$ шунтируется конденсатором $C_э$ достаточно большой емкости (порядка десятков микрофард). Это делается для устранения отрицательной обратной связи по переменному току, которая привела бы к снижению коэф-

фициента усиления каскада по напряжению. Сопротивления R_1 и R_2 , подключенные параллельно источнику питания E_k , составляют делитель напряжения. Ток делителя I_d , проходя через сопротивления R_1 и R_2 , создает на них падения напряжений

$$U_1 = I_d R_1; \quad U_2 = I_d R_2.$$

Эти напряжения используются для питания цепей эмиттера и коллектора. Величину сопротивлений R_1 и R_2 подбирают так, чтобы ток делителя I_d был больше тока, нормально потребляемого в цепях транзистора. При этом повышается стабильность режима работы схемы, так как изменения тока в цепях эмиттера и коллектора в процессе работы транзистора незначительно влияют на величину питающих напряжений. Вместе с тем ток делителя не следует выбирать слишком большим из соображений экономичности, так как чем больше ток I_d , тем более мощным должен быть источник питания E_k . Как правило, ток делителя выбирают в пределах $I_d \approx (2 \div 5) I_{60}$, где I_{60} — ток базы в заданной рабочей точке.

Для расчета элементов схемы, приведенной на рис. 225, можно пользоваться формулами

$$R_3 = \frac{\alpha (E_k - U_{k.0} - I_{к.р} R_n)}{I_{к.р} - I_{к0}}; \quad (19-5)$$

$$R_1 = \frac{E_k (S - 1)}{I_{к.р} - S I_{к0}}; \quad (19-6)$$

$$R_2 = \frac{(S - 1) R_1 R_3}{S R_1 \alpha - (S - 1) (R_1 + R_3)}. \quad (19-7)$$

Значения коэффициента усиления по току α и максимально допустимого обратного тока коллектора $I_{к0}$ указываются в справочниках по полупроводниковым приборам. Величина э. д. с. источника питания E_k и сопротивление нагрузки R_n обычно задаются при расчете каскада. Напряжение на коллекторе $U_{к.0}$ и ток коллектора $I_{к.р}$ в заданной рабочей точке определяют графическим путем с помощью построения нагрузочной прямой в семействе выходных характеристик транзистора (см. рис. 224). Коэффициентом неустойчивости S обычно задаются в пределах $S = 2 \div 7$.

Из схемы, приведенной на рис. 225, видно, что сопротивление R_2 делителя включено параллельно входному сопротивлению транзистора. Кроме того, пренебрегая малым внутренним сопротивлением источника питания, можно считать, что R_1 и R_2 включены параллельно друг другу. Поэтому необходимо, чтобы

$$\frac{R_1 R_2}{R_1 + R_2} \gg R_{вх},$$

т. е. делитель, образованный сопротивлениями R_1 и R_2 , должен обладать достаточно большим сопротивлением (порядка нескольких

килоом). В противном случае входное сопротивление каскада окажется недопустимо малым.

При расчете предварительного усилительного каскада на транзисторе, кроме элементов схемы, требуется определить также входное сопротивление и коэффициенты усиления по току, напряжению и мощности. Определение этих параметров для схемы с общим эмиттером может быть произведено по формулам

$$R_{\text{вх}} = \frac{h'_{11} \left(h_{22} + \frac{1}{R_{\text{H}}} \right) - h'_{12} h'_{21}}{h'_{22} + \frac{1}{R_{\text{H}}}}; \quad (19-8)$$

$$K_i = \frac{h'_{21}}{1 + h'_{22} R_{\text{H}}}; \quad (19-9)$$

$$K_u = \frac{h'_{21} R_{\text{H}}}{h'_{11} (1 + h'_{22} R_{\text{H}}) - h'_{12} h'_{21} R_{\text{H}}}; \quad (19-10)$$

$$K_p = K_i K_u.$$

В некоторых случаях допустимо рассчитывать указанные параметры по приближенным формулам

$$R_{\text{вх}} \approx h'_{11}; \quad (19-11)$$

$$K_i \approx h'_{21}; \quad (19-12)$$

$$K_u \approx \frac{h'_{21} R_{\text{H}}}{h'_{11}}; \quad (19-13)$$

$$K_p = K_i K_u = \frac{h'^2_{21} R_{\text{H}}}{h'_{11}}. \quad (19-14)$$

Как правило, погрешность приближенного расчета не превышает 5%.

Приведенные формулы могут быть использованы и для расчета схемы с общей базой. В этом случае вместо h' -параметров используются h -параметры транзистора. Выходное сопротивление каскада с общим эмиттером зависит главным образом от сопротивления коллекторного перехода и коэффициента усиления по току α и определяется по формуле

$$R_{\text{вых}} = r_{\text{к}} (1 - \alpha). \quad (19-15)$$

19—3. Многокаскадные предварительные усилители на транзисторах

Многокаскадные схемы усилителей на транзисторах строятся по тем же правилам, что и схемы ламповых усилителей. Однако при этом следует учитывать, что для транзисторных усилителей входное сопротивление каскада всегда меньше выходного сопротивления

предыдущего каскада (исключение составляют лишь каскады с общим коллектором) и при отсутствии согласования между каскадами усиление сигнала падает. Поэтому при построении многокаскадных схем приходится включать между каскадами переходные цепи, предназначенные не только для передачи напряжения от одного каскада к другому, но и для согласования входного сопротивления последующего каскада с выходным сопротивлением предыдущего.

Рассмотрим наиболее распространенные схемы междукаскадной связи, использующиеся в предварительных усилителях на транзисторах.

Усилители с трансформаторной связью. Основным достоинством усилителей с трансформаторной связью является возможность согласования низкого входного и высокого выходного сопротивлений транзисторов и тем самым получения наибольшего коэффициента усиления каскада по мощности. Типовая схема двухкаскадного усилителя с трансформаторной связью и температурной стабилизацией режима изображена на рис. 226. Назначение основных элементов схемы было выяснено в предыдущем параграфе. Отметим лишь, что конденсатор C_p в цепи междукаскадной связи служит для того, чтобы предотвратить заземление базы транзистора T_2 через вторичную обмотку междукаскадного трансформатора и обеспечить тем самым нормальное смещение на этом электроде.

Для расчета коэффициента трансформации междукаскадного трансформатора необходимо знать входное и выходное сопротивления каскадов, которые можно подсчитать по формулам (19—11) и (19—15). Например, если $R_{\text{вых}1}$ первого каскада равно 50 ом, а $R_{\text{вх}2}$ следующего каскада — 500 ом, то коэффициент трансформации определяют по известной формуле

$$n = \sqrt{\frac{R_{\text{вх}2}}{R_{\text{вых}1}}}, \quad (19-16)$$

из которой для приведенных выше значений $R_{\text{вх}2}$ и $R_{\text{вых}1}$ получаем $n = 0,1$.

Исходя из заданных частотных искажений на низших частотах, можно рассчитать индуктивность первичной обмотки трансформатора по формуле

$$L_1 \geq \frac{R_{\text{вых}1}}{2\omega_n \sqrt{M_n^2 - 1}}. \quad (19-17)$$

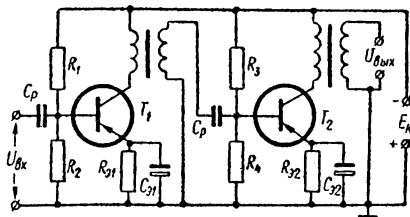


Рис. 226. Двухкаскадный транзисторный усилитель с трансформаторной междукаскадной связью.

При больших величинах сопротивления $R_{\text{вых1}}$ необходимо иметь трансформатор с большой индуктивностью первичной обмотки, что может увеличить габариты трансформатора. Поэтому в некоторых случаях для уменьшения L_1 при заданных частотных искажениях приходится уменьшать коэффициент трансформации междукаскадного трансформатора, нарушая тем самым согласование каскадов.

Емкость разделительного конденсатора C_p должна быть выбрана достаточно большой (несколько микрофард) во избежание снижения коэффициента усиления на низших частотах. Обычно в качестве разделительных конденсаторов в схемах усилителей на транзисторах используются малогабаритные электролитические конденсаторы типа ЭМ. Утечка в этих конденсаторах не играет существенной роли ввиду низких значений входных сопротивлений каскадов.

Величина емкости разделительного конденсатора может быть найдена по формуле

$$C_p \geq \frac{1}{R_{\text{вх2}} \omega_H \sqrt{M_H^2 - 1}}. \quad (19-18)$$

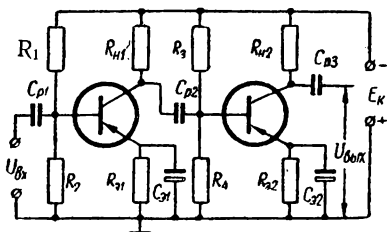


Рис. 227. Двухкаскадный транзисторный усилитель с емкостной междукаскадной связью.

При трансформаторной связи транзисторы могут быть включены не только по схеме с общим эмиттером, но и по схеме с общей базой,

так как путем выбора соответствующего коэффициента трансформации могут быть согласованы даже весьма сильно отличающиеся величины $R_{\text{вых}}$ и $R_{\text{вх}}$ двух смежных каскадов. Основным недостатком схемы трансформаторной междукаскадной связи является наличие трансформатора, размеры и вес которого значительно превышают размеры и вес транзисторов и современных малогабаритных деталей.

Усилители с емкостной связью. Усилители с емкостной связью позволяют наиболее полно использовать преимущества транзисторов в отношении размеров, веса и экономичности. Схема двухкаскадного усилителя с емкостной связью и с температурной стабилизацией режима изображена на рис. 227. В этой схеме не удастся полностью согласовать большое выходное сопротивление предыдущего каскада с более низким входным сопротивлением следующего каскада. Поэтому для получения необходимого коэффициента усиления по напряжению и мощности приходится брать большее число каскадов, чем это потребовалось бы при полном согласовании входных и выходных сопротивлений.

В некоторых случаях для обеспечения условий, близких к согласованию, комбинируют различные схемы усилительных каскадов. С этой точки зрения представляет интерес применение каскадов с общим коллектором, которые хотя и не способны сами усилить напряжение, но, имея сравнительно большое входное сопротивление,

создают благоприятные условия для усиления предыдущего каскада. Поэтому усиление двух каскадов, один из которых собран по схеме с общим эмиттером, а другой — с общим коллектором, может оказаться не меньше, чем усиление двух каскадов, собранных по схеме с общим эмиттером.

Предварительные усилители с непосредственной связью между каскадами. Усилительные каскады с непосредственной связью имеют большее усиление по мощности по сравнению с усилителями с емкостной связью, так как у них нет потерь в элементах связи. На рис. 228, *а* приведена схема такого усилителя, причем все тран-

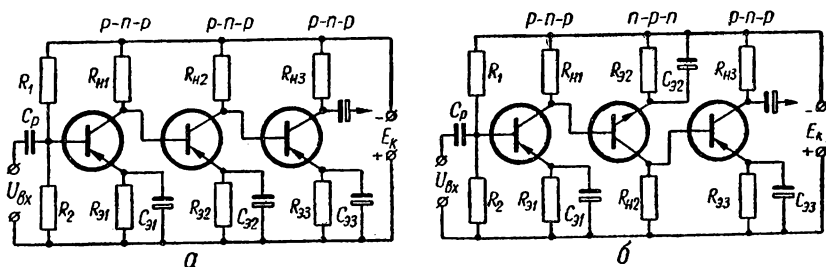


Рис. 228. Транзисторные усилители с непосредственной связью: *а* — на однотипных транзисторах; *б* — на транзисторах разного типа.

зисторы включены по схеме с общим эмиттером. Этим достигается максимальное усиление сигнала.

Недостатком усилителей с непосредственной связью является зависимость их показателей от суммарного влияния изменений режима в обоих каскадах. Для устранения этого недостатка следует в достаточной степени стабилизировать режим работы каждого каскада, особенно первого. Эффективная стабилизация требует включения больших сопротивлений $R_э$ последовательно с эмиттером каждого транзистора. В этом случае отрицательная обратная связь по току будет достаточно глубокой, а стабильность режима выше. Однако увеличение сопротивлений $R_э$ требует повышения напряжения источника питания.

Иногда в схеме предварительного усилителя с непосредственной связью используются транзисторы с разным типом проводимости (*р-п-р* и *п-п-п*). Типовая схема такого усилителя приведена на рис. 228, *б*.

19—4. Выходные каскады усилителей на транзисторах

Выходные каскады усилителей на транзисторах имеют много общего с выходными каскадами на электронных лампах. В этих каскадах, как и в ламповых схемах, возможно применение одноктактных или двухтактных схем, а также режимов *А*, *АВ* и *В*. В качестве согласующего элемента для связи с низкоомной внешней нагрузкой обычно используется выходной трансформатор.

В выходных каскадах, так же как и в предварительных, чаще всего используются схемы с общей базой и с общим эмиттером, причем предпочтение, как правило, отдается схеме с общим эмиттером. Это обусловлено тем, что мощность, необходимая для возбуждения каскада с общей базой, вследствие его малого входного сопротивления в десятки раз больше, чем для схемы с общим эмиттером. Поэтому коэффициент усиления по мощности для схемы с общим эмиттером значительно выше, чем для схемы с общей базой.

Однотактный выходной каскад. На рис. 229 показана типичная схема однотактного выходного каскада на транзисторе с общим эмиттером.

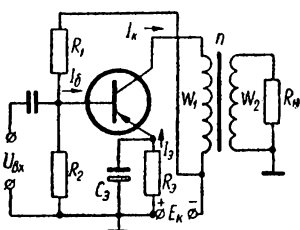


Рис. 229. Однотактный выходной каскад транзисторного усилителя.

Как известно, в однотактном каскаде обычно используется режим А, характеризующийся малыми нелинейными искажениями и низким к. п. д. ($\eta \leq 50\%$).

Для расчета выходного каскада обычно достаточно знать мощность $P_{\text{вых}}$, которая должна быть выделена на сопротивлении нагрузки $R_{\text{н}}$. Расчет производят в такой последовательности:

1. Подбирают тип транзистора, пригодный для работы в выходном каскаде усилителя. Анализ работы схемы показывает, что максимальная мощность находится в следующей зависимости от максимально допустимой мощности, рассеиваемой на коллекторе:

$$P_{\text{вых. макс}} = \frac{\eta_{\text{т}} P_{\text{к. доп}}}{2}, \quad (19-19)$$

где $\eta_{\text{т}}$ — к. п. д. выходного трансформатора. В большинстве случаев можно принять $\eta_{\text{т}} = 0,5 \div 0,6$.

Из формулы (19—19) можно найти $P_{\text{к. доп}}$, а затем по справочнику подобрать транзистор, обладающий допустимой мощностью, рассеиваемой на коллекторе, равной или превышающей найденное по формуле (19—19) значение $P_{\text{к. доп}}$.

2. Э. д. с. источника питания $E_{\text{к}}$ определяют по приближенной формуле

$$E_{\text{к}} \approx \frac{U_{\text{к. доп}}}{2}, \quad (19-20)$$

где $U_{\text{к. доп}}$ — максимально допустимое напряжение на коллекторе для выбранного типа транзистора.

3. Определяют коллекторный ток покоя

$$I_{\text{к.р}} = \frac{2P_{\text{к. доп}}}{U_{\text{к. доп}}}. \quad (19-21)$$

4. В семействе выходных характеристик транзистора строят нагрузочную прямую, проводя ее через точки с координатами ($E_{\text{к}}$,

$I_{к.р}$) и $(2E_k, 0)$ (рис. 230, а). Нагрузочная прямая должна проходить ниже линии допустимой мощности рассеивания на коллекторе и делиться в точке P на два приблизительно равных отрезка PA и PB . Выполнение этих условий гарантирует нормальный энергетический режим работы транзистора и минимальный коэффициент нелинейных искажений.

5. В точках пересечения нагрузочной прямой с крайними статическими характеристиками транзистора определяют минимальные и максимальные значения тока и напряжения коллектора: $I_{к.мин}$,

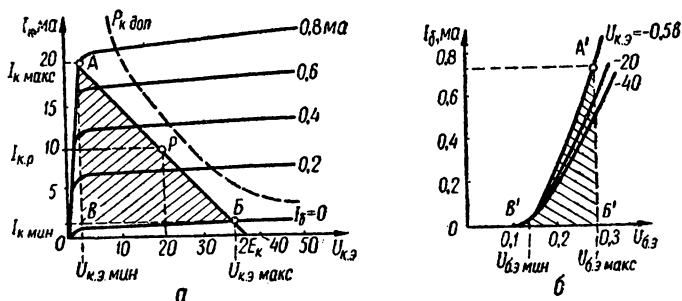


Рис. 230. К расчету транзисторного усилителя мощности.

$U_{к.э.мин}$, $I_{к.макс}$, $U_{к.э.макс}$. Кроме того, замечают максимальный ток базы $I_{б.макс}$, при котором ток коллектора достигает значения $I_{к.макс}$.

6. Выходную мощность каскада при максимальном уровне входного сигнала (пиковая мощность) определяют площадью треугольника ABV (рис. 230). С учетом к. п. д. выходного трансформатора эта мощность может быть найдена по формуле

$$P_{\text{вых.макс}} = \eta_T \frac{i_{к.макс} u_{к.макс}}{2},$$

где $i_{к.макс}$ — наибольшее мгновенное значение (амплитуда) тока коллектора, соответствующего максимальному уровню входного сигнала ($U_{к.макс}$).

Из рис. 230 очевидно, что

$$i_{к.макс} = \frac{I_{к.макс} - I_{к.мин}}{2};$$

$$u_{к.макс} = \frac{U_{к.э.макс} - U_{к.э.мин}}{2},$$

поэтому

$$P_{\text{вых.макс}} = \eta_T \frac{(I_{к.макс} - I_{к.мин})(U_{к.э.макс} - U_{к.э.мин})}{8}. \quad (19-22)$$

7. Переходят к семейству входных характеристик транзистора (рис. 230, б), с помощью которого находят максимальное напряжение базы $u_{б.э.макс}$, соответствующее току $I_{б.макс}$ (по характеристике, соответствующей напряжению $U_{к.э.мин}$), и минимальное напряжение

базы $U_{б.э.мин}$, необходимое для обращения тока базы в нуль (по характеристике, соответствующей напряжению $U_{к.э.макс}$).

Амплитуды переменного напряжения на базе и переменного тока базы могут быть найдены по формулам

$$u_{б.э.макс} = \frac{U_{б.э.макс} - U_{б.э.мин}}{2}; \quad (19-23)$$

$$i_{б.макс} = \frac{I_{б.макс} - I_{б.мин}}{2}. \quad (19-24)$$

8. Входная мощность каскада, т. е. мощность, которую должен развивать предоконечный каскад, составит

$$P_{вх} = \frac{u_{б.э.макс} i_{б.макс}}{2} = \frac{(I_{б.макс} - I_{б.мин})(U_{б.э.макс} - U_{б.э.мин})}{8}. \quad (19-25)$$

Нетрудно убедиться, что величина входной мощности определяется площадью треугольника $A'B'B'$.

9. Коэффициент усиления каскада по мощности определяют по формуле

$$K_P = \frac{P_{вых}}{P_{вх}}.$$

10. Входное сопротивление каскада находят из выражения

$$R_{вх} = \frac{U_{б.э.макс} - U_{б.э.мин}}{I_{б.макс} - I_{б.мин}}. \quad (19-26)$$

11. Сопротивление $R_э$, R_1 и R_2 рассчитывают по формулам (19-5) — (19-7). Емкость конденсатора $C_э$ имеет величину порядка десятков микрофард.

12. Коэффициент трансформации выходного трансформатора определяют по формуле

$$n = \sqrt{\frac{R_n}{R'_n \eta_T}}, \quad (19-27)$$

где R'_n — сопротивление нагрузки, приведенное к первичной обмотке трансформатора, т. е. к коллекторной цепи транзистора. Для определения R'_n можно воспользоваться приближенной формулой

$$R'_n \approx \frac{U_{к.доп}^2}{4P_{к.доп}}. \quad (19-28)$$

При использовании транзисторов с большими допустимыми токами коллектора низкоомное сопротивление нагрузки может быть включено непосредственно в выходную цепь транзистора без выходного трансформатора. Это значительно упрощает схему и конструкцию усилителя и уменьшает искажения усиливаемого сигнала.

Двухтактные выходные каскады. Для увеличения выходной мощности транзисторного усилителя и повышения его к. п. д. используют двухтактные выходные каскады. Наиболее часто такие

каскады работают в режиме *B*, при котором потребляется малая мощность от источника питания и обеспечивается к. п. д. порядка 75%.

Схема двухтактного каскада с общим эмиттером (рис. 231) аналогична ламповой, но отличается тем, что в цепь эмиттера — база не включено напряжение смещения, запирающее транзисторы. Такое напряжение в данной схеме можно не включать, так как при отсут-

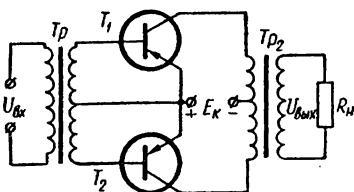


Рис. 231. Двухтактный транзисторный усилитель мощности.

ствии входного сигнала (в режиме покоя) в цепи базы каждого транзистора практически отсутствует ток и транзисторы оказываются запертыми. Поэтому схема двухтактного каскада в режиме *B* на транзисторах проще, чем аналогичная схема на электронных лампах.

Первостепенное значение в выходных каскадах имеет получение максимальной полезной мощности сигнала. Поэтому рабочий участок динамической характеристики должен иметь максимальную длину, т. е. транзистор должен полностью использоваться как по току, так и по напряжению. Рабочую точку в режиме *B* обычно выбирают на динамической характеристике в области малых токов коллектора (рис. 232). При этом потребление мощности от источника питания оказывается наименьшим $P_0 \approx E_k I_{K0}$. При максимальном использовании транзистора в режиме *B* амплитуду переменной составляющей напряжения $U_{мк.э}$ можно принять равной напряжению источника питания $U_{мк.э} \approx E_k$, а амплитуду тока $I_{мк} = I_{к.макс} - I_{K0}$. Следует иметь в виду, что хотя изображенная на рис. 232 динамическая характеристика одного плеча кончается при $U_{к.э} = E_k$, в действительности пиковое значение напряжения на коллекторе транзистора при наличии выходного трансформатора может в два раза превышать величину напряжения E_k . Это объясняется тем, что в процессе работы в полуобмотке выходного трансформатора, соединенной с запертым транзистором, наводится (за счет протекания тока в другой полуобмотке) э. д. с., которая складывается с напряжением источника E_k . Поэтому величину напряжения источника питания при трансформаторной связи с нагрузкой следует выбирать из условия

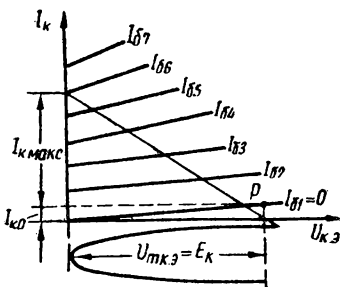
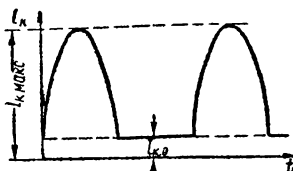


Рис. 232. График, поясняющий работу транзистора в режиме *B*.

$$E_k \leq \frac{1}{2} U_{к.доп}, \quad (19-29)$$

где $U_{к.доп}$ — максимально допустимое напряжение на коллекторе для используемого в схеме транзистора.

Если напряжение усиленного сигнала имеет синусоидальную форму, то форма коллекторного тока для каждого транзистора будет иметь вид, показанный на рис. 233. Математический анализ показывает, что в этом случае амплитуда первой гармоники коллекторного тока приблизительно равна



$$I_{mk1} \approx \frac{I_{mk}}{2} = \frac{I_{к.макс} - I_{к0}}{2}, \quad (19-30)$$

а среднее значение коллекторного тока

$$I_{к.ср} = \frac{I_{к.макс} + I_{к0} (\pi - 1)}{\pi}. \quad (19-31)$$

Рис. 233. Форма коллекторного тока транзистора в режиме В.

Величина полезной мощности, отдаваемой каждым транзистором, может быть найдена по формуле

$$P'_{вых} = \frac{I_{mk1}}{\sqrt{2}} \cdot \frac{U_{mk.э}}{\sqrt{2}} = \frac{I_{mk} U_{mk.э}}{2 \cdot 2} = \frac{(I_{к.макс} - I_{к0}) E_k}{4}. \quad (19-32)$$

Мощность, отдаваемая двумя транзисторами, равна

$$P''_{вых} = 2P'_{вых} = \frac{(I_{к.макс} - I_{к0}) E_k}{2}. \quad (19-33)$$

Мощность, отдаваемая источником питания в схему двухтактного каскада в режиме В, равна удвоенному среднему току одного транзистора, умноженному на напряжение источника питания,

$$P_0 = \frac{2E_k [I_{к.макс} + I_{к0} (\pi - 1)]}{\pi}. \quad (19-34)$$

Коэффициент полезного действия схемы равен отношению

$$\eta = \frac{P''_{вых}}{P_0} = \frac{\pi (I_{к.макс} - I_{к0})}{4 [I_{к.макс} + I_{к0} (\pi - 1)]}. \quad (19-35)$$

Если пренебречь током $I_{к0}$ по сравнению с $I_{к.макс}$, то $\eta \approx \frac{\pi}{4} = 0,78$. Практически выполнимы усилители с $\eta = 73 \div 75\%$.

С учетом к. п. д. выходного трансформатора мощность, отдаваемая двухтактным каскадом в нагрузку, составляет

$$P_{вых} = P''_{вых} \eta_{т.} \quad (19-36)$$

Величину сопротивления нагрузки переменному току для одного транзистора можно найти из равенства

$$R_k = \frac{U_{mk.э}}{I_{mk1}} = 2 \frac{E_k}{I_{mk}} = 2 \frac{E_k}{I_{к.макс} - I_{к0}}. \quad (19-37)$$

Сопротивление нагрузки между коллекторами в 2 раза больше этой величины

$$R_{\text{кк}} = \frac{4E_{\text{к}}}{I_{\text{тк}}} = R_{\text{н}}', \quad (19-38)$$

где $R_{\text{н}}'$ — приведенное к первичной обмотке сопротивление нагрузки $R_{\text{н}}$.

Из приведенных соотношений видно, что для получения максимальной неискаженной выходной мощности необходимо применять выходной трансформатор с коэффициентом трансформации

$$n = \sqrt{\frac{R_{\text{н}}}{R_{\text{н}}' \eta_{\text{т}}}} = \frac{1}{2} \sqrt{\frac{(I_{\text{к.макс}} - I_{\text{к0}}) R_{\text{н}}}{E_{\text{к}} \eta_{\text{т}}}}. \quad (19-39)$$

Входная мощность, необходимая для работы двухтактного каскада, рассчитывается с помощью максимальных значений тока базы $I_{\text{б.макс}}$ и напряжения $U_{\text{б.э.макс}}$, которые определяют из статических характеристик тем же способом, что и для однотактного выходного каскада,

$$P_{\text{вх}} = \frac{U_{\text{б.э.макс}} \cdot I_{\text{б.макс}}}{2}. \quad (19-40)$$

Входное сопротивление каскада между базами равно

$$R_{\text{вх}} = \frac{4U_{\text{б.э.макс}}}{I_{\text{б.макс}}}. \quad (19-41)$$

Приведенные выше формулы лежат в основе расчета выходных каскадов транзисторных усилителей.

Широкое применение в современной аппаратуре получили бестрансформаторные двухтактные каскады на транзисторах. Особый интерес представляют схемы, не имеющие аналогии среди схем на электронных лампах, с использованием транзисторов разных типов ($p-n-p$ и $n-p-n$). Такие транзисторы, как известно, различаются между собою направлениями протекания токов. Совместное применение разнотипных транзисторов позволяет существенно упростить схему усилителя. В качестве примера на рис. 234, *a* приведена бестрансформаторная схема усилителя на разнотипных транзисторах. Из рисунка видно, что транзисторы типов $n-p-n$ и $p-n-p$ соединены последовательно с источником питания и друг с другом по постоянному току и в то же время их входы и выходы соединены параллельно по напряжению переменного сигнала.

При отсутствии сигнала на входе постоянные коллекторные токи транзисторов T_1 и T_2 одинаковы по величине (при полной симметрии транзисторов), но противоположны друг другу по направлению. Если между точками *A* и *B* включить сопротивление нагрузки, то падение напряжения на нем будет равно нулю. Поэтому включать специально в схему сопротивление нагрузки для постоянного тока

не требуется: каждый транзистор образует для другой нагрузки по постоянному току.

При подаче на вход переменного сигнала (рис. 234, б) по сопротивлению нагрузки R_H , включенному через разделительный конденсатор C_{p3} , потечет переменный ток i_H , равный разности коллекторных токов транзисторов T_1 и T_2 ,

$$i_H = i_{k1} - i_{k2}.$$

Это обусловлено тем, что положительное входное напряжение, подведенное к базе транзистора типа $n-p-n$, действует подобно

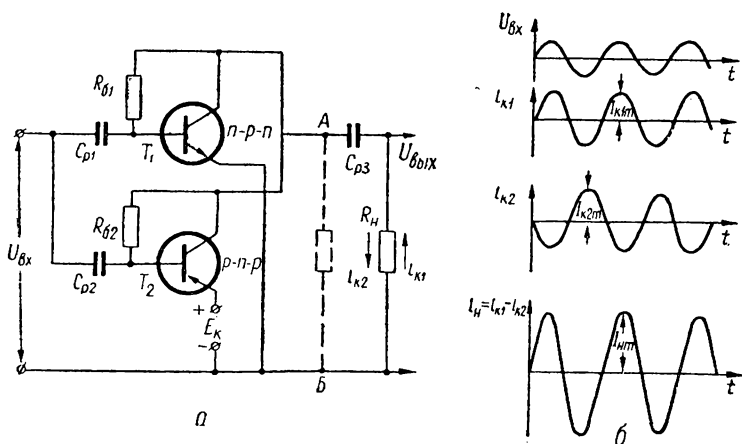


Рис. 234. Бестрансформаторный двухтактный усилитель мощности на транзисторах:

а — схема; б — графическое пояснение работы.

отрицательному входному напряжению, приложенному к транзистору типа $p-n-p$, и наоборот. Таким образом, для работы данной схемы не требуется специальных входных трансформаторов или фазоинверсных каскадов.

Амплитуда переменной составляющей тока в нагрузке при полной симметрии схемы будет равна удвоенной амплитуде коллекторного тока каждого транзистора, т. е. схема позволяет значительно повысить выходную мощность по сравнению с однотактным каскадом. Кроме того, в схеме сохраняются все остальные преимущества обычного двухтактного каскада.

При подборе смещения (с помощью сопротивлений $R_{б1}$ и $R_{б2}$), близкого к отсечке тока, в каждом транзисторе ток пройдет только в течение одного полупериода. Таким образом обеспечивается работа в режиме В.

Недостатками приведенной схемы являются трудность подбора строго симметричных разнотипных транзисторов, а также необ-

ходимость применения выходных трансформаторов или других согласующих устройств в тех случаях, когда сопротивление нагрузки по своей величине не равно выходному сопротивлению каскада.

19—5. Усилители постоянного тока на транзисторах

Главной проблемой в усилителях постоянного тока на транзисторах, также как и в усилителях на электронных лампах, является проблема стабилизации режима работы схемы. В усилителях постоянного тока на транзисторах требование высокой стабильности режима особенно трудно выполнимо вследствие зависимости параметров транзисторов от температуры. Поэтому дрейф тока и напряжения на выходе транзисторного усилителя проявляется еще сильнее, чем в ламповых схемах.

В ламповых усилителях постоянного тока основными методами уменьшения дрейфа являются: стабилизация напряжения источников питания, применение глубокой отрицательной обратной связи, преобразование постоянного напряжения в переменное с последующим усилением и выпрямлением переменного напряжения, применение балансных каскадов. Первый из указанных методов не имеет существенного значения в схемах транзисторных усилителей, так как основной причиной дрейфа являются не источники питания, а температурный и временной дрейфы самих транзисторов.

Метод усиления, связанный с преобразованием постоянного напряжения в переменное, отличается большой сложностью и широкого практического применения не получил. Наиболее эффективным методом борьбы с дрейфом в транзисторных усилителях постоянного тока является применение балансных каскадов в сочетании с использованием отрицательной обратной связи. Следует отметить, что введение отрицательной обратной связи приводит к уменьшению коэффициента усиления схемы. Поэтому для получения требуемого коэффициента усиления приходится увеличивать число усилительных каскадов. В ламповых усилителях это крайне нежелательно, так как приводит к значительному усложнению схемы, увеличению габаритов и веса усилителя, а также к повышению мощности источников питания. Создание многокаскадных транзисторных усилителей существенно облегчается отсутствием накала, экономичностью, малыми размерами и небольшим весом транзисторов. Типовая балансная схема транзисторного усилителя постоянного тока приведена на рис. 235.

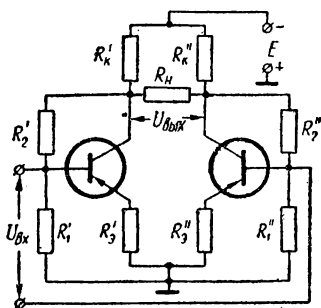


Рис. 235. Балансная схема усилителя постоянного тока на транзисторах.

В каждом плече схемы осуществляется стабилизация режима с помощью обратной связи через сопротивления R'_1 , R'_2 , R'_3 и R''_1 , R''_2 и R''_3 . Токи покоя обоих плеч схемы протекают через сопротивления R'_k и R''_k . При полной симметрии обоих плеч токи покоя и изменения этих токов при изменении режима будут взаимно компенсироваться. Поэтому на нагрузочном сопротивлении R_n , включенном между коллекторами транзисторов, при отсутствии входного сигнала напряжение будет равно нулю. Воздействие входного постоянного напряжения любой полярности приводит к разбалансировке усилителя, так как на базы транзисторов подаются напряжения разных знаков. При этом на нагрузочном сопротивлении R_n возникает постоянное выходное напряжение соответствующей полярности, пропорциональное входному напряжению.

ГЛАВА 20

ЭЛЕКТРОННЫЕ АВТОГЕНЕРАТОРЫ СИНУСОИДАЛЬНЫХ КОЛЕБАНИЙ

20—1. Общие сведения об электронных автогенераторах

Электронным автогенератором (генератором с самовозбуждением) называется устройство, содержащее электронную лампу или транзистор и преобразующее энергию источника питания в энергию незатухающих электрических колебаний необходимой формы и частоты.

В теоретическое обоснование работы автогенераторов большой вклад внесли советские ученые А. М. Ляпунов, Л. И. Мандельштам, Н. Д. Папалекси, А. А. Андронов, Ю. Б. Кобзарев и др. Электронные автогенераторы подразделяются на автогенераторы синусоидальных (гармонических) колебаний и автогенераторы колебаний несинусоидальной формы, которые принято называть *релаксационными* (импульсными) автогенераторами.

В данной главе рассматриваются автогенераторы синусоидальных колебаний, которые находят широкое применение в разнообразных радиоэлектронных и измерительных устройствах.

Ранее было указано (см. § 17—3), что любой усилитель может быть превращен в автогенератор, если его охватить положительной обратной связью и обеспечить выполнение условия $\beta K \geq 1$. Для построения автогенераторов синусоидальных колебаний обычно используются два типа усилительных схем — резонансные усилители и усилители на резисторах. Автогенераторы, выполненные на основе схемы резонансного усилителя часто называют автогенераторами типа LC , а автогенераторы, построенные на основе схемы усилителя на резисторах, — автогенераторами типа RC .

20—2. Автогенераторы типа LC

Известно много разновидностей схем электронных автогенераторов типа LC, но любая из них должна содержать: колебательную систему (обычно колебательный контур), в которой возбуждаются требуемые незатухающие колебания; источник электрической энергии, за счет которого в контуре поддерживаются незатухающие колебания; электронную лампу или транзистор, с помощью которых регулируется подача энергии от источника в контур; элемент

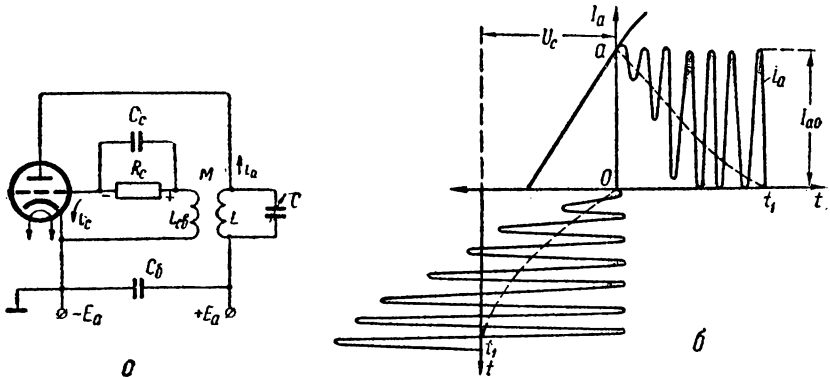


Рис. 236. Генератор с самовозбуждением:
а — схема; б — графическое пояснение работы.

обратной связи, посредством которого осуществляется подача необходимого возбуждающего переменного напряжения из выходной цепи во входную.

Простейшая схема лампового автогенератора типа LC показана на рис. 236, а.

В момент включения источников питания в анодной цепи лампы появляется ток i_a , заряжающий конденсатор C колебательного контура. Так как к конденсатору подключена катушка L , то после заряда конденсатор начинает разряжаться на катушку. В результате обмена энергией между конденсатором и катушкой в контуре возникают свободные затухающие колебания, частота которых определяется параметрами контура и равна

$$f_0 = \frac{1}{2\pi \sqrt{LC}}. \quad (20-1)$$

Переменный (колебательный) ток контура, проходя через катушку L , создает вокруг нее переменное магнитное поле. Вследствие этого в катушке обратной связи $L_{св}$, включенной в цепь сетки лампы, наводится переменное напряжение той же частоты, с которой происходят колебания в контуре. Это напряжение вызывает нульсацию анодного тока, в котором появляется переменная составляющая.

Переменный анодный ток восполняет потери энергии в контуре, создавая на нем усиленное лампой переменное напряжение. В свою очередь это приводит к новому нарастанию напряжения на катушке связи $L_{св}$, которое повлечет за собой новое нарастание амплитуды переменной составляющей анодного тока и т. д.

Однако это нарастание не происходит беспредельно — оно ограничивается линейным участком характеристики лампы автогенератора. Графическое пояснение процесса установления колебаний в ламповом автогенераторе приведено на рис. 236, б.

В момент включения источника питания напряжение смещения равно нулю, и поэтому постоянный анодный ток достигает значительной величины $I_{а0}$ (точка a на рис. 236, б). Кроме того, в цепи сетки появляется сеточный ток, постоянная составляющая которого создает на сопротивлении R_c напряжение смещения. По мере роста амплитуды колебаний в контуре ток сетки растет, напряжение смещения увеличивается и это сдерживает дальнейший рост колебательного процесса. Амплитуда анодного тока ограничивается током насыщения лампы. Поэтому к некоторому моменту времени t_1 устанавливается постоянная амплитуда анодного тока и сеточного напряжения, создается режим равновесия, при котором энергия, поступающая в контур из анодной цепи лампы, полностью компенсирует потери энергии в контуре. Рассматривая автогенератор как усилитель с положительной обратной связью, найдем условия самовозбуждения схемы. Коэффициент усиления резонансного усилителя (без обратной связи) в соответствии с формулой (15—22) равен

$$K = \mu \frac{R_{oe}}{R_i + R_{oe}}.$$

При наличии положительной обратной связи в соответствии с формулой (17—5) коэффициент усиления составит

$$K_{св} = \frac{K}{1 - \beta K}.$$

Для рассмотренной выше схемы автогенератора коэффициент обратной связи β , показывающий, какая часть переменного напряжения контура подается на сетку лампы в установившемся режиме работы, равен

$$\beta = \frac{U_c}{U_k} = \frac{I_{km} \cdot \omega_0 \cdot M}{I_{km} \cdot \omega_0 L} = \frac{M}{L}, \quad (20-2)$$

где I_{km} — амплитуда тока в контуре автогенератора;

ω_0 — частота генерируемых колебаний;

M — коэффициент взаимной индукции между катушкой контура и катушкой обратной связи.

Учитывая, что усилитель с положительной обратной связью переходит в режим генерации при условии $\beta K \geq 1$, найдем значение

коэффициента обратной связи, необходимое для самовозбуждения

$$\beta \geq \frac{1}{K} \geq \frac{1}{\frac{\mu R_{oe}}{R_i + R_{oe}}} \geq \frac{R_i + R_{oe}}{\mu R_{oe}}.$$

Разделив почленно правую часть неравенства и учитывая, что статические параметры лампы связаны между собой соотношением $\frac{\mu}{R_i} = S$, получим

$$\beta = \frac{M}{L} \geq \frac{1}{SR_{oe}} + \frac{1}{\mu}. \quad (20-3)$$

Следовательно, коэффициент взаимной индукции между катушками L и $L_{св}$, должен иметь величину

$$M > L \left(\frac{1}{SR_{oe}} + \frac{1}{\mu} \right). \quad (20-4)$$

Условие самовозбуждения, выраженное формулами (20—3) и (20—4), получило название *условия баланса амплитуд*. Физический смысл этого условия состоит в том, что для получения режима незатухающих колебаний в автогенераторе связь между анодной и сеточной цепью должна быть достаточной для полной компенсации потерь энергии в контуре.

Кроме условия баланса амплитуд, для самовозбуждения автогенератора необходимо выполнить *условие баланса фаз*. В соответствии с этим условием необходимо, чтобы напряжение на сетке лампы изменялось в противофазе с анодным напряжением. В этом случае в схеме имеет место положительная обратная связь. Это нетрудно понять из следующих соображений.

Для возбуждения и поддержания незатухающих колебаний в контур автогенератора должна поступать энергия, полностью восполняющая потери энергии в нем. Известно, что анодный ток лампы представляет собой поток электронов. В том случае, когда электрону сообщается ускорение, его кинетическая энергия возрастает за счет отбираемой им энергии от источника, сообщающего ускорение. Если же движение электрона тормозится, то он отдает часть своей энергии источнику, создающему торможение.

В ламповом автогенераторе торможение движения потока электронов осуществляется переменным напряжением U_k на зажимах контура. Действительно, из схемы рис. 236, а видно, что напряжение между анодом и катодом лампы представляет собой разность между напряжением источника анодного питания и напряжением на контуре U_k

$$U_a = E_a - U_k. \quad (20-5)$$

В течение положительного полупериода напряжения U_k напряжение U_a на аноде лампы уменьшается, электронный поток тормозится и передает часть своей энергии контуру. В течение отрицательного

полупериода напряжения U_k , наоборот, напряжение на аноде повышается, электронный поток ускоряется и отбирает энергию из контура. Для того чтобы поступление энергии в контур при торможении было больше расхода ее на ускорение потока электронов и часть энергии оставалась для поддержания колебаний в контуре, необходимо увеличить до максимума плотность электронного потока в лампе при торможении и уменьшить плотность потока до минимума при ускорении. В этом случае энергию контуру будет отдавать большее число тормозящихся электронов, а забирать энергию из контура значительно меньшее число электронов, получающих ускорение.

Для управления плотностью электронного потока в лампе используется создающееся через обратную связь переменное напряжение на управляющей сетке лампы, при возрастании которого плотность электронного потока в лампе увеличивается, а при убывании — уменьшается. Теперь нетрудно понять, что для самовозбуждения лампового автогенератора переменные напряжения на аноде и сетке лампы должны отличаться по фазе на 180° , т. е. изменяться в противофазе.

На практике выполнение условия баланса фаз достигается соответствующим включением концов катушек L и $L_{св}$. При отсутствии самовозбуждения необходимо поменять местами концы катушки связи $L_{св}$. При этом автогенератор должен самовозбудиться, если в схеме нет других неисправностей.

20—3. Основные схемы ламповых автогенераторов типа LC

По способу соединения электронной лампы, колебательного контура и источника анодного питания различают автогенераторы с последовательным (рис. 36, а) питанием, у которых лампа, источник

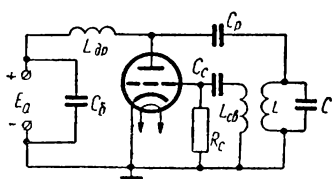


Рис. 237. Схема автогенератора с параллельным питанием.

питания и контур включены между собой последовательно, и с параллельным (рис. 237), у которых лампа, контур и источник питания включены между собой параллельно.

Достоинством схемы с параллельным питанием является то, что на контуре не действует высокое постоянное напряжение источника. Переменная составляющая анодного тока подается в контур через разделительный конденсатор C_p , а дроссель высокой частоты $L_{др}$ преграждает токам высокой частоты путь в цепь источника питания. Очевидно также, что в контур не проходит постоянная составляющая анодного тока, вследствие чего устранен бесполезный нагрев катушки контура, вызывающий дестабилизацию частоты генерируемых колебаний.

Весьма распространенными в электронной аппаратуре являются так называемые *трехточечные схемы автогенераторов* (рис. 238, а

и б). В этих схемах контур присоединяется к трем электродам лампы — аноду, сетке и катоду — тремя точками: a , k и c . Как видно из схемы на рис. 238, a , проводники, идущие от анода и сетки, присоединены к противоположным концам контурной катушки, а проводник, идущий от катода, расположен между ними. Благодаря этому в схеме достигается необходимый сдвиг фаз на 180° между напряжениями на аноде и сетке лампы. Действительно, потенциалы на противо-

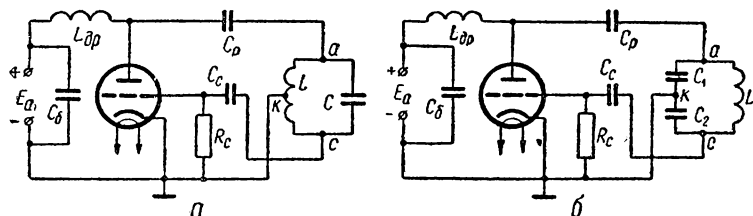


Рис. 238. Трехточечные схемы автогенераторов:
 a — индуктивная; b — емкостная.

положных концах катушки всегда имеют противоположные знаки; следовательно, когда на сетку подается положительный потенциал относительно катода, на анод относительно катода подается отрицательный потенциал, и наоборот. Схема, приведенная на рис. 238, a , получила название *индуктивной трехточечной схемы*. Нетрудно убедиться, что условие баланса фаз выполняется и в схеме на рис. 238, b , которая называется *емкостной трехточечной схемой*. Провод, идущий от катода лампы, здесь также присоединяется между точками, к которым подведены провода от анода и сетки. Это сделано из тех же соображений, что и для индуктивной трехточечной схемы, т. е. для обеспечения сдвига фаз на 180° между переменными напряжениями на аноде и сетке лампы. Следует отметить, что включение конденсатора C_c в схеме на рис. 238, b не является обязательным. Роль этой емкости здесь может выполнять контурный конденсатор, включенный между сеткой и катодом лампы.

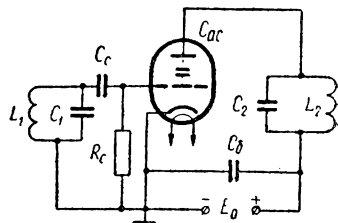


Рис. 239. Двухконтурная схема автогенератора.

Помимо рассмотренных одноконтурных схем, широкое применение находят *двухконтурные схемы* автогенераторов. Одна из таких схем приведена на рис. 239. В этой схеме в цепях сетки и анода имеются контуры, настроенные в резонанс на частоту генерируемых колебаний, а для обратной связи обычно используется междуэлектродная емкость анод — сетка $C_{a,c}$.

Все описанные схемы могут быть преобразованы в двухтактные. В качестве примера на рис. 240, a показана двухтактная схема

автогенератора с индуктивной обратной связью и последовательным питанием, а на рис. 240, б — двухтактная схема с параллельным питанием.

Двухтактная схема по существу представляет собой сочетание двух однотактных схем с общим контуром, общим питанием и дру-

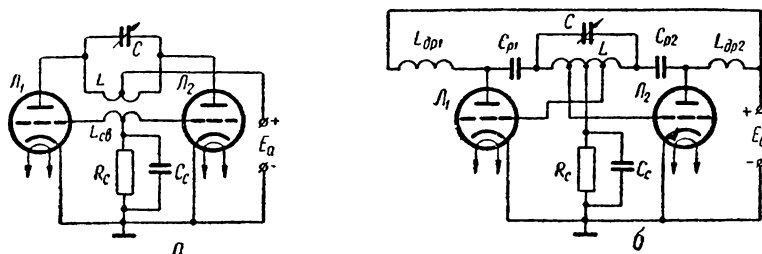


Рис. 240. Двухтактные схемы ламповых автогенераторов:
а — с последовательным питанием; б — с параллельным питанием.

гими общими деталями, например с общим сеточным сопротивлением R_c . Лампы работают со сдвигом фаз в 180° . Мощность на выходе двухтактных автогенераторов примерно в два раза больше мощности однотактной схемы.

20—4. Автогенераторы типа LC на транзисторах

Транзисторы могут быть использованы вместо электронных ламп во всех схемах автогенераторов, рассмотренных в 20—3.

При построении схем транзисторных автогенераторов необходимо учитывать зависимость параметров транзистора как от напряже-

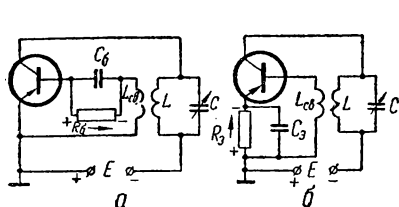


Рис. 241. Схемы транзисторных автогенераторов с индуктивной обратной связью и автоматическим смещением.

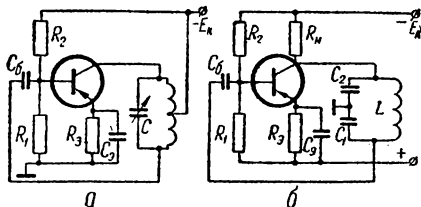


Рис. 242. Трехточечные схемы транзисторных автогенераторов:
а — индуктивная; б — емкостная.

ния и тока, так и от температуры. Для стабилизации режима транзисторных автогенераторов обычно используются те же методы, что и в схемах транзисторных усилителей (см. гл. 19).

Чаще всего в автогенераторах транзисторы включают по схеме с общим эмиттером. На рис. 241 показаны схемы транзисторных автогенераторов с индуктивной обратной связью. Смещение на базе

создается за счет падения напряжения на сопротивлении R_6 при прохождении через него постоянной составляющей тока базы (рис. 241, а). Автоматическое смещение осуществляется за счет падения напряжения на сопротивлении R_9 (рис. 241, б) при прохождении через него постоянной составляющей тока эмиттера.

Построение трехточечных схем транзисторных автогенераторов иллюстрируется рис. 242.

В индуктивной трехточечной схеме (рис. 242, а) ток обратной связи подается на базу через конденсатор C_6 . Режим работы схемы устанавливается делителем R_1, R_2 в цепи базы совместно с эмиттерным сопротивлением R_3 .

В емкостной трехточечной схеме (рис. 242, б) колебательный контур состоит из катушки L и последовательно соединенных конденсаторов C_1 и C_2 . Часть тока из колебательного контура подается на базу через конденсатор C_6 . Сопротивления R_1, R_2, R_3 и R_n служат для установки требуемого режима работы схемы.

Двухтактная трехточечная схема автогенератора на транзисторах приведена на рис. 243.

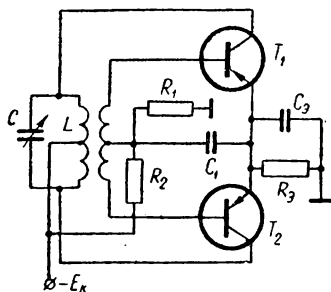


Рис. 243. Двухтактный транзисторный автогенератор по трехточечной схеме.

20—5. Автогенераторы типа RC

Автогенераторы типа LC , основанные на использовании колебательных контуров, хорошо работают на высоких частотах (радиочастотах). Если же необходимо генерировать низкие частоты (звуковые и ультразвуковые), то применение колебательных контуров становится затруднительным, так как емкость конденсатора и индуктивность катушки контура становятся чрезмерно большими. Этого недостатка лишены автогенераторы типа RC , в которых используются не колебательные контуры, а цепи, состоящие из активных сопротивлений (резисторов) и конденсаторов.

На рис. 244 приведены типовые схемы автогенераторов типа RC на электронной лампе и транзисторе.

Переменное анодное напряжение лампы (рис. 244, а) приложено к последовательно соединенным конденсатору C_1 и сопротивлению R_1 , входящим в цепь обратной связи. Поэтому ток, проходящий в цепочке R_1C_1 , опережает анодное напряжение на некоторый угол ϕ , меньший 90° , но больший 0° . Напряжение на сопротивлении R_1 совпадает по фазе с током и поэтому окажется сдвинутым относительно анодного напряжения на тот же угол, что и ток. Это напряжение подается на вторую цепочку, состоящую из C_2 и R_2 . Очевидно, что напряжение, снимаемое с сопротивления R_2 , будет опережать анодное

напряжение на угол φ' , больший 0° , но меньший 180° . Далее напряжение с сопротивления R_2 подается на третью аналогичную цепочку R_3C_3 . В результате напряжение, снимаемое с сопротивления R_3 , будет опережать анодное напряжение на угол, больший 0° и меньший 270° .

Следует обратить внимание на то, что фазовый сдвиг между анодным (выходным) напряжением и напряжением, снимаемым с сопротивления R_3 , и подаваемым на сетку лампы (входным напряжением), зависит от частоты переменной составляющей анодного напряжения. Действительно, чем выше частота, тем меньше сопротивление

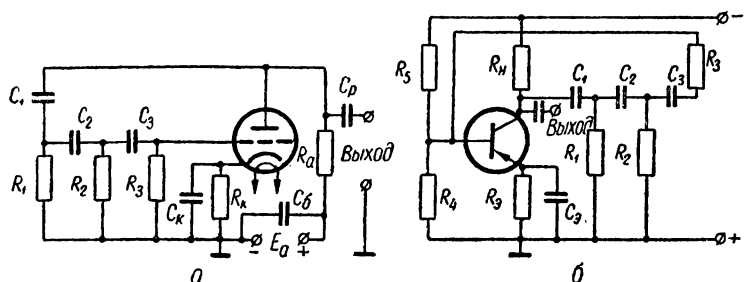


Рис. 244. Автогенераторы типа RC:
а — на лампе; б — на транзисторе.

конденсаторов. Характер полных сопротивлений цепочек RC приближается к чисто активному, и фазовый угол между анодным и сеточным напряжениями приближается к 0° . Наоборот, чем ниже частота, тем сильнее проявляются емкостные сопротивления цепочек RC и тем ближе фазовый угол между входным и выходным напряжениями схемы к 270° . Очевидно, что для некоторой частоты этот угол составит ровно 180° , и в результате окажется выполненным одно из условий самовозбуждения схемы — условие баланса фаз.

Что же касается условия баланса амплитуд, то его нетрудно выполнить, подбирая необходимый коэффициент обратной связи. Известно, что для самовозбуждения схемы требуется выполнение условия $\beta K \geq 1$, т. е. критический коэффициент обратной связи должен быть равен

$$\beta = \frac{1}{K}. \quad (20-6)$$

Коэффициент усиления однокаскадного усилителя на сопротивлениях

$$K = \frac{\mu R_a}{R_i + R_a}.$$

Следовательно,

$$\beta = \frac{1}{K} = \frac{1}{\mu} + \frac{1}{SR_2}, \quad (20-7)$$

т. е. условие баланса амплитуд автогенератора типа RC аналогично условию, выраженному уравнением (20—3) для автогенератора типа LC .

Работа автогенератора начинается в момент включения источника питания. Возникающий при этом импульс анодного тока содержит широкий и непрерывный спектр частот, обязательно включающий в себя и необходимую частоту генерации. Благодаря выполнению условий самовозбуждения колебания этой частоты становятся незатухающими, тогда как колебания всех других частот, для которых условие баланса фаз не выполняется, быстро затухают. Изменяя величину емкостей конденсаторов или сопротивлений резисторов, входящих в цепочки RC , можно регулировать генерируемую частоту.

Схема транзисторного автогенератора типа RC (рис. 244, б) аналогична ламповой схеме. Для возбуждения незатухающих колебаний с коллектора на базу должно быть подано напряжение, сдвинутое по фазе на 180° . Это осуществляется с помощью цепочек RC , рассчитанных таким образом, чтобы условие баланса фаз выполнялось только для одной частоты. Для выполнения условия баланса амплитуд коэффициент обратной связи должен быть равен

$$\beta \approx \frac{1}{h'_{21}}, \quad (20-8)$$

где h'_{21} — коэффициент усиления по току транзистора, включенного по схеме с общим эмиттером.

20—6. Стабилизация частоты автогенераторов

Важнейшим требованием, предъявляемым к автогенератору, является стабильность частоты генерируемых колебаний. Однако в процессе работы автогенератор подвергается различным влияниям, которые приводят к изменению его рабочей частоты. Основными причинами нестабильности частоты являются: изменения окружающей температуры, приводящие к изменению геометрических размеров и электрических свойств деталей схемы; изменения напряжения источников питания; механическая вибрация и деформация деталей. Кроме того, на стабильность частоты влияют паразитные индуктивности и емкости схемы — междуэлектродные емкости ламп и транзисторов, изменяющиеся с изменением режима работы, индуктивности выводов электродов, емкости монтажа и т. д. Уменьшение влияния этих факторов достигается применением для изготовления деталей материалов, мало меняющих свои свойства при изменении температуры, экранировкой и герметизацией контуров, стабилизацией источников питания, рациональным монтажом и т. д. Однако этими методами нельзя обеспечить очень высокую стабильность частоты, которая часто необходима при измерениях, радиосвязи и т. п.

Наиболее эффективной мерой повышения устойчивости частоты автогенераторов является *кварцевая* стабилизация. Она основана на

применении в схеме автогенератора кварцевых пластинок с сильно выраженным пьезоэлектрическим эффектом.

Если кварцевую пластинку сжать или растянуть, то на ее противоположных гранях появляются равные, но разные по знаку электрические заряды. Величина их пропорциональна давлению, а знаки зависят от направления силы давления. Это явление носит название *прямого пьезоэлектрического эффекта*. Если же к граням пластинки кварца приложить электрическое напряжение, то пластинка будет сжиматься или растягиваться в зависимости от полярности приложенного напряжения. Это явление называется *обратным пьезоэлектрическим эффектом*.

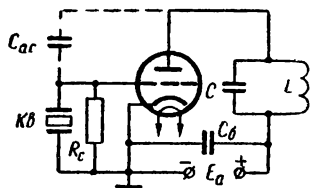


Рис. 245. Принципиальная схема кварцевого автогенератора.

Ценным свойством кварца является очень высокая стабильность частоты механических колебаний, которая определяется геометрическими размерами кварцевой пластинки и направлением деформации. Это свойство в сочетании с прямым пьезоэлектрическим эффектом, превращающим механические колебания в электрические, дает возможность использовать кварцевые пластинки для стабилизации частоты автогенератора.

На рис. 245 изображена наиболее распространенная схема кварцевого автогенератора. При включении источника питания в колебательном контуре LC возникают электрические колебания, которые через междуэлектродную емкость лампы C_{ac} прикладываются к кварцевой пластинке, вызывая в ней механические колебания. Это приводит к возникновению переменного электрического напряжения той же частоты на обкладках кварца. Полученные электрические колебания усиливаются лампой и через емкость C_{ac} вновь подаются на обкладки кварца.

В результате такой обратной связи механические колебания кварцевой пластинки и электрические колебания, снимаемые с обкладок кварца, становятся незатухающими. Анодный ток при этом пульсирует с частотой, равной частоте собственных колебаний кварца, и, проходя через анодный контур, настроенный на частоту кварца, поддерживает в нем незатухающие и высокостабильные по частоте колебания.

ГЛАВА 21

ПЕРЕКЛЮЧАЮЩИЕ УСТРОЙСТВА

21—1. Назначение и типы переключающих устройств

Важнейшими элементами современных схем автоматики и электронных вычислительных машин являются устройства релейного типа. Главная особенность их состоит в том, что под воздействием входного сигнала режим работы таких устройств резко (скачкообразно)

меняется. Это позволяет осуществлять переключение, или коммутацию, различных электрических цепей схемы.

Переключающие устройства релейного типа обладают двумя устойчивыми положениями, которые могут рассматриваться как положения «включено» и «выключено». Иногда такой режим работы называют режимом «да» — «нет», так как обычно в положении «включено» на выходе переключающего устройства имеется полезный сигнал («да»), а в положении «выключено» этот сигнал отсутствует («нет»). По аналогии с двоичным счислением в математике, в котором существует только два дискретных значения «0» и «1», такие устройства часто называют также двоичными элементами.

Переключающие устройства релейного типа делятся на два класса: 1) устройства с механическими движущимися контактами — контактные; 2) устройства без механических контактов — бесконтактные.

К первому классу относятся все типы электромагнитных реле и контакторов. В бесконтактных переключающих устройствах используются свойства электронных и полупроводниковых приборов, а также ферромагнитных материалов.

Основным показателем работы любого переключающего элемента является его способность работать с большими скоростями переключения. Кроме того, переключающие устройства должны обеспечить надежный и безотказный переброс из одного положения в другое и не должны срабатывать случайно от помех.

Большим недостатком контактных переключающих элементов является наличие в них движущихся механических контактов, что нередко приводит к перекосу, заеданию, загрязнению контактов или потере ими упругости из-за усталости пружин. Частота переключения контактных элементов ограничена инерционностью движущихся контактов и может достигать величин, измеряемых всего лишь десятками килогерц.

Эти недостатки определили преимущественное применение во многих устройствах автоматики и в электронных вычислительных машинах бесконтактных переключающих элементов. Основным достоинством этих устройств является их практическая безынерционность, за счет которой они могут устойчиво работать на частотах переключения, достигающих десятков мегагерц.

Наибольшее распространение в современной электронике получили бесконтактные переключающие устройства на электронных лампах, транзисторах и магнитных элементах (ферритах). Независимо от того, на каком из указанных элементов переключающее устройство выполнено, его чаще всего называют спусковым устройством, или *триггером*.

Существуют и другие типы бесконтактных переключающих устройств. Наибольший интерес из них представляет так называемый *параметрон*.

21—2. Принцип работы триггера на электронных лампах

Существуют разнообразные схемы триггеров на электронных лампах. Для того чтобы разобраться в их работе, обратимся к схеме простейшего двухкаскадного резистивного усилителя без разделительных конденсаторов между каскадами (рис. 246, а) и проследим зависимость выходного напряжения $U_{\text{вых}}$ от входного $U_{\text{вх}}$.

При большом отрицательном напряжении $U_{\text{вх}}$ (участок АБ на рис. 246, б) лампа \mathcal{L}_1 заперта и напряжение на ее аноде равно напряжению источника питания E_a . На сетку лампы \mathcal{L}_2 подается два напряжения: напряжение с выхода лампы \mathcal{L}_1 , т. е. напряжение U_{a1} ,

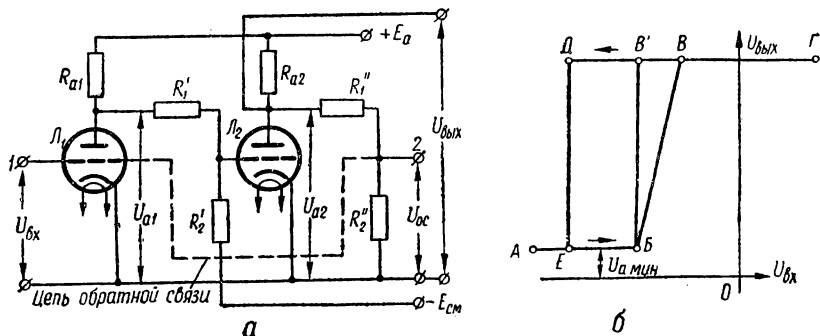


Рис. 246. К пояснению работы триггера.

и напряжение отрицательного смещения — $E_{\text{см}}$. Пока лампа \mathcal{L}_1 заперта, напряжение U_{a1} , равное E_a , превышает отрицательное напряжение смещения, и поэтому лампа \mathcal{L}_2 оказывается открытой. Напряжение на аноде этой лампы, а следовательно, и выходное напряжение усилителя в этом случае минимально и определяется разностью $E_a - I_{a2}R_{a2}$.

При увеличении напряжения $U_{\text{вх}}$ потенциал сетки лампы \mathcal{L}_1 достигает потенциала отпирания, вследствие чего лампа \mathcal{L}_1 открывается (точка Б на рис. 246, б). При этом напряжение на ее аноде уменьшается, что вызывает уменьшение потенциала сетки \mathcal{L}_2 и увеличение напряжения $U_{a2} = U_{\text{вых}}$ (участок БВ на рис. 246, б). При дальнейшем увеличении входного напряжения анодное напряжение лампы \mathcal{L}_1 уменьшается настолько, что лампа \mathcal{L}_2 запирается (точка В). Анодное напряжение U_{a2} достигнет напряжения источника питания E_a , и дальнейшее увеличение входного напряжения уже не будет влиять на выходное напряжение схемы (участок ВГ на рис. 246, б). В таком состоянии при отсутствии внешних воздействий схема может оставаться сколь угодно долго. Такое состояние схемы называется *устойчивым*.

Введем в схему положительную обратную связь. Для этого соединим точку 2 схемы с сеткой лампы \mathcal{L}_1 . Теперь при увеличении вход-

ного напряжения описанный выше процесс отпирания L_1 и запира-
ния L_2 произойдет чрезвычайно быстро. Действительно, увеличение
входного напряжения (после точки B на рис. 246, б) приводит
к уменьшению напряжения на аноде L_1 и на сетке L_2 , а следо-
вательно, к увеличению напряжения на выходе схемы. Часть
выходного напряжения, снимаемого с сопротивления R_2 , исполь-
зуется в качестве напряжения положительной обратной связи $U_{ос}$.
Под воздействием этого напряжения потенциал сетки лампы L_1
еще более увеличится, что вызовет дальнейшее уменьшение напряже-
ния на ее аноде, а следовательно, увеличение выходного напряжения
и т. д. Такой лавинообразный процесс будет протекать до тех пор,
пока не заперется лампа L_2 . Продолжительность этого процесса очень
мала — порядка долей микросекунды, поэтому переход лампы L_2 из
открытого состояния в запертое происходит практически мгновенно,
скачкообразно (участок BB' на рис. 246, б).

Для того чтобы вернуть схему в исходное состояние, необходи-
мо уменьшить напряжение на сетке лампы L_1 . При этом достаточно
подать на сетку лампы кратковременный импульс напряжения от-
рицательной полярности, амплитуда которого может быть в не-
сколько раз меньше потенциала запирающей лампы. Это возможно по-
тому, что даже небольшое уменьшение напряжения на сетке лампы
 L_1 приводит к значительному увеличению напряжения на ее аноде и к
возникновению (за счет положительной обратной связи) лавинооб-
разного процесса, приводящего к запирающей лампы L_1 и отпиранию
 L_2 (участок DE на рис. 246, б). Таким образом, к отрицательным за-
пускающим импульсам данная схема (при открытой лампе L_1) ока-
зывается очень чувствительной и практически мгновенно «опроки-
дывается», т. е. переходит из одного устойчивого состояния в другое.

Из рис. 246, б видно, что при непрерывном изменении входного
запускающего напряжения выходное напряжение изменяется скач-
ками. Скачки происходят при прохождении запускающим напря-
жением пороговых значений, определяемых точками B и D характе-
ристики. Расстояние между этими точками зависит от параметров
схемы усилителя. Отметим, что характеристика, приведенная на
этом рисунке имеет типичный гистерезисный характер.

Анализ работы схемы, приведенной на рис. 246, а, показывает,
что двухкаскадный резистивный усилитель постоянного тока с поло-
жительной обратной связью может использоваться в качестве бес-
контактного переключающего устройства, имеющего два устойчивых
состояния. Практические схемы триггеров на электронных лампах,
хотя и имеют ряд особенностей, принципиально ничем не отличаю-
тся от рассмотренной выше схемы.

21—3. Симметричный триггер

Типовая схема триггера на электронных лампах приведена на
рис. 247. Данная схема является симметричной, так как соответ-
ствующие элементы левой и правой частей подбираются одинаковы-

ми. Анод лампы L_1 через сопротивление R'_1 соединен с сеткой лампы L_2 , а анод лампы L_2 через сопротивление R'_1 — с сеткой лампы L_1 . Сопротивления R_1 и R_2 представляют собой делитель напряжения, определяющий ту часть анодного напряжения, которая подается на сетку другой лампы.

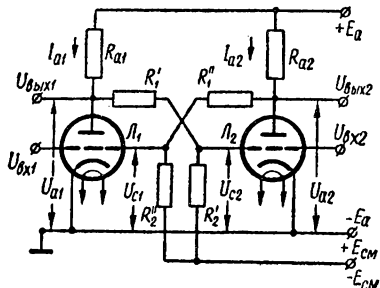


Рис. 247. Симметричный триггер на лампах.

Так как схема симметрична, то можно предположить, что анодные токи покоя обеих ламп равны. В этих условиях схема находится в состоянии равновесия. Однако такое состояние является *неустойчивым*. При любом отклонении напряжений или токов от значений, соответствующих неустойчивому состоянию равновесия, начнется переход схемы в другое состояние равновесия — *устойчивое*.

Причинами изменения напряжений или токов в схеме могут быть различные флуктуационные процессы, некоторая асимметрия левой и правой частей схемы, колебания питающих напряжений и т. д. Например, при изменении тока I_{a1} в сторону увеличения уменьшаются напряжения на аноде лампы L_1 и сетке лампы L_2 , что приводит к уменьшению тока I_{a2} и росту напряжений на аноде лампы L_2 и сетке лампы L_1 . Этот процесс, являющийся результатом действия положительной обратной связи, в конечном счете (в течение долей микросекунды) приводит к запирающему лампы L_2 , т. е. к переходу схемы в одно из устойчивых состояний.

Обычно параметры схемы специально подбирают так, что в исходном состоянии одна из ламп заперта, а другая открыта. Опрокидывание схемы осуществляется за счет подачи на сетку одной из ламп внешнего запускающего импульса. Очевидно, что при подаче запускающего импульса на сетку открытой лампы он должен быть отрицательной полярности, а при подаче на сетку запертой лампы — положительной.

На рис. 248 приведены графики, поясняющие работу триггера при запуске его импульсами отрицательной полярности. В результате опрокидывания триггера на анодах ламп создаются перепады напряжений: на аноде отпирающей лампы напряжение изменяется скачком от значения, равного E_a , до некоторого минимального напряжения $U_{a, \min}$, а на аноде запирающей лампы — наоборот. Пе-

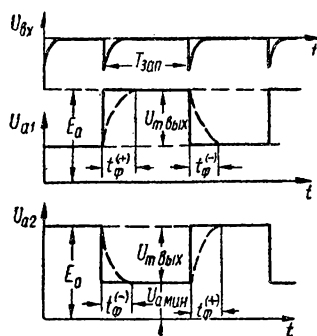


Рис. 248. Графики, поясняющие работу триггера.

репады анодного напряжения, представляющие собой импульсы прямоугольной формы, могут использоваться в качестве выходных сигналов триггера.

В реальных схемах при наличии междуэлектродных емкостей ламп и емкости монтажа скачки напряжения на анодах происходят не мгновенно, а за некоторое конечное время, необходимое для заряда и разряда паразитных емкостей. Форма выходных импульсов при этом искажается (показано пунктиром на рис. 248). Нарастание и спадание напряжения на выходе триггера в этом случае происходит не мгновенно, а в течение некоторого времени $t_{\phi}^{(+)}$ и $t_{\phi}^{(-)}$. Промежуток времени $t_{\phi}^{(+)}$ характеризует длительность положительного фронта (перепада) импульса, а промежуток $t_{\phi}^{(-)}$ — отрицательного фронта. Чем больше время $t_{\phi}^{(+)}$ и $t_{\phi}^{(-)}$, тем сильнее проявляется инерционность работы триггера. При большой инерционности работы триггера длительность запускающего импульса может оказаться недостаточной для опрокидывания схемы. Действительно, если лампа L_1 внезапно запретсся внешним пусковым импульсом, то напряжение на ее аноде возрастет со скоростью, определяемой постоянной времени

$$\tau_a = R_a C_{\text{вых}},$$

где $C_{\text{вых}}$ — выходная емкость лампы.

Нарастающее анодное напряжение поступает на сетку лампы L_2 через сопротивление R_1 . Для того чтобы напряжение на сетке лампы L_2 изменилось на требуемую величину, понадобится еще некоторое время, так как между сеткой и катодом также имеется некоторая емкость $C_{\text{вх}}$. Результирующая задержка в возрастании напряжения на сетке лампы L_2 может оказаться настолько большой, что запускающий импульс прекратится прежде, чем произойдет опрокидывание схемы, т. е. прежде чем лампа L_2 откроется.

Для уменьшения времени перехода триггера из одного устойчивого состояния в другое параллельно сопротивлениям R_1 включаются конденсаторы C_y (рис. 249). Емкость их должна быть в несколько раз больше входных емкостей ламп, а емкостные сопротивления — значительно меньше сопротивлений R_1 . В этом случае резкие изменения напряжения на анодах ламп во время опрокидывания схемы будут быстро и почти полностью передаваться на сетки ламп через емкостные делители, состоящие из конденсаторов C_y и $C_{\text{вх}}$.

Так как конденсаторы C_y помогают ускорить переход триггера из одного устойчивого состояния в другое, они получили название *ускоряющих*. Значения емкостей таких конденсаторов обычно выби-

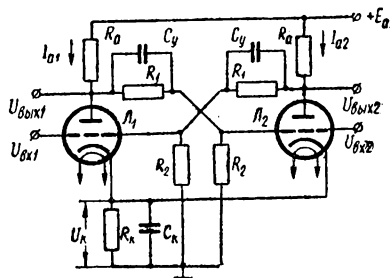


Рис. 249. Симметричный триггер с ускоряющим конденсатором и автосмещением.

раются в пределах 15—100 нф. Слишком большие емкости C_y включать в схему не рекомендуется, так как при этом возрастают емкости выходных цепей ламп, что приводит к увеличению времени нарастания напряжения на анодах при опрокидывании схемы и к искажениям формы выходных импульсов.

Схема, приведенная на рис. 249, характерна не только наличием ускоряющих емкостей. В ней, в отличие от схемы рис. 247, отрицательное смещение на сетки ламп подается не от отдельного источника, а с помощью цепочки автосмещения $R_k C_k$. Такой способ подачи смещения возможен и в других схемах триггеров. Падение напряжения на катодном сопротивлении R_k в обоих устойчивых состояниях одинаково. В моменты же опрокидывания схемы ток в сопротивлении R_k будет меняться и может оказаться равным нулю. Для поддержания смещения постоянным катодное сопротивление шунтируется конденсатором C_k . Обычно сопротивление R_k имеет величину порядка 10 ком, а емкость C_k — порядка 0,01 мкф. В этом случае постоянная времени катодной цепи $\tau_k = R_k C_k$ будет порядка 100 мксек, что значительно превышает длительность процесса опрокидывания схемы. Это обеспечивает постоянство автоматического смещения на сетках ламп в процессе работы триггера.

21—4. Методы запуска триггеров

В схемах, приведенных на рис. 247 и 249, переход от одного устойчивого состояния к другому может осуществляться либо за счет подачи на сетку одной из ламп запускающих импульсов разной полярности, либо путем подачи импульсов одной полярности поочередно на сетки обеих ламп. Такой метод получил название *несимметричного* (раздельного) запуска. Существует и другой, *симметричный*, способ запуска, при котором запускающие импульсы подаются на один и тот же вход триггера, причем каждый последующий импульс независимо от его полярности вызывает опрокидывание схемы. Схема триггера с симметричным запуском приведена на рис. 250.

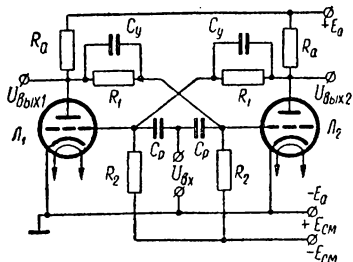


Рис. 250. Триггер с симметричным запуском.

Пусть в исходном состоянии лампа L_1 открыта, а лампа L_2 заперта. Подадим на вход схемы запускающий отрицательный импульс. Через разделительные конденсаторы C_p он воздействует одновременно на сетки обеих ламп. Подача отрицательного импульса на сетку запертой лампы L_2 не отразится на состоянии схемы. В то же время, поступая на сетку открытой лампы L_1 , импульс вызовет опрокидывание схемы, в результате которого лампа L_1 заперется, а лампа L_2 отперется. В таком состоянии схема будет находиться

до прихода следующего пускового импульса, который, поступая на сетку лампы Λ_2 , вызовет новое опрокидывание схемы и т. д.

Конечно, запуск триггера можно осуществить и при подаче на вход схемы импульса положительной полярности. Воздействуя на сетку запертой лампы, он также вызовет опрокидывание схемы. Однако для этого амплитуда импульса должна быть достаточно большой, чтобы превзойти напряжение запирания лампы. Амплитуда импульсов отрицательной полярности может быть значительно меньше, так как даже небольшое отрицательное напряжение, поданное на сетку открытой лампы, способно вызвать значительное уменьше-

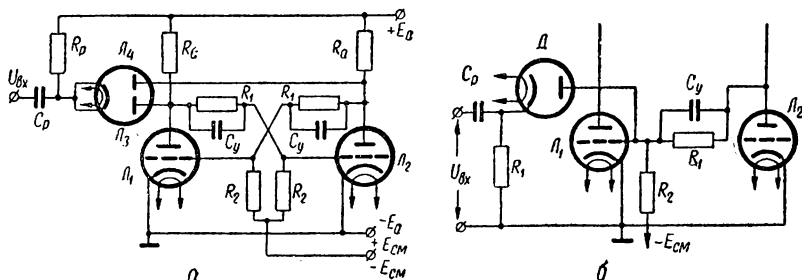


Рис. 251. Запуск триггера через разделительные диоды:
а — на анод; б — на сетку.

ние анодного тока этой лампы, т. е. привести к возникновению описанного выше лавинообразного процесса, ведущему к опрокидыванию схемы. Поэтому для запуска триггеров обычно используют импульсы отрицательной полярности.

В любой схеме запуска триггеров необходимо исключить влияние цепей генератора запускающих импульсов на работу триггера и обратное влияние цепей триггера на работу генератора. Кроме того, должны быть приняты меры к устранению возможности ложного срабатывания триггера от случайных сигналов и помех. Рассмотренные выше схемы запуска не удовлетворяют указанным требованиям. В них генератор запускающих импульсов все время подключен к триггеру, в результате чего влияние генератора и триггера друг на друга проявляется весьма сильно. Не устранена в этих схемах и возможность ложного запуска. Наиболее явно это заметно в том случае, когда триггер запускается прямоугольным импульсом положительной полярности. В самом деле, если триггер сработает от положительного фронта импульса, то он непременно опрокинется обратно и от отрицательного фронта, т. е. каждому запускающему импульсу будут соответствовать два опрокидывания схемы, одно из которых является ложным.

Отмеченных недостатков лишена схема, приведенная на рис. 251, а. В ней запускающие импульсы отрицательной полярности подаются на аноды ламп триггера через разделительные диоды.

Допустим, что в исходном состоянии лампа \mathcal{L}_1 заперта, а лампа \mathcal{L}_2 открыта. Тогда потенциал анода лампы \mathcal{L}_1 равен $+E_a$ и диод \mathcal{L}_3 подключен анодом и катодом к точкам с одинаковым потенциалом. Напряжение между анодом и катодом этого диода равно нулю, поэтому ток через него не проходит. Нетрудно убедиться, что разность потенциалов между анодом и катодом диода \mathcal{L}_4 по абсолютной величине равна $E_a - U_{a, \text{мин}}$, причем потенциал анода диода ниже потенциала его катода. Таким образом, в исходном состоянии оба диода ток не проводят и источник запускающих импульсов по существу отключен от триггера, не оказывая никакого влияния на его работу.

При нарастании отрицательного запускающего импульса на входе схемы потенциал катодов обоих диодов по отношению к земле понижается. При этом диод \mathcal{L}_4 остается по-прежнему запертым, так как амплитуда запускающего импульса берется в несколько раз меньше разности $E_a - U_{a, \text{мин}}$, а диод \mathcal{L}_3 , наоборот, сразу же отперется. От источника запускающих импульсов через диод \mathcal{L}_3 потечет ток по цепи: плюс источника запускающих импульсов (земля), внутреннее сопротивление источника анодного питания, сопротивление R_a , диод \mathcal{L}_3 , разделительный конденсатор C_p , минус источника запускающих импульсов. Проходя через сопротивление R_a , ток запускающего импульса создает на нем падение напряжения, понижающее потенциал анода лампы \mathcal{L}_1 . Вследствие этого потенциал сетки лампы \mathcal{L}_2 понизится и лампа заперется. Произойдет опрокидывание схемы.

Как только отрицательный запускающий импульс начнет уменьшаться, потенциал катода диода \mathcal{L}_3 станет выше потенциала его анода, понизившегося после отпирания лампы \mathcal{L}_1 . Источник запускающих импульсов вновь отключится от схемы. При подаче следующего запускающего импульса проводящим окажется диод \mathcal{L}_4 , присоединенный к аноду запертой лампы \mathcal{L}_2 . Понижение напряжения на аноде лампы \mathcal{L}_2 будет передаваться на сетку лампы \mathcal{L}_1 , и схема вернется в исходное состояние. Таким образом, запускающие импульсы поочередно воздействуют на обе лампы триггера, вызывая каждый раз опрокидывание схемы.

Данная схема чувствительна только к запускающим импульсам отрицательной полярности. При подаче на вход импульсов положительной полярности потенциал катодов разделительных диодов повысится, и они останутся в запертом состоянии. Следовательно, возможность ложного срабатывания в данной схеме триггера значительно ниже, чем во всех схемах, рассмотренных ранее.

Применение разделительных диодов возможно и в других схемах запуска. На рис. 251, б приведена упрощенная схема запуска триггера отрицательными импульсами через разделительный диод на сетку, для чего требуется меньшая амплитуда запускающих импульсов. Кроме того, разделительные диоды в этой схеме работают в более благоприятных условиях, чем в схеме запуска на аноды (рис. 251, а). Объясняется это тем, что в схеме рис. 251, а обратное

напряжение на диоде, подключенном к аноду открытой лампы, равно $E_a - U_{a, \text{мин}}$ и может достигать десятков и сотен вольт. В схеме рис. 251, б обратное напряжение на разделительных диодах значительно ниже, что оказывается весьма существенным при использовании полупроводниковых диодов.

21—5. Применение триггера в электронных вычислительных машинах

Два устойчивых состояния триггера дают возможность широко применять его в схемах электронных вычислительных машин. Типовая схема триггера на двойном триоде, используемая в вычислительных машинах, приведена на рис. 252. Одно из устойчивых состояний триггера называют положением нуля («0»), а другое — положением единицы («1»). Состоянием (или положением) нуля триггера можно считать, например, то, которое соответствует высокому потенциалу на аноде левой по схеме лампы L_1 , т. е. когда лампа L_1 заперта, а L_2 открыта. Положение единицы соответствует высокому потенциалу на аноде правой по схеме лампы L_2 ,

т. е. когда лампа L_1 открыта, а L_2 заперта. Следует помнить, что высокий потенциал на аноде одной лампы обязательно соответствует низкому потенциалу на аноде другой.

Триггер имеет три входа. Запускающий импульс отрицательной полярности, поступающий на сетку лампы L_1 через разделительный диод D_1 , осуществляет переброс триггера в положение нуля, если до этого триггер находился в положении единицы. Если же триггер уже находился в положении нуля, то запускающий импульс не вызывает опрокидывания схемы и лишь подтверждает это состояние триггера. Таким образом, всегда известно, что после прихода импульса на вход лампы L_1 триггер будет находиться в положении нуля, вследствие чего этот вход называется *входом установки нуля* ($У «0»$). Точно таким же образом после прихода запускающего импульса через диод D_2 на сетку лампы L_2 триггер будет находиться в положении единицы, вследствие чего этот вход называется *входом установки единицы* ($У «1»$).

Триггер имеет два выхода: нулевой ($Вых «0»$) и единичный ($Вых «1»$). Для того чтобы было известно, в каком из двух состояний на-

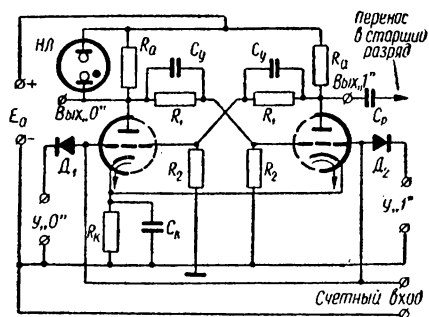


Рис. 252. Схема триггера на двойном триоде, используемая в электронных вычислительных машинах.

ходится триггер, параллельно сопротивлению анодной нагрузки одной из ламп подключают индикаторную неоновую лампочку *НЛ*. В схеме рис. 252 она подключена параллельно сопротивлению R_a лампы L_1 . Убедимся, что при таком включении свечение неоновой лампочки соответствует единичному состоянию триггера. Действительно, при подаче запускающего импульса на вход $У «1»$ лампа L_2 заперется, а лампа L_1 будет проводить ток. При этом на единичном выходе *Вых «1»* будет высокий потенциал, а на нулевом выходе *Вых «0»* — низкий. Поскольку через лампу L_1 проходит ток, то на сопротивлении R_a создается падение напряжения, которое приложено к неоновой лампочке. Следовательно, свечение индикаторной лампочки *НЛ* свидетельствует о том, что триггер находится в единичном состоянии. Если же подать запускающий импульс на вход $У «0»$, то триггер перейдет в другое устойчивое состояние, при котором на единичном выходе *Вых «1»* будет низкий потенциал, а на нулевом выходе *Вых «0»* — высокий. Неоновая лампочка погаснет, указывая тем самым на нулевое состояние триггера.

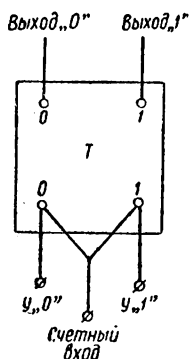


Рис. 253. Схематическое изображение триггера.

Триггер обладает еще одной важной особенностью: с его помощью можно производить счет количества входных импульсов. Для этого необходимо соединить оба его входа $У «0»$ и $У «1»$ и подавать отрицательные импульсы на объединенный вход, называемый *счетным* (рис. 252). При этом происходит симметричный запуск триггера, т. е. входные импульсы воздействуют одновременно на сетки обеих ламп, и независимо от первоначального состояния триггера каждый из них вызывает опрокидывание схемы. Если триггер был в положении «0», то он перебросится в положение «1», и наоборот, что как раз и соответствует операции сложения в двоичной системе счисления: если к 0 прибавить 1, то в результате будет 1, а если к 1 прибавить еще 1, то в двоичной системе в этом разряде должен получиться 0 и перенос 1 в старший разряд чисел. Перенос 1 в старший разряд осуществляется подачей сигнала с *Вых «1»* триггера через разделительный конденсатор C_p к триггеру следующего разряда. При перебросе триггера из положения «1» в положение «0» (т. е. при сложении 1 и 1) потенциал на аноде лампы L_2 резко уменьшается. На выходе триггера (после разделительного конденсатора C_p) вырабатывается отрицательный импульс, который может перебросить следующий триггер.

Таким образом можно включить последовательно целую цепочку триггеров — электронный счетчик, работающий по системе двоичного счисления.

Схематическое изображение триггера, работающего в схемах электронных вычислительных машин, приведено на рис. 253.

21—6. Транзисторы в триггерных схемах

Транзисторы, как и электронные лампы, могут использоваться в качестве элементов бесконтактных переключающих устройств. Режим работы транзистора в переключающем устройстве обычно называют *ключевым*. Этот режим характерен тем, что транзистор в процессе работы периодически переходит из открытого состояния в запертое и наоборот, что соответствует двум состояниям переключающего устройства: «включено» и «выключено».

На рис. 254 изображена простейшая схема ключа на плоскостном транзисторе типа $p-n-p$, включенном по схеме с общим эмиттером (при использовании транзистора типа $n-p-n$ следует изменить полярность источников питания, вследствие чего направление токов в цепях транзистора также изменится на обратное). Запирание транзистора имеет место в том случае, когда оба $p-n$ -перехода (эмиттерный и коллекторный) закрыты. Для этого достаточно, чтобы обратные напряжения на этих переходах были близки к нулю (порядка 0,05—0,1 в). Из схемы рис. 254 видно, что для запирания транзистора типа $p-n-p$ нужно подать на его вход такое напряжение, чтобы потенциал базы был выше потенциала эмиттера, т. е. чтобы напряжение $U_{б.э}$ между базой и эмиттером удовлетворяло неравенству

$$U_{б.э} \geq 0$$

(для транзисторов типа $n-p-n$ знак этого неравенства будет обратным).

Электронная лампа, как известно, в запертом состоянии ток не проводит. В отличие от нее через запертый транзистор проходят обратные токи коллекторного и эмиттерного переходов. Для большинства транзисторов обратный ток коллектора $I_{к0}$ имеет величину порядка 2—15 мка при температуре 15—20° С. Обратный ток базы $I_{б0}$ без большой погрешности можно считать равным по величине току $I_{к0}$. Направления же токов $I_{б0}$ и $I_{к0}$ противоположны друг другу. Таким образом, вход запертого транзистора можно рассматривать как генератор тока $I_{б0} = -I_{к0}$.

Напряжение $U_{к.э}$ на коллекторе запертого транзистора равно

$$U_{к.э} = E_k - I_{к0}R_k. \quad (21-1)$$

Во многих случаях можно считать, что $I_{к0}R_k \ll E_k$, поэтому

$$U_{к.э} \approx E_k.$$

В запертом состоянии транзистор может находиться неограниченно долго. Вывести его из этого устойчивого состояния можно только за счет внешних воздействий, например, путем подачи на вход

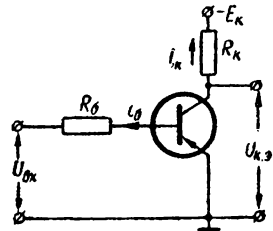


Рис. 254. Ключевая схема на транзисторе.

транзистора типа $p-n-p$ запускаяющего импульса отрицательной полярности.

Вторым устойчивым состоянием является режим насыщения открытого транзистора. Насыщение наступает в том случае, когда оба $p-n$ -перехода транзистора открыты, т. е. когда в транзисторе типа $p-n-p$ $U_{б.э} \leq 0$, $U_{б.к} \geq 0$, а в транзисторе типа $n-p-n$ $U_{б.э} \geq 0$, $U_{б.к} \leq 0$.

На рис. 255, *а* приведены выходные статические характеристики транзистора с общим эмиттером. В семействе этих характеристик проведена нагрузочная прямая AB , выражающая зависимость тока коллектора от напряжения на коллекторе при определенных значе-

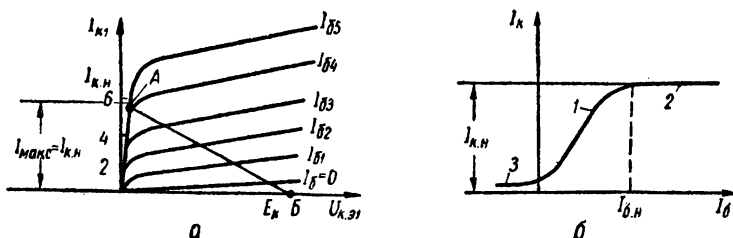


Рис. 255. Графическое пояснение работы транзистора в ключевом режиме:
1 — активный участок; 2 — область насыщения; 3 — область запирания.

ниях E_k и R_k . Величина тока коллектора определяется главным образом величиной тока базы: чем больше ток базы (входной ток), тем больше ток коллектора. При некотором значении тока базы $I_{б.н} = I_{б4}$ коллекторный ток достигает максимальной (для данных E_k и R_k) величины $I_{к.макс}$. Такая величина коллекторного тока соответствует рабочей точке A на рис. 255, *а*. При дальнейшем увеличении тока базы ток коллектора практически остается неизменным. Поэтому $I_{к.макс}$ получил название тока насыщения и обозначается $I_{к.н}$. Величина тока насыщения открытого транзистора может быть найдена по формуле

$$I_{к.н} = \frac{E_k}{R_k}. \quad (21-2)$$

Току насыщения коллектора соответствует величина насыщающего тока базы, равная

$$I_{б.н} = \frac{I_{к.н}}{\beta} = \frac{E_k}{\beta R_k}, \quad (21-3)$$

где β — коэффициент усиления транзистора по току.

Из рис. 255, *а* видно, что в области насыщения напряжения между коллектором и эмиттером, как и напряжения между любыми другими выводами транзистора, малы (близки к нулю). Поэтому транзистор в режиме насыщения можно рассматривать как точку, потенциал которой практически равен нулю.

На рис. 255,б показана зависимость тока коллектора I_k от тока базы I_6 . Форму кривой, изображающей эту зависимость, можно сравнить с анодно-сеточной характеристикой электронной лампы. Из этого же рисунка видно, что характеристика $I_k = f(I_6)$ по сравнению с анодно-сеточной имеет более резкие изломы на границах области запираания и насыщения. Это способствует более четкой работе переключающего устройства. Особенностью транзистора, работающего в ключевом режиме, является и то, что значительная мощность выделяется на нем только в течение перехода из открытого состояния к запертому и обратно (на активном участке характеристики). Поэтому среднее за период значение мощности, рассеиваемой в транзисторе, мало, что позволяет допускать мгновенные значения токов коллектора и эмиттера в 2—3 раза больше паспортных, предельных для режима усиления значений, не опасаясь перегрева транзистора.

Недостатки, свойственные транзисторам, в значительной степени сказываются на работе переключающих устройств. Так, из-за влияния температуры нарушается стабильность точек излома кривой рис. 255,б. Кроме того, инерционность в работе транзистора проявляется в большей степени, чем в электронной лампе. Это объясняется присущими транзистору диффузионными процессами, которые, как известно, протекают не мгновенно. Тем не менее транзисторы широко используются в разнообразных триггерных схемах. Особенно важное значение имеет применение транзисторов в электронных вычислительных машинах, состоящих из большого числа триггерных ячеек. Благодаря малым размерам и весу транзисторов, а также их высокой экономичности оказалось возможным значительно уменьшить габариты и сократить потребляемую мощность современных сложных электронных устройств автоматики и вычислительной техники.

21—7. Анализ работы схемы симметричного триггера на транзисторах

Схемы триггеров на плоскостных транзисторах аналогичны схемам на электронных лампах. На рис. 256 приведена схема симметричного триггера на транзисторах типа $p-n-p$ с внешним смещением. Эта схема отличается от аналогичной ламповой схемы лишь полярностью источников питания, причем при использовании транзисторов типа $n-p-n$ это отличие также устраняется.

Рассмотрим одно из устойчивых состояний триггера. Пусть, например, транзистор T_1 заперт, а T_2 открыт и находится в режиме насыщения.

В предыдущем параграфе было установлено, что насыщенный транзистор можно рассматривать как точку с нулевым потенциалом, а вход запертого транзистора — как генератор тока $I_{60} = -I_{к0}$. Этому устойчивому состоянию триггера соответствуют упрощенные схемы, приведенные на рис. 257. Из схемы рис. 257,а можно найти

выражение для напряжения между базой и эмиттером закрытого транзистора T_1

$$U_{6.э} = E_6 \frac{R_1}{R_1 + R_2} - I_{к0} \frac{R_1 R_2}{R_1 + R_2}. \quad (21-4)$$

Как известно, условие запираания транзистора (типа $p-n-p$) имеет вид

$$U_{6.э} \geq 0. \quad (21-5)$$

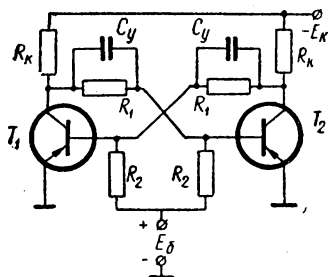


Рис. 256. Схема симметричного триггера на транзисторах.

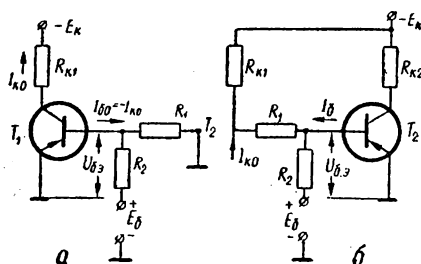


Рис. 257. Упрощенные схемы плеч транзисторного триггера.

Подставив правую часть выражения (21—4) в (21—5), получим первое условие устойчивого состояния схемы транзисторного триггера

$$R_2 \leq \frac{E_6}{I_{к0}}, \quad (21-6)$$

которое должно удовлетворяться и при максимальной температуре работы транзистора, когда $I_{к0}$ достигает значения $I_{к0 \text{ макс}}$. Поэтому условие (21—6) для симметричного триггера можно записать в виде равенства

$$R_2 = \frac{E_6}{I_{к0 \text{ макс}}}. \quad (21-7)$$

Считая напряжение $U_{6.э}$ открытого транзистора в режиме насыщения равным нулю, можно найти выражение для тока базы этого транзистора в соответствии с рис. 257, б.

$$I_6 = \frac{E_k - I_{к0} R_k}{R_1 + R_k} - \frac{E_6}{R_2} \approx \frac{E_k}{R_1 + R_k} - \frac{E_6}{R_2}, \quad (21-8)$$

так как обычно $I_{к0} R_k \ll E_k$.

В предыдущем параграфе было установлено условие насыщения открытого транзистора в виде

$$I_{6.н} \geq \frac{I_{к.н}}{\beta} = \frac{E_k}{\beta R_k}. \quad (21-9)$$

Подставляя в выражение (21—9) вместо $I_{б.н}$ правую часть равенства (21—8), получаем

$$\frac{E_K}{R_1 + R_K} - \frac{E_6}{R_2} \geq \frac{I_{к.н}}{\beta} = \frac{E_K}{\beta R_K},$$

откуда

$$R_1 \leq \left(\frac{\beta}{1 + \beta \frac{E_6 R_K}{E_K R_2}} - 1 \right) R_K,$$

или, учитывая (21—2) и (21—7),

$$R_1 \leq \left(\frac{\beta}{1 + \beta \frac{I_{к0\max}}{I_{к.н}}} - 1 \right) R_K. \quad (21-10)$$

Выражение (21—10) является вторым условием устойчивого состояния симметричного триггера.

Как известно, даже однотипные транзисторы обладают значительным разбросом по коэффициенту усиления β . Между тем сопротивления R_1 нужно рассчитать так, чтобы устойчивое состояние схемы, определяемое выражением (21—10), выполнялось для любого транзистора данного типа, в том числе и для такого, у которого β имеет некоторое минимальное значение β_{\min} . Положив $\beta = \beta_{\min}$, условие (21—10) можно записать в виде равенства

$$R_1 = \left(\frac{\beta_{\min}}{1 + \beta_{\min} \frac{I_{к0\max}}{I_{к.н}}} - 1 \right) R_K. \quad (21-11)$$

Соотношения (21—7) и (21—11), являющиеся условиями устойчивого состояния триггера, получены для случая, когда транзистор T_1 заперт, а T_2 открыт. Очевидно, что в силу симметрии схемы эти же соотношения являются условиями и второго устойчивого состояния триггера, когда транзистор T_1 открыт, а транзистор T_2 заперт.

В результате опрокидывания схемы триггера напряжение на коллекторе каждого транзистора скачкообразно меняется. Эти изменения используются в качестве выходных импульсов триггера. Для определения амплитуды выходных импульсов следует учесть, что напряжение на коллекторе открытого транзистора близко к нулю, а напряжение на коллекторе запертого транзистора определяется в соответствии с (21—1). Следовательно,

$$U_{\text{вых}} \approx U_{к.з} = E_K - I_{к0} R_K. \quad (21-12)$$

Минимальное значение амплитуды выходного импульса $U_{\text{вых.мин}}$ определяют при самом неблагоприятном режиме, когда $I_{к0} =$

$= I_{k0 \text{ макс.}}$ Очевидно, что

$$U_{\text{твых. мин}} = E_k - I_{k0 \text{ макс}} R_k. \quad (21-13)$$

Расхождение между $U_{\text{твых}}$ и $U_{\text{твых. мин}}$ должно быть как можно меньше.

21—8. Варианты схем транзисторных триггеров

Триггер с автоматическим смещением. В транзисторном триггере, как и в ламповом, вместо отдельного источника смещения может быть использована цепочка автосмещения. Схема симметрично-

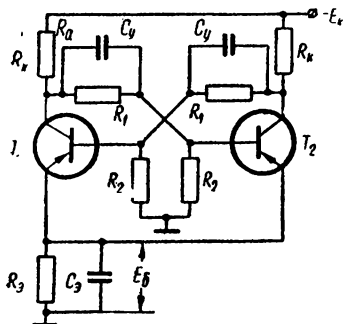


Рис. 258. Транзисторный триггер с автосмещением.

го триггера с автосмещением приведена на рис. 258. Смещение в этом триггере создается за счет падения напряжения на эмиттерном сопротивлении R_3 от тока открытого транзистора. Приблизненно напряжение смещения, создаваемое на сопротивлении R_3 , можно определить по формуле

$$E_0 = \frac{E_k}{R_k} R_3. \quad (21-14)$$

Ненасыщенный триггер. В 21—7 было установлено, что в состоянии устойчивого равновесия один из транзисторов схемы триггера дол-

жен быть заперт, а другой — находиться в состоянии насыщения. Такой режим обеспечивает надежность устойчивого состояния схемы, но обладает одним существенным недостатком. Дело в том, что в режиме насыщения в транзисторах наблюдается эффект накопления неосновных носителей зарядов в базе, что приводит к задержке опрокидывания схемы при запираии насыщенного транзистора внешним импульсом, а следовательно, к уменьшению скорости переключения.

Поясним это явление. В запертом состоянии, когда оба $p-n$ -перехода находятся под обратным напряжением, плотность неосновных носителей зарядов равна нулю на переходах и весьма мала в области базы. Наличие небольшого числа неосновных носителей в области базы в запертом транзисторе обусловлено не диффузией зарядов из эмиттера и коллектора, а лишь тепловым возбуждением нейтральных атомов и возникновением пар „электрон — дырка“. При отпирании транзистора плотность неосновных носителей больше у эмиттера и практически равна нулю у коллектора, где носители быстро проходят через коллекторный переход. Плотность неосновных носителей в области базы на активном участке работы транзистора сравнительно невелика.

При переходе в режим насыщения, когда входной ток (ток базы) достигает больших значений, а оба $p-n$ -перехода находятся под

небольшим прямым напряжением, плотность неосновных носителей в области базы возрастает до ненормально большого уровня. Так как процесс опрокидывания схемы связан с переводом насыщенного транзистора в запертое состояние, то он не может фактически начаться до тех пор, пока не будет устранена эта ненормальная плотность неосновных носителей в области базы. Именно поэтому реакция насыщенного транзистора на входной запирающий сигнал происходит с относительно большой задержкой. Установлено, что длительность опрокидывания насыщенного триггера может оказаться в 2—3 раза больше длительности опрокидывания схемы при использовании

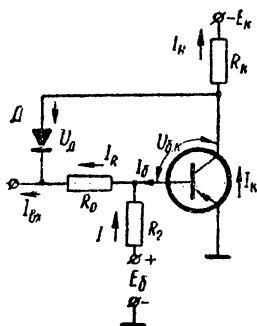


Рис. 259. Упрощенная схема ненасыщенного триггера.

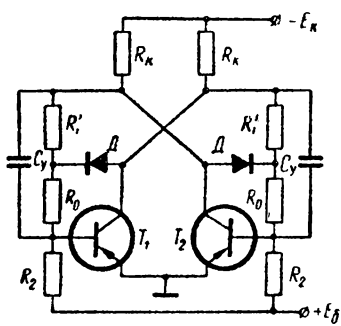


Рис. 260. Типовая схема ненасыщенного транзисторного триггера.

транзисторов в ненасыщенном режиме. Поэтому с целью увеличения скорости срабатывания триггера желательно, чтобы рабочая точка открытого транзистора не переходила в область насыщения.

Наиболее распространенным способом предотвращения насыщения триггера является введение в схему нелинейной отрицательной обратной связи. Упрощенная схема одного плеча такого ненасыщенного триггера приведена на рис. 259. Цепочка нелинейной обратной связи состоит из диода D и сопротивления R_0 . Пока напряжение на участке коллектор — база $U_{б.к}$ больше падения напряжения $I_k R_0$ на сопротивлении R_0 , диод D заперт, отрицательная обратная связь не действует и с ростом входного тока $I_{вх}$ растут ток базы I_b и ток коллектора $I_k = \beta I_b$. Когда ток $I_{вх}$ достигнет такого значения, при котором напряжение $U_{б.к}$ становится равным падению напряжения $I_k R_0$ на сопротивлении R_0 , диод D отпирается и дальнейший рост тока $I_{вх}$ мало влияет на режим транзистора, так как значительная часть входного тока идет через открытый диод. Следовательно, с началом действия отрицательной обратной связи резко падает коэффициент усиления каскада по току. Поэтому целесообразно подбирать амплитуду входного тока такой, при которой полностью отпирается транзистор, обладающий даже минимальным значением $\beta_{мин}$, и вместе с тем обеспечивается отсутствие насыщения у транзистора,

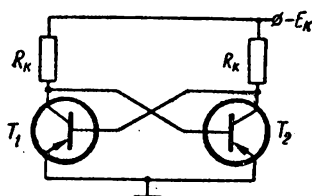
обладающего $\beta = \beta_{\max}$. Для полного отпирания транзистора при $\beta = \beta_{\min}$ входной ток должен быть не меньше

$$I_{\text{вх}} = I_{\text{б.н}} + I = \frac{E_{\text{к}}}{\beta_{\min} R_{\text{к}}} + I,$$

где I — ток, проходящий в цепи смещения через сопротивление R_2 (рис. 259).

Для обеспечения ненасыщенного режима транзистора, обладающего $\beta = \beta_{\max}$, необходимо, чтобы напряжение на диоде в процессе работы схемы оставалось обратным. Это возможно, если величина сопротивления R_0 удовлетворяет условию

$$R_0 = \frac{U_{\text{д}}}{I} = \frac{U_{\text{д}} R_2}{E_{\text{б}}}, \quad (21-15)$$



где $U_{\text{д}}$ — напряжение на диоде при прямом токе

$$I_{\text{б.н}} = \frac{E_{\text{к}}}{\beta_{\min} R_{\text{к}}}.$$

Рис. 261. Схема симметричного триггера без смещения с непосредственной связью.

Обычно ток $I_{\text{б.н}}$ не превышает десятых долей миллиампера. При таких токах вольт-амперные характеристики полупроводниковых диодов разных типов незначительно отличаются друг от друга. Поэтому для практических расчетов можно задаваться значением $U_{\text{д}}$ порядка 0,3 в.

Типовая схема ненасыщенного триггера приведена на рис. 260. В отличие от схемы рис. 256 сопротивление R_1 здесь складывается из двух сопротивлений

$$R_1 = R_0 + R'_1,$$

причем R_0 входит в цепь отрицательной обратной связи. Расчет величины сопротивления R_1 производят, как и для насыщенного триггера, по формуле (21-11). Зная R_1 и R_0 (из 21-15), можно найти величину сопротивления R'_1 . Выбор остальных параметров ненасыщенного триггера производят из тех же соображений, что и выбор параметров насыщенного триггера.

Триггер с непосредственной связью. Использование транзисторов позволяет создать схемы триггеров, не имеющих ламповых аналогов. На рис. 261 приведена схема симметричного триггера на транзисторах без смещения и с непосредственной связью коллектора одного транзистора с базой другого. Если в ламповой схеме сделать аналогичное непосредственное соединение анода на сетку, то схема будет иметь лишь одно устойчивое состояние, в котором обе лампы сильно проводят ток. Схема же, приведенная на рис. 261, имеет два устойчивых состояния. Пусть, например, открытый транзистор T_2 находится в режиме насыщения. Напряжение на его коллекторе

в этом случае близко к нулю. Поэтому напряжение на базе другого транзистора T_1 также близко к нулю, и последний практически заперт. Даже при низком напряжении питания E_k (порядка нескольких вольт) перепад коллекторного напряжения в рассматриваемой схеме оказывается достаточным (порядка 0,3—1 в) для опрокидывания схемы.

Запуск транзисторных триггеров. Так же, как и в случае лампового триггера, существуют два способа запуска триггеров на транзисторах — раздельный (несимметричный) и счетный (симметричный). При этом триггеры на транзисторах типа $p-n-p$ более чувствительны к запуску импульсами положительной полярности, а триггеры на транзисторах типа $n-p-n$, наоборот, отрицательной полярности.

Схемы запуска транзисторных триггеров полностью аналогичны соответствующим схемам запуска ламповых триггеров. В качестве примера на рис. 262 приведена схема транзисторного триггера, применяющегося в электронных вычислительных машинах и имеющего три входа: $У «0»$, $У «1»$ и счетный вход.

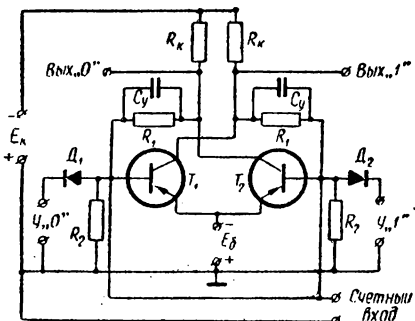


Рис. 262. Типовая схема транзисторного триггера, использующегося в электронных вычислительных машинах.

21—9. Триггеры на магнитных элементах

В аппаратуре электронной автоматики и вычислительной техники широко используются триггеры на магнитных элементах. Принцип работы таких триггеров основан на свойстве магнитных материалов сохранять состояние намагниченности или размагниченности неограниченно долгое время и быстро переходить из одного состояния в другое под воздействием изменяющегося магнитного поля.

Основным элементом триггера является магнитный сердечник (чаще всего ферритовый), выполненный в виде кольца — тороида. Обычно такой сердечник прессуется из порошка, а затем подвергается термообработке. Размеры тороидальных сердечников невелики — их диаметр лежит в пределах от долей миллиметра до нескольких миллиметров.

Как было указано в 12—3, основное свойство магнитных материалов состоит в том, что они обладают почти прямоугольной петлей гистерезиса, выражающей собой зависимость магнитной индукции сердечника B от напряженности магнитного поля H (рис. 263, а).

На рис. 263, б приведена схема ферритового тороидального сер-

дечника с тремя обмотками. Предположим, что через обмотку *I* пропускается импульс тока i_1 . Ток наводит в сердечнике магнитное поле с напряженностью H_m такой величины, что тороид намагничивается до насыщения (точка $+B_m$). Когда действие импульса кончается, тороид размагничивается только до величины магнитной индукции, соответствующей точке $+B_r$. Это состояние сердечника можно принять за положение, соответствующее «1» по двоичной системе счисления.

Если теперь через обмотку *II* пропустить импульс тока i_2 определенной полярности и величины, то произойдет перемагничивание

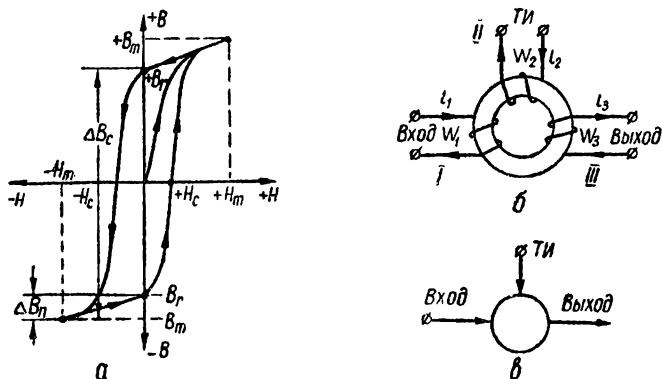


Рис. 263. К пояснению работы триггера на ферритовом сердечнике:

а — петля гистерезиса ферритового сердечника; *б* — сердечник с обмотками; *в* — условное обозначение триггера на ферритовом сердечнике.

тороида. Рабочая точка, соответствующая величине намагниченности сердечника, совершает резкий переход в крайнюю левую точку петли — B_m . По окончании импульса i_2 рабочая точка перемещается в положение $-B_r$, которое может быть принято за положение «0».

Таким образом, переключающий элемент на ферритовом сердечнике аналогично ламповому или транзисторному триггеру имеет два устойчивых состояния, соответствующих «1» и «0» в двоичной системе. Очевидное преимущество магнитного двоичного элемента перед ламповым или транзисторным состоит в том, что он, находясь в устойчивом состоянии, не потребляет энергии.

Обмотка *III* сердечника является выходной. Каждое изменение величины индукции тороида вызывает в обмотке *III* появление тока вполне определенной величины и полярности. Пусть, например, в какой-то момент тороид имеет состояние, соответствующее «0», т. е. рабочая точка находится в положении $-B_r$. При подаче в обмотку *II* импульса тока, создающего в сердечнике напряженность

поля — H_m , магнитная индукция в сердечнике изменяется на величину

$$\Delta B_n = B_m - B_r.$$

Это изменение индукции получается сравнительно небольшим (рис. 263,а). Поэтому ток, наведенный изменяющимся магнитным полем в обмотке *III*, будет малым.

Если же в начальный момент тороид находился в положении «1», что соответствует магнитной индукции в сердечнике $+B_r$, тот же импульс тока i_2 вызовет переход рабочей точки из положения $+B_r$ в положение $-B_m$, т. е. магнитная индукция в сердечнике изменится на величину

$$\Delta B_c = 2B_r + \Delta B_n.$$

Такое резкое изменение индукции повлечет за собой появление в обмотке *III* относительно большого импульса выходного тока.

Импульсы тока, подаваемые в обмотку *II* и приводящие магнитное состояние сердечника в исходное положение, получили название *тактовых* импульсов (*ТИ*), а обмотку *II* называют *тактовой обмоткой*. Обычно тактовые импульсы имеют такую полярность, что приводят тороид в положение «0» независимо от того, в каком положении он находился до подачи тактового импульса. Следовательно, если в момент прихода тактового импульса сердечник находился в положении «1», то в выходной обмотке появится заметный импульс тока. Если же тороид находился в положении «0», то при поступлении тактового импульса в выходной обмотке наведется значительно меньший ток, который можно рассматривать как помеху. Из рис. 263,а видно, что для увеличения отношения полезного сигнала к помехе на выходе триггера необходимо стремиться к увеличению отношения $\frac{\Delta B_c}{\Delta B_n}$. В случае идеально прямоугольной петли гистерезиса $B_n = B_m - B_r = 0$, т. е. помеха на выходе триггера не появляется.

Условное обозначение магнитного переключающего элемента приведено на рис. 263, в.

При построении различных переключающих схем ферриты применяются обычно совместно с полупроводниковыми диодами или транзисторами. Такие схемы получили название ферродиодных и ферротранзисторных схем. Наиболее высокими качественными показателями обладают ферротранзисторные схемы, получившие широкое распространение в современных устройствах электронной автоматики и вычислительной техники.

Принципиальная схема ферротранзисторного элемента приведена на рис. 264. Элемент состоит из трансформатора на ферритовом сердечнике с прямоугольной петлей гистерезиса и транзистора. На сердечник намотаны четыре обмотки: входная w_1 , тактовая w_2 , базовая w_6 и коллекторная w_k . Последняя одновременно является обмоткой положительной обратной связи.

Пусть, например, в исходном состоянии сердечник намагничен до $-B$ (положение «0») и входной сигнал, поданный в обмотку ω_1 , вызывает перемагничивание сердечника от $-B_r$ до $+B_r$ (от «0» до «1») (рис. 263, а). Базовая обмотка подключается к транзистору так, чтобы при перемагничивании сердечника от $-B_r$ до $+B_r$ напряжение база — эмиттер было положительным, т. е. чтобы транзистор типа $p-n-p$ был заперт. При этом сигнал на выходе схемы отсутствует. Следовательно, при подаче во входную обмотку импульса тока в сердечнике записывается код «1» и на выходе сигнала нет. В таком состоянии элемент может находиться сколь угодно долго.

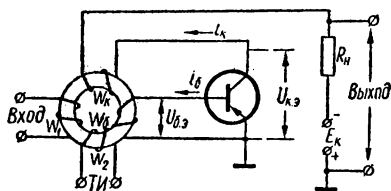


Рис. 264. Схема ферротранзисторного переключающего элемента.

Поэтому трансформатор ферротранзисторного элемента часто называют *запоминающим*.

При подаче в обмотку ω_2 тактового импульса начинается перемагничивание сердечника из состояния $+B_r$ в состояние $-B_r$ (от «1» до «0»). В процессе перемагничивания в базовой обмотке наводится э. д. с. такой полярности, при которой напряжение база —

эмиттер становится отрицательным. Транзистор при этом отпирается, и в цепи коллектора начинает проходить ток I_k . Коллекторная обмотка ω_k включается таким образом, чтобы при возрастании коллекторного тока I_k возрастало отрицательное напряжение на базовой обмотке. При таком включении в схеме имеет место положительная обратная связь, которая способствует быстрому нарастанию коллекторного тока. При прохождении нарастающего коллекторного тока по обмотке ω_k происходит новое перемагничивание сердечника (рабочая точка переходит в положение $-B_m$). При этом э. д. с. базовой обмотки становится равной нулю, и ток в базовой цепи прекращается. Как следствие этого прекращается и коллекторный ток, если только транзистор не вошел в режим насыщения. В последнем случае коллекторный ток протекает и после полного перемагничивания сердечника в течение времени, которое определяется рассасыванием неосновных носителей, накопившихся в базе транзистора. После прекращения коллекторного тока сердечник переходит в состояние $-B_r$. В процессе перехода из состояния $-B_m$ в состояние $-B_r$ в базовой обмотке возникает э. д. с., которая способствует запираанию транзистора. Такое состояние схемы сохраняется до подачи следующего входного импульса.

Таким образом, в результате действия тактового импульса сердечник вновь переводится из состояния «1» в состояние «0», а в выходной цепи (на сопротивлении нагрузки R_n) создается импульс напряжения, обусловленный нарастанием и спаданием коллекторного тока. Амплитуда выходного импульса напряжения равна

$$U_{\text{вых}} = I_{k, \text{макс}} R_k,$$

где $I_{к. макс}$ — наибольшее значение коллекторного тока открытого транзистора.

Процесс получения на выходе переключающего устройства полезного сигнала, позволяющего судить о состоянии схемы до подачи тактового импульса, получил название процесса *считывания*. Так, для рассмотренной выше схемы получение на выходе напряжения $U_{твых}$ соответствует процессу считывания ранее записанного кода «1».

Существуют различные варианты схем ферротранзисторных элементов. К ним относятся схемы без обмотки положительной обратной связи, схемы с отрицательной обратной связью и др. Возможны также различные способы включения транзистора. Однако приведенный выше основной принцип работы ферротранзисторного элемента сохраняется во всех случаях.

Обычно устройства, построенные на ферротранзисторных элементах, представляют собой совокупность большого числа однотипных ячеек. Наиболее широкое применение такие устройства получили в схемах электронных вычислительных машин.

Важным достоинством ферротранзисторных элементов является малая чувствительность их к разбросу параметров ферритов и транзисторов, а также то, что тактовые импульсы не должны обладать строго определенной амплитудой и длительностью, так как они играют роль только запускающих импульсов. Схема ферротранзисторного элемента проста и состоит из ограниченного числа деталей (сердечник с обмотками, транзистор, резистор). Ферротранзисторные элементы надежны в эксплуатации и экономичны.

Основной недостаток ферротранзисторных элементов заключается в их сравнительно невысокой максимальной рабочей частоте, не превышающей в большинстве случаев 100—200 кГц. В связи с этим они используются главным образом в устройствах умеренного быстродействия.

21—10. Параметрон

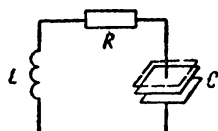
Одним из наиболее перспективных переключающих элементов является *параметрон*, принцип работы которого основан на параметрическом возбуждении электромагнитных колебаний в колебательном контуре.

Явление параметрического возбуждения колебаний было открыто более 100 лет назад, однако достаточно полное теоретическое и экспериментальное исследование этого явления осуществлено лишь в последние годы.

Известно, что для поддержания незатухающих колебаний в любой колебательной системе необходимо все время добавлять извне некоторое количество энергии для компенсации потерь в этой системе. Так, раскачивание качелей может быть осуществлено за счет энергии, сообщаемой качелям во время толчков, совпадающих по частоте и направлению с собственными колебаниями качелей.

При возбуждении колебаний в колебательном контуре энергия вводится в него от источника переменного тока резонансной частоты.

Очевидно, что, как в случае механических колебаний качелей, так и в случае электрических колебаний в контуре ввод энергии в



a

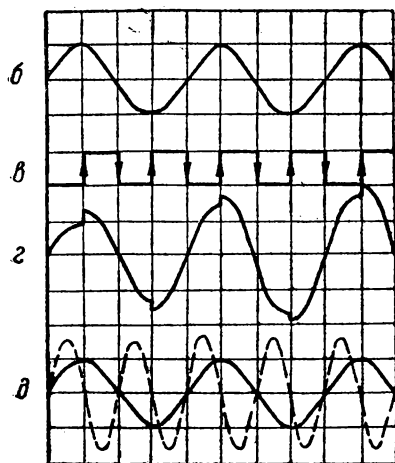


Рис. 265. Параметрическое возбуждение колебаний в контуре путем изменения его емкости:

a — колебательный контур, емкость которого меняется во времени; *б* — напряжение на конденсаторе контура; *в* — закон механического перемещения пластин конденсатора; *г* — увеличение напряжения на конденсаторе в процессе параметрического возбуждения; *д* — оптимальные фазовые соотношения между напряжением входного сигнала и напряжением генератора накачки.

систему осуществляется *непосредственно* от источника (прямым путем).

Однако существует и другой (косвенный) способ ввода энергии в колебательную систему — путем изменения одного или нескольких параметров самой системы.

В качестве примера такого параметрического возбуждения колебаний можно привести раскачивание качелей самым находящимся на них человеком. Для этого человек, стоящий на качелях, должен приседать в те моменты, когда качели находятся в нижнем положении и резко распрямляться в момент прохождения качелей через высшую точку. При этом изменяется расстояние между центром тяжести качелей и точкой их подвеса, что равносильно изменению длины маятника, которым с физической точки зрения и являются качели.

Очевидно, что описанным выше способом раскачать неподвижные качели невозможно, так как при приседании и распрямлении на неподвижных качелях работа, затрачиваемая человеком при подъеме центра тя-

жести, будет возвращаться при его опускании. Необходимо, чтобы качели в исходном состоянии хотя бы незначительно раскачивались. Тогда при каждом цикле перемещения центра тяжести будет совершаться работа, приводящая к увеличению амплитуды колебаний.

Поскольку центр тяжести является одним из параметров качелей, то возбуждающиеся колебания называют *параметрическими*.

Следует отметить, что для успешного возбуждения параметрических колебаний нужно воздействовать на «энергоемкие» параметры

системы. В колебательном контуре такими параметрами являются емкость и индуктивность.

Рассмотрим процесс возбуждения колебаний при периодическом изменении емкости контура.

На рис. 265, *а* показан колебательный контур, состоящий из индуктивности L и конденсатора C , емкость которого может меняться в результате перемещения одной из его пластин. Сопротивление R характеризует активные потери в контуре. Допустим, что к контуру приложено небольшое переменное синусоидальное напряжение с частотой f . Тогда напряжение и заряд на пластинах конденсатора будут изменяться по синусоидальному закону (рис. 265, *б*). Будем раздвигать пластины конденсатора в момент, когда напряжение на нем максимально, и сближать их, когда это напряжение равно нулю. Кривая, характеризующая механическое перемещение пластин конденсатора, показана на рис. 265, *в*. На этом рисунке стрелка, направленная вверх, соответствует раздвиганию, а стрелка, направленная вниз,— сближению пластин конденсатора. Ввиду того, что напряжение на конденсаторе в течение одного периода дважды достигает максимума, механическое перемещение пластин должно происходить с частотой, равной $2f$.

Раздвигание пластин конденсатора связано с затратами определенной механической энергии на преодоление сил притяжения между пластинами, вызываемых зарядами противоположных знаков. Сближение пластин происходит в момент, когда напряжение на конденсаторе равно нулю. Поэтому никакой затраты энергии при этом не происходит.

В соответствии с законом сохранения энергии механическая энергия, затрачиваемая на раздвигание пластин, преобразуется в энергию электрического поля в конденсаторе, что приводит к повышению напряжения между его пластинами (рис. 265, *г*).

Покажем это математическим путем.

Известно, что между емкостью конденсатора C , зарядом на пластинах q и напряжением между пластинами U существует зависимость

$$U = \frac{q}{C}. \quad (21-16)$$

Кроме того, емкость конденсатора

$$C = \frac{\varepsilon S}{d}, \quad (21-17)$$

где ε — диэлектрическая проницаемость диэлектрика;

S — площадь пластин;

d — расстояние между пластинами.

Допустим, что напряжение на пластинах конденсатора до раздвигания было равно U_1 , а после раздвигания пластин на расстояние Δd стало равным U_2 . Тогда с учетом (21—16) и (21—17) получим

$$U_1 = \frac{q}{C} = \frac{qd}{\varepsilon S};$$

$$U_2 = \frac{q(d + \Delta d)}{\epsilon S};$$

$$\Delta U = U_2 - U_1 = \frac{q\Delta d}{\epsilon S} = \frac{qd}{\epsilon S} \cdot \frac{\Delta d}{d} = \frac{q}{C} \cdot \frac{\Delta d}{d} = U_1 \frac{\Delta d}{d},$$

$$\text{т. е. } \frac{\Delta U}{U_1} = \frac{\Delta d}{d}. \quad (21-18)$$

Таким образом, относительное изменение напряжения на конденсаторе равно относительному изменению расстояния между его пластинами.

Увеличение амплитуды напряжения на конденсаторе будет происходить до тех пор, пока потери в контуре не станут равны вно-

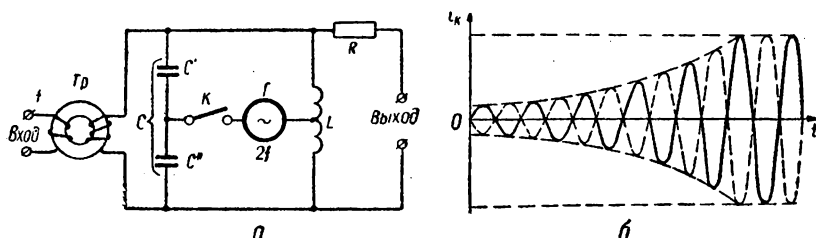


Рис. 266. Емкостный параметрон:

а — схема включения; *б* — два режима параметрических колебаний в контуре.

симой в контур дополнительной энергии, после чего амплитуда колебаний стабилизируется.

В практических схемах параметронов емкость изменяется не механическим, а электрическим путем.

Для этого в качестве емкостей используют полупроводниковые диоды (варикапы), к $p-n$ -переходам которых прикладывают синусоидальное напряжение специального вспомогательного генератора, называемого *генератором накачки*.

Соотношения между фазами напряжений генератора накачки и входного сигнала, необходимые для оптимальной передачи энергии в контур, показаны на рис. 265, *д* (напряжение генератора накачки изображено пунктиром).

Схема емкостного параметрона и графики, характеризующие процесс параметрического возбуждения колебаний, приведены на рис. 266. В схеме параметрона (рис. 266, *а*) емкость колебательного контура образуется двумя конденсаторами C' и C'' . Между средней точкой этих конденсаторов и средней точкой катушки включен генератор накачки, благодаря которому общая емкость контура $C = \frac{C' \cdot C''}{C' + C''}$ изменяется с частотой $2f$. Входной сигнал с частотой f подается в контур через трансформатор Tr . Важно отметить, что возникшие в результате параметрического возбуждения установившиеся колебания в контуре параметрона могут иметь две фазы, от-

личающиеся друг от друга на π радиан (180°). Эти два возможных режима колебаний показаны на рис. 266, б сплошной и штриховой линиями.

Установление того или иного режима определяется фазой колебаний, подаваемых на вход параметрона. Приписывая одному режиму значение «1», а другому «0», можно записывать и хранить в параметроне информацию, закодированную в двоичной системе счисления, а также использовать параметрон в качестве быстродействующего переключающего устройства.

Для считывания информации к выходу параметрона можно подключить фазочувствительный элемент.

Все сказанное относится и к параметронам, в которых в качестве переменного параметра используется индуктивность. Индуктивные параметроны более дешевые, чем параметроны на p — n -переходах. Однако они не могут работать на частотах выше нескольких мегагерц.

ЛИТЕРАТУРА

- В. Ф. В л а с о в. Электронные и ионные приборы. Связьиздат, 1960.
В. Ф. В л а с о в. Курс радиотехники. Госэнергоиздат, 1962.
В. Н. Д у л и н. Электронные и ионные приборы. Госэнергоиздат, 1963.
Н. Н. Х л е б н и к о в. Электронные приборы. «Связь», 1966.
И. П. Ж е р е б ц о в. Основы электроники. Госэнергоиздат, 1960.
И. П. Ж е р е б ц о в. Радиотехника. Связьиздат, 1963.
А. В. Д ы к и н. Электронные и полупроводниковые приборы. «Энергия», 1965.
А. М. К а л а ш н и к о в и В. З. С л у ц к и й. Основы радиотехники и радиолокации, ч. II. Воениздат, 1959.
Г. А. Т ы г у н о в. Электровакуумные и полупроводниковые приборы. Госэнергоиздат, 1962.
М. М. Г р и н ш т е й н. Фотосопротивления в приборах промышленной автоматике. Госэнергоиздат, 1962.
Д. В. М и х и н. Кремниевые стабилитроны. «Энергия», 1965.
Г. К. Н е ч а е в. Полупроводниковые термосопротивления в автоматике. Гостехиздат УССР, 1962.
Х. Б у к и н г е м и Е. П р а й с. Основы электроники. Профтехиздат, 1961.
А. А. Г о р е л и к. Промышленная электроника. Госэнергоиздат, 1958.
С. Ф. К о р н д о р ф и В. А. П о п о в. Промышленная электроника. «Высшая школа», 1964.
С. П. М и к л а ш е в с к и й. Промышленная электроника. «Высшая школа», 1964.
А. Ф. Г о р о д е ц к и й и др. Основы физики полупроводников и полупроводниковых приборов. «Наука», 1966.
В. В. П а с ы н к о в и др. Полупроводниковые приборы. «Высшая школа», 1966.
И. И. Б е л о п о л ь с к и й. Электропитание радиоустройств. «Энергия», 1965.
Г. С. В е к с л е р и Я. И. Т е т ь е л ь б а у м. Электропитание радиоустройств. «Техника», 1964.
В. Ю. Р о г и н с к и й. Электропитание радиоустройств. Госэнергоиздат, 1963.
В. Ю. Р о г и н с к и й. Выпрямители. Госэнергоиздат, 1961.
Б. П. Т е р е н ь т ь е в и В. Е. К и т а е в. Электропитание предприятий радиосвязи. «Связь», 1966.
П. Г. Ф е д о с е е в. Выпрямители и стабилизаторы. «Искусство», 1960.
И. Г. Г о л ь д р е е р. Стабилизаторы напряжения. Госэнергоиздат, 1957.
С. Д. Д о д и к. Полупроводниковые стабилизаторы постоянного напряжения и тока. «Советское радио», 1962.
В. И. К а р п о в. Полупроводниковые стабилизаторы напряжения. Госэнергоиздат, 1963.
Д. И. Б о г д а н о в и Г. К. Е в д о к и м о в. Феррорезонансные стабилизаторы. Госэнергоиздат, 1958.

- Г. С. Цыкин. Трансформаторы низкой частоты. Связьиздат, 1955.
- Г. С. Цыкин. Электронные усилители. Связьиздат, 1960.
- Г. С. Цыкин. Усилители электрических сигналов. Госэнергоиздат, 1961.
- С. Н. Кризе. Усилительные устройства. Связьиздат, 1958.
- В. Г. Криксунов. Низкочастотные усилители. Гостехиздат УССР, 1961.
- А. В. Цыкина. Проектирование транзисторных усилителей. «Связь», 1965.
- П. А. Попов. Расчет транзисторных усилителей звуковой частоты. Госэнергоиздат, 1960.
- Е. О. Федосеева. Усилительные устройства. «Искусство», 1961.
- И. Г. Мамонкин. Усилительные устройства. «Связь», 1966.
- Л. И. Байда и А. А. Семенович. Электронные усилители постоянного тока. Госэнергоиздат, 1953.
- И. Я. Брейдо. Ламповые усилители сигналов постоянного тока. Госэнергоиздат, 1960.
- Я. Будинский. Усилители низкой частоты на транзисторах.
- И. Ю. Зайчик и С. Н. Усов. Задачник по усилительным и радиоприемным устройствам. «Вышая школа», 1965.
- С. Н. Кризе и А. А. Речкина. Сборник задач по усилительным устройствам. Росвузиздат, 1963.
- Л. П. Козинцева. Усилители на полупроводниковых триодах. «Вышая школа», 1965.
- К. Э. Эрглиси и И. П. Степаненко. Электронные усилители. Физматгиз, 1961.
- Б. М. Бетин. Радиопередающие устройства. «Вышая школа», 1965.
- Н. И. Штейн. Автогенераторы гармонических колебаний. Госэнергоиздат, 1961.
- Г. Т. Шитиков. Стабильные диапазонные автогенераторы. «Советское радио», 1965.
- В. Ф. Баркани и В. К. Жданов. Проектирование радиотехнических устройств. Оборонгиз, 1963.
- А. А. Брандт и К. С. Ржевкин. Техника монтажа и налаживания радиосхем. Изд-во МГУ, 1966.
- И. П. Степаненко. Основы теории транзисторов и транзисторных схем. Госэнергоиздат, 1963.
- Л. М. Гольденберг. Основы импульсной техники. Связьиздат, 1963.
- М. Е. Лейбман. Импульсная техника. Оборонгиз, 1960.
- Г. А. Базь и др. Расчет импульсных схем. Воениздат, 1960.
- В. П. Васильева и др. Расчет элементов импульсных радиотехнических устройств. Госэнергоиздат, 1963.
- Е. М. Мартынов. Бесконтактные переключающие устройства. Госэнергоиздат, 1958.
- В. А. Плиско. Элементы цифровых машин. Воениздат, 1965.
- Л. П. Крайзмер. Новые элементы электронных цифровых машин. Госэнергоиздат, 1961.
- Л. П. Крайзмер. Запоминающие устройства. «Энергия», 1965.
- А. И. Вишневецкий и И. С. Сергиенко. Параметрон. Воениздат, 1961.
- Р. М. Терещук и др. Справочник радиолюбителя. «Техніка», 1965.
- Справочник радиолюбителя. Под ред. А. А. Куликовского. Госэнергоиздат, 1961.
- А. М. Бройде и Ф. И. Тарасов. Справочник по электронным и полупроводниковым приборам. Госэнергоиздат, 1961.
- В. А. Зайцев и С. Н. Николеев. Краткий справочник по электровакуумным приборам. «Энергия», 1965.
- Транзисторы и полупроводниковые диоды. Под ред. И. Ф. Николаевского. Связьиздат, 1963.
- В. Ю. Лавриненко. Справочник по полупроводниковым приборам. «Техніка», 1966.

ОГЛАВЛЕНИЕ

ПРЕДИСЛОВИЕ	3
ВВЕДЕНИЕ	5
РАЗДЕЛ I. ОСНОВЫ ЭЛЕКТРОННОЙ ТЕХНИКИ	
Глава 1. ОСНОВЫ ЭЛЕКТРОННОЙ ТЕОРИИ	12
1—1. Краткие сведения о строении атомов	12
1—2. Физические свойства электронов	15
1—3. Движение электронов в электрическом поле	16
1—4. Работа выхода электронов. Электронная эмиссия	19
1—5. Виды электронной эмиссии	20
1—6. Основные свойства термокатодов	23
1—7. Конструкция катодов	25
Глава 2. ДВУХЭЛЕКТРОДНАЯ ЛАМПА (ДИОД)	27
2—1. Конструкция и принцип работы диода	27
2—2. Характеристики и параметры диодов	29
2—3. Применение диодов	34
2—4. Основные типы и маркировка диодов	36
Глава 3. ТРЕХЭЛЕКТРОДНАЯ ЛАМПА (ТРИОД)	38
3—1. Устройство и принцип работы триода	38
3—2. Характеристики триода	40
3—3. Параметры триода	43
3—4. Динамические характеристики триода	47
3—5. Крутизна динамической анодно-сеточной характеристики триода	51
3—6. Работа триода в схеме усилителя. Динамический коэффициент усиления	52
3—7. Типы и маркировка триодов	55
3—8. Недостатки триодов	56
Глава 4. МНОГОЭЛЕКТРОДНЫЕ ЛАМПЫ	57
4—1. Устройство и принцип работы тетродов	57
4—2. Характеристики и параметры тетродов. Динактронный эффект	59
4—3. Пятиэлектродная лампа (пентод)	61
4—4. Лучевой триод	65
4—5. Основные типы тетродов и пентодов	67
4—6. Многосеточные и комбинированные лампы	67
Глава 5. СХЕМЫ ПИТАНИЯ И РЕЖИМЫ РАБОТЫ ЭЛЕКТРОННЫХ ЛАМП	69
5—1. Схемы подачи анодного напряжения	69
5—2. Схемы подачи напряжения на экранирующую сетку	72

	5—3. Схемы получения отрицательного сеточного смещения	73
Глава 6.	ЭЛЕКТРОННО-ЛУЧЕВЫЕ ТРУБКИ	76
	6—1. Назначение и устройство электронно-лучевых трубок	76
	6—2. Электронно-лучевая трубка с электростатическим управлением	77
	6—3. Запоминающие электронно-лучевые трубки	83
Глава 7.	ИОННЫЕ (ГАЗОРАЗРЯДНЫЕ) ПРИБОРЫ	84
	7—1. Электрический разряд в газах	84
	7—2. Ионные приборы с самостоятельным разрядом	89
	7—3. Ионные приборы с несамостоятельным разрядом	99
Глава 8.	ФОТОЭЛЕКТРОННЫЕ ПРИБОРЫ	106
	8—1. Явление фотоэффекта	106
	8—2. Фотоэлементы с внешним фотоэффектом	108
	8—3. Характеристика и параметры фотоэлементов с внешним фотоэффектом	109
	8—4. Фотоэлектронные умножители (ФЭУ)	113
	8—5. Фотоэлементы с внутренним фотоэффектом (фоторезисторы)	114
	8—6. Вентильные фотоэлементы (с запирающим слоем)	117

РАЗДЕЛ II. ОСНОВЫ ПОЛУПРОВОДНИКОВОЙ ТЕХНИКИ

Глава 9.	ОСНОВЫ ПОЛУПРОВОДНИКОВОЙ ТЕОРИИ	120
	9—1. Физические свойства полупроводников	120
	9—2. Виды проводимости полупроводников	122
	9—3. Электронно-дырочный переход	124
	9—4. Вольт-амперная характеристика перехода	126
	9—5. Температурные и частотные свойства $p-n$ -перехода	128
Глава 10.	ПОЛУПРОВОДНИКОВЫЕ ДИОДЫ	129
	10—1. Устройство полупроводниковых диодов	129
	10—2. Основные параметры полупроводниковых диодов	131
	10—3. Кремниевые стабилитроны	132
	10—4. Туннельные диоды	133
	10—5. Фотодиоды	136
	10—6. Маркировка полупроводниковых диодов	137
Глава 11.	ПОЛУПРОВОДНИКОВЫЕ ТРИОДЫ (ТРАНЗИСТОРЫ)	139
	11—1. Назначение и устройство полупроводниковых триодов	139
	11—2. Принцип работы транзистора	141
	11—3. Усилительные свойства транзистора	143
	11—4. Схемы включения транзисторов	146
	11—5. Эквивалентные схемы и параметры транзисторов	150
	11—6. Статические характеристики транзисторов	154
	11—7. Температурные и частотные свойства транзисторов	158
	11—8. Основные типы транзисторов	159
	11—9. Четырехслойные полупроводниковые приборы	162
	11—10. Фототранзисторы	165
	11—11. Маркировка транзисторов	166
Глава 12.	ПОЛУПРОВОДНИКОВЫЕ НЕЛИНЕЙНЫЕ СОПРОТИВЛЕНИЯ	167
	12—1. Варисторы	167
	12—2. Терморезисторы	168
	12—3. Ферриты	170

РАЗДЕЛ III. ОСНОВНЫЕ УЗЛЫ ЭЛЕКТРОННОЙ И ПОЛУПРОВОДНИКОВОЙ АППАРАТУРЫ

Глава 13.	ВЫПРЯМИТЕЛИ И СТАБИЛИЗАТОРЫ	172
	13—1. Назначение и классификация выпрямителей	172
	13—2. Однополупериодные выпрямители	173

	13—3. Двухполупериодные выпрямители	177
	13—4. Схемы выпрямления с умножением напряжения	183
	13—5. Сглаживающие фильтры	184
	13—6. Основные типы стабилизаторов напряжения	187
	13—7. Электронные стабилизаторы напряжения постоянного тока	189
	13—8. Электромагнитные стабилизаторы переменного напряжения	193
Глава 14.	ЭЛЕКТРОННЫЕ УСИЛИТЕЛИ	197
	14—1. Назначение и классификация усилителей	197
	14—2. Основные показатели работы усилителя	198
Глава 15.	УСИЛИТЕЛИ НАПРЯЖЕНИЯ	207
	15—1. Схемы ламповых усилителей напряжения	207
	15—2. Резистивный усилительный каскад	208
	15—3. Коэффициент усиления резистивного каскада на средних частотах	212
	15—4. Частотные искажения в резистивном усилительном каскаде	215
	15—5. Резонансные усилители напряжения	219
Глава 16.	ЛАМПОВЫЕ УСИЛИТЕЛИ МОЩНОСТИ	222
	16—1. Требования, предъявляемые к усилителю мощности. Режимы работы ламп мощного каскада	222
	16—2. Однотактный каскад усиления мощности. Роль выходного трансформатора	224
	16—3. Двухтактный каскад усиления мощности	229
	16—4. Фазоинверсные схемы предоконечных каскадов	234
	16—5. Фазочувствительные усилители	236
Глава 17.	ОБРАТНАЯ СВЯЗЬ В УСИЛИТЕЛЯХ	238
	17—1. Назначение и виды обратной связи	238
	17—2. Схемы подачи напряжения отрицательной обратной связи	244
	17—3. Паразитные обратные связи и способы их устранения	247
Глава 18.	УСИЛИТЕЛИ ПОСТОЯННОГО ТОКА	250
	18—1. Назначение и область применения усилителей постоянного тока	250
	18—2. Усилители постоянного тока прямого усиления	250
	18—3. Повышение устойчивости усилителей постоянного тока	254
	18—4. Усилители постоянного тока с преобразованием	258
Глава 19.	ПОЛУПРОВОДНИКОВЫЕ УСИЛИТЕЛИ	259
	19—1. Основные особенности усилителей на транзисторах	259
	19—2. Каскады предварительного усиления на транзисторах	260
	19—3. Многокаскадные предварительные усилители на транзисторах	264
	19—4. Выходные каскады усилителей на транзисторах	267
	19—5. Усилители постоянного тока на транзисторах	275
Глава 20.	ЭЛЕКТРОННЫЕ АВТОГЕНЕРАТОРЫ СИНУСОИДАЛЬНЫХ КОЛЕБАНИЙ	276
	20—1. Общие сведения об электронных автогенераторах	276
	20—2. Автогенераторы типа <i>LC</i>	277
	20—3. Основные схемы ламповых автогенераторов типа <i>LC</i>	280
	20—4. Автогенераторы типа <i>LC</i> на транзисторах	282
	20—5. Автогенераторы типа <i>RC</i>	283
Глава 21.	ПЕРЕКЛЮЧАЮЩИЕ УСТРОЙСТВА	286
	21—1. Назначение и типы переключающих устройств	286
	21—2. Принцип работы триггера на электронных лампах	288
	21—3. Симметричный триггер	289
	21—4. Методы запуска триггеров	292

21—5. Применение триггера в электронных вычислительных машинах	295
21—6. Транзисторы в триггерных схемах	297
21—7. Анализ работы схемы симметричного триггера на транзисторах	299
21—8. Варианты схем транзисторных триггеров	302
21—9. Триггеры на магнитных элементах	305
21—10. Параметрон	309
<i>Литература</i>	314

ГЕРШУНСКИЙ
Борис Семенович

ОСНОВЫ ЭЛЕКТРОННОЙ
И ПОЛУПРОВОДНИКОВОЙ
ТЕХНИКИ

Редактор *Миронец Е. М.*
Художник *Гуть И. Н.*
Художественный редактор *Духленко С. П.*
Технический редактор *Гурджиян А. К.*
Корректор *Педченко Г. А.*

Сдано в набор 1/II — 1967 г. БФ 06921. Зак. № 131. Тираж 52000 (1—36000). Формат бумаги 60×90¹/₁₆. Физич. печ. листов 20. Услов. печ. листов 20. Учетно-издат. листов 18,15. Бум. листов 10. Подписано к печати 5/V— 1967 г. Бумага типограф. № 2. Цена 60 коп.

Издательство Киевского университета, Киев, Героев революции, 4. Общ. Т. П. Киев., Львов. и Харьк. ун-тов—1967, поз. 20.

Киевская фабрика набора, Киев, ул. Довженко, 5.

60 коп.

ИЗДАТЕЛЬСТВО КИЕВСКОГО УНИВЕРСИТЕТА

1967

